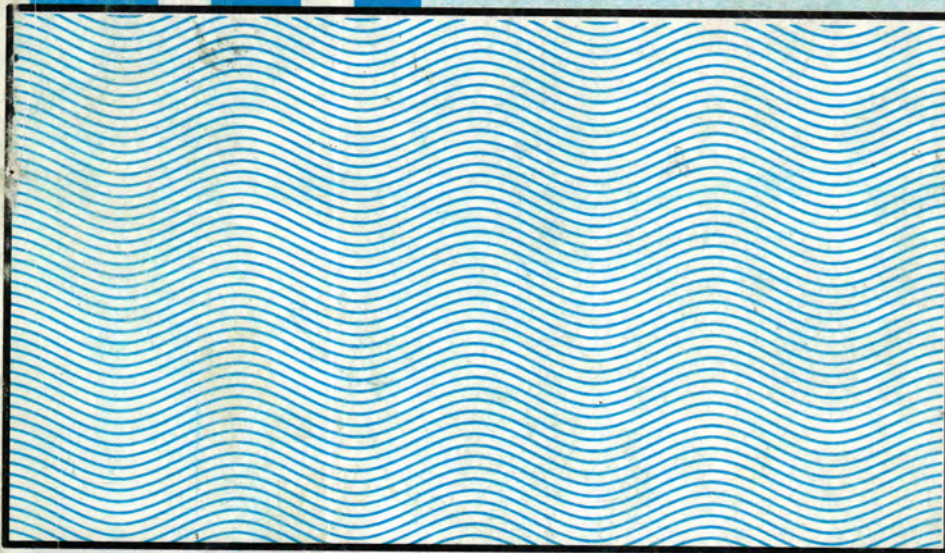


***Al-Mustansiriya
Journal of Science***

Vol. 12 No. 7 Year 2001



***Issued by College of Science
Al-Mustansiriya University***

Special Edition



***Al-Mustansiriya
Journal of Science***

Vol. 12, No. (7), 2001

Special Edition
Of
The 5th Scientific Conference College Of Science
AL-Mustansiriyah University

AL-MUSTANSIRIYA ***JOURNAL OF SCIENCE***

Head Editor

Prof. Dr.

Saad M. Al-Mashhadani

Prof. Biology

General Editor

Dr.

Ridha I. Al-Bayaty

Prof. Chemistry

Editorial Board

Dr. Salah M. Aliwy	Member
Dr. Riadh A.H. Dalool	Member
Dr. Hashim H. Jawad	Member
Dr. Kais J. Latif	Member
Dr. Saady Abdul Razaq	Member
Dr. Juma'a A. Zirnan	Member



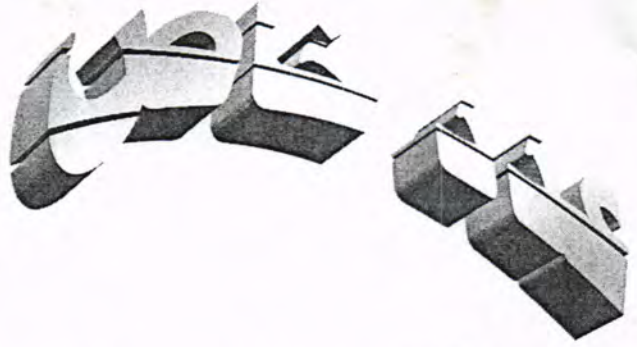
مجلة
علوم الملائكية

السنة ٢٠٠٦

عدد ٧

مجلد ١٦

تصدرها كلية العلوم بالجامعة المستنصرية - بغداد - العراق



مجلة علوم المستنصرية

المجلد 12 العدد 7 لسنة 2001

عدد خاص

بالمؤتمر العلمي الخامس لكلية العلوم-الجامعة المستنصرية

للفترة 23-24 تشرين الاول لسنة 2001

مجلة علوم المستنصرية

مدير التحرير

الدكتور رضا ابراهيم البياتي
استاذ - كيمياء

رئيس التحرير

الدكتور سعد محمود المشهداني
استاذ - علوم حياة

هيئة التحرير

- | | |
|-----|-------------------------|
| عضو | د. صلاح محسن عليوي |
| عضو | د. رياض عبد الحسين دلول |
| عضو | د. هاشم حميد جواد |
| عضو | د. قيس جميل لطيف |
| عضو | د. سعدي عبد الرزاق |
| عضو | د. جمعة اسود زرنان |

Contents

<u>Item</u>	<u>Page No.</u>
Determining The Effects of Dependent Data in ANOVA and Correcting Procedures For F Tests For A k-Way Nested Classifications SAMID GABBARA	611
Effect Of Electron Irradiation On Optical Properties Of ZnS Thin Films MAHDI H. JASIM, HASHIM H. JAWAD, EVAN J. PHARHAN	621
First Record of the Ectoparasitic Crustacean <i>Lernaea oryzophila</i> Monod, 1932 (Copepoda: Lernaeidae) in Iraq on the Common Carp <i>Cyprinus carpio</i> FATIMA S. AL-NASIRI, FURHAN T. MHAISEN and SUFIAN K. AL-NASIRI	643
Multiple Antibiotic Resistance of <i>Providencia</i> spp Isolated from Urinary Tract Infections MOHAMMED F.AL-MARJANI	649
On an equivalence between π -groupoids and Cartan principal bundles ABID ALI AL-TAAI , SATTAR AL-JANABI	655

المحتويات

- | رقم الصفحة | الموضوع |
|------------|--|
| 663 | اختيار حساسية الفطر <i>Botrutis cinerea</i> لـ بعض المبيدات بطريقة
تلقيح بقع مكوية في اوراق الباذنجان
احسان شفيق دمير داغ ، عبدالعزيز مجيد تخيلان و عادل قائد الارياني |
| 675 | التهاب الاذن اللوسطي القيحي عند البالغين في مدينة الموصل
د. اميرة محمود الراوي و هيام عادل الطائي |
| 685 | ايجاد القيم الذاتية لمصفوفة قلبية معينة بطرق جبرية وعندية / دراسة مقارنة
سامي داود كبارة ، جمعة اسود زرنان ، أنعام رزاق الصائغ |
| 701 | تأثير الرطوبة على القراءات الجذبية الدقيقة
انوار الخزرجي |
| 707 | تأثير أنواع مختلفة من الطحالب على انتاجية الحيوان الدوابي
مريم جاسم العلكاوي ، ثامر ابراهيم قاسم ، طه ياسين الخفاجي |
| 719 | تأثير احد مشتقات الترايازولات على المحتوى البروتيني لكاسس نبات الخس
مي طه الوتار ، أ.د. عبد المطلب سيد محمد ، د. هناء سعيد الصالح |
| 729 | تأثير المخلفات النباتية ودرجات الحرارة اليومية المؤثرة في مراحل نمو نبات
الحنطة في محافظة النجف
ثامر خضير مرزقة ، عبد عون هاشم علوان |

رقم الصفحة

الموضوع

743

تركيز الهيدروكربونات النفطية في أنواع نباتية مختلفة قرب شط العرب
نايف محسن عزيز

749

تشخيص أنواع الفطر فيوزاريوم المصاحبة لموت شتلات الباذنجان المزروعة
حديثاً في البيوت الزجاجية وحساسيتها للمبيد بينوميل
احسان شفيق دميرداغ الوندواوي و رغد ضياء عبد الجليل الشيباني

761

تفاعل الجسيمات المشحونة الثقيلة مع الخشب ومكوناته
اقبال عبد الحميد عبد الرحمن ، هاشم حميد جواد ، فلاح علي حسين

769

تفاعل كاما مع الخشب ومكوناته
اقبال عبد الحميد، د.هاشم حميد جواد، د.فلاح علي حسين

775

تكوين الجذور الشعرية المحولة وراثياً في أوراق نباتات البنجر السكري
Beta Vulgaris بواسطة بكتريا *Agrobacterium Rhizogenes*
مزاحم قاسم الملاح ، قتيبة شعيب النعمة

785

حدوث فايروس الروتا في الأطفال و اشتراكه مع مسببات الإسهال و
الميكروبية
احسان شفيق دميرداغ الوندواوي و ايمان ناطق ناجي

795

حساب بعض العوامل الدالة على السمية الحادة لمبيد الكلايفوسيت
Moina affinis في النوع
سبيلة صبار النديسي و هناء حنين منكلو* و علي عبد الزهرة اللامي و انعام كاظم عباس

المحتويات

<u>رقم الصفحة</u>	<u>الموضوع</u>
663	اختيار حساسية الفطر <i>Botrutis cinerea</i> - بعض المبيدات بطريقة تلقيح بقع مكوية في اوراق الباذنجان احسان شفيق دمير داغ ، عبدالعزيز مجيد نخيلان و عادل قائد الارياني
675	التهاب الاذن اللوسطي القيحي عند البالغين في مدينة الموصل د. اميرة محمود الراوي و هيام عادل الطائي
685	ايجاد القيم الذاتية لمصفوفة قلبية معينة بطرق جبرية و عددية / دراسة مقارنة سامي داود كبارة ، جمعة اسود زرنان ، أنعام رزاق الصانغ
701	تأثير الرطوبة على القراءات الجذبية الدقيقة أنوار الخزرجي
707	تأثير أنواع مختلفة من الطحالب على انتاجية الحيوان الدولابي مريم جاسم العلكاوي ، ثامر ابراهيم قاسم ، طه ياسين الخفاجي
719	تأثير احد مشتقات التريازولات على المحتوى البروتيني لكالس نبات الخس مي طه الوتار أ.د. عبد المطلب سيد محمد د. هناء سعيد الصالح
729	تأثير المخلفات النباتية ودرجات الحرارة اليومية المؤثرة في مراحل نمو نبات الحنطة في محافظة النجف ثامر خضير مرزة ، عبد عون هاشم علوان

رقم الصفحة

الموضوع

- 743 تركيز الهيدروكربونات النفطية في انواع نباتية مختلفة قرب شط العرب
نايف محسن عزيز
- 749 تشخيص انواع الفطر فيوزاريوم المصاحبة لموت شتلات الباذنجان المزروعة
حديثا في البيوت الزجاجية وحساسيتها للمبيد بيتوميل
احسان شفيق دميرداغ الوندأوي و رغد ضياء عبد الجليل الشيباني
- 761 تفاعل الجسيمات المشحونة الثقيلة مع الخشب ومكوناته
اقبال عبد الحميد عبد الرحمن ، هاشم حميد جواد ، فلاح علي حسين
- 769 تفاعل كاما مع الخشب ومكوناته
أقبال عبد الحميد، د. هاشم حميد جواد، د. فلاح علي حسين
- 775 تكوين الجذور الشعرية المحولة وراثيا في أوراق نباتات البنجر السكري
Beta Vulgaris بواسطة بكتريا *Agrobacterium Rhizogenes*
مزارح قاسم الملاح ، قتيبة شعيب النعمة
- 785 حدوث فايروس الروتا في الأطفال و اشتراكه مع مسببات الإسهال و
الميكروبية
احسان شفيق دميرداغ الوندأوي و ايمان ناصق ناجي
- 795 حساب بعض العوامل الدالة على السمية الحادة لمبيد الكلايفوسيت
Moina affinis في النوع
سبيطة صبار الدليمي و هناك حنين منكلو* و علي عبد الزهرة اللامي و انعام كاظم عباس

رقم الصفحة

الموضوع

805

دراسة الاذن الداخلية لسمكة الجرب الاسيوي *Silurus triostegus*

1. الوصف المظهري Morphological description

ايمان سامي احمد الجميلي و حسين عبد المنعم داود

817

دراسة الاذن الداخلية لسمكة الجري الآسيوي *Silurus triostegus*

2. التركيب النسجي للتيه الغشائي

ايمان سامي احمد الجميلي وحسين عبد المنعم داود

833

دراسة التركيب النووي لنظير $^{144}_{60}\text{Nd}_{84}$

ربي طه سالم

845

دراسة التغيرات في العوامل الأتوائية فوق مدينة بغداد خلال فترة الكسوف

الكلبي للشمس بتاريخ 1999/8/11 م

عوني أدوار عبد الأحد بينام

855

دراسة الفعالية ضد المايكروبية المستخلصات أوراق نبات الروجا

Hypericum Triquetrifolium

كوكب يوسف الساعور ونهى جوزيف قنلا وأسراء سعد الدين شمس الدين

869

دراسة بعض الخواص البصرية لأغشية PbSnTe الرقيقة

د. زياد طارق ، د. فائز البيرقدار ، د. ابراهيم رمضان ، صبا جميل حسن

885

دراسة بعض العوامل البيئية المؤثرة على توزيع وانتشار حفر السرطانات

حمزة عبد الحسن كاظم و سحر طارق الملا

رقم الصفحة

الموضوع

901

دور منظم النمو المصنع AHM في استحداث الكالس من نبات الحبة السوداء
Nigella Sativa
هناء سعيد الصالح

911

زيادة مدى قدرة الايقاف للجسيمات المشحونة عند الطاقات
($1 < E \text{ (MeV/u)} \leq 0.1$)
احمد عزيز احمد، خالد عبد الوهاب احمد، محمد احمد الجبوري

925

مقارنة تأثير منظم النمو الحشري ابلود و مستخلص النيكوتين و النيماتودا
Steinermma Carpocapsae على يرقات البعوض *Culex pipiens* و
الصرصر الالمانى *Blatella germinca*
بدر محمد عباس العزاوي

935

نوعية المياه الجوفية الكبريتية في محافظة نينوى
عبد المنعم محمد علي كنه ، يحيى داود المشيداني وبشير علي النعمة

Determining The Effects of Dependent Data in ANOVA and Correcting Procedures For F Tests For A k-Way Nested Classifications

SAMID GABBARA

Department of Mathematics, College of Science, Al-Mustansiriya University
Baghdad, IRAQ

ABSTRACT

This paper provides a general form for determining the effects of dependence of observations in analysis of variance and a technique for correcting the standard F test for a k-way nested classifications with a certain correlation structure.

KEY WORDS: Correlation matrix; idempotent matrix; Kronecker product; k-way nested classifications.

INTRODUCTION

In the usual analysis of variance (ANOVA), the assumption is almost always made that the error terms are independent and have identical normal distributions. When this assumption is satisfied, the F test is a very powerful test to use.

If the assumption that data are independent is not satisfied, then there may be a considerable loss of robustness, as well as a series decrease in power. For this reason, the analysis of data from experimental design is often hampered by lack of technique to correct the usual F test for the effect of correlations. If the error terms in an experimental design have the multivariate normal distributions, with a certain correlation structure, then the transformation can be made on the observations to get independent normal observations. The assumption of independence, however is rarely verified. Gastwirth and Rubin (1971), Smith and Lewis (1980), Pavur and Davenport (1985), AL-Rabeaa (1995), Gabbara and AL-Rabeaa (1996) and (1997) and Gabbara (1997) and (2001) showed that certain correlation pattern can quickly invalidate the results of ANOVA. How small correlations can be induced on the random component of a factorial experiment is shown in Pavur and Davenport (1985) for adjusting an ANOVA by correcting F statistic for 2-way crossed classifications, in Pavur (1988) for studying the effect of several multiple comparisons

procedures (MCPs) for 1-way classification, in Gabbara and Al-Rabeaa (1996) for studying the effect on several MCPs for 2-way nested classifications, in Gabbara and Al-Rabeaa (1997) for adjusting an ANOVA by correcting F statistic for 2-way nested classification and in Gabbara (1997) for adjusting an ANOVA by correcting F statistic for 1-way classification and in Gabbara (2001) for studying the effects on several MCPs for a k-way nested classifications.

The aim of this paper is to show that the model for a k-way nested classifications ANOVA design with a certain patterned correlation matrix, where $k=1,2,\dots$ can be rewritten as a k-way nested classifications ANOVA design in which the error terms are independent and the design matrix remains unchanged. With the model rewritten in this form, we can provide a general form which can be easily used for determining the effects of dependence of observations in ANOVA and a technique for correcting the standard F test.

SETTING UP THE MODEL

For this study, we consider a completely nested balanced experiment which is contemplated with k factors, the jth factor to assume n_j levels ($j=1,\dots,k$). Let $Y_{i_1 i_2 \dots i_{k+1}}$ be the observation of the i_{k-1} th treatment on the i_k th level of the kth factor from ... from i_1 th level of the 1st factor, where $i_k = 1, \dots, n_{k-1}$ and let

$$Y_{i_1 i_2 \dots i_{k-1}} = \begin{bmatrix} Y_{i_1 i_2 \dots i_{k-1} i_{k-1}} \\ \dots \\ Y_{i_1 i_2 \dots i_{k-1} i_{k-1}} \end{bmatrix}, I = 1, 2, 3, \dots, k, Y = \begin{bmatrix} Y_1 \\ \dots \\ Y_n \end{bmatrix} \dots \dots \dots (1)$$

Then $Y_{i_1 i_2 \dots i_{k-1}}$ is the vector of observations on the i_{k-1} th factor of the (k-1)th nested level from the i_{k-1} th factor of (k-1)th nested level from ... from ith factor for $i=1,\dots,k$, and Y is the vector of observations on all the factors.

Let all the measurements have the same variance and every pair of measurements has certain covariance which is defined as follows:

$$\text{cov}(Y_{i_1 i_2 \dots i_{k-1}}, Y_{i'_1 i'_2 \dots i'_{k-1}}) = \begin{cases} \sigma^2 & i_1 i'_1, i_2 = i'_2, \dots, i_k i'_k, i_{k+1} i'_{k+1} \\ \sigma^2 P_1 & i_1 i'_2, i_2 i'_2, \dots, i_k = i'_k, i_{k+1} \neq i'_{k+1} \\ \sigma^2 P_2 & i_1 i'_1, i_2 = i'_2, \dots, i_k \neq i'_k \\ \vdots & \vdots \\ \sigma^2 P_k & i_1 i'_1, i_2 \neq i'_2 \\ \sigma^2 P_{k+1} & i_1 \neq i'_1 \end{cases}$$

$$= \begin{cases} \sigma^2 P_{i-1} & i_j = i'_j, j \in \{1, \dots, k-1+2\} \\ & i_{k-l+2} \neq i'_{k-l+2}, l = 1, \dots, k+2 \end{cases} \dots(2)$$

where $P_0=1$. Before proceeding further, let us introduce some notations. Define

$$a_1 = \prod_{j=1}^k n_j, a_{k+1} = 1, d_1 = a_1, n_{k+1}, d_{k+2} = 1, c_1 = \prod_{j=1}^l n_j, c_0 = 1, \dots, \dots(3)$$

Now, let

$$Y = X\beta + e, \tag{4}$$

Where Y is an $d_1 \times 1$ vector of observations, X is an $d_1 \times p$ design matrix, β is an $p \times 1$ vector of parameters and e is an $d_1 \times 1$ vector of random error distributed normally with mean zero and covariance matrix Σ , where $\Sigma > 0$ is a positive definite matrix and

$$\Sigma = \text{cov}(Y) = \sigma^2 R, \quad \sigma^2 > 0, R > 0, \tag{5}$$

where R is a correlation matrix. Let

$$\beta = (\gamma^{(0)}, \gamma^{(1)}, \dots, \gamma^{(k)})', \tag{6}$$

where $\gamma^{(0)}$ is the overall mean and $\gamma^{(l)} = (\gamma_{1 \dots 1}^{(l)}, \dots, \gamma_{n_1 \dots n_1}^{(l)})'$ is an $c_l \times 1$ vector of n_l effects of the l th factor nested in the previous $(l-1)$ factors and $\gamma^{(l)}$ is orthogonal to every column of the matrix $I_{n_l} \otimes I_{c_{l-1}}$, $l = 1, \dots, k$ where 1_m is an $m \times 1$ vector of 1 's, I_m is an $m \times m$ identity matrix and \otimes is the Kronecker product operation of two matrices, Searle (1982), p. 256. Now, the design matrix X can be written as

$$X = I_{n_{k+1}} \otimes [I_{a_1} : I_{a_2} \otimes I_{c_1} : \dots : I_{a_k} \otimes I_{c_{k-1}} : I_{c_k}] \tag{7}$$

Therefore, from (3),(4),(6) and (7), we have

$$\mu = (\mu_{i_1 i_2 \dots i_k}) = E(Y) = X\beta = \sum_{j=1}^{k-1} \mathbf{I}_{d_j} \otimes \gamma^{(j-1)} \quad (8)$$

Where

$$\mu_{i_1 i_2 \dots i_k} = \gamma^{(0)} + \lambda_{i_1}^{(1)} + \gamma_{i_1 i_2}^{(2)} + \dots + \gamma_{i_1 i_2}^{(k)} = \gamma^{(0)} + \sum_{i=1}^k \gamma_{i_1 i_2 \dots i_k}^{(i)} \quad (9)$$

the model defined by (1)-(9) is the k-way nested classifications.

We note that when k=1 (or k=2) the k= way nested classification is the 1-way (or 2-way) nested classifications of Gabbara (1997) and Gabbara and Al-Rabeaa (1997), respectively.

TRANSFORMING THE MODEL

In this section, we transform the model defined in section 2 to a model that is easier to handle. First, we introduce some more notations.

Let $J_s = 1_s$ I'_s be the $s \times s$ matrix of $1'_s$ and let

$$M_s = (I/s) J_s, \quad N_s = I_s M_s \quad (10)$$

With

$$M_s 1_s = 1_s, \quad N_s 1_s = 0, \quad I'_s N_s = 0. \quad (11)$$

Now, from (2) and (3), the covariance matrix? can be written as

$$\sum = \sigma^2 \sum_{j=1}^{k+2} [A_j(P_j) - A_{j-1}(P_{j-1})] \otimes J_{d_{k-j+1}} \otimes I_{c_{k-j+1}} \quad (12)$$

Where

$$A_1(P_1) = (1 - P_1) I_{n_{k-1}} + P_1 J_{n_{k-1}}, \quad A_l(P_l) = P_l J_{n_{k+l}}, \quad l = 2, \dots, k+1, \quad A_{k+2}(P_{k+2}) = 0 \quad (13)$$

where $P_{k+2} = 0$ Hence

$$\sum = \sigma^2 \sum_{l=1}^{k+2} (P_{l-1} - P_l) J_{d_{k-l+1}} \otimes I_{c_{k-l+1}} \quad (14)$$

Now, using (3), (5), (10) and (14) along with some algebraic manipulation, R can be written as

$$R = \sum_{l=1}^{k+2} \lambda_l D_l \quad (15)$$

Where

$$D_l = M_{d_l} \otimes N_{n_{k-l}} \otimes I_{c_{k-l}}, \quad D_l^2 = D_l, \quad D_l D_l = 0, \quad l \neq l', \quad N_{n_l} = 1, \quad I_{c_{k-l}} = 1 \quad (16)$$

and

$$\lambda_l = \lambda_{l+1} + \mathbf{d}_l (\mathbf{P}_{k-l+2} - \mathbf{P}_{k-l+3}), l = 1, \dots, k+1, \lambda_{k+2} = 1 - \mathbf{p}_1 \quad (17)$$

represent the eigen values of R repeated l and $\mathbf{c}_{l,}$ (n_l-1) , $l=1, \dots, k+1$ times, respectively. Since Σ is a positive definite covariance matrix, then this implies that $\sigma^2 > 0$ and each $\lambda_l > 0$ for $l=1, \dots, k+2$, which is equivalent to the restriction on the correlations given in the following formula

$$\sigma^2 > 0, -[1/d_{k-l+3}(n_{k-l+2}-1)]Q_l < P_l < [1/d_{k-l+3}]Q_l, l=1, \dots, k+1 \quad (18)$$

where

$$Q_l = 1 + \sum_{j=1}^{l-1} \mathbf{d}_{k-j+3} (n_{k-j+2} - 1) P_j, \quad (19)$$

We note that formula (18) can be reached to, by using (17). Now, according to (16), since each of the matrices D_l $l=1, \dots, k+2$ are idempotent and the product of any two is equal to the zero matrix, then there exists a unique square matrix B such $R=B^2$, Arnold(1981). p.43, where

$$B = \sum_{l=1}^{k+2} \sqrt{\lambda_l} D_l \quad \text{and} \quad B^{-1} = \sum_{l=1}^{k+2} (1/\sqrt{\lambda_l}) D_l \quad (20)$$

Now,

$$B^{-1}y = B^{-1}X\beta + B^{-1}e = \mu^* + e^* \quad (21)$$

and using (5) with $R=B^2$, this implies that e^* has a covariance structure which is $\sigma^2 I$. Since $N_{s1s}=0$ and we know that $\gamma^{(l)}$ is perpendicular to every column of the matrix $I_{n_l} \otimes I_{c_{l,}}$, then using (8) we have

$$\begin{aligned} \mu^* &= B^{-1}X\beta = \left[\sum_{l=1}^{k+2} (1/\sqrt{\lambda_l}) D_l \right] \left[\sum_{l=1}^{k+1} 1_{d_l} \otimes \gamma^{(l-1)} \right] \\ &= \sum_{l=1}^{k+1} (1/\sqrt{\lambda_l}) 1_{d_l} \otimes \gamma^{(l-1)} = X\beta^* \end{aligned} \quad (22)$$

where X is the design matrix given in (7) and

$$\beta^* = \left\{ (1/\sqrt{\lambda_1}) \gamma^{(0)}, (1/\sqrt{\lambda_2}) \gamma^{(1)}, \dots, (1/\sqrt{\lambda_{k+1}}) \gamma^{(k)} \right\} \quad (23)$$

Hence, model (2) can be written as

SPECIAL CASE

To illustrate this paper results. We simply discuss a special case when $k=1$. Substituting $k=1$, then model (4) reduces to the case

$$Y = \gamma^{(0)} 1_{n_1 n_2} + 1_{n_2} \gamma^{(1)} + e \dots\dots\dots(41)$$

Where $Y^{(0)}$ in the overall mean and $\gamma^{(1)} = (\gamma_1^{(1)} \dots\dots\dots \gamma_{n_1}^{(1)})'$ is an $n_1 \times 1$ vector of effects of individuals orthogonal to 1_{n_1} . and (25) becomes

$$H_0 : \gamma_{i_1}^{(1)} = 0 \quad \forall i_1 \text{ vs } H_1 : \gamma_{i_1}^{(1)} \neq 0 \text{ for some } i_1 \dots\dots(42)$$

According to (39) , the standard F statistic for the test (42) is

$$F_1^* = C_1 F_1 \dots\dots\dots(43)$$

Where

$$F_1 = \frac{Y'(M_{n_2} \otimes N_n)Y(n_1-1)}{Y'(N_{n_2} \otimes I_n)Y n_1(n_2-1)} \dots\dots\dots(44)$$

And

$$C_1 = \frac{\lambda_1}{\lambda_2} (1-p_1) [(1-p_1) n_2(p_1-p_2)] \dots\dots\dots(45)$$

Represent the corrections constant for the test (42)

THE EFFECT OF CORRELATION ON TESTING FACTOR

To find the effect to small correlation on testing the factor in model (41). The constant C_1 is calculated for several different values of correlations as shown in table 1, when $n_1=5, n_2=2$. As the correlation constant decreases the usual F_1 statistic ,uncorrected for the correlation structure , rejects H_0 more often than under independence. Table 2. Shows the true alpha level for some different values of C_1 .

Table 1: $C = \lambda_3/\lambda_2$

P_1	P_2	C
.050	.010	0.92
.005	.001	0.99
.001	.005	1.01
.010	.050	1.09

Note: $n_1=5, n_2=2$

Table 2: True Alpha level for Different Values of C when $n_1=5, n_2=2$

α	C_1	True Alpha level		
		.010	.025	.050
0.6		.039	.059	.074
0.9		.014	.033	.056
1.0		.010	.025	.050
1.1		.006	.017	.044
1.5		0	0	.033

Table 2 shows that the true alpha level inflates (deflates) when the correction constant $<(or)>1$, and this leads to have a smaller (bigger) rejection region for the complete null hypothesis on testing factor. Hence the uncorrected F_1 test can be liberal for some tests and conservative for others in ANOVA when the correlation structure is ignored.

CONCLUDING REMARKS

1. The usual F_1 statistic for testing the effect due to l th factor can be corrected for correlation structure (2) by forming the test statistic $C_1 F_1$ and this test statistic possesses a true F distribution.
2. To find the effect of the correlation on testing the factors in model (4), the correction constants C_1, C_2, \dots, C_k are calculated for values of the factor sizes and for several different values of correlations.
3. when the correction constant $C_1 >(or)< 1$, then this leads to have a smaller (or bigger) rejection region for the null hypothesis on testing l th factor for $l=1, \dots, k$. Hence the uncorrected F test can be liberal for some tests and conservative for others in ANOVA where the correlation structure is ignored.
4. There are severe consequences of ignoring the correlations and the correlation matrix patterns can inflate (deflate) the type I error.

REFERENCES

1. Al-Rabeaa, Z.A. "The Effect of Dependent Data on Type I Error Rates for Multiple Comparisons procedures and Correction for F tests". M.Sc. Thesis, University of Basrah, Basrah, Iraq. (1995).
2. Arnold, S.F. (1981), "The Theory of Linear Models and Multivariate Analysis". Wiley, New York.

3. Gabbara, S.D. "The Effect of Correlated Data and Correction procedure for F Test in One-Way Model". *Journal of Iraqi Statistical Association, Proceeding of the 9 th Conference.* (1997).
4. Gabbara, S.D. "Determining the Effects of Dependent Data on Multiple Comparisons Procedures for a k- Way Nested Classifications". Submitted for publications. (2001).
5. Gabbara, S.D. and Al-Rabeaa, Z.A. "The Effect of Dependent Data on Type I Error Rates for Multiple Comparison Procedures". *Journal of Iraqi statistical Association, Proceeding of the 8 th Conference.* (1996).
6. Gabbara, S.D. and Al-Rabeaa, Z.A. "The Effect of Dependent Data in ANOVA and Correction Procedures for F tests". *Basrah Journal of Science, Section A, Vol.15, No. 1, 77-84.* (1997).
7. Gastwirth, J.L. and Rubin, H., "Effect of Dependence of the Level of some one- Sample Tests". *JASA, 66, 816-820.* (1971)
8. Pavur, R.J. "Type I Error Rates for Multiple Comparisons Procedures With Dependent Data". *The American Statistician, Vol. 42, 3, 171-173.* (1988).
9. Pavur, R.J. and Davenport, J.M. "The (Large) Effect of (Small) Correlations in ANOVA and Correction Procedures". *American Journal of Mathematical and Management Sciences, Vol.5, 142, 77- 92.* (1985).
10. Smith, J.H. and Lewis, T.O. "Determining the Effects of Intraclass Correlation on Factorial Experiments". *Communication in Statistics, Part A-Theory and Methods, 9, 1353- 1356*(1980).

Effect Of Electron Irradiation On Optical Properties Of Zn S Thin Films

MAHDI H. JASIM, HASHIM H. JASIM, EVAN J. PHARHAN

Department of physics, College, University of Mustiansiriya
Baghdad ,Iraq.

الخلاصة

تمت دراسة تأثير التشعيع بالإلكترونات ولمدد زمنية مختلفة (3.6, 6.9, 12 دقيقة) على الخواص البصرية لثغشاء الرقيق Zn S المحضر بطريقة الرش الكيميائي الحراري بدرجة حرارة 390 C وسمك 2000 Å. أظهرت النتائج تغيّر في معامل الانعكاس والتشعيع يؤدي إلى نقصان قيمة فجوة الطاقة والنفاذية للثغشاء الرقيق ZnS. كما أظهرت التباين الكبير لتشعيع بالإلكترونات على الثوابت البصرية (معامل الامتصاص، معامل التخمود، الانعكاسية، معامل الانكسار) إذ تزايدت قيم معاملي الامتصاص والتخمود بتزايد زمن التشعيع. أما الانعكاسية ومعامل الانكسار فقلقت تزايدت قيمتهما وزحفت الشروة نحو الطاقات الخوتونية بواسطة بتزايد زمن التشعيع.

ABSTRACT

Zinc sulfide thin films which prepared by chemical spray pyrolysis with thickness of 2000 Å and substrate temperature of 390 C were irradiated with 600 eV electrons at different time of irradiation (3.6, 6.9 and 12 min). Experimental results show, that when the time of irradiation increases:

- The forbidden energy gab of irradiated ZnS films and the transmittance decreases.
- The values of the optical constant (absorption and extinction coefficient) increases.
- The peaks of the optical constant curves (reflectance and refractive index) shift towards the low photo energy regions.

INTRODUCTION

The semiconductor compounds of type A^{II}B^{VI} are of great interest for many practical purposes, especially for solar cells, optical detector and dosimeters of ionized radiation [1]. Zn S is an important semiconductor and has been a subject of active research over the past three decades during

which it has had several uses and applications, this in addition to the fact that its formed easily and has low cost. among these applications:

- a) Antireflection coatings for solar cell and detectors [2].
- b) Electroluminescent Devices [3].
- c) Light amplifiers Devices [4].
- d) The solar cells [5].
- e) Radiation Detector [6].
- f) Thin film Diodes and transistors [7].

Some properties of ZnS material are explained in the following table.

Table (1) Some Properties of ZnS Material [8,9,10]

Material	Column	Color	Molecular Weight
ZnS	II -VI	Transparent	97.45

Density gm cm ³	Melting point K ^o	Lattice constant A	Atomic number
3.98	1973	5.41	46

Interaction of Electron With Matter

When the electrons of a given energy impinge on a substance, these electrons are changed into transmitted electrons, backscattered electrons (reflected electrons), and absorbed electrons (absorption) by interaction with the atoms of these substance as shown in figure (1) [11,12].

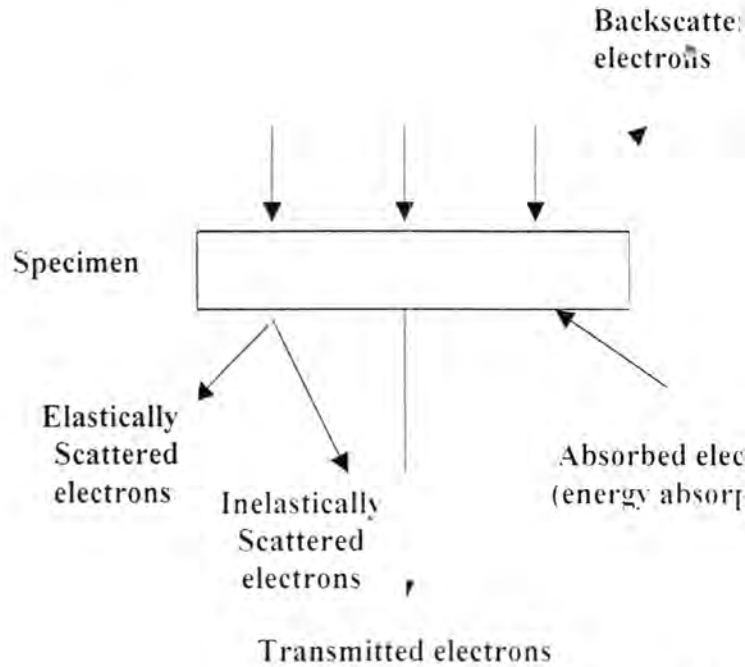


Fig. (1) Electron Beam and Sample Interaction [12].

The transmitted electrons may be classified into two types [11]:

- Elastically scattered electrons : which change direction due to atomic collisions but retain their energy.
- Inelastically scattered electrons : which suffer a change in direction and partial energy loss.

When the energy of an incident electron exceeds the energy gap of the substance, the electron can produce individual electron transitions from the V.B. to the C.B. [13].

EXPERIMENTAL WORK

Deposition of The Films

Zinc sulfide was deposited by spraying 0.05 molar of aqueous solution of $ZnCl_2$ and thiourea onto an ultrasonically cleaned glass. Film

thickness ($t = 2000 - 100 \text{ \AA}$) was measured via the gravimetric method by considering density (ρ) of ZnS by using the following equation :

$$T = \frac{m}{\rho A_F} \dots\dots\dots(1)$$

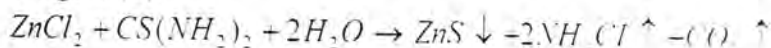
Where :

M : Difference in weight before and after deposited (gm) .

A Δ Film area (cm²).

The solution was sprayed through a specially designed glass nozzle sprayer. Air was used as a carrier gas and to atomize the spray with the help of an air blower. The spray rate was 4.5 ml /min [14] and a substrate temperature was of around 663 K^o. Each spraying period (about 15s) was followed by a 2.5 min. of wait to avoid excessive cooling of the hot substrate during spraying. In order to deposit film of uniform thickness, the distance between the substrate and the spray nozzle should be 30 cm [14,15]. The spray of the aqueous solution yields from the following reaction [14]:

The experimental set-up the spraying apparatus is schematically shown in figure (2).



Optical Measurements

A (Double Beam Spectrophotometer, UV, 210A) was used to record the transmittance and absorpance spectrum so that the energy gap and the optical constants (absorption coefficient, refractive index, extinction coefficient, reflectance) can be calculated.

Films Irradiation

After depositing the ZnS films and measuring the optical properties of them, the ZnS film were positioned inside the electron gun chamber above the anode electrode at a distance of 6 mm instead of the collector electrode. The ZnS film was irradiated by a stable electron beam of 2500 μ A having the energy of a 600 eV and width of (1-1.5 mm) at different times if irradiation (T_{irr}) (3, 6, 9, 12 min.) by using a triode electron gun system as shown in figure (3).

RESULTS AND DISCUSSION OF THE IRRADIATED ZnS FILMS

The main purpose of our experiments is to investigate the effect of the irradiation with the electrons on the optical properties of the ZnS thin film.

The Transmittance

The transmittance (T_r) of the ZnS film is obtained (Before and after irradiation) by using the spectrophotometer. Figure (4) shows a decrease in the transmittance as a function of the irradiation time. This is easily interpreted as follows : the increase in the irradiation time causes an increase in the absorption coefficient (α) of the films (see section 4.3). Thus the transmittance will be decreased according to Lambert's law [16]:

$$T_r = (1-R) e^{-\alpha d} \dots\dots\dots(2)$$

Where :

R: Reflectance .

This given the possibility to explain the change in the film color from being transparent before irradiation into being light brown after irradiation. The darkness in the film color increases with increase of the time of irradiation. Figure (4) also shown a decrease in transmittance with photon energy, as it reaches of the value $E=3.25\text{eV}$ [the threshold absorption of ZnS]. then decrease is observed beyond this value.

Reflectance

The reflectance is defined as being the reflected part from the incident ray on the film surface, it is calculated depending on the transmittance spectrum (T_r) and the absorbence spectrum (A_n) as follows:

$$\left. \begin{aligned} R + A_n + T_r &= 1 \\ R &= 1 - T_r - A_n \end{aligned} \right\} \dots\dots\dots(3)$$

Figure (5) shows the variation of the reflectance as a function of the photon energy, where it is noted that the reflectance is little at low photon energy values, after that it begins to increase to a specific peak then it begins to decrease slowly. The peak in the reflectance curve is at the energies corresponding to the forbidden energy gap [14]. The forbidden energy gap can be calculated from the reflectance curve, but there is an error

ratio in this method caused by the variation in the nature of surfaces of the thin films and the variation of the peak width for the reflectance curve, this leads to variation in the measurement of the energy gap value. After irradiation, it is noted that the reflectance curve peaks shifted toward the low photon energies this means that the value of the forbidden energy gap decreases with increase of the time of irradiation.

Absorption Coefficient

The absorption coefficient was determined in the region of the fundamental absorption edge of the films by using the following equation :

$$\alpha = 2.303 \frac{A_b}{t} \dots\dots\dots(4)$$

where :

A_b : Absorbance.

t : Thickness of the films (cm).

The plot of the absorption coefficient versus the photon energy as a function of variation in the irradiation time is shown the figure (6). This figure reflects that the increase in irradiation time causes shifting in the absorption edge toward a region of low photon energies and an increase in the upper zone of absorption edge. It is observed that the value of (α) is larger than 10^4cm^{-1} which gives a high possibility for the occurrence of the direct electronic transition and this in turn denotes that the energy gap which is calculated from these transitions is direct energy gap [14-16].

Energy Gaps

The energy gap for allowed (E_g) and forbidden (E_g) direct electronic transitions were determined from the following equation

$$\alpha h\nu = A_t (h\nu - E_g)^r \dots\dots\dots(5)$$

where :

A_t : Constant depending on the valance and conduction band characteristics.

r: Exponential factor .

at $r=1, 2, 3/2$ for allowed and forbidden transition respectively .

The energy gap of ZnS films were obtained by plotting $(\alpha h\nu)^4$ and $(\alpha h\nu)^{2.5}$ against the photon energy as shown in figures (7) and (8). The

values of E_g and E'_g for ZnS films before and after irradiation are given in table (2).

Table (2) Values of E_g and E'_g for ZnS Films Before and After Irradiation

T_{irr} min.	E_g eV	E'_g eV	Variation percentage of E_g	Variation percentage of E'_g	Previous investigations	References
0	3.66	3.41			3.66, 3.67, 3.6	[17,14,18]
3	3.63	3.38	0.81%	0.87%	-	-
6	3.57	3.32	2.45%	2.63%	-	-
9	3.5	3.23	4.37%	5.27%	-	-
12	3.43	3.19	6.28%	6.45%	-	-

It is obvious from this table that the E_g and E'_g decreased with increase of the irradiation time. The value of E_g , E'_g before irradiation are 3.66 , 3.41 eV respectively, these values correspond with the previous investigations which are shown in table (2), while the values of E_g , E'_g at the irradiation time of 12min are 3.43, 3.19 eV respectively. These variations of E_g , E'_g values with the increase in the irradiation time is due to the increment of (α) and the shifting towards the low photon energies region, the above table shows that the variation percentage of E_g and E'_g increases with the increase of the time of irradiation.

Figure (9) shows the decrease in the value of E_g and E'_g with increase of t the following equations were concluded from the experimental results giving the values of E_g and E'_g at any time of irradiation :

$$E_g = -0.0223 T_{irr} + 3.7 \dots\dots\dots(6 a)$$

$$E'_g = - 0.22 T_{irr} - 3.445 \dots\dots\dots(6 b)$$

The negative sign in the above equations refers to the decrease in the value of E_g and E'_g with increase of the time of irradiation.

Extinction Coefficient

The extinction coefficient (K_0) is defined as being the imaginary part of a complex refractive index, i.e. the extinction of the electromagnetic wave inside the matter. It is given by the following equation [4,16,19]:

$$K_0 = \frac{\alpha \lambda}{4\pi} \dots\dots\dots(7)$$

Figure (10) shows the variation of K_0 with $h\nu$, from its curves the strong similarity with the curves of the absorption coefficient (figure 6) can be clearly noticed. Figure (10) also shows that the extinction coefficient is little at the low photon energy values and that it increases sharply at the absorption edge due to the increment in the absorption coefficient when the allowed electronic transitions occur.

Refractive Index

The index of refraction (n_0) of any optical medium is defined as being the ratio between the speed of light in a vacuum and the speed of light in the medium. The refractive index can be calculated from the following equation [4,19]:

$$R = \frac{(n_0 - 1)^2 + k_0^2}{(n_0 + 1)^2 - k_0^2} \dots\dots\dots(8)$$

In the low photon energy region, the substance has little refractive index, i.e. $n_0 \approx 1$, when the energy of the incident radiation is less than the forbidden energy gap, at this value $K_0 \approx 0$ and thus the equation (8) can be reduced into the following form :

$$n_0 = \frac{I + \sqrt{R}}{I - \sqrt{R}} \dots\dots\dots(9)$$

Figure (11) shows the variation of n_0 with $h\nu$, which appears a high similarity with curves of the reflectance (figure 5).

It is obvious from figure (11), that when the time of irradiation increases the refractive index curves shift towards the low photon energies region and the peaks of these curves show correspondence to the forbidden energy gap values as that of those of the reflectance curves.

CONCLUSION

We concluded from the present work that the forbidden energy gap for the allowed and the forbidden direct transition decreases with the of increase the time of irradiation. Equations (6a) and (6b) were concluded from the experimental results, they give the value of E_{g0} and $E_{g\infty}$ at any time of irradiation.

The optical studies of the irradiated Zinc sulfide thin films revealed that when the time of irradiation increases the values of the absorption coefficient and extinction coefficient increase, the peaks of the reflectance and the refractive index curves shifts towards the low photon energy regions.

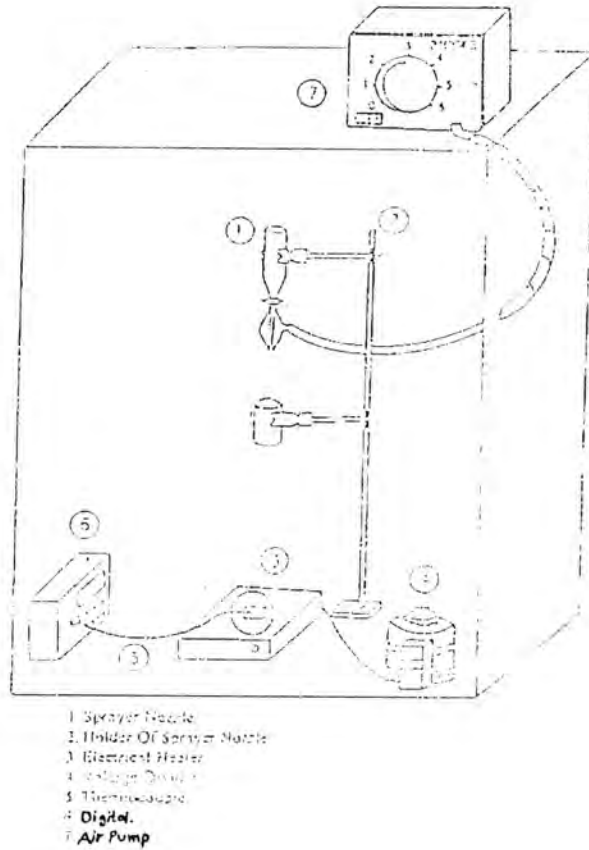


Fig. (2). Schematic Diagram of the Spraying Apparatus Used to Deposit ZnS Films [14]

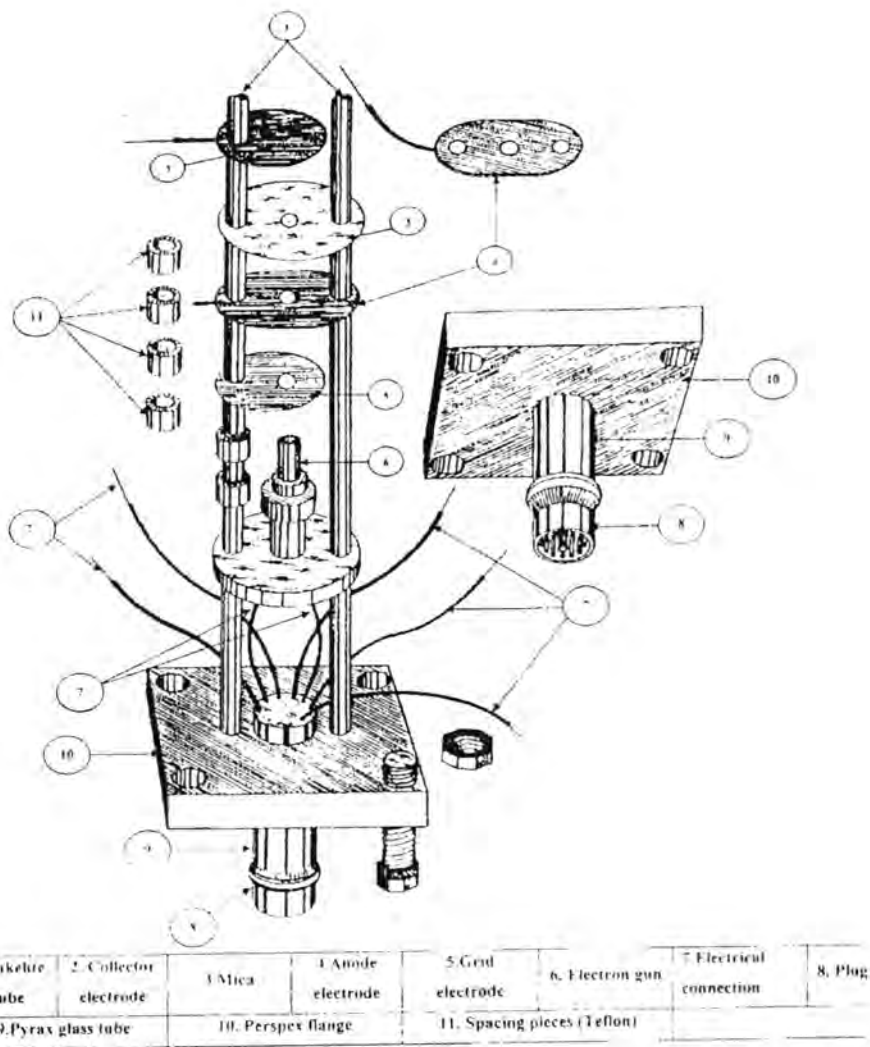


Fig (3). Internal View of the Electron Gun System

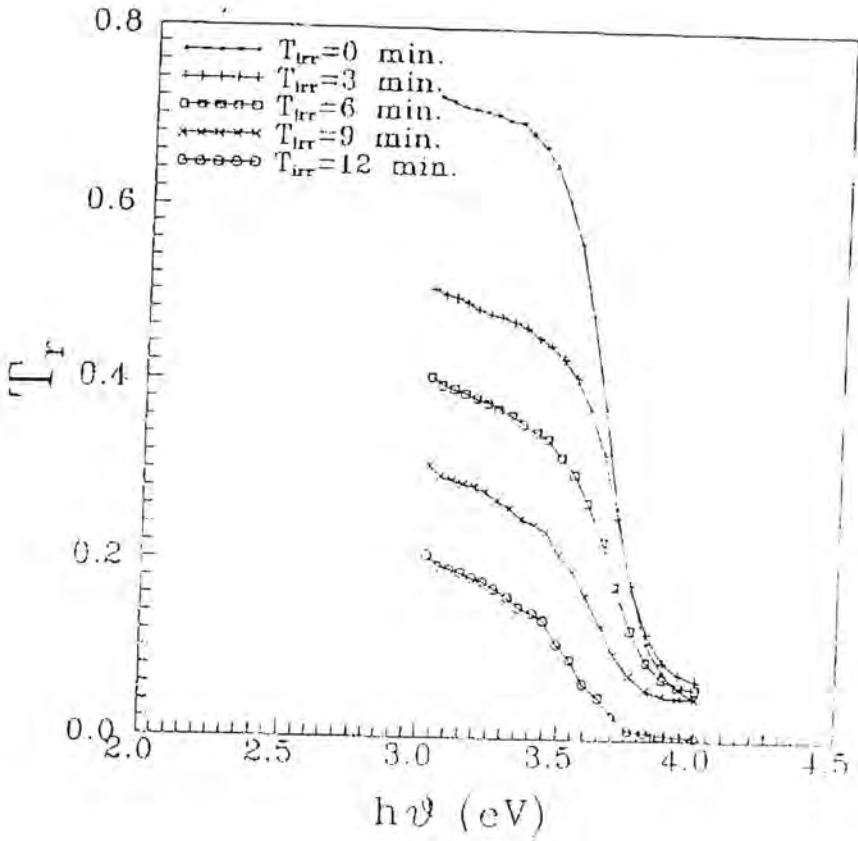


Fig. (4). Variation of Transmittance as a Function of Photon Energy at Different Times of Irradiation .

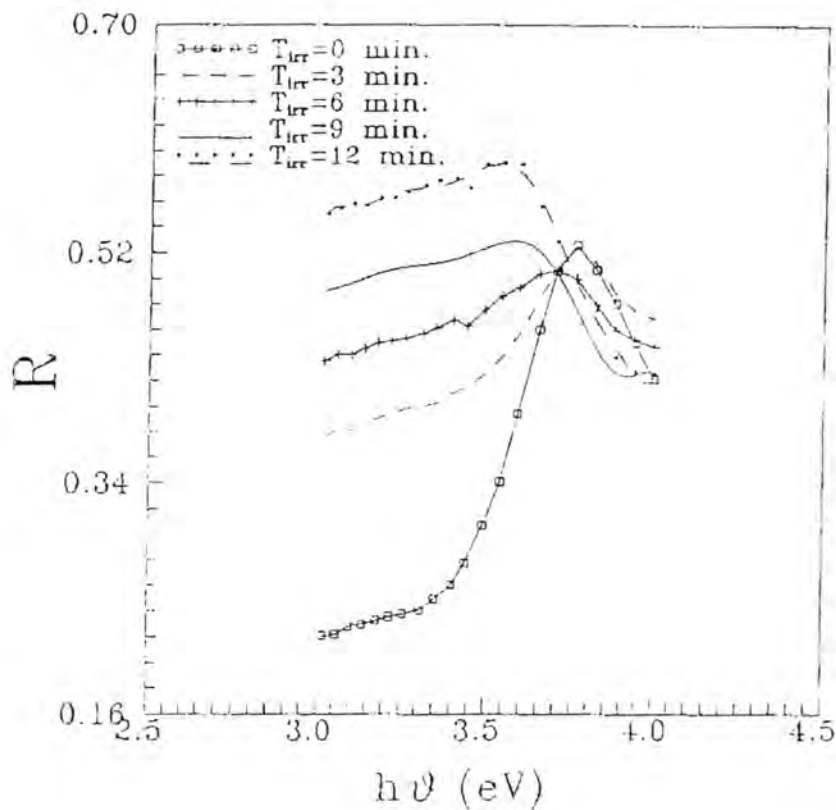


Fig. (5). Variation of Reflectance as a Function of Photon Energy at Different Times of Irradiation .

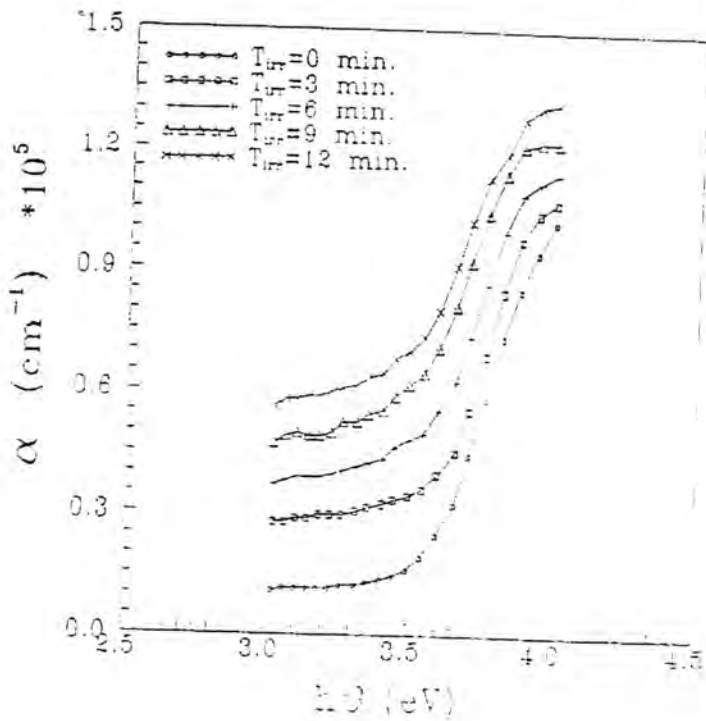


Fig.(6). Absorption Coefficient Versus Photon Energy at Different Times of Irradiation.

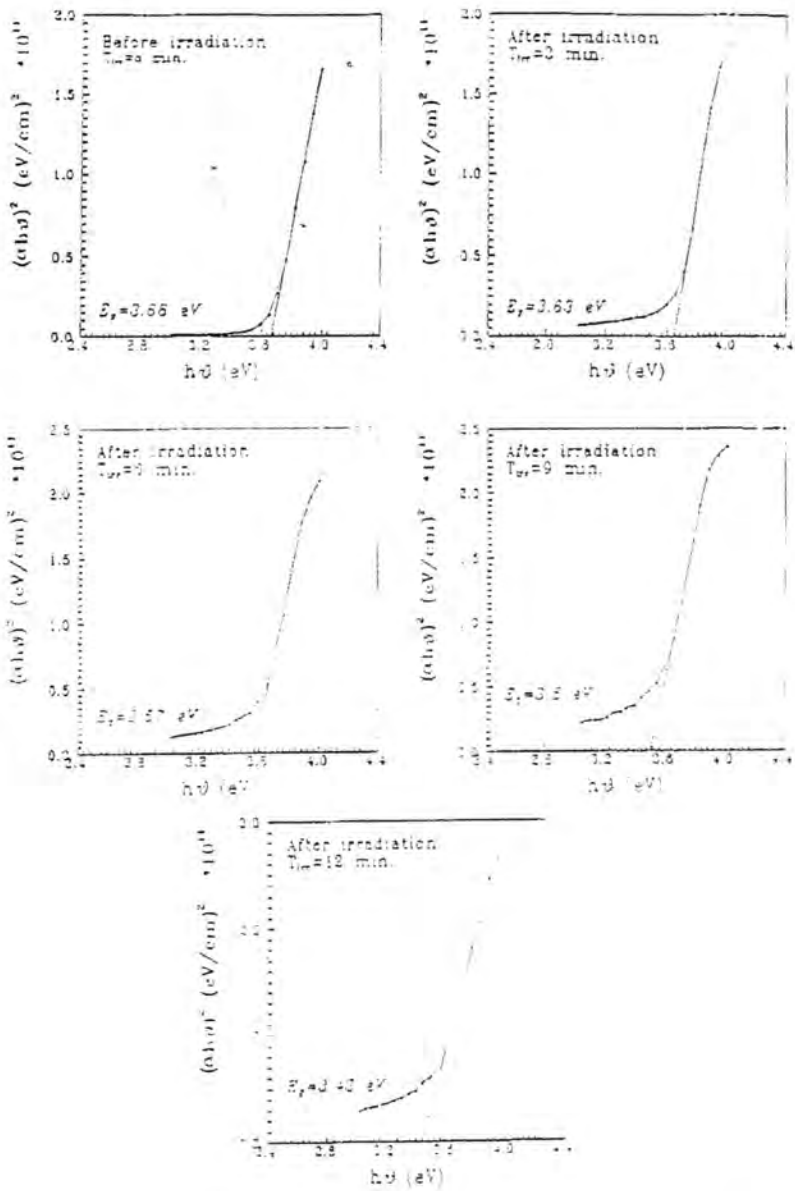


Fig.(7). Plot of $(\alpha h\nu)^2$ Versus Photon Energy ($h\nu$) at Different Time of Irradiation

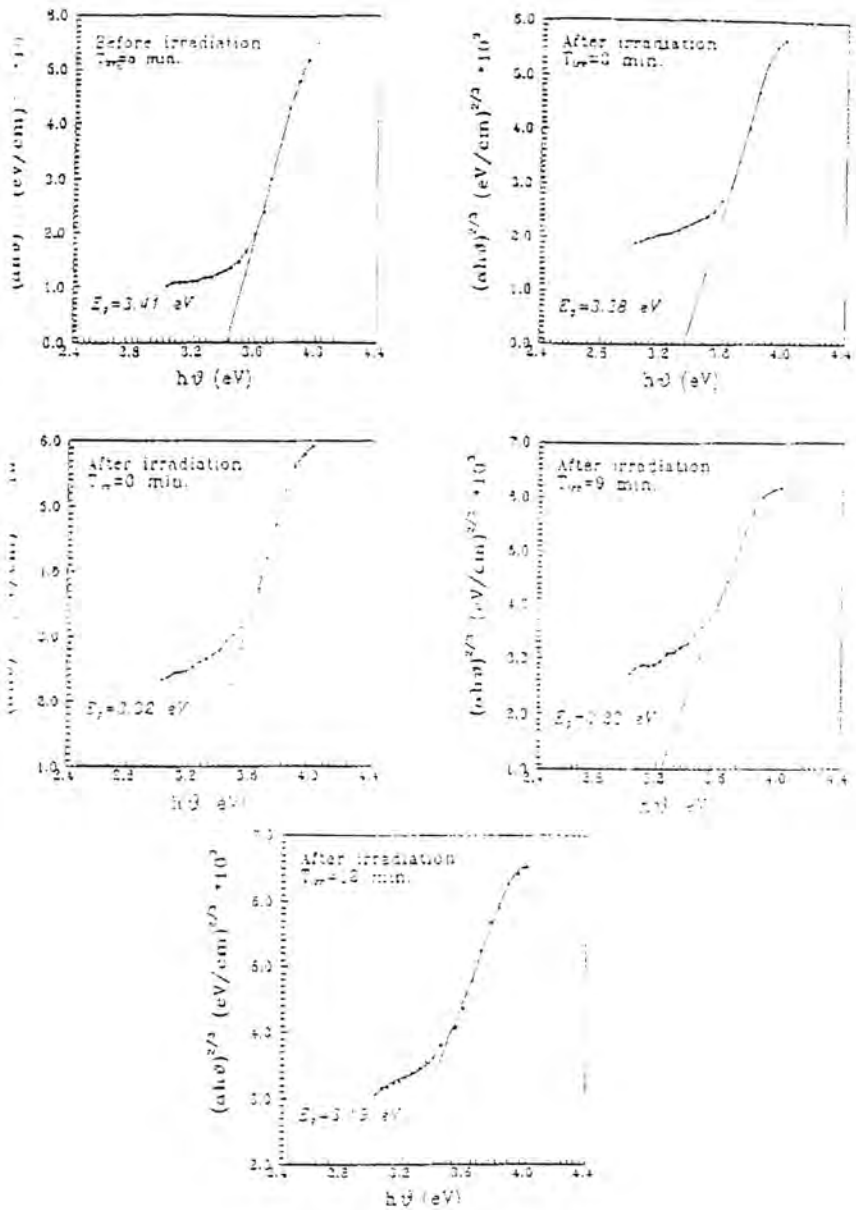


Fig.(8). Plot of $(\alpha h\nu)^{2/3}$ Versus Photon Energy ($h\nu$) at Different Time of Irradiation

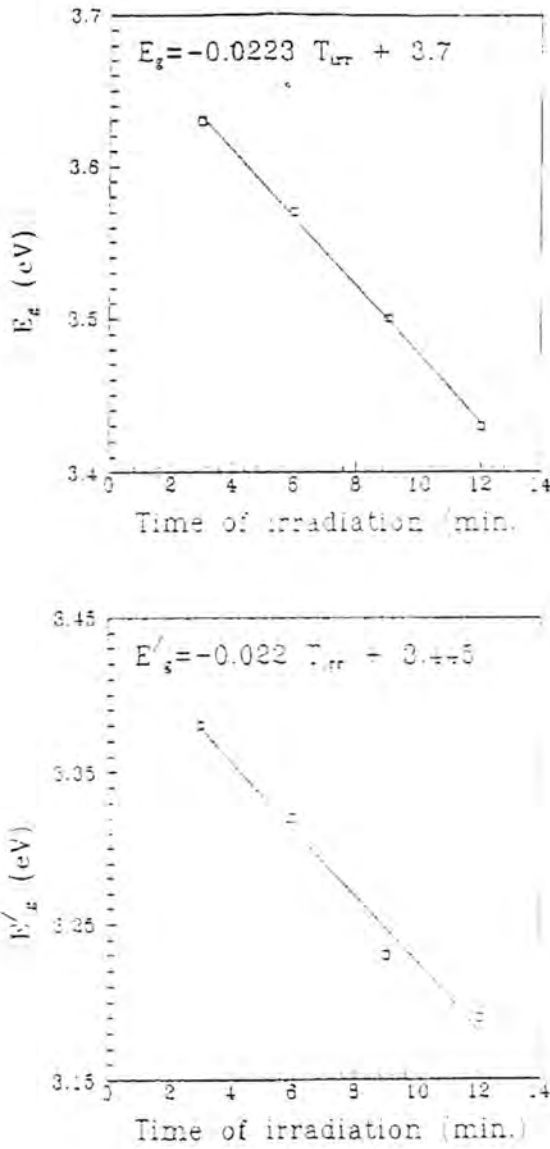


Fig. (9). Variation of Forbidden Energy Gap for
 (a) Allowed (E_g) and (b) Forbidden (E'_g) Direct Transition with
 Time of Irradiation .

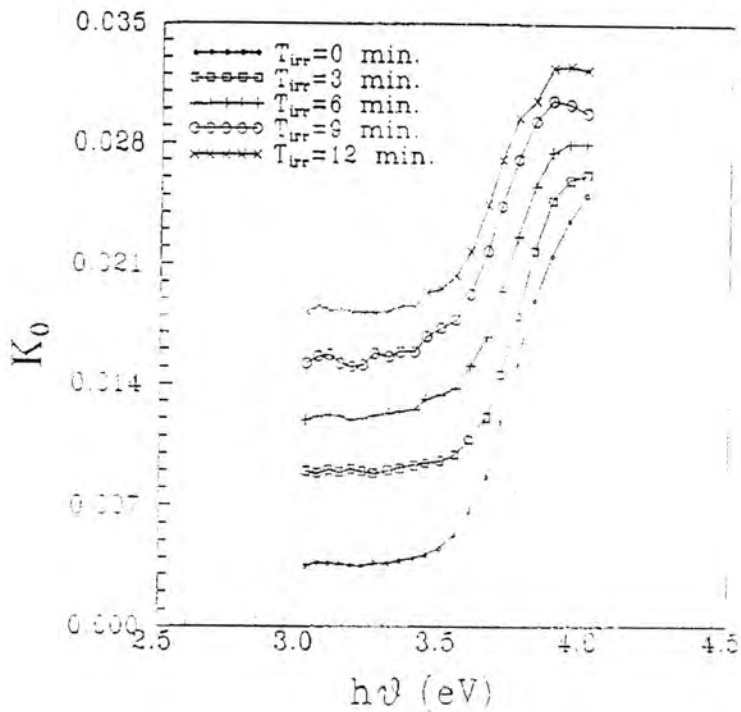


Fig. (10). Variation of Extinction Coefficient Versus Photon Energy at Different Times of Irradiation .

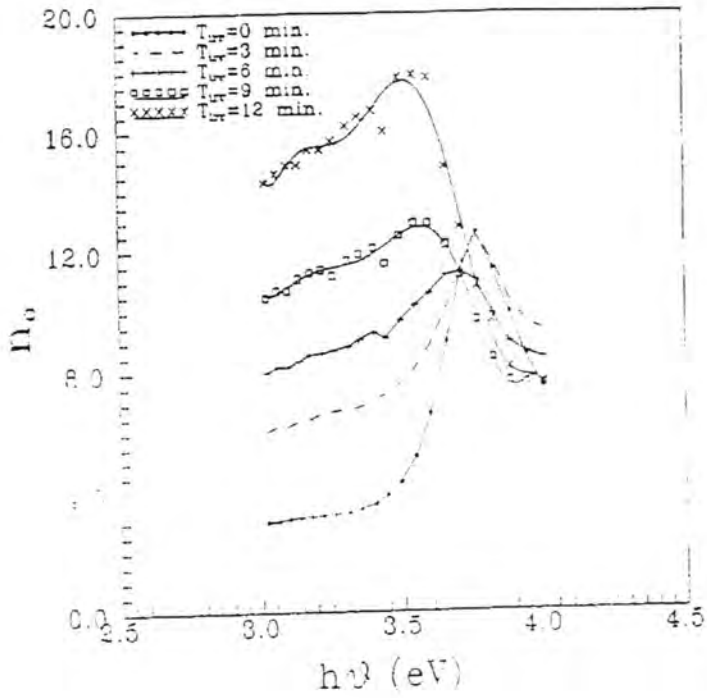


Fig. (11). Variation of the Refractive Index with the Photon Energy at Different Times of Irradiation .

REFERENCES

- [1] Spănulescu L., Effect of electron irradiation on electrophysical properties of CdSe and CdS thin films . Thin solid films, Vol. 134, pp. 1-6, (1986).
- [2] Macleod H.A., Thin-film optical filters , 3th Edition, IOP, Bristol and Philadelphia . (2001).
- [3] Noboru M., Teruhiko N., Hironaga M., Rytaro N., Electroluminescence spectra for Tb⁺³ doped Zn_{1-x} Cd_xS thin-films. Journal of luminescence, Vol. 72, No. 74, PP. 999-1001, (1997).
- [4] Kazsmeeraki L., Polycrystalline and amorphous thin films and devices. New York ; Academic, (1980).
- [5] Kwok H.L., A study of ultra-thin Cu_xS – Cd_y Zn_{1-x}S polycrystalline solar cells , J. phys. D: Appl., Vol. 16, PP. 2367-2377, (1983).
- [6] Najeeb T.R., (Ph.D Thesis), Structural, electrical and optical transport properties of evaporated CdSe_{1-x} Te_x thin films. College of education (Ibn Al- Haitham), Baghdad University. (2000).
- [7] Kittle. Introduction to solid state physics, 5th Edition, John Wiley and sons, Inc., Canada, (1976).
- [8] "Hand Book of chemistry and physics " 50th Edition, CRC press, Inc., (1979).
- [9] Brain R., II-VI compounds : 1st Edition, University of st-Andrews, (1969).
- [10] الجمال ، يحيى نوري ، " فيزياء الحالة الصلبة " ، مطبعة جامعة الموصل ، (1990).
- [11] Electron Microscopy, Section 3.1, [http://www.cipotato.org/training/Materials/PVTEchs/Fasc3.1\(99\).Pdf](http://www.cipotato.org/training/Materials/PVTEchs/Fasc3.1(99).Pdf), (1999).
- [12] Electron interaction with matter, <http://Jan.uce.nau.edu/wittke/microprobe/Interact.Html>, James H. wittke, (2001).

[13] Ganachaud J.P., Morkani A., Theoretical study of the secondary electron emission of insulating targets. *surface science*, Vol. 334, PP. 329-341, (1995).

[14] Sabry R.S., (M.Sc. Thesis) , A study of electronics transition in semiconductors films $Zn_x cd_{1-x} S$ and effect of the doping with chlorine and Bromine, College of Science , University of Al- Mustansiriyah , (2001).

[15] Sader E., Cd Te/CdS thin film solar cells –An overview. 4th international conference of physics of condensed matter, University of Jordan, April 18th –20 , (2000).

[16] Smith R.A. , Semiconductors, 2nd Edition , Cambridge University press, (1987).

[17] Norboru M., Takashi S., Hironaga M. and Royotaro N., Band- gap energy dependence of emission spectra in rare earth -doped $Zn_{(1-x)} cd_x S$ thin film electroluminescent devices, *Jpn. J. Appl. Phys.* , Vol. 31, part 1, No. 2A, PP. 295-300, (1992).

[18] Noboru M. , Kiyoshi O., Shuko K., Hironahe M., Ryotaro N., Electroluminescence spectra of rare-earth doped $ZnS_{1-x} Se_x$ thin films . *Journal of crystal growth*, Vol. 138, PP. 1046-1050, (1994).

[19] Pankove J.L., Optical processes in semiconductors. Dover publications. Inc. New York, (1975).

First Record of the Ectoparasitic Crustacean *Lernaea oryzophila* Monod, 1932 (Copepoda: Lernaeidae) in Iraq on the Common Carp *Cyprinus carpio*

FATIMA S. AL- NASIRI*, FURHAN T. MHAISEN* and
SUFIAN K. AL-NASIRI**

* Department of Biology, College of Education (Ibn Al-Haitham),
University of Baghdad.

** Department of Animal Production, College of Agriculture,
University of Baghdad.

الخلاصة

تم في الدراسة الحالية تسجيل الطفيلي القشري *Lernaea oryzophila* Monod, 1932 لأول مرة في العراق من جلد و زعانف و غلاصم أسماك الكارب الاعتيادي *Cyprinus carpio* المرباة في بحيرة اصطناعية في منطقة بغداد. تم اعطاء مواصفات و قياسات هذا الطفيلي. كما تم وضع مفتاح لتشخيص نوعين من الطفيليات العائدة للجنس *Lernaea* والتي تم تسجيلها لحد الان في أسماك العراق.

ABSTRACT

Adult and larval forms of *Lernaea oryzophila* Monod, 1932 were recorded in the present study for the first time in Iraq from skin, fins and gills of the common carp *Cyprinus carpio* reared in a man-made lake in Baghdad region. The descriptions and measurements of this parasite were given. Also, a key was constructed for the identification of the two species of *Lernaea* which are so far recorded in fishes of Iraq.

INTRODUCTION

Lernaeid copepods are important parasites of both freshwater and marine fishes⁽¹⁾. Adult males and larval lernaeids are free-living creatures, while adult females and fifth copepodid larvae are parasitic on fishes⁽²⁾. Parasites of the genus *Lernaea* can have serious deleterious effects on their economically freshwater fish host⁽³⁾. There are approximately 40 known species of *Lernaea*⁽⁴⁾. Among these, the anchor worm *L. cyprinacea* is a cosmopolitan species being found in North America, Asia, Africa and Europe⁽⁵⁾. Fish culturists are greatly concerned about *L. cyprinacea* infestations in crowded breeding ponds⁽⁶⁾. In Iraq, only *L. cyprinacea* has,

so far, been reported from freshwater fishes in natural water bodies and in fish farms. Its host list included 18 fish species⁽⁷⁾. It is abundant in nearly all fish farms of Iraq⁽⁸⁾. In the present work, another lernaeid parasite (*Lernaea oryzophila*) is reported as a new item to the parasitic fauna of fishes of Iraq.

MATERIALS AND METHODS

Fresh specimens of the common carp *Cyprinus carpio* were taken from a man-made lake situated at Al-Amiriya region, about 15 kms to the northwest of Baghdad city center during the period from January till May 2000. Fishes were inspected for ectoparasites. Lernaeid crustaceans were collected from skin, fins and gills. They were fixed in 5% formalin for 24 hours and preserved in 70% ethanol. Specimens were examined in 75% lactic acid using the modified "wooden slide" method⁽⁹⁾. All drawings were done with the aid of a camera lucida.

RESULTS AND DISCUSSION

Of 125 common carps examined from the man-made lake of the present study, only nine fishes were infected with *L. oryzophila*. Fifteen ovigerous females and four copepodid larvae of this parasite were detected. The adult females were attached to the skin and fins of all the infected fishes, while the copepodid larvae were found on the gill filaments. This finding came in agreement with those reported by Ali⁽¹⁰⁾ on copepodid larvae and adult females of *L. cyprinacea* infecting common carps in Al-Zaafaraniya fish farm, south of Baghdad city center.

According to Mhaisen⁽⁷⁾, the anchor worm *L. oryzophila* had never been reported from fishes of Iraq. Thus, the present study reports its first occurrence in Iraq and adds a new item to the parasitic fauna of fishes of Iraq.

The following is the description and measurements of *L. oryzophila*. These measurements are based on ten specimens.

Lernaea oryzophila Monod, 1932 (Fig. 1):

Female: Body 3.6-4.8 mm long. Holdfast consisting of two pairs of branched processes; ventral pair thicker than dorsal pair (Fig. 1A). Neck cylindrical, passing imperceptibly into genital somite. Abdomen distinctly longer than wide. Caudal ramus also longer than wide (Fig. 1B,C) carrying usual four short and one long setae.

Antennule (Fig. 1D) distinctly 4-segmented with the formula of 4,9,4 and 11. Antenna (Fig. 1E) 3-segmented; first two segments unarmed, terminal segment with three setae on medial margin, seven setae distally and claw-like spine. Maxilla (Fig. 1F) 2-segmented; terminal segment a strong claw with large secondary tine. Maxilliped (Fig. 1G) 2-segmented; basal segment long, carrying seta subterminally on papilla; terminal segment small, tipped with four claws, one of them bifurcate and bearing setule at forked base.

Legs 1-4 (Fig. 1H-J) biramous with 3-segmented rami; formula of spines (Roman numerals) and setae (Arabic numerals) as follows:

P1	Coxa	0-1	Basis	1-I	Exopod	1-1; 1-1; II,1,4
					Endopod	0-1; 0-1; II,4
P2, P3	Coxa	0-1	Basis	1-0	Exopod	1-1; 1-1; III,5
					Endopod	0-1; 0-2; III,3
P4	Coxa	0-1	Basis	1-0	Exopod	1-1; 1-1; III,5
					Endopod	0-1; 0-2; III,2

Leg 5 (Fig. 1K) reduced, with one seta at base on body and four setae on distal margin of small segment.

The descriptions and measurements of *L. oryzophila* of the present investigation are agreeable with those reported by Ho and Kim⁽¹¹⁾ who reported this parasite from the body of *Puntius gonionotus*, *Gobius* sp. and *C. carpio* cultured in a pond of Thailand.

In order to facilitate differentiation of *L. oryzophila* from *L. cyprinacea*, the following key, based on modified data from Robinson and Avenant-Oldewage⁽¹²⁾ and Ho and Kim⁽¹¹⁾ is constructed.

1- Antennule 4-segmented with the formula of 4,9,4 and 11. The distal part of terminal segment of antenna with seven setae. Terminal segment of maxilliped tipped with four claws, one of them bifurcate and bearing setule at forked base. Armature of terminal segment of second and third endopods consists of three setae with three spines. Armature of terminal segment of fourth endopod consists of two setae with three spines ...

L. oryzophila.

2- Antennule 4-segmented with the formula of 4,8,4 and 8. The distal part of terminal segment of antenna with three setae. Terminal segment of

maxilliped tipped with five claws, one of them is shorter with no setule. Armature of terminal segment of second and third endopods consists of four setae with two spines. Armature of terminal segment of fourth endopod consists of three setae with two spines...
L. cyprinacea

The danger of *Lernaea* is apparently due to its lack of host specificity, so it can infect all species of freshwater fishes and even frog tadpoles⁽⁵⁾. In this respect, one can expect more fish species as hosts for *L. oryzophila* in Iraq. So, more emphasis should be directed toward the need for full parasitological examination of fishes prior to their stocking in raising and fattening ponds of fish farms. Quarantine means should also be applied to give affective results for the control of this parasite and other fish diseases.

ACKNOWLEDGEMENT

Thanks are due to Prof. Dr. Ju-Shey Ho of California State University for his help in crustacean identification.

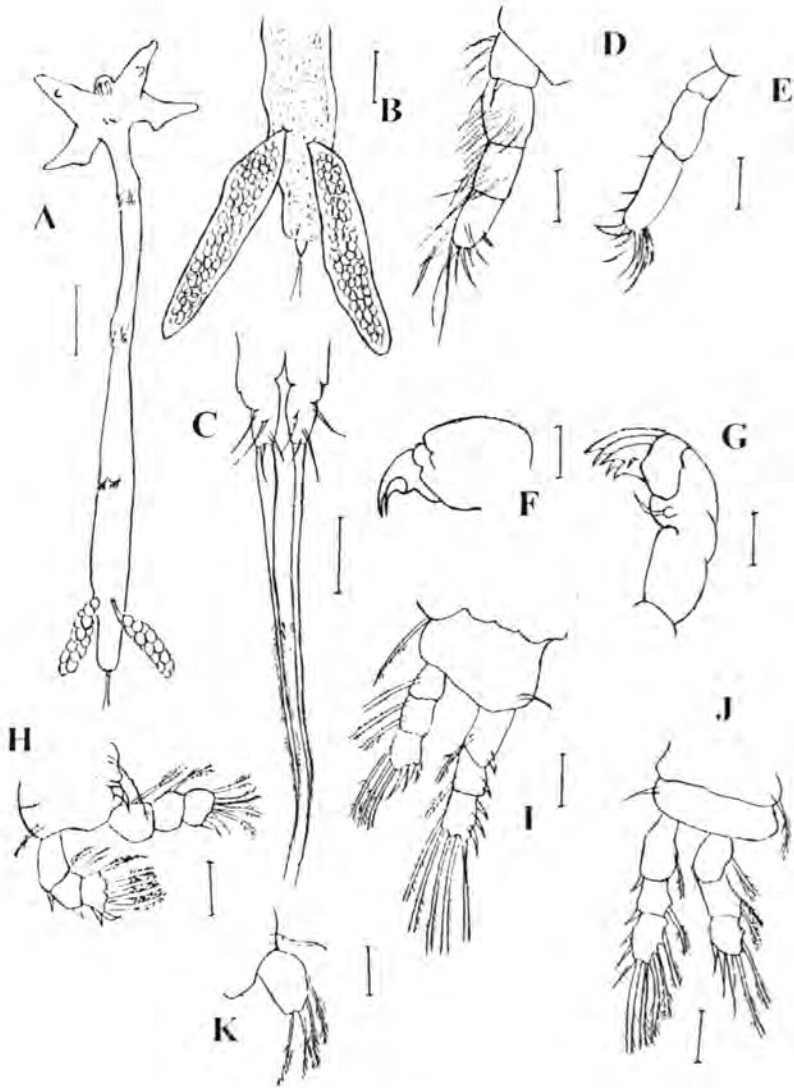


Fig. (1): Female *Lernaea oryzophila* from *Cyprinus carpio*.

A- habitus, ventral; B- end of the body; C- caudal rami;

D- antennule; E- antenna; F- maxilla; G- maxilliped;

H- leg 1; I- leg 2; J- leg 4; K- leg 5.

Scale bar: 0.5 mm in A-B; 0.05 mm in C; 0.03 mm in D-K.

REFERENCES

1. Roberts, R.J. "Fish pathology" Bailliere Tindall, London: 318, (1978).
2. Duijn, van C., Jnr. "Diseases of fishes" 3rd edn., Hiffe Books, London: 372, (1973).
3. Bykhovskaya-Pavlovskaya, L.E., Gusev, A.V., Dubinina, M.N., Izyumova, N.A., Smirnova, T.S., Sokolovskaya, I.L., Shtein, G.A., Shul'man, S.S. and Epshtein, V.M. "Key to parasites of freshwater fish of the U.S.S.R." Akad. Nauk, S.S.S.R., Moscow: 727, (1962).
4. Kabata, Z. "Parasitic copepoda of British fishes" Ray Soc., London: 468, (1979).
5. Hoffman, G.L. "Parasites of North American freshwater fishes" Univ. California Press, Berkeley: 486, (1967).
6. Sarig, S. "Diseases of fishes, Book 3: The prevention and treatment of diseases of warmwater fishes under sub-tropical conditions, with special emphasis on intensive fish farming" T.F.H. Publ., Jersey City: 127, (1971).
7. Mhaisen, F.T. "Index-catalogue of parasites and disease agents of fishes of Iraq", (Unpublished).
8. Mhaisen, F.T. "A review on the parasites and diseases in fishes of ponds and farms of Iraq" Iraqi J. Vet. Sci., 6(2): 20-28 (In Arabic), (1993).
9. Humes, A.G. and Gooding, R.H. "A method of studying the external anatomy of copepods" Crustaceana, 6(3): 238-240, (1964).
10. Ali, M.D. "Observations on lernaeosis and gyrodactylosis in carp fingerlings raised in ponds" J. Biol. Sci. Res., 16(1): 125-131, (1985).
11. Ho, J.-S. and Kim, I.H. "Lernacid copepods (Cyclopoida) parasitic on freshwater fishes of Thailand" J. Nat. Hist., 31: 69-84, (1997).
12. Robinson, J. and Avenant-Oldewage, A. "Aspects of the morphology of the parasitic copepod *Lernaea cyprinacea* Linnaeus, 1758 and notes on its distribution in Africa" Crustaceana, 69(5): 610-626, (1996).

Multiple Antibiotic Resistance of *Providencia* spp Isolated from Urinary Tract Infections

MOHAMMED F.AL-MARJANI

Dept. of Biology/ Microbiology-College of Science-AL-Mustansiriya
University

الخلاصة

تم التحري عن وجود بكتريا جنس *providencia* في 300 عينة إدرار وسطي لمرضى التهابات المجاري البولية آب/1999 الى كانون الثاني/2000. شخصت منها 21 حالة إصابة ببكتريا *providencia* spp وبنسبة 7%. اختبرت حساسية هذه العزلات المحلية للمضادات المستعملة. كانت مضادات التتراسا يكلينات هي الأقل فعالية ضدها. كما أظهرت نتائج هذه الدراسة احتواء جميع هذه العزلات على أكثر من حزمة بلازميدية واحدة. وكانت ثمانية عزلات لها القابلية على إنتاج أنزيمات البيتا لاكتاميز وبنسبة 38%.

ABSTRACT

A survey was performed on the presence of the genus *providencia* that causes Urinary Tract Infections in 300 samples of mid-stream urine collected from patients complaining from symptoms of U.T.I.s. From the results; obtained 21 cases (7%) were due to infection with *providencia* spp. Result showed that local isolates of *providencia* spp were 100% resistant to Tetracyclin, non of these isolates were resistant to Ofloxacin, all the isolates have shown multiple resistance for antibiotics. Out of the isolated bacteria, 38% showed the ability to produce B-lactamases enzymes. The Plasmid-DNA content for those isolates were studied, all those isolates contained more than one Plasmid band.

INTRODUCTION

Providencia spp are typical aetiological agents of nosocomial infections and are now of significant medical interest, this is attributed to the increase in numbers of elderly patients and improvements in medical care, resulting increasing numbers of nosocomial infection⁽¹⁾.

The five species have been associated with hospital- acquired urinary tract, wound and other infections (2). Those species include *P. alcalifaciens*, *P. rettgeri*, *P. rustigianii* and *P. stuartii* which have been isolated from clinical specimens, and *P. heimbachae*, which has been isolated only from penguin faeces (3).

Resistance to widely used antibiotics is a major problem in treatment of infections in hospitals and is further complicated by the emergence of multi-resistant gram negative rods containing transferable resistance factors (4). *Providencia* isolates are resistant to numerous antibiotics, otherwise, multiresistant prov. isolates have been described (5,6). The origin of this resistance was due to mutation in the genome, that give rise to resistance in microorganisms, gaining a genetic element (Plasmid), that carried the character of resistance from other bacteria that had it, and jumping elements between both plasmid and chromosome (7).

In gram negative, the B-lactamases are found within the periplasm and catalyse the hydrolysis and open the B-lactam ring (8).

Extended-spectrum B-lactamases confer resistance extended-spectrum tract (9). The object of this study was to investigate the occurrence of *Providencia* spp in U.T.I.s patients and to determine the natural susceptibility to a wide range of antibiotics of *Providencia* spp.

MATERIAL AND METHODS

1. Clinical specimens: a) Sources: Urine samples from (300) patients were collected from five hospitals in Baghdad during the period Aug./1999 to Jan./2000. b) identification: A total number of 21 clinical isolates were identified at the hospitals by classical microbiological methods and using API 20E system of classification according to (10).
2. Antibiotic Susceptibility Test: was done against 17 different antibiotics discs according to (11). The following antimicrobial agents were used: piperacillin (PRL 100µg), Mezlocillin (MEZ 75µg), Cephalexin (KF 30µg), Cefuroxime (CXM 30µg), Cefotaxime (CTX 30µg), Tetracycline (TET 30µg), Amoxicillin (AML 10µg), Ciprofloxacin (CF 30µg), Tetracycline (TET 30µg), Amoxicillin (AML 10µ), Ciprofloxacin (CF 30µg), ofloxacin (OFX 10µg), Nalidixic acid (NA 30µg), Streptocin (S 10µg), Nitrofurantion (F 300µg), Trimethoprim (W 1.25µg), Ceftriaxone (CRO 30µg), Gentamicin (CN 30µg), Carbencillin (CAR 100µg), Minocyclin (MN 30µg).

3. B-Lactamase detection test: was conducted to ⁽¹²⁾, by using a capillary tube method.
4. Plasmid isolation: Boling method was used according to ⁽¹³⁾.

RESULTS AND DISCUSSION

The results showed that 21 (7%) cases were due to U.T.Is with providencia spp. This results agreed with results obtained by ⁽¹⁴⁾ who showed the infection in U.T.Is to be 5%.

The percentage of resistance of these isolates (21) to each of the tested antibiotics are presented in table-1. The antibiotics of the Quinolones group were found to be the most effective against those bacteria, while the Tetracyclines group was the lest effective.

Another interesting finding in this study was that the third generation cephalosporines, which are also known as extended spectrum B-Lactams, represented by cefotaxime which showed low effective on the local provid. Isolates. Moreover, 52% of the isolates were resistant to ceftriaxone. The higher number of resistance may be a reflection of abused of antibiotics particularly broad spectrum cephalosporines as was mentioned earlier by ⁽¹⁵⁾.

Table-1- percentage of Resistance isolates of providencia to Antibitics

Antibiotics	R	Antib.	R	Antib.	R	Antib.	R	Antib.	R
	%		%		%		%		%
Ofloxacin	0	Nalidixic acid	28	Cefuroxime	48	Streptomycin	62	Nitrofurantion	92
Ciprofloxacn	5	Cefotaxime	28	Ceftriaxone	54	Carbencillin	70	Minocyclin	98
		Mezlocillin	32	Trimethoprm	60	Amoxycillin	80	Tetracyclin	100
Gentamicin	24	Piperacillin	47			Cephalexin	90		

An important point in our study was a multiple resistance to antibiotics in isolates (Fig-1), similar result was obtained by ⁽¹⁶⁾ and many isolates showing resistance to B-Lactam were found to resist other group of antibiotics such as multiple resistance is believed to

represent a critical factor for nosocomial outbreaks in hospitals, the situation indicator that such isolates could become a serious problem in the next few years.

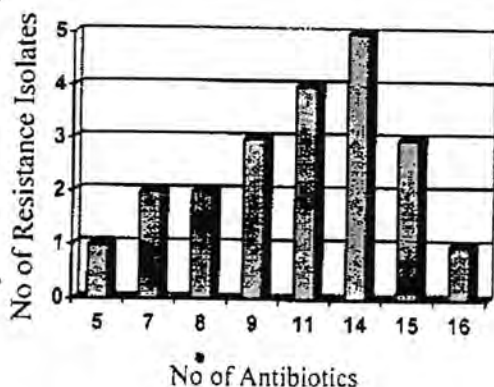


FIG-1: Distribution of provi. Isolates to No. of antibiotics.

It is obvious from table-2 that there were only 8(38%) isolates exhibited the ability to produce B-lactamases.

Table-2-: B-lactamases production of providencia isolates

B-Lactamases	No.	%
isolate producer	8	38.1
Isolate non producer	13	61.9

Mutations in the genes of familiar B-lactamases such as TEM and SHV lead to finding Extended spectrum B-Lactamases (ESBLs)⁽¹⁷⁾, that can cause resistance to extended spectrum cephalosporines, cefotaxime & ceftriaxone, in addition the older B-Lactams⁽¹⁸⁾.

ESBLs were recovered in providencia isolates and the ESBLs genes were carried on large conjugative Plasmid of 180 Kb⁽⁹⁾.

On the other hand, results of Plasmid content have shown that the isolates of providencia harboured more than one plasmid bands and besides, these isolates have contained at least one large plasmid band. (Fig-2).



Fig. (2) : Plasmids bands of selected of prov.

Continued evaluation of susceptibility patterns of pathogens causing U.T.Is to traditional as well as new antimicrobials in well defined Populations is necessary to ascertain the optimal empiric therapy

REFERENCES

- 1) Collee, J.G.; Fraser, A.G. and Simmons, A. Mackie and McCartney practical Medical Microbiology. (14th) ed. U. S. A. (1996).
- 2) Brooks, G. F.; Butel, J.s. and Morse, S.A. Jawetz, Melnick and Adelberg's Medical Microbiology. 21st ed. Appelton & Lange. (1998).
- 3) Baron, E.J.& Tenover, S.M. Bailey and Scott's Diagnostic Microbiology. 9th ed. C.V. Mosby Company. (1994).
- 4) Correa Lima, M.B.; Oliveira, C.F. and Galvao, L.F. Trends in Bacterial Resistance & Implications for Treatment of Infections. J. intern. Med. Res. 18: Suppl. 4: 3D-5D. (1990).
- 5) Lindsey, J.O.; Martin, Wt. And With, Ac. Outbreak of nosocomial proteus rettgeri U.T.I. Am. J. Epidemiol. 103: 2461-2469. (1976).
- 6) Cornagliani, G.; Frugoni, S. et al. Activities of oral antibiotics on providencia isolates from U.T.I. Patients. Antimicrob Agent. Chemother. 39: 2819-2821. (1995).
- 7) Prescott, L.M.; Harley, J.P. and Klein, D.A. Microbiology. 1st ed. W.M.C. Brown Publishers. Newyork(1990)
- 8) Hirako, M; Okamoto, R.; Inoue, M. and Mitsuhashi, S. Effect of B-Lactamases and Omp mutation on susceptibility to B-Lactam antibiotics in E. coli, Antimic. Agent. Chemother. 33:382-386. (1989).

- 9) Marchandin, H.; Carriere, C. et al TEM-24 produced by four different species of Enterobacteriaceae, including *Providencia*. *Antimicrob Agent. Chemother.* 43(8): 2069-73. (1999).
- 10) Baron, E.J. and Tenover, S.M. *Bailey & Scott's Diagnostic Microbiology*, 8th ed, C.V. Mosby Company. (1990).
- 11) Cruickshank, R.; Duguid, J.P.; Marmion, B.P. and Swain, R.H. *Medical Microbiology*. C.V. Mosby Company. (1975).
- 12) Koneman, E.W.; Allen, S.D. and Tenover, W.M. *Colorplates & Textbook of Diagnostic Microbiology*. 4th ed J.B. Lippincott company. (1992).
- 13) Holmes, D.S. and Quigley, M. A Rapid boiling method for preparation of bacterial plasmids. *Analyt. Biochem.* 114:193-197. (1981)
- 14) Orrett, F.A. Prevalence of *Proteus* in U.T.I in a region in Trinidad. *Chung-Hau-Hsueh. Tsa-Taipi.* 62: 438-42. (1999).
- 15) Sidorenko, S.V.; Strachunskii, L.S. et al The results of multicenter study of the comparative activity of cefepim and other antibiotics against the causative agents. *Antibiotic-Khimioter* 44(11): 7-16. (1999).
- 16) Lazarevic, G.; Petreska, D. and Pavlovic, S. Antibiotic sensitivity of bacteria isolated from the urine of children with U.T.I. *Srp-Arh-Celok.* 126: 423-9. (1998).
- 17) Jacoby, G.A. Genetics of ESBLs. *Eur. J. Clin. Microb. Infect. Dis.* Suppl. 1: 2-11. (1994).
- 18) Sanders, C.C. β -Lactamase of Gram negative bacteria New Challenges for New Drugs. *Clin. Infect. Dis.* 14: 1089-1099. (1992).

On an equivalence between Γ -groupoids and Cartan principal bundles

*ABID ALI AL-TAAI , SATTAR AL-JANABI**

* Dep. Of Mathematics, college of Science, Al-Mustansiriyah University

** Dep. F Mathematics, College of Education, Al-Qadisiyah University

الخلاصة

خلال دراستنا لحزم كارتان الاساسية و الزمرية التوبولوجية المشاركة لهما ، تثبت وجدود نوع من التكافؤ (الغير قانوني) بين فئة حزم كارتان الاساسية و فئة الزمروبات التوبولوجية من النوع .

ABSTRACT

Through the study of Cartan principal bundles and its associated topological groupoid, we show that there is a sort of non-canonical equivalence between the category of Cartan principal bundles and the category of topological Q-groupoid.

INTRODUCTION

A continuous free action of a topological group Γ on a topological space E defines topological groupoids $E \times \Gamma, E \times E$, such two groupoids are not isomorphic in TG (category of topological groupoids) and the orbit map $\Gamma \rightarrow E$ is not necessarily open. The action is principal if $E \times \Gamma, E \times E$ are isomorphic in TG^[2], in such case the orbit map is open and $\Gamma(E, \pi, E/\Gamma)$ is a Cartan principal bundle^[5], moreover $(E \times E / \Gamma, E/\Gamma)$ is a topological groupoid, called Q-groupoid^[2].

Conversely, given a Cartan principal bundle $\Gamma(E, \pi, B)$ we get a principal action of Γ on E with $B = E/\Gamma$ and then a Q-groupoid $(E \times E / \Gamma, E/\Gamma)$.

Our main interest here is to show that there exist two functors; F_1 from the category TQG of Q-groupoid with fixed point on its base, and F_2 from TQG to CPB. The two functors F_1, F_2 leads to an equivalence between CPB and TQG.

Definitions and notations

A topological groupoid is a groupoid $(G, B)^{(1)}$ together with topologies on G and B such that α, ω, γ and σ are continuous maps $^{(2)}$. This definition implies that α (source), β (target) are identification maps and ω (map of unites) is a topological embedding $^{(2,5)}$, the inversen map σ is a homeomorphism $^{(2)}$, notes that for every $X \in B$, the vertex group ${}_X G_X$ is a topological group and the transistor $\tau : G \rightarrow B \times B$ is continuous and for every $g \in {}_y G_x = \tau^{-1}(y, x)$, the map in $(g): {}_x G_x \rightarrow {}_y G_y; r \rightarrow rgr^{-1}$ is an isomorphism of topological groups, the map $R_g: G_y \rightarrow G_x; h \rightarrow hg$ is a homeomorphism of α - fiber space $^{(2,5)}$.

A morphism of topological groupoid is a morphism of groupoids $(f, f_0): (G, B) \rightarrow (G', B')$ [1] such that $f: G \rightarrow G'$ is continuous (which implies the continuity of $f_0: B \rightarrow B'$) $^{(2)}$. An isomorphism of topological groupoid is a morphism (f, f_0) of groupoid such that f is a homeomorphism (hence f_0 is a homeomorphism).

We denote by TG the category of topological groupoids (and their morphisms and the category of topological spaces (and their continuous maps).

(1-2)

A Q-groupoid is a (transitive) topological groupoid (G, B) such that $\delta_x: G_x \times G_x \rightarrow G; (g, h) \rightarrow gh^{-1}$ is an identification map for $x \in B$.

Notice that if $Y \neq x$ in B , then δ_x is also an identification map.

The following result is given in $^{(2,5)}$:

If $\Gamma(E, \pi, B)$ is a Cartan principal bundle, then $(E \times E / \Gamma, B)$ is a topological groupoid.

The groupoid $(E \times E / \Gamma, B)$ given above, is called Ehresmann groupoid $^{(1,2)}$.

The categories TQG, CPB.

Proposition $^{(2)}$:

If (G, B) is a Q- groupoid, then ${}_X G_X(G_x, \beta_x, B)$ is a Cartan principal bundle for every $X \in B$. Where $\beta_x = \beta|_{G_x} : G_x \rightarrow B$.

Proposition (5.1):

Let $\Gamma_z(E, \pi, B)$ be a Cartan principal bundle and $(G=E \times E / \Gamma, B)$ be the associated (topological) Ehresmann groupoid, then

(i) The map $F_{z_0} : E \rightarrow G_{x_0}$ defined by $Z \rightarrow [(z, z_0)]$ is a homeomorphism for $z_0 \in E$ with $\pi(z_0) = X_0$.

(ii) The map $\eta : \Gamma \rightarrow {}_{x_0}G_{x_0}$ defined by $r \rightarrow [(z_0, r, z_0)]$ is an isomorphism of topological groups where $z_0 \in E$ with $\pi(z_0) = X_0$.

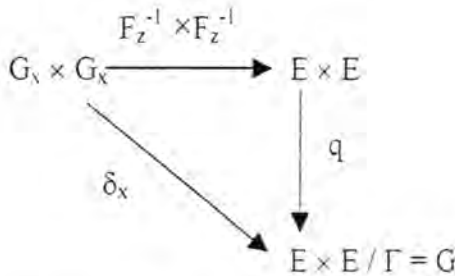
Proposition

Let $\Gamma_z(E, \pi, B)$ be a Cartan principal bundle, then the (associated) Ehresmann groupoid $(G=E \times E / \Gamma, B)$ is a Q-groupoid.

Proof:

It is enough to show that $\delta_x : G_x \times G_x \rightarrow G$ is an identification map for $X \in B$.

$F_z^{-1} : G_x \rightarrow E$ is a homeomorphism (II-2-I) $F_z^{-1} \times F_z^{-1} : G_x \times G_x \rightarrow E \times E$ is also a homeomorphism. The diagram



is commutative in T for which $F_z^{-1} \times F_z^{-1}$ is a homeomorphism and q is an identification map, so δ_x is an identification map.

A consequence of the three propositions, we have.

Corollary :

$\Gamma_z(E, \pi, B)$ and ${}_xG_x (G_x, \beta_x, B)$ are isomorphic Cartan principal bundles for every $z \in E$ with $\pi(z) = x$.

Proposition :⁽²⁾

Let (G, B) be a Q-groupoid , then for any one and hence every $x \in B$, the associated (Ehresmann) groupoid $(G_x \times_{G_x/x} G_x, B)$ to the cartan principal bundle ${}_x G_x (G_x, \beta_x, B)$ is isomorphic to (G, B) in TG.

We denote by TQG the category of Q-groupoids with fixed point on its base (and their morphism). TQG is a subcategory of TG, also denote by CPB the category of Cartan principal bundles with fixed point on its total space (and their morphisms).

Equivalence between TQG and CPB.

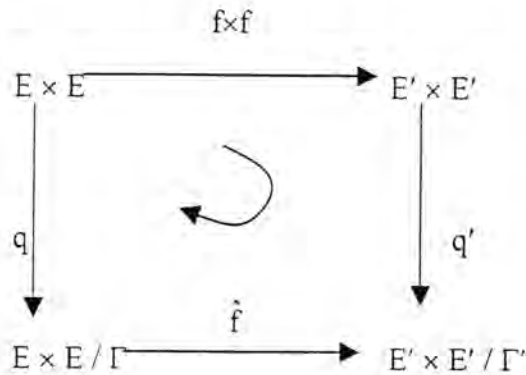
Proposition :

There is a (covariant) function F_1 from CPB to TQG and a covariant function F_2 from TQG to CPB.

Proof:

Let $\lambda = \Gamma(E, \pi, B)$ be an object in CPB, define $F_1(\lambda) = (G, B)$ where $(G, B) (E \times E / \Gamma, B)$ is the Q-groupoid given by (II-3).

Let $(\eta, f, f_0): \lambda = \Gamma(E, \pi, B) \longrightarrow (\lambda', \pi', B) = \lambda'$ be a morphism in CPB, define $F_1((\eta, f, f_0)) = (\hat{f}, F_0)$ where $\hat{f}: E \times E / \Gamma \longrightarrow E' \times E' / \Gamma'$ is the unique continuous map obtained by passing to quotient spaces for which the diagram



Is commutative in T: since $f(z.r) = f(z). \eta(r) \forall z \in E, r \in \Gamma$, the following

$$E \xrightarrow{f} E'$$

square is commutative $\downarrow \pi \quad \downarrow \pi'$ which implies the commutativity of the

$$B \xrightarrow{f_0} B'$$

following diagram in TQG;

$$\begin{array}{ccc} E \times E / \Gamma = G & \xrightarrow{\hat{f}} & G' = E' \times E' / \Gamma' \\ \downarrow & & \downarrow \\ B \times B & \xrightarrow{f_0 \times f_0} & B' \times B' \end{array}$$

a) It is clear that $F_1(1_\Gamma) = F_1(1_\Gamma, 1_E, 1_B) = (1_G, 1_B) = 1_{F_1(\lambda)}$ for any object $\lambda = \Gamma (E, \pi, B)$ in CPB, where $(G, B) = \hat{F}_1(\lambda)$ is the object in TQG with

$$G = E \times E / \Gamma$$

b) Let $(\eta, f, f_0), (\eta', f', f_0')$ be two composable arrows in CPB and let $(\hat{f}, \hat{f}_0), (\hat{f}', \hat{f}_0')$ be their image by F_1 respectively.

$$\begin{array}{ccccc} E \times E & \xrightarrow{f \circ f} & E' \times E' & \xrightarrow{f' \circ f'} & E'' \times E'' \\ \downarrow q & \curvearrowright & \downarrow q' & \curvearrowright & \downarrow q'' \\ E \times E / \Gamma & \xrightarrow{\hat{f}} & E' \times E' / \Gamma' & \xrightarrow{\hat{f}'} & E'' \times E'' / \Gamma'' \end{array}$$

Each square is commutative in T and the above arrows are composable, hence the down arrows are also composable and whole is commutative in T (quotient property).

Same argument can be applied to the following diagram

$$\begin{array}{ccccc} E & \xrightarrow{f} & E' & \xrightarrow{f'} & E'' \\ \downarrow \pi & & \downarrow \pi' & & \downarrow \pi'' \\ B & \xrightarrow{f_0} & B' & \xrightarrow{f_0'} & B'' \end{array}$$

Since we have ;

$$(f' \circ f)(z.r) = f'(f(z). \eta(r)) = f'(f(z)). \eta'(\eta(r)) = (f' \circ f)(z). (\eta' \circ \eta)(r) \forall z \in E,$$

$\forall r \in \Gamma$. The last diagram implies that the two squares are composable and the whole diagram is commutative in TQG;

$$\begin{array}{ccccc}
 G = E \times E / \Gamma & \xrightarrow{\hat{f}} & G' = E' \times E' / \Gamma' & \xrightarrow{\hat{f}'} & E'' \times E'' / \Gamma'' = G'' \\
 \downarrow & & \downarrow & & \downarrow \\
 B \times B & \xrightarrow{f_0 \times f} & B' \times B' & \xrightarrow{f'_0 \times f'_i} & B'' \times B''
 \end{array}$$

It is clear that $F_1((\eta', f', f'_0) \circ (\eta, f, f_0)) = F_1((\eta', f', f'_0)) \circ F_1((\eta, f, f_0))$ and F_1 is a covariant functor.

Let (G, B) be an object in TQG. Define $F_2((G, B)) = {}_x G_x(G_x, \beta_x, B)$ for fixed $x \in B$. ${}_x G_x(G_x, \beta_x, B)$ is an object CPB (II-1), and let $(\hat{f}, f_0): (G, B) \rightarrow (G', B')$ be an arrow in TQG, then we have a trio of maps in T

$\eta: {}_x G_x \rightarrow {}_{x'} G_{x'}$, $g: G_x \rightarrow G_{x'}$, $f_0: B \rightarrow B'$ which represent a morphism from ${}_x G_x(G_x, \beta_x, B)$ to ${}_{x'} G_{x'}(G_{x'}, \beta_{x'}, B')$ of Cartan principal bundles ⁽²⁾.

Define $F_2((\hat{f}, f_0)) = (\eta, f, f_0)$ for fixed $x \in B$ with $x' = f_0(x)$.

a) It is evident to see that $F_2(1_{(G, B)}) = 1_{F_2((G, B))}$.

b) Let $(\hat{f}, f_0), (\hat{f}', f'_0)$ be two composable arrows in TQG and let $(\eta, f, f_0), (\eta', f', f'_0)$ be their image by F_2 respectively. ${}_x G_x \xrightarrow{\eta} {}_{x'} G_{x'} \xrightarrow{\eta'} {}_{x''} G_{x''}$ are composable homomorphisms of topological groups and $G_x \xrightarrow{f} G_{x'} \xrightarrow{f'} G_{x''}$ are composable maps in T (they represent the restrictions of the composable maps f, f' in T on ${}_x G_x, {}_{x'} G_{x'}$ and

$G_x, G_{x'}$ as subspace of G, G' respectively for $x \in B, x' \in B'$ with $f(x) = x', f(x') = x''$.

But $B \cong G_x / {}_x G_x, B' \cong G_{x'} / {}_{x'} G_{x'}, B'' \cong G_{x''} / {}_{x''} G_{x''}$ in T, the commutative squares in the following diagram are composable and the whole diagram is commutative in T, i.e., (η, f, f_0) and (η', f', f'_0) are composable morphisms in CPB.

It is easy to see that $F_2((\hat{f}', f'_0) \circ (\hat{f}, f_0)) = F_2((\hat{f}', f'_0)) \circ F_2((\hat{f}, f_0))$ and F_2 is a covariant functor.

Theorem :

There is an equivalence between the two categories TQG and CPB.

Proof

We will show that there a natural transformation from $F_1 \circ F_2$ to 1_{TQG} and a natural transformation from $F_2 \circ F_1$ to 1_{CPB} , each transformation will be here an equivalence.

Now, for each object (G,B) in TQG , $(F_1 \circ F_2)(G,B)$ is an object in TQG isomorphic to (G,B) (II-1,II-5 and III-3) so define $\varphi(G,B)$ to be the arrow in TQG given by such isomorphism $(F_1 \circ F_2)(G,B) \xrightarrow{\cong} 1_{TQG}(G,B)$ where 1_{TQG} represents the identity functor for TQG , i.e., assign to each object (G,B) in TQG an isomorphism in TQG .

Let $(\hat{f}, \hat{f}_0): (G,B) \rightarrow (G',B')$ be an arrow in TQG , the following diagram is commutative in TQG (using II-1, II-3,II-5 and III-1);

$$\begin{array}{ccc}
 F_1 \circ F_2(G, B) & \xrightarrow{F_1 \circ F_2(\hat{f}, \hat{f}_0)} & F_1 \circ F_2(G', B') \\
 \downarrow \varphi(G, B) \cong & \curvearrowright & \downarrow \varphi(G', B') \\
 (G, B) & \xrightarrow{(\hat{f}, \hat{f}_0)} & (G', B')
 \end{array}$$

That is to say φ is a natural equivalence from $F_1 \circ F_2$ to 1_{TQG} . From the other side, for each object $\Gamma(E, \pi, B)$ in CPB , $F_2 \circ F_1(\Gamma(E, \pi, B))$ is an object in CPB isomorphic to ${}_x G_x(G_x, \beta_x, B)$ for $z \in E$ with $\pi(z) = x$ (II-3,II-4). Define $\psi(\Gamma(E, \pi, B))$ to be the arrow in CPB given by the isomorphism from $F_2 \circ F_1(\Gamma(E, \pi, B))$ to ${}_x G_x(G_x, \beta_x, B)$ for fixed $z \in E$ with $\pi(z) = x$.

Let $(\eta, f, f_0): (\Gamma(E, \pi, B)) \rightarrow \Gamma(E', \pi', B')$ be an arrow in CPB (with fixed $z \in E$ and $\pi(z) = x; z' = f(z)$ and $\pi'(z') = f_0(x)$) the following diagram is commutative in CPB (using II-1, II-3,II-5 and III-1);

$$\begin{array}{ccc}
 F_2 \circ F_1(\Gamma(E, \pi, B)) & \xrightarrow{F_2 \circ F_1((\eta, f, f_0))} & F_2 \circ F_1(\Gamma(E', \pi', B')) \\
 \downarrow \psi(\Gamma(E, \pi, B)) \cong & \curvearrowright & \downarrow \psi(\Gamma(E', \pi', B')) \\
 \Gamma(E, \pi, B) & \xrightarrow{(\eta, f, f_0)} & \Gamma(E', \pi', B')
 \end{array}$$

which means that ψ is a natural equivalence from $F_2 \circ F_1$ to the identity functor 1_{CPB} of CPB.

REFERENCES

- [1]: Al-Ta'ai, A.A. "Symmetry between principal action law of group and groupoid" AL-Mustan. J. of Sc. V. g, No. 3, (1998).
- [2]: Al-Ta'ai, A.A.and Janabi, S.H." principal action of certain type of topological groupoid" Dirasat, pure. Sc. V. 28, No. 1, (2001).
- [3]: Higgins, P.J. "Introduction to topological groups" Lond. Math. Soc. Lecture note series 15, (1974).
- [4]: Husemoller, D. "Fiber bundles" Sprin. Verl. 2nd edition (1974).
- [5]: Mackenzie, K. "Lie groupoids and lie algebroids in differential geometry" Lond. Math. Soc. Lecture note series 124, (1987).
- [6]: S. Maclane "Categories for the working Math." Springer Verl., (1971).

اختيار حساسية الفطر *Botrytis cinerea* لـ بعض المبيدات بطريقة تلقیح بقع مكوية في اوراق الباذنجان

احسان شفيق دمير داغ & عبدالعزيز مجيد نخيلان && عادل قائد الارياني
قسم علوم الحياة & كلية العلوم & الجامعة المستنصرية && بغداد -العراق

ABSTRACT

Some aspects of the grey mold disease in Eggplants (*Solanum melongena* L.) caused by *Botrytis cinerea* pers ex.fr. was studied. Three isolates of the fungus were used. When spore suspension of the fungus was sprayed on the leaves in the absence of fungicides (control tests) all spots developed successful infection and the diameter of spots reached 2.5, 2.9 cm on sixth day after inoculation. When leaves were inoculated by the fungus before treatment with 1.0g/l Benlate (Benomyl) at 1-5 spots out of 8 developed successfully infection and the diameter of the spot ranged between 1.0-1.2 cm whereas at conc. of 1.3-2.1 cm. In rest with Rovral at concentration of 8 developed spots with a diameter of 1.0-1.1 cm. Whereas at conc of 0.5 g/l Rovral there were 4-8 out of 8 and the spot diameter range was 1.4-2.3 cm. Notably with switch at conc of 1.0 g/l 0.5 g/l not a single spot developed successful infection. In other series of the fungicides were sprayed first then after 24 hrs the leaves were inoculated with spores suspension. similar results were obtained.

الخلاصة

دراسة بعض جوانب مرض التعفن الرمادي على نبات الباذنجان *Solanum melongena* لدى بيئه *Botrytis cinerea* pers. ex.fr. عند رش سبورات الفطر (من ثلاث عزلات مختلفة) على اوراق نبات الباذنجان التي فيها بقع مكوية بالمسمار الحار تطورت جميع البقع الى اصابت ناجحة وتوسعت اقطارها ليبلغ قطراً في اليوم السادس بين 2.5، 2.9 م كمعدل للعزلات الثلاثة في حالة السيطرة (بدون مبيدات) وفي تجارب تلقیح الاوراق بتعفن فيرشها بالبنيليت (البيوميل) بتركيز اغم/لتر فقد بلغ عدد البقع الناجحة

اختيار حساسية الفطر *Botrytis cinerea* - بعض المبيدات بطريقة تقحيح بقع مكوية في اوراق الياذنجان احسان شفيق ديمير داغ وجماعته

1-5 من مجموع 8 وبلغت اقطارها بين 1-1.2 سم (للعزلات الثلاث) وعند استخدام النيث بتركيز 0.5غم / لتر فقد بلغ عدد البقع المتطورة 2-8 من مجموع 8 بقع وبلغ قطر البقعة 1.3-2.1 سم (لعزلات الثلاثة) . اما عند استعمال المبيد روفرال 1غم/لتر فقد كان عدد البقع الناجحة بين صفر -3 وقطر البقعة 1-1.1 سم (للعزلات الثلاثة) وعند رش مبيد روفرال بتركيز 0.5غم/لتر فقد كان عدد البقع الناجحة 4-8 من مجموع 8 وبلغ قطر البقعة 1.4-2.3 سم (للعزلات الثلاثة) اما المبيد سويتش فقد منع كلياً تطور اية بقعة الى اصابة ناجحة سواء استخدم قبل او بعد التقحيح وبكلا التركيزين 1.0غم/لتر و 0.5غم/لتر .
وفي تجارب رش الاوراق بالمبيدات لمدة 24 ساعة قبل تقحيحها بالفطر فقد حصلت نتائج مابذة.

المقدمة

يعد الياذنجان *Solanum melongena* L من المحاصيل الميعة جدا في العراق وهو من المحاصيل الصيفية ولكن في الشتاء يزرع محميا داخل البيوت الزجاجية او داخل بيوت بلاستيكية . ويصاب هذا المحصول مثل بقية المحاصيل بامراض كثيرة منها مايسمى التعفن الرمادي grey mold ويسببه الفطر *B. cinerea* Pers. Ex Fr. الذي يصيب الياذنجان المزروع محميا داخل بيوت الزجاجية او البلاستيكية (الزهرون 1983 ولم نجد مايشير الى اصابة النباتات المزروعة مكشوفة خلال الصيف ولانتوقع حدوثها في بغداد ذلك لان الفطر يحتاج الى درجات حرارة ورطوبة عالية Sose er al 1995 Sirjusingh & Sutton 1996 هناك ابحاث قليلة منشورة عن الامراض التي يسببها الفطر بوترايتس في العراق مثلاً (خيلان 1979 شريف ودمير داغ 1983) وواضح ان مشكلة مرض التعفن الرمادي لم تدرس في العراق على الرغم من كثرة انتشاره والخسائر الملحوظة التي تسببها المرض بالرغم من كثرة استعمال المبيد بنيت (بيوميل) في البيوت الزجاجية (مشاهداتنا الحقلية) وقد يعود ذلك الى ظهور عزلات من الفطر مقاومة ليداً المبيد : Burgesu & Keane 1997 Ellison et al 1998 ان دراسة المرض تحتاج الى طريقة للتقييم الكمي للتفريق كتلك التي عرض اليها نعمان (DeMeyer & Hotte 1997) وعليه استهدفت الدراسة اختيار امكانية تطبيق هذه الطريقة مع اختيار حساسية للفطر *Botrytis cinerea* المسبب لمرض التعفن

الرمادي Grey mold في الباذنجان لبعض المبيدات الكيميائية بغية استخدامها لاحقاً في تجارب متشابهة .

المواد وطرائق العمل

1- تهيئة العزلات تم الحصول على ثمار نبات الباذنجان المصابة بالفطر بوترايس من ثلاثة مواقع متباعدة في بغداد وهي منطقة الدورة وسميت بالعزلة (1) ومنطقة القساة وسميت بالعزلة (2) ومنطقة الراشدية وسميت بالعزلة (3) وكانت الاعراض المرضية على الثمرة واضحة مثل انمو الرمادي والسبورات الفطر والحوامل الكونيدية وظهور شريط فاتح اللون في البقعة المصابة من الثمرة حول منطقة السبورات وتلين هذا الشريط دلالة على فعل انزيم البكتين وكان غبار من السبورات الكونيدية تتطاير بسهولة من كتلة النمو الفطري بتحريك الثمرة او الضرب عليها بالاصبع واستخدمت هذه الطريقة لايقاع السبورات على وسط مستخلص البطاطا بالاكار (PDA) وتحت ظروف معقمة . حضرت عدة اطباق من كل نموذج وتم التأكد بالفحص المجهرى من تطابق صفات الفطر المعزول وكل من العزلات الثلاث بصفات الفطر (Jarvis .1980) B. cinerea (Hemebert . 1973).

2- تلقيح اوراق نباتات الباذنجان بالفطر Botrytis cinerea

اجريت محاولات عديدة لاصابة نباتات الباذنجان بالفطر للوصول الى تقييم كمي للبقع الاصابة الا ان رش الاوراق بمعلق السبورات لم تؤدي الى اصابة واضحة بل ظهرت مستعمرة الفطر بشكل غير متجانس في حالة حفظ الاوراق الملقحة في كيس نايلون ولم تظهر المستعمرات في حالة عدم حفظ الاوراق في كيس نايلون ولوحظ ان درجة الحرارة عامل مهم جدا ايضا في حدوث الاصابة فلم تظهر الاصابة في الاشهر الحارة من السنة اعتباراً من نيسان - تشرين الاول . ولغرض اجراء تقييم كمي اتبعت طريقة الباحثان (Demeyer and Hofte . 1997) وذلك بتسخين الرأس العريض لمسمار صغير على لب ثم لمس سطح الورقة برأس المسمار حيث اتت الى قتل البقعة الملامسة بفطر حوالى 6ملم ثم رشت الورقة بمعلق سبورات الفطر (من كل عزلة) التي جمعت من مزرعة الفطر النامية لمدة عشرة ايام على وسط مستخلص البطاطا بالاكار بحيث كان معلق السبورات

اختبار حساسية الفطر *Botrytis cinerea* - بعض المبيدات بطريقة تلقيح بقع مكوية في اوراق الباذنجان
احسان شفيق دميرداغ وجماسته

يحتوي على 5×10^5 سبور /مل في الماء المقطر والمعقم بواسطة مرشاة "بخاخ" يدوية
وحداد رشتين للورقة الواحدة عنمت 4 بقع مكوية في كل ورقة ثم وضع كيس نايلون
شفاف على كل ورقة لتوفير الرطوبة اللازمة لمدة 48 ساعة رفع بعدها الكيس ، اجريت
الاختبارات هذه في البيت الزجاجي خلال اشهر تشرين الثاني الى شباط للعام 2000 -
2001 وتراوحت درجة الحرارة في البيت بين 18-22م و تطورت الاصابة في البقع
لمحروقة وتم قياس قطر البقعة وحساب عدد البقع المصابة لكل معاملة وخلال مدة امد بعد
جراء التلقيح .

اعدت التجارب ثلاث مرات :

3- اختبار تأثير بعض المبيدات على المرض قبل بعد التلقيح بالفطر
جررت هذه الاختبارات بموجب الطريقة المذكورة انفاً (الفقرة 2) وتم اجراء المعاملات
ثانية وكرارها ثلاث مرات والعزلات الثلاثة وباستخدام ورقتين في كل منها اربعة بقع
مكوية لكل معاملة موزعة على اكثر من نبات واحد . وتم تلقيح الاوراق بالفطر قبل اوبعد
24 ساعة من رشها باحد المبيدات بنوميل (بنليت) روفرال وسويج وبتراكيث نصف غرام
وواحد بالنتر (ماء) وتعرض السيطرة لفتح عدد مماثل من البقع ولكن دون رشها بالمبيدات .

النتائج

ختبارات تأثير المبيدات على الفطر *Botrytis cinerea*

اختبار تأثير التلقيح بالفطر قبل الرش بالمبيدات بتركيز 1 غم/ لتر بمدة 24 ساعة منذ اليوم
ثالث تلقيح بدأ تطور ووضوح البقع الناجحة في الاصابة ولكن انهيبت التجربة في اليوم
السادس بسبب توسع البقع وتبدل الاوراق واعدت البقعة متطورة في حالة كونها طرية وشفافة
بعد تلقيها اثنائي بالماء Water Soaked ثم ظهور السورات بشكل واضح ومن الجدول
رقم 1 ان جميع العزلات كانت حساسة لهذا التركيز من المبيد Switch حيث لم تتطور
بقع على ثم تلقيحها على الورقة كذلك العزلة رقم (2) كانت حساسة المبيد Rovral وان العزلة
رقم (3) حساسة للمبيد Benlate مقارنة بالعزلة رقم (2) ورقم (1) ومقارنة بالسيطرة يلاحظ
بعض من الجدول رقم 1 ان جميع البقع التي لقت ولم تعامل بالمبيدات تطورت الى بقع

واضحة وبقطر أكبر بكثير (بمرتين على الأقل) من قطر البقع القليلة التي تطورت في حالة استعمال المبيدات .

اختبار تأثير رش 1غم/لتر من المبيد قبل التلقيح بالفطر لمدة 24 ساعة

يلاحظ من الجدول رقم 2 ان البقع الملقحة في معامل السيطرة قد تطورت بقعتان فقط في العزلة رقم (1) بوجود البنيت وتطورت بقعة واحدة بوجود تروفال . اما المبيد سويتش فقد منع كليا تطور أي بقعة من البقع الملقحة لكل العزلات المختبرة ويبدو واضحا من الجدول ان الفروق معنوية بدون اللجوء الى احصاء بسبب الفرق الكبير بين السيطرة والمعاملات وعند مقارنة تأثير البنيت في الجدول رقم 1 (رش المبيد قبل التلقيح بالفطر) كان اكثر منعا في تطور البقع وكذلك انفطر مما هو الحال في الجدول رقم 2 حيث تم رش المبيد بعد التلقيح بانفطر أي ان التأثير الوقائي للمبيد اكبر من التأثير العلاجي ولا يمكن التمييز هنا في تأثير السويتش الوقائي عن العلاجي بسبب عدم تصور أي بقعة في كلي الحالتين .

اختبار تأثير التلقيح قبل الرش بالمبيدات بتركيز 0.5غم/لتر اولا لمدة 24 ساعة

نتيجة تلقيح البقع على اوراق الباذنجان بالفطر *B. cinerea* بدأت ظهور الاصابة ونمو الفطر في البقع الملقحة منذ اليوم الثالث بعد التلقيح وانتهت التجربة في اليوم السادس فقد تطورت جميع البقع الملقحة الى اصابات ناجحة في معاملة السيطرة الجدول رقم (3) اما الاوراق التي تم رشها بتركيز 0.5غم/لتر بنليت بعد التلقيح فقد تبين عند البقع المتطور حسب العزلة الملقحة فقد نجحت العزلة رقم 1 في اصابة جميع البقع في حين تطورت بقعتان فقط بفعل العزلة رقم 3 اما المبيد سويتش فقد منع جميع العزلات الثلاث من انتاج الاصابة ، اما المبيد روفرال فقد منع كليا العزلة رقم (2) ونجحت كل البقع الملقحة بالعزلة رقم (1) ونصف العدد بالعزلة رقم (3) وهذه النتائج توضح تبين حساسية العزلات اتجاه المبيدات المختلفة وكون المبيد بنليت اقل المبيدات منعا لنمو الفطر *B.cinerea* على الرغم من ان هذا المبيد قد قلل جزئيا عدد البقع وقطر البقع المتطورة .

اختيار حساسية الفطر *Botrytis cinerea* - بعض المبيدات بطريقة تلقيح بقع مكوية في اوراق البانجان
احسان شفيق دميرداغ وجماسته

اختبار تأثير رش 0.5 غم/ لتر من المبيدات قبل التلقيح بالفطر 24 ساعة
نتيجة لتلقيح الاوراق في البقع المكوية تطورت كل البقع الملقحة الى اصابات ناجحة في
الاوراق التي تم ترش بالمبيدات (معاملة السيطرة) جدول رقم (4) وكان قطر البقعة بين 2.5
سم و 2.9 سم اما في الاوراق المرشوشة بالبنيليت فقد تراوحت نسبة الاصابة بين اربعة بقع او
خمسة من مجموع ثمان بقع منقحة وبلغ قطر البقع بين 1 - 1.5 سم أي بمقدار حوالي 50% من
قطر البقع في السيطرة اما في الاوراق المرشوشة بمبيد السويتش فلم تتطور اية بقعة الى اصابة
ناجحة جدول رقم (4) وتباين تأثير المبيد روفرال حسب العزلات المستعملة ويلاحظ من مقارنة
النسج في الجداول الاربعة ان البنيليت كان ذو فعل وقائي اكثر مما هو علاجي .

النتائج

جدول رقم (1) نسبة وقطر البقع التي تطورت الى اصابة ناجحة (بعد 6 ايام) نتيجة
التلقيح بالفطر قبل الرش بمدة 24 بالمبيدات المذكورة بتركيز 1غم/ لتر.

رقم السيطرة	Rovral		Switch		Benlate		العزلة
	معدل قطر البقع المتطورة	معدل البقع المتطورة	معدل قطر البقع المتطورة	معدل البقع المتطورة	معدل قطر البقع المتطورة	معدل البقع المتطورة	
1	1.1	*	Zero	1.2	2.6	*	1
2	Zero	Zero	Zero	1	2.9		2
3		Zero	Zero	1.1	2.5		3

- كل قراءة تمثل معدل قطر البقعة بالسنتيمترات لثلاث مكررات في اليوم السادس للتلقيح
بالفطر
- جدول رقم (2) نسبة وقطر البقع التي تطورت (بعد 6 ايام) الى اصابة ناجحة نتيجة
الرش بالمبيدات بتركيز 1غم/ لتر قبل التلقيح بالفطر.

Rovral		Switch		Benlate		السيطرة		رقم
معدل	البقع	معدل	البقع	معدل	البقع	معدل	عدد البقع	العزلة
قطر البقع	المتطورة	قطر البقع	المتطورة	قطر البقع	المتطورة	قطر البقع	المتطورة	العدد الكلي
1.3				1.2		3.2	*	1
Zero		Zero		1.2		3.8		2
		Zero		Zero		3.6		3

* كل قراءة تمثل معدل قشر البقعة بالسنتيمترات لثلاثة مكررات في اليوم السادس للتلقيح بالفطر .

جدول رقم (3) نسبة وقطر البقع التي تطورت الى اصابة ناجحة (بعد 6 ايام) نتيجة للتقيح بالفطر قبل الرش بمدّة 24 ساعة بالمبيدات المذكورة بتركيز 0.5 غم/ لتر .

Rovral		Switch		Benlate		السيطرة		رقم
معدل	البقع	معدل	البقع	معدل	البقع	معدل	عدد البقع	العزلة
قطر البقع	المتطورة	قطر البقع	المتطورة	قطر البقع	المتطورة	قطر البقع	المتطورة	العدد الكلي
2.3		Zero		2.1		2.9	*	1
Zero		Zero		1.6		3.1		2
1.4		Zero		1.3		2.5		3

* كل قراءة تمثل معدل قشر البقعة بالسنتيمترات لثلاثة مكررات في اليوم السادس للتلقيح بالفطر .

جدول رقم (4) نسبة وقطر البقع التي تطورت الى اصابة بعد رش 0.5 غم/ لتر من المبيدات ثم التلقيح بمدّة 24 ساعة من رش المبيدات .

اختبار حساسية الفطر *Botrytis cinerea* لبعض المبيدات بطريقة تلقیح بقع مكوية في اوراق الباذنجان
احسان شفيق دميرداغ وجماعته

رقم العزلة	السيطرة		Benlate		Switch		Rovral	
	عدد البقع المتطورة /العدد الكلي	* معدل قطر البقع المتطورة	البقع المتطورة	* معدل قطر البقع المتطورة	البقع المتطورة	* معدل قطر البقع المتطورة	البقع المتطورة	* معدل قطر البقع المتطورة
1	*	2.7		1.5	Zero		18	
2		2.5		1.3	Zero		Zero	
3		2.9		1	Zero		1	

• كل قراءة تمثل معدل قطر البقعة بالسنتيمترات لثلاثة مكررات في اليوم السادس لتلقيح
بالفطر .

المناقشة

استهدفت الدراسة الحالية للتأكد من وجود سلالات مقاومة من الفطر بوتريتيكس
B. cinerea للمبيدات المستعملة فضلا عن اختبار صلاحية مبيدات مختلفة لمقاومة الامراض
الذي يسببه هذا الفطر ، وتحقيق ذلك كان من الضروري الوصول الى طريقة عمل او نظام
يمكننا من متابعة هذه الفعاليات بوجود او غياب المبيدات الكيميائية او العنصر المعدني
وبتراكييز مختلفة وقد تم التحقيق في ذلك وتسجيل نتائجها حسبما موضح في طرائق العمل
وفصل النتائج .

وفي نظر الباحثون فان الطرائق المتبعة في هذا البحث توفر صيغة جيدة وربما جديدة
ومتكاملة في اختبار وتقييم كفاية معظم المبيدات الفطرية ويمكن اجرانها بسهولة في أي مختبر
سيط لامراض النباتات ويمكن تطوير الطريقة لدراسة حالات بقع الاوراق والثمار . وبسببه
الطريقة يمكن التغلب على مشكلة الماء نباتات كثيرة وغمر سويتاتها في الماء وحفظها في حيز
صغير ملائم لتطور المرض فضلا عن ذلك يمكن انتخاب اوراق من نبات واحد وتجاوز اثنيلين
بين نباتات مختلفة في حساسيتها لسبب مرضي معين . وعلى وفق ما جاء اعلاه فقد استعملت
ثلاث عزلات من الفطر لاختبار تأثير مبيد البنوميل الذي يتعمل بكثرة في العراق منذ السبعينات
فضلا مبيدين اخرين وهم روفرال المستعمل سابقا في العراق ومبيد السويتش الذي لم يسبق
العمل على نطاق تجاري في العراق واطهرت النتائج تبان عزلات فيما بينها في حساسيتها
للمبيدات وكان المبيد الجديد سويتش اقوى هذه المبيدات في تقليل او منع كليا لانيات السبورات

للغزلات الثلاثة وفي منع الإصابة في أوراق الباذنجان الملقحة بالفطر . ان عزلات الفطر قد قاومت بدرجات متفاوتة مبيد البنثيات المتداول ولكنها لم تقاوم وكانت حساسية ضد التراكين الواطئة من المبيد الجديد سويتش الذي لم يتعرض له الفطر سابقاً .

ان سبب تطور البقعة المحروقة بتسمار الحال يعود الى موت هذه البقعة بالحرارة وكونها جاهزة للإصابة بالفطر *B. cinerea* المعروف عن كونه مسبب مرضي ضعيف يعيش على النسيج الميت او الضعيف وبفعل الانزيمات التي يفرزها من قبل ان يصل الماييسليا الى تلك النسيج (Agrios , 1988 : Martinez . 1982) .

ونتيجة لهذه الدراسة يمكننا القول انه بالامكان مراقبة الحقل اسبوعياً من اجل التحقق من احتمالية حدوث المرض وذلك بان تحرق بقع على عدد من الاوراق على نباتات الحقل وتعريضها للهواء لساعتين مثلاً ثم تعضية هذه الاوراق بالنايون ليوم واحد او اثنين لتوفير الرطوبة اللازمة لحدوث المرض ثم مراقبة هذه الاوراق ونظور البقع الملقحة الى اصابت ناجحة فاذا حدثت الإصابة فذلك يعني وجود المسبب المرضي *B.cinerea* وملائمة الظروف للإصابة من ناحية ثانية يمكن رش بعض هذه الاوراق بمبيد فطري معين للاختبار وفي حالة تطور الإصابة في الاوراق غير المرشوشة بالمبيد وعدم تطورها بوجود المبيد فان ذلك يدل على صلاحية المبيد للمقاومة . وهكذا يمكن اختبار اكثر من مادة في الحقل . ومن حيث الوقت فان النتائج التي حصلنا عليها تشير الى ظهور البقع المرضية في اليوم الثالث من الرش ونكسر النتائج سجلت في اليوم السادس لمعرفة مدى توسع البقعة وهذا يعني انه في حالة الاختبارات المشار اليها نستطيع اتخاذ القرار بشأن استعمال مبيد خلال اربعة ايام على الاكثر كما اشار الباحثان (Fourie & Holz , 1995 ان سبوت *B. cinerea* الموضوع في قطرات على ثمار الخوخ قد نمت خلال 3 ساعات وفي الثمار الناضجة قد حدثت الإصابة وتشجعت خيوط الغزل الفطري داخل وما بين الخلايا بعد مدة 24 ساعة من الرش .

وهذه المعلومات تفيد بإمكانية تطبيق الفكرة اعلاه والافضل اجراء اختبارات حقلية قبل اتخاذ قرار اخير بشأنها .

REFERENES

1. الزهرون ، هناء حمد ، دراسات وظيفية وحياتية على الفطر Bervis cinerea (1983)
2. رسالة ماجستير مقدمة الى كلية علوم ، جامعة بغداد .
3. شريف ، قياض محمد ، ودميرداغ ، احسان شفيق ، 1983 ، دراسة للحبة الورد المتسبب عن نخيلان ، عبدالعزيز مجيد ، ، دراسة عن امراض الخزن لثمار الخيار والتعيب التي تسببها الفطريات رسالة ماجستير مقدمة الى جامعة السليمانية ، العراق . (1979)
4. Agrios .G.N. , plant pathology , 3rd edn New York : academic pre . (1988).
5. Burgess , D.R. and Keane , P.J. .biological control of Botrytis cinerea on chickpea seed with trichoderma spp . And Gliocladium roseum : indigenous versus non – indigenous isolates . Plant pathology . 46:910 –918 . (1997).
6. DeMeyer Gr and Hofte M . Salicylic Acid produced by the Rhizobacterium pseudomonas aeruginosa 7NSK2 Induces Resistance to Leaf – infection by Botrytis cinerea on Bean phytopathology . 87:588-593 . (1997)
7. Ellison P.: Ash . Gn McDonald . C. . An Expert System for the Management of Botrytis cinerea in Australian Vineyards I. Development Agricultural Systems 56(2) : 185 – 207. (1998).
8. Fourie J. F. and Holz Initial Infection Processes by Botrytis cinerea on Nectarine and Plum Fruit and the Development of Decay . phytopathology . 85-82-87. (1995).
9. Hennebert G. L . . Botrytis and Botrytis – like genera Persoonia 7(2) : 183 –204 . (1973).
10. Jarvis W. R., Taxonomy W. verhoeff and W.R. Jarvis . In pp 1-19 the biology of Botry . by J. R. Coley –smith . (1980)
11. Martinez . M. J., Reyes . F. and Lahoz . R. Cell Wall Plant Polysaccharide – Degrading Enzymes in Autolysis of Botrytis cinerea . Trans . Br . Mycol .Soc . 78 (3) : 395 –403 . (1982).

12. Sirjusingh C. and Sutton .J. C. Effect of Wetness Duration and and Temperature on Infection of Geranium by Botrvtis cinerea Plant disease . (80 (2) : 160 –165. (1996).
13. Sosa Alvarea M., Madden L . V. and Ellis , M.AEffects of Temperature and Wetness Duration on Sporulation of Botrvtis cinerea on Strawberry Leaf Residues Plant disease . 79 (6): 609-615 . (1995).

التهاب الاذن اللوسطي القيحي عند البالغين في مدينة الموصل

د. اميرة محمود الراوي *

هيام عادل الطائي *

* الاستاذ مساعد - جامعة الموصل - كلية العلوم - قسم علوم الحياة

* مدرس مساعد - جامعة الموصل - كلية العلوم - قسم علوم الحياة

الخلاصة

جمعت 95 مسحة اذن من اشخاص مشكوك باصابتهم بمرض التهاب الاذن اللوسطي القيحي Purulent otitis media وباعمار تراوحت بين 15 - 55 سنة أثناء مراجعتهم لوحدة الانف والاذن والحنجرة (ENT) في العيادة الاستشارية لمستشفى الزهراوي في الموصل بعد خضوعهم للفحص الطبي باستخدام جهاز منظار الاذن Otoscope . تم عزل وتشخيص الجراثيم المسببة وحددت النسب المئوية للاصابات المختلطة فضلا عن ذلك تم دراسة دور بعض العوامل المؤثرة على نسبة الاصابة كالعمر والجنس والحالة الاجتماعية الاقتصادية والتدخين . تبين من الدراسة أن نسبة العزلات الموجبة كانت 60 % فيما بلغت العينات السالبة والتي لم تعطي نتائج زرع موجبة 40 % كما أظهرت النتائج سيادة جرثومية Staphylococcus aureus من بين الجراثيم المعزولة من العينات الموجبة اذ بلغت 3608% تليها جرثومية Klebsiella pneumoniae وبنسبة 2101 % فيما شكلت جرثومية Pseudomonas aeruginosa أقل نسبة بلغت 5.3 % . وعند دراسة تأثير عامل العمر لوحظ أن الفئة العمرية 15 - 20 سنة كانت أكثر تعرضها للاصابة اذ بلغت نسبة الاصابة 6024 % و ان أقل نسبة للاصابة كانت عند الفئة العمرية 50 - 55 وبلغت 108 % ز أما عامل الجنس فقد كان له تأثيرا واضحا حيث اظهرت النتائج أن الذكور أكثر استعدادا للاصابة مقارنة بالاناث فضلا عن ذلك فان للحالة الاجتماعية الاقتصادية والتدخين دورا في زيادة نسبة الاصابة .

المقدمة

يعد مرض التهاب الاذن اللوسطي Otitis media من الامراض الشائعة في جميع انحاء العالم اذ أنه المسؤول عن أكثر من 30 مليون مراجعة لعيادات الاطباء والمراكز الاستشارية

سبباً وإشارات الدراسات الى أن الكلفة الناجمة عن الإصابة بالمرض تصل الى أكثر من بليون دولار سنوياً (Nester, et al., 1998). يتجم مرض OM عن انتقال الأحياء المجهرية الى تجويف الاذن الوسطى خلال قناة السمع الخارجية وتحدث هذه الحالة عندما يكون هناك تنقبس في عشاء العذبة وقد تنتقل الكائنات المسببة للمرض عبر هذه القناة وبسبب تنقبس العشاء جراء الضغط غير الاعتيادي عليه في اوضاع معينة . ويعد التهاب البلعوم الانفي Naso Pharynx البؤرة الاساسية لالتهاب الاذن الوسطى وخاصة في حالات الإصابة بامراض البرد الساعه كالنظام كما أن الانف والجيوب الانفية مصادر اساسية للإصابة وفي كل الحالات فإن امتداد الإصابة الى الاذن الوسطى تحدث عن طريق قناة أوستاكي . (Hall Colman, 1987). في المراحل المبكرة من الإصابة لوحظ إصابة الجزء السفلي من قناة أوستاكي بعدها تنتشر الإصابة لتؤدي الى انسداد كلي للقناة وهذا بدوره يسبب امتصاص الهواء الموجود داخل تجويف الاذن الوسطى ويحل محله الارتشاح الذي يتطور الى قيح فيما بعد (Jolly & Levene, 1988, 1997 Elliot et al.) ان لتكون القيح في تجويف الاذن الوسطى ذو اهمية كبيرة ويجب ان تؤخذ بنظر الاعتبار في تشخيص الالتهاب و على هذا الأساس يقسم المرض الى التهاب اذن الوسطى الفيحي Purulent Otitis Media وغير الفيحي Non-Purulent Otitis Media ومن المعلوم ان الأحياء المجهرية تعد من المسببات الرئيسية لالتهاب الاذن الوسطى الفيحي اما دورها في الالتهاب غير الفيحي فيكون نادر جدا (Cohen, 1997). فضلاً عن ذلك فقد لوحص استعمار الاذن الوسطى بالميكوبلازما والكلاميديا والفيروسات في العديد من حالات الإصابة بالتهاب الاذن الوسطى الفيحي (Homoc, et al, 1996). ومن اهم انواع الجراثيم المسؤولة عن التهاب الاذن الوسطى الفيحي المكورات الرئوية Staphylococcus Aureus والمكورات العنقودية الذهبية Haemophilus Influenzae والمستدميات النزلية Neisseria Catarrhali, والزوائف الزنجارية Pseudomonas Aeruginosa وبعض افراد العائلة المعوية (Al-Faris, et al., 1998, Cohen, 1997).

وتمكن قدرة هذه الجراثيم على احداث الإصابة في امتلاكها لعامل او عوامل ضراوة كالمسبب الذي تفرزه المكورات السبحية وبعض انواع العنلة المعوية والمستدميات النزلية إضافة الى المحفظة التي تمتلكها بعض انواع الجراثيم كالمكورات الرئوية وسلالات المسدديات

النزلية المرضية فضلا عن ما تفرزه بعض الانواع الجرثومية المسببة للمرض من ذيفانات (Brooks et al., 1998).

لقد اكدت العديد من الدراسات الى اهمية عوامل الحظورة في زيادة نسبة الاصابة والتي تشمل العمر، الجنس واصابات القناة التنفسية العليا فضلا عن التعرض للتدخين ونوع الرضاعة والحالة الاجتماعية الاقتصادية وغيرها (المعاضدي، 1999).

وفي العراق فإن مرض OM غدا من أكثر الامراض التي تستدعي مراجعة الاطباء، ولقلة الدراسات في مجال دراسته احيانيا وللأهتمام القليل نحو مسبباته الجرثومية خاصة عند البالغين لذا إرتأينا تسليط الضوء نحو أهم الجراثيم المسببة للمرض فضلا عن استنباط دور عدد من العوامل التي قد تزيد من خطورته.

المواد وطرق العمل

1 - جمع العينات Specimens

جمعت (95) مسحة اذن لاشخاص مشكوك بأصابتهم بالتهاب الاذن الوسطى وباعمار تراوحت بين

(15 - 55) في العيادة الاستشارية لمستشفى الزهراوي التعليمي في مدينة الموصل

أثناء

حضورهم للفحص الطبي باستخدام جهاز منظار الاذن Otoloscope وتم التشخيص من

حيث

وجود الاصابة او عدمها.

جمعت العينات بمسح قناة الاذن الخارجية بمسحة قطنية Cotton Swab مشربة بالكحول

الاثلي بتركيز 70% وتم أخذ العينة بأدخال المسحة المعقمة خلال قناة الاذن ومسح

المنطقة

المحيطة لعشاء الطبلة وتدويرها ثم اخراجها (Al-Faris et al., 1998) ثم وضعت العينات

مباشرة في الوسط الناقل Modified Stuart Transport Media (Koneman, et al

1997)

سجلت المعلومات كافة عن كل عينة من حيث العمر والجنس والوضع الاجتماعي -

الاقتصادي

والتدخين .

2 - الزرع على الاوساط الغذائية الاولية

تم زرر عانعينات بعد جلبها الى المختبر على اوساط الزرع الاولية التالية باعتماد ماورد في (Al-Faris et al., 1998):

وسط اكار الدم Blood Agar

وسط اكار الدم المطبوخ Chocolate Agar

وسط اكار الماكونكي MacConkey Agar

وحضنت المزارع بدرجة حرارة 37 م لمدة 24 ساعة وتوفير 5 - 10 % CO₂ في

حالة وسط اكار الدم و الكار الدم المطبوخ .

تم التعرف على الانواع الجرثومية المعزولة على الاوساط الغذائية المذكورة انفاً

واعتماداً على الختبارات التشخيصية التالية :

الصفات الزرعية (المظهرية والشكلية)

سحصب المسعمرات النامية على الاوساط العضائية بملاحظة صفاتها من حيث الحجم

و الشكل و الارتفاع على سسطح الوسط و القابلية على تحلل الدم و تخمير سكر اللاكتوز .

كما لوحض تفاعل الخلايا الجرثومية المعزولة مع صبغة كرام Gram Stain وشكل

خلاياها وترتيبها وكذلك وجود المخفظة او عدم وجودها ووجود السبورات من عدمها بتحضير

اغشية من المسعمرات وصبغها بصبغة كرام وفحصها مجهرياً .

الاختبارات الكيمائية

احريت الاختبارات الخاصة بتشخيص انواع الجراثيم المعزولة باعتماد

Koneman , et al., 1997, Macfadin, 1985 . وشاملت :

اختبار انتاج الاندول .

احباز المنيل الاحمر .

احباز فوكس بروسكاور .

اختبار استهلاك السترات .

اختبار استهلاك سكر المانتول .

- . اختبار انتاج انزيم تجلط الدم Coagulase .
- . اختبار انتاج انزيم الكتاليز Catalase .
- . اختبار انتاج انزيم اليوريز Urease .
- . اختبار فعالية انزيم سايتوكروم اوكسيديز Cytochrome Oxidase .
- . اختبار الحاجة لعاملي X و V .
- . اختبار الذوبان في الصفراء .
- . اختبار الحساسية للابتوكين .

النتائج والمناقشة

بلغ عدد العينات الموجبة والتي اظهرت نمو 57 عينة أي بنسبة (60 %) و عدد العينات السالبة التي لم تظهر نمو 38 عينة وبنسبة (40 %) كما موضح في الجدول رقم (1) يعود السبب في ظهور بعض العينات ذات المزارع السالبة الى احتمالية تناول مسبق لجرعات من المضادات الحيوية والتي تمنع نمو الجراثيم او كون المسببات فايروسات او جراثيم اخرى . كما يلاحظ من الجدول سيادة جرثومة *S. Aureus* تليها *H. Influenzae*, *Ps. Aeruginosa* وبنسب 36% و 2101% و 1705% على التوالي و أقت نسبة كانت لجرثومة *Klebsiella Penumoniae* وبلغت 3.5% .

ان سيادة جرثومة *S. Aureus* كمسبب رئسي للاصابة جاء مطابقا لدراسة Al-Faris et al., 1998 و المعاضدي و 1999 وبنسبة 26.6% و 2304% على التوالي . كما ان ظهور جرثومة *H. Influenzae*, *Ps. Aeruginosa* , كمسببين جرثوميين مهمين مطابق لم اشارت اليه العديد من الدراسات منها دراسة I. Bekwe, et al., 1997 الذي أكد أن جرثومة *Ps. Aeruginosa* تعد المسبب الاكثر شيوعا في احداث الاصابة . كما اكد الباحثون Melhus, et al., 1995 من جرثومة *H. Influenzae* من العوامل المسببة الرئيسية لالتهاب الاذن الوسطى اذ عزلت بنسبة 15 - 30% من هذه الحالات .

ان سبب سيادة هذه الجراثيم قد يعزى الى علاقتها بالتهاب القناة التنفسية العليا والتي يتسبب عنها ضرر في قناة اوستاكي و الذي يرافقه ظهور الافرازات و التقيحات للاذن الوسطى

و أن 50 % من الاصابات ينجم عن الاصابات ينجم عن الفايروسات التنفسية و الجراثيم الشائعة مثل المكورات العنقودية و السبحية و المستدميات النزلية (Elliot, et al., 1997) .
ويظهر الجدول رقم (2) النسب المئوية لعينات المصابين ذات الاصابات المختلطة و غير المختلطة و من الملاحظ ان نسبة العينات التي اظهرت اصابة مختلطة بأكثر من جرثومة بلغت 3106 % منها 2101 % اظهرت اصابة بجرثومتين و 10.5 % نسبة اصابة لثلاث جراثيم او أكثر .

ان السبب في ظهور أكثر من مسبب جرثومي قد ينجم عن التعرض للاصابة الاولية بجرثومة ما و مما يحفز انواع اخرى من الجراثيم الى اظهار خواصها الانتهازية و احداث الاصابة او نتيجة للتعاون الابضي بين الجراثيم المختلفة و على وجه الخصوص بين جرثومتى المكورات العنقودية الذهبية *S. Aureus* و المستدميات النزلية *H. Influenzae* حيث أن الاولي نية انفرد على افراز العامل ν (NAD) الضروري لنمو جرثومية *H. Influenzae* . أو قد ينجم عن حدوث التاوت أثناء أخذ العينة او عند الفحص باستخدام جهاز منظار الاذن .

ويبين الجدول رقم (3) توزيع النسب المئوية للاصابة بـ OM بين الفئات العمرية المختلفة اذ نلاحظ أن أعلى نسبة كانت عند الفئة العمرية 15 - 20 سنة وبلغت 2406 % تلتها نسبة الاصابات عند الفئة

العمرية 20 - 25 سنة و التي بلغت 2101 % فيما كانت أقل نسبة اصابات عند الفئة العمرية 50 - 55 سنة إذ كانت 108 % . هذه النتائج جاءت مطابقة لما وجدته (Yassin, 1990) من أن مرض OM بلغ أعلى نسبة له عند الفئة العمرية 19016 سنة .
ان ظهور النسبة العالية من الاصابات عند الفئة العمرية المذكورة اعلاه قد يعزى الى اسباب عديدة اهمها التأثيرات البيئية و العوامل المناعية .

وعد دراسة تأثير الجنس يبين الجدول (4) أن نسبة الاصابة بالمرض عند الذكور أعلى مقارنة بالاناث إذ بلغت 6104 % لدى الذكور مقرنة بـ 3906 % عند الاناث .
ان النسب المختلفة للاصابة بالمرض بين الذكور و الاناث قد تعود الى الاختلاف في العوامل الفساجية و الهرمونية وكذلك الى الاختلاف في درجة التعرض للعوامل البيئية المختلفة منها ارتياد المساح العامة المفتوحة الى المستويات المطلوبة من الرقابة الصحية .

وعند دراسة تأثير عاملي الحالة الاجتماعية - الاقتصادية والتدخين فقد دلت النتائج أن أعلى نسبة للإصابات بدت عند الأشخاص ذوي حالة متوسطة ونسبة (7109 %) فيما كان (1508 %) من المصابين يعيشون بوضع اجتماعي - اقتصادي متدني وشكلت نسبة الإصابات عند المستوى المعاشي الجيد (1203 %)

ان تدني الحالة المعاشية جراء ظروف الحصار المفروض على قطرنا الحبيب وسوء الحالة التغذوية وما يترتب عليها من ضعف في الجهاز المناعي كان له أثر في زيادة نسبة الإصابات المرضية . وللتحري عن تأثير عامل التدخين فقد بينت النتائج أن معظم الإصابات كانت عند اشخاص مدخنين جميعهم من الذكور المدخنين 7403 % .

يشير ظهور نسبة عالية من الإصابات عند الذكور المدخنين الى أهمية دور التدخين كعامل مؤثر في زيادة نسبة الإصابة بالتهاب الاذن الوسطى بسبب تأثيره على الجهاز المناعي وعلى الصحة العامة اضافة الى دوره الواضح في اصابات القناة التنفسية وانعكاساته على اصابة الاذن الوسطى .

جدول رقم (1) النسب المئوية للجراثيم المعزولة من مساحات الاذن

العينات		الجراثيم المعزولة	العينات السالبة		العينات الموجبة		العدد الكلي للعينات
%	العدد		%	العدد	%	العدد	
36.8	21	Staphylococcus Aureus	40	38	60	57	95
21.01	12	Pseudomonas Aeruginosa					
17.5	10	Haemophilus Influenzae					
10.5	6	Streptococcus Pneumoniae					
8.08	5	Proteus Mirabilis					
5.3	3	Klebsiella Pneumoniae					
100	57	المجموع					

جدول (2) النسب المئوية لعينات المصابين ذات الاصابة المختلطة وغير المختلطة

الإصابة المختلطة بثلاث جراثيم او اكثر		الإصابة المختلطة بجرثومتين		العينات ذات الاصابة المختلطة		العينات ذات الاصابة غير المختلطة		العدد الكلي للعينات
%	العدد	%	العدد	%	العدد	%	العدد	
	6	6607	12	3106	18	6804	39	57

جدول رقم (3) توزيع النسب المئوية للاصابة تبعا للفئات العمرية

العينات الموجبة		الفئات العمرية
%	العدد	
6024	14	20- 15
2101	12	25 - 20
1705	10	30- 25
808	5	35 - 30
0.7	4	40 - 35
5.3	3	45 - 40
8.8	5	50 - 45
1.8	1	55 - 50
5.3	3	55
100	57	المجموع

جدول (4) توزيع النسب المئوية للاصابة تبعا للجنس

الاناث		الذكور		العدد الكلي للعينات الموجبة
%	العدد	%	العدد	
3806	22	6104	35	57

المصادر

1. المعاصيدي ، جاسم فيحي ، دراسة عن الاحياء المجهرية المسبب الاذن الوسط القيحي عند الاطفال في مدينة الموصل . رسالة ماجستير غير منشورة . جامعة الموصل . (1999)
2. Al-Faris ., F.A., Abdughani, H. Mukhdomi, G.H. Gambal, A. and Al-Muhaimeed. H.S. Microbiology and Antimicrobials Sensitivity of Suppurative Otitis media.J. 19 (4): 417-422. (1998)
3. Brooks ., G.F., Butel, J.S and Morse,S.A. "Jawetz, Melnik and Adelberg Medical Microbiology ". 21(ed) = Middle Edition. Bert. Lebanon. (1998).
4. Cohen. R. The Antibiotic Treatment in Acute Otitis Media and Sinusitis in Childern Diagn, Microbiology . Infect. Dis. 27: 35-39. (1997)
5. Elliot, T., Hastings., M. and Desselberger, U. Medical Microbiology. 3 th ed.Blackwell Science Ltd. U.K.P. 225. (1997).
6. Hall. Ls., and Colman. B.L. Diseases of the nose, throat and ear. 13 th ed., U.S.A. (1987).
7. Homoe, P., Parg, J., Farholt, S., Henrichsen, J., Hornsleth, A., Kilian, M., and Jensen. JS. High rate of nasopharyngeal Carriage of Potential pathoyens among children in Greenland: results of a clin; cal survey of middleear disease. Clin - Infect - Dis. Nov: 23 (5): 1081 - 90. (1996).
8. Ibekwe, A.O., Al-Sharef. Z. and Benayam, A. Anaerobes and Fungi in Chronic suppurative Otitis Media., Ann. Otol. Rhinolk Laryngol. 106 (8): 649 - 651. (1997).
9. Jolly. PH. & Levenene, MI. Disorders of Upper Respiratory Tract in Diseases of Children. 5 th ed. Black Well Scientific Publication pp. 306 - 317. (1988).
10. Konemoan, EW., Allen, SD., Dowell, VR., JanDa, W.M. Sommers. HM. and Winn, WC. Color Atlas and Text Book of Diagnostic Microbiology, Lippinocott. Raven Publisheres. U.S.A. (1997).
11. MacFaddin. J.F.M. Biochemical Tests for Identification of Medical Bacteria. Willams and Wilkin, Bltrimorw, U.S.A. (1985).
12. Melhus, A., Herman Sson, A., AKK Oyunchu, M., Forsgeng A. and Prellner. K. Experimental Reurrent Otitis Media induced by Haemophilus Influenzae Protection and Serum Antibodies. Amer J. Otolaryngol. 169 : 383 - 390. (1995)

13. Nester, E.W. Roberts, CE, Pearsall, NN., Anderson, D.G., and Nester. MT. Microbiology : Attuman Perspective 2 ed WCB/McGraw Hill. (1998).
14. Yasseen, HH. Chronic Otitis Media Microbiological and Epidemiological Study. M.Sc. Thesis University of Basrah. (1990).

ايجاد القيم الذاتية لمصفوفة قلبية معينة بطرق جبرية وعددية / دراسة مقارنة

سامي داود كباره* ، جمعة اسود زرنان* ، أنعام رزاق الصانع**
* قسم الرياضيات / كلية العلوم / الجامعة المستنصرية - العراق
** كلية العلوم / جامعة الكوفة - العراق

الخلاصة

في هذا البحث درست مسألة ايجاد القيم الذاتية لمصفوفة قلبية معينة، وتم هذا بطريقة اقطار المصفوفة وطريقتنا الانكماش وهاوسهولدر العدديتين. وجدنا بعد المقارنة ان طريقة اقطار المصفوفة هي الأفضل ثم تأتي بعدها طريقة هاوسهولدر، ومن ثم طريقة الانكماش من ناحية حساب الخطأ الناتج.

المقدمة

تظهر مسألة القيم الذاتية في كثير من التطبيقات الهندسية، وعلى سبيل المثال المجموعات الميكانيكية او الدوائر الكهربائية المترددة ترددا حرا تبسط هذه المسائل الى معدلات جبرية. وتظهر كذلك في الطرائق الاحصائية بما فيها التقديرات والاختبارات والارتباطات اساسها القيم الذاتية والمتجهات الذاتية التي لها مساهمات فعالة في بناء النظريات الاحصائية⁽¹⁾. تُعرف القيمة الذاتية λ على أنها القيمة التي تحقق النظام الخطي المتجانس :

$$AX = \lambda X \quad \dots(1)$$

إذ ان الحل غير صفري وان :

$$P(\lambda) = |A - \lambda I| = 0 \quad \dots(2)$$

المعادلة (2) تسمى بالمعادلة المميزة وبعد تبسيطها يمكن كتابتها بالصيغة التالية :

$$\lambda^n + a_1 \lambda^{n-1} + \dots + a_{n-1} \lambda + a_n = 0 \quad \dots(3)$$

إذ ان $a_1 \dots a_n$ تمثل كميات ثابتة. وايجاد قيم λ هو الحل للمعادلة (3) ويعرف العمود x بأنه المتجه الذاتي المناظر الى القيمة الذاتية λ والذي يحقق المعادلة (1).

يكرس هذا البحث لمسألة ايجاد القيم الذاتية فقط وسوف لانتطرق لايجاد المتجهات الذاتية وذلك لأنه في معظم المسائل ومنها الفيزيائية والاحصائية يكون الاحتياج الى القيم الذاتية اكثر، كما ان مسألة ايجاد المتجهات الذاتية عندما تكون القيم الذاتية معلومة هو ليس بالأمر الصعب.

ان حل المعادلة (3) ليس امراً هيناً واستخدام طريقة المحدد غير عملية وبخاصة اذا كانت درجة المصفوفة اكثر من اربع فنلجأ الى الطرائق العددية. ان ايجاد القيم الذاتية في هذا البحث سيقصر على مصفوفة ذات قالب معين سيتم التطرق لها وبنائها في البند القادم وسيتم هذا بطريقة جبرية تُعرف بطريقة الاقطار وتتم مقارنة هذه النتائج مع مثيلاتها من النتائج التي تحصل عليها بالطرق العددية والتي هي طريقة الانكماش التي تعمل على تقليص المصفوفة وطريقة هاوسهولدر التي تحول فيها المصفوفة المتناظرة الى مصفوفة ثلاثية الاقطار دون التأثير على القيم الذاتية.

ان المصفوفة التي ستعتمد في هذا البحث معرفة بالشكل :

$$B = (b_{q'q}) , \quad q = ijk , \quad q' = i'j'k' \\ i, i' = 1, \dots, t \quad ; \quad j, j' = 1, \dots, s \quad ; \quad k, k' = 1, \dots, r \dots (4)$$

وإن العنصر $b_{q'q}$ معرف بالشكل :

$$b_{q'q} = b_{ijk,i'j'k'} = \begin{cases} b_1 & \text{if } i = i', j = j', k = k' \\ b_2 & \text{if } i = i', j = j', k \neq k' \\ b_3 & \text{if } i = i', j \neq j' \\ b_4 & \text{if } i \neq i', j = j' \\ b_5 & \text{if } i \neq i', j \neq j' \end{cases} \dots (5)$$

إن B مصفوفة من الدرجة $N \times N$ و $N = rst$ و B مصفوفة متناظرة وتحتوي على t^2 من المصفوفات القلبية إذ تكون المصفوفات القطرية من الدرجة $rs \times rs$ والتي تناظر rs عنصر

وتكون جميع عناصرها مساوية الى b_3 عدا عناصر مصفوفاتها القطرية فتكون موضحة من خلال المصفوفة الآتية :

$$B_{ij,ij} = (b_1-b_2)I_r + b_2J_r \quad \dots\dots(6)$$

أي أن درجتها $r \times r$ وإن I_r مصفوفة أحادية من الدرجة $r \times r$ و J_r مصفوفة من الدرجة $r \times r$ جميع عناصرها الواحد الصحيح. أما المصفوفات غير القطرية الناتجة عن تجزئة B الى t^2 من المصفوفات القالبية والتي درجتها $r \times r$ فتكون جميع عناصرها مساوية الى b_5 عدا عناصر مصفوفاتها الجزئية فنكون b_4 والتي درجتها $r \times r$. وباستخدام العلاقة (5) فإن المصفوفة B تكون صيغتها كما يلي :

$$B = (b_1-b_2)I_{rst} + (b_2-b_3-b_4+b_5)J_r \otimes I_{st} + (b_3-b_5)J_{rs} \otimes I_1 + (b_4-b_5)J_r \otimes I_s \otimes J_1 + b_5J_{rst} \quad \dots\dots(7)$$

حيث ان \otimes تمثل عملية ضرب كرونكر (5).

طريقة الاقطار

سيتم اقطار المصفوفة B المعطاة في العلاقة (7) وذلك باستخدام مصفوفة تعامدية تُعرف باسم مصفوفة هلمرت (Helmart matrix)⁽⁵⁾ وسنرمز لها بالرمز Γ . وابطس اشكال مصفوفة هلمرت معرفة كما يلي :

$$\Gamma_a = \begin{pmatrix} a & \frac{1}{2}I'_a \\ & C_a \end{pmatrix} \quad \dots\dots(8)$$

حيث ان a ترمز الى مدور المصفوفة وان C_a مصفوفة من الدرجة $(a-1) \times a$ وتتمتع بالخواص التالية :

$$C_a C_a = I_{(a-1)}, C_a C_a' = N_a, N_a = I_a - M_a, M_a = (1/\alpha)J_a, I_a C_a = 0, C_a' I_a = 0 \dots(9)$$

وان المصفوفة التصادمية التي سيتم استخدامها لاقطار المصفوفة القالبية B هي

سامي داود كيارة وجماعته

$$\Gamma = \begin{bmatrix} \frac{1}{(rst)^2} \Gamma_r \otimes \Gamma_s \otimes \Gamma_t \\ \frac{1}{(rs)^2} \Gamma_r \otimes \Gamma_s \otimes C_t \\ \frac{1}{(rt)^2} \Gamma_r \otimes C_s \otimes \Gamma_t \\ \frac{1}{(r)^2} \Gamma_r \otimes C_s \otimes C_t \\ C_r \otimes \Gamma_s \otimes \Gamma_t \end{bmatrix} \dots\dots(10)$$

وان صيغة المصفوفة C_a التي سيتم استخدامها بشكل خاص تكون معرفة بالشكل الآتي :

$$C_a = \begin{pmatrix} \frac{1}{\sqrt{2}} & \frac{-1}{\sqrt{2}} & 0 & 0 & \dots & 0 \\ \frac{1}{\sqrt{6}} & \frac{1}{\sqrt{6}} & \frac{-2}{\sqrt{6}} & 0 & \dots & 0 \\ \vdots & \vdots & \vdots & \vdots & \dots & \vdots \\ \vdots & \vdots & \vdots & \vdots & \dots & \vdots \\ \frac{1}{\sqrt{a(a-1)}} & \frac{1}{\sqrt{a(a-1)}} & \frac{1}{\sqrt{a(a-1)}} & \frac{1}{\sqrt{a(a-1)}} & \dots & \frac{- (a-1)}{\sqrt{a(a-1)}} \end{pmatrix} \quad (11)$$

حيث ان الصف i من المصفوفة C_a يكون معرف بالشكل :

$$\text{الصف } i = \left(\frac{1}{\sqrt{i(i-1)}} \frac{1}{\sqrt{i(i-1)}} \dots \frac{1}{\sqrt{i(i-1)}} \frac{-(i-1)}{\sqrt{i(i-1)}} 0 \dots 0 \right) \quad (12)$$

لكل $i = 1, \dots, a$

وقيما يأتي سنوضح كيفية اقطار المصفوفة B3 وكما يأتي :

$$\Gamma B \Gamma = (D_{ij}) \quad \dots(13)$$

حيث ان B معرفة في (7) و Γ معرفة في (10) . وباستخدام العلاقة (9) فان حساب D_{ij} لكل i و j يتم كما يلي :

اولاً : سنقوم بحساب D_{ij} عندما $i = 1, \dots, 5$

$$\begin{aligned} D_{ij} &= [(rst)^{-1}_2 \ 1'_r \otimes 1'_s \otimes 1'_t] [(b_1 - b_2) I_{rst} + (b_2 - b_3 - b_4 + b_5) J_r \\ &\quad \otimes I_{st} + (b_3 - b_5) J_{rs} \otimes I_t + (b_4 - b_5) J_r \otimes I_s \otimes J_t + b_5 J_{rst}] [(rst)^{-1/2} \\ &\quad I_4 \otimes I_5 \otimes I_1] \\ &= (rst)^{-1} [(b_1 - b_2) + r(b_2 - b_3 - b_4 + b_5) + rs(b_3 - b_5) + rt(b_4 - b_5) + rstb_5] \\ &\quad (1'_r \otimes 1'_s \otimes 1'_t) (I_r \otimes I_s \otimes I_t) \\ &= (b_1 - b_2) + r(b_2 - b_3 - b_4 + b_5) + rs(b_3 - b_5) + rt(b_4 - b_5) + rstb_5 \\ &= b_1 + (r-1)b_2 + r(s-1)b_3 + r(t-1)b_4 + r(s-1)(t-1)b_5 \quad (14) \end{aligned}$$

وان

$$\begin{aligned} D_{22} &= [(rs)^{-1}_2 \ 1'_r \otimes 1'_s \otimes C'_t] [(b_1 - b_2) I_{rst} + (b_2 - b_3 - b_4 + b_5) J_r \otimes I_{st} + \\ &\quad (b_3 - b_5) J_{rs} \otimes I_t + (b_4 - b_5) J_r \otimes I_s \otimes J_t + b_5 J_{rst}] [(rs)^{-1/2} \ 1'_r \otimes I_s \otimes \\ &\quad C_t] \\ &= (rs)^{-1} [(b_1 - b_2) + r(b_2 - b_3 - b_4 + b_5) + rs(b_3 - b_5)] (1'_r \otimes 1'_s \otimes C'_t) (1'_r \otimes I_s \\ &\quad \otimes C_t) \\ &= [b_1 + (r-1)b_2 + r(s-1)b_3 - rb_4 - r(s-1)b_5] I_{(t-1)} \quad (15) \end{aligned}$$

وتحسب D_{33} D_{44} و D_{55} بطريقة مماثلة ونتائجها كما يلي :

$$\left. \begin{aligned} D_{33} &= [b_1 + (r-1)b_2 - rb_3 + r(t-1)b_4 - r(t-1)b_5] I_{(s-1)} \\ D_{44} &= [b_1 + (r-1)b_2 - rb_3 - rb_4 + rb_5] I_{(s-1)(t-1)} \\ D_{55} &= (b_1 - b_2) I_{st(r-1)} \end{aligned} \right\} \quad (16)$$

ثانياً: سنقوم بحساب D_{ij} عندما $i \neq j$ و $i, j = 1, \dots, 5$ وذلك باستخدام (9) وسنكتفي بحساب قيمة واحدة فقط حيث ان البقية تتبع بالمثل:

$$\begin{aligned} D_{12} &= [(rst)^2 \ 1'_r \otimes 1'_s \otimes 1'_t] [(b_1 - b_2) I_{rst} + (b_2 - b_3 - b_4 + b_5) J_r \otimes I_{st} + (b_3 - b_5) J_{rs} \\ &\quad \otimes I_t + (b_4 - b_5) J_r \otimes I_s \otimes J_t + b_5 J_{rst}] [(rs)^{-1/2} \ 1'_r \otimes I_s \otimes C_t] \\ &= (rs)^{-1} t^{-1/2} [(b_1 - b_2) + r(b_2 - b_3 - b_4 + b_5) + rs(b_3 - b_5) + rt(b_4 - b_5) + rstb_5] \end{aligned}$$

$\lambda_2, \lambda_3, \dots$ بسبب أخطاء التدوير (Round off Errors) وإذا تم الاستمرار بعملية الانكماش سوف تكبر اخطاء التدوير وعليه فأنا لسنا متأكدين من أن المصفوفة A_i الناتجة بعد i من عمليات الانكماش تكون القيم الذاتية التقريبية لها ذات دقة جيدة. ولهذا تكون طريقة القوى مع الانكماش ليست مألوفة لهذا الغرض بالرغم من أننا نستطيع تماماً تحديد بعض القيم الذاتية بصورة جيدة ومقبولة.

المصادر

1. كنعان، سهيل نجم، "اهمية تطبيقات الجذور والمتجهات المميزة في الاحصاء"، رسالة ماجستير - جامعة بغداد. (1989).
2. Burden, Faires J. "Numerical Analysis", USA (1985).
3. Johnson, L.R.D. "Numerical Analysis", London (1977).
4. Muna Mansur, "On the Numerical Treatment of the Differential Eigenvalue Problem". M.Sc. Thesis, University of Baghdad, Iraq.
5. Searle S.R. "Linear Models", Wiley, NY. (1971).

تأثير الرطوبة على القراءات الجذبية الدقيقة

انوار الخرجي

كلية التربية / جامعة ديالى

الخلاصة

ان النتائج المذكورة سابقا تشير إلى مايتي:

1. الحساسية العملية للجهاز المستخدم.

سرعة تشبع الصخور الرسوبية بالمياه وارتفاع كثافتها بصورة محسوسة مما يرشح هذه الطريقة لعمليات المراقبة الدورية لحركة المياه ونضوحها من الخزانات والسدود

تعد الطريقة الجذبية الدقيقة احدى طرق قياس المجال الجهدى Potential Field ذات الدقة العالية والتي تعتمد في الاساس على قياس الشواذ الجذبية الناتجة عن التوزيع غير المتجانس لكثل الصخور في الوسط المعين ويعد الجهاز المستخدم في هذه المسوحات والمنتج من قبل شركة La Coste and Romberg نوع D-meter ذي دقة القياس 1µgal هو الاداة المستخدمة فيها .ومن خلال المسح الجذبي الدقيق لموضوع هذه الدراسة تبين ان شدة حساسية الجهاز ودقة القراءات فيه تتأثر بشدة وبصورة واضحة جدا بارتفاع نسبة الرطوبة في الصخور - والتي نتجت هنا عن تساقط الامطار ، حيث ادى التساقط الى ارتفاع القراءات بمقدار ± 0.600 وحدة من وحدات القياس للجهاز Scale Division والتي تعادل ± 550 مايكروكال ، مما يعطي دلالة على امكانية استخدام الجهاز لتحديد التعاير الكثافي مهما قلت قيمة ، كما تشير الى امكانية استخدام الجهاز لمراقبة مقدار النضوح من الخزانات والسدود .اذا ما اجريت القراءات على فترات معينة تتم من خلالها المراقبة .

المقدمة

يشكل تطوير أجهزة قياس الجاذبية في أواخر الستينات من القرن الماضي نقطة مهمة في اتجاه استخدام طرق قياس المجال الجهدى وتحديدا الطريقة الجذبية الدقيقة كأداة مهمة في حل المشكلات البيئية والهندسية .

ويعد قياس الجاذبية الدقيقة المصنع من قبل شركة La Coste and Romberg من نوع D-meter ذي دقة القياس 1 µgal هو الأداة الأكثر شيوعا في العالم في هذا الاتجاه، حيث جاء تصنيع هذا الجهاز ودخوله في مجال المسوحات الجذبية في الولايات المتحدة كنقطة تحول كبيرة في دخول هذه الطريقة حيز التطبيق الفعلي في مثل هذه الدراسات (1991 ، 1981 ، 1979، Butler).

كما استخدم (Lambert and Beaumont ، 1977) هذه الطريقة في مراقبة حركات القشرة الأرضية المرتبطة بمناسيب المياه الجوفية واستنتجوا الآتي:
"النتائج للقراءات الجذبية توضح دقة عمليات المراقبة الدورية لجهاز LCR من نوع D. ملاحظتنا توضح أن هناك تغيرات دالة في القيم الجذبية ترجع الى الحركة الموسمية للمياه الجوفية"

والدراسة الحالية هي تجربة عملية توضح مقدار الفارق المحسوس في القراءات الجذبية الدقيقة والنتائج عن تشعب الصخور بالمياه بعد فترة وجيزة من تساقط الامطار وتأثير ذلك على القراءات.

حيونوجية منطقة الدراسة:

تقع المنطقة التي اجريت فيها الدراسة في الصحراء الغربية، تمتاز المنطقة بمقطعها الطباقى المتكون في جزئه الاعلى من تكوينى العبيد والحسينيات.

ويتميز تكوين العبيد بتتابع من حجر الكلس ذي العمر الالاياسي. وهو بالمفهوم الحالي يتكون من صخور جيرية مدلمتة وطفل مدلمت وطفل Marl، كما يحوي على وفرة من الصوان chert في قمة التكوين وقعره.

اما تكوين الحسينيات المتكون من وحدتين رئيسيتين فتانية وكاربوناتية، فهو بصورة عامة ذو تركيب جيرى متكون من حبيبات خشنة ورملية طينية تتخلله طبقات من الطفل Marl متعدد الألوان. (مصطفى، 1990، Buday 1980).

القراءات الحقلية:

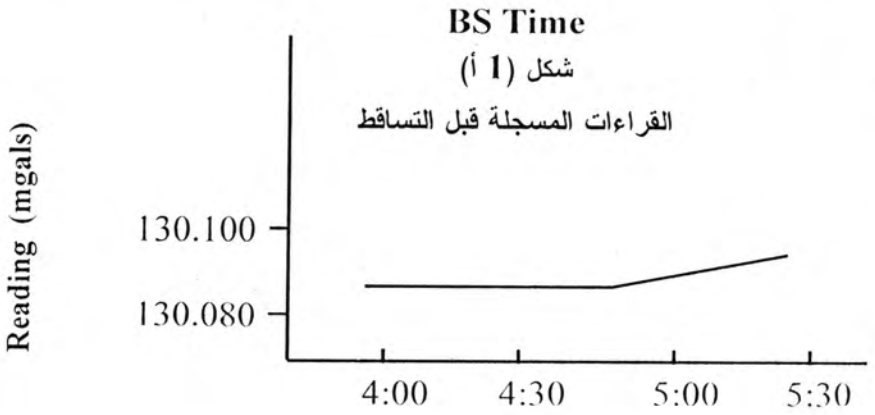
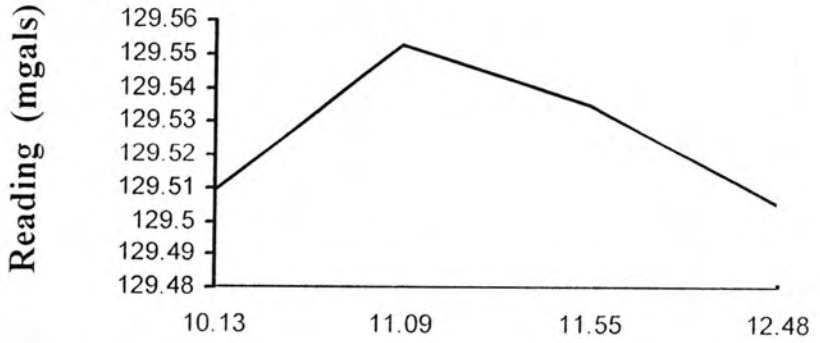
تمثل القراءات جزء من مسح جذبي دقيق اجري عام 1992 في الصحراء الغربية. القراءات المأخوذة هنا هي في نقطة معينة هي المحطة الأساس للمسح المذكور حيث أخذت أربع قراءات قبل التساقط ثم أخذت ثلاث قراءات بعد التساقط في نفس النقطة. والجدول رقم (1) يعطي التفاصيل التامة عن هذه القراءات والمعالجات المجرأة عليها.

تم رسم منحنيات التغيرات المدية للجاذبية والتي يمثلها الشكل رقم (1أ، أب).

جدول رقم (1)

Reading No.	Reading Time	Reading Date	Reading Sc.Div	Reading (mgal)	Reading (corrected) mgal
1	10.13	10.11.92	144.156	129.510	129.509
	10.15		144.151	129.505	129.504
2	11.09	10.11.92	144.209	129.554	129.553
	11.11		144.204	129.553	129.552
3	11.55	10.11.92	144.184	129.535	129.535
	11.57		144.195	129.545	129.545
4	12.48	10.11.92	144.152	129.506	129.505
	12.55		144.157	129.511	129.510
5	3.45	10.11.92	144.790	130.079	130.079
	3.55		144.812	130.099	130.099
6	4.38	10.11.92	144.801	130.089	130.089
	4.43		144.802	130.090	130.090
7	5.13	10.11.92	144.807	130.095	130.098
	5.15		144.813	130.100	130.103

انوار الخزرجي



BS Time
شكل (1 ب)
القراءات المسجلة بعد التساقط

النتائج والمناقشة

بالنظر لكون القراءات تمثل قراءات في نقطة واحدة ، لذلك فقد كانت التصحيحات المجراة عليها يفحصر على تصحيح معامل الجهاز وفارق الارتفاع عند القياس في النقطة ذاتها الناتج عن تثبيت الجهاز عند تكرار عمليات القراءة بعد فترة معينة.

أن حدود التغير المسموح به والذي يمكن أن يعزى إلى التغير اليومي والمعروف بالـ (Drift) لا يتجاوز الـ 0.30mgal كما ذكره (Speed,1970).

وبعد حساب متوسط مربع الخطأ الحاصل في قياس القيم للمحطات الجذبية وفق المعادلة الآتية.

$$mg = \bar{\mp} \sqrt{\frac{\sum d^2}{2(n-1)}} \quad (\text{Kure,1970 in Al-Yassi,1977})$$

حيث أن:

l = الفرق بين القراءتين الأولى والثانية في نفس نقطة القياس.

n = عدد الأزواج للقراءات المختلفة.

وحسبت هنا على أساس أن كل قراءتين متكررة تمثل زوجاً من القراءات

والتكرارات هي القراءات ذات فترات القياس المتباعدة.

وجد أن mg تكون بحدود:

$$\bar{\mp} 6.934 \mu gal$$

وبذلك فإن الفارق في القيم الجذبية المقاسة يتجاوز بكثير معدل التغير اليومي وحدود الخطأ

وهو بلا شك عائد لتساقط الأمطار وتوسع الصخور الرسوبية بالمياه وارتفاع كثافتها تبعاً

لذلك - في الفترة التالية للتساقط مباشرة - .

المصادر

1. مصطفى ، مازن محمد ، 1990 تقرير عن نتائج الأعمال الاستكشافية لخام

البوكسايت في شمال الحسينيات ، تقرير غير منشور ، المشاة العامة للمسح

الجيولوجي والنعدين.

انوار الخرجي

2. Al- Yassi, A.I. 1977; Detection of solution Cavities by gravity Method, MSC. Thesis (Unpublished), Baghdad University, Collage of Science.
3. Buday, T.: A.I. 1980; The Regional Geology of Iraq: I. stratigraphy and Paleogeography. SOM ., Baghdad Iraq.
4. Butler , D. K , 1979 ; Assessment of microgravimetric techniques for site investigation 49 th annual international meeting of the society of exploration geophysicists, New Orleans abstracted in Geophysics, 45,549.
5. Butler, D.K, 1980; Microgravimetric techniques for geotechnical applications, Miscellaneous paper GI .80-13 U.S. Army Engineering waterways experiments station, CE Vicksburg, MS.
6. Butler, D.K., 1981; Microgravity Surveys for evaluation of elevation changes due to reservoir impoundment, Jour. of the geotechnical engineering division, proceedings of the American Society of Civil Engineers, 107, No. GT3, 353-361.
7. Butler, D.K., 1991; Engineering and Environmental applications of Microgravimerty (Tutorial),USA.
8. Lambert, A. and Beaumont, C., 1977; Nano variations in gravity due to seasonal ground water movement: Implications for the gravitational detection of tectonic movements, J. Geoph. Res 82,297-306.
9. Speed. R.C., 1970; Gravity anomalies from cavities in salt beds. I the surface filed northern Ohio, Geol. Society, 3 rd Symposium on salt 2,367-385.

تأثير أنواع مختلفة من الطحالب على إنتاجية الحيوان الدولابي

مريم جاسم العلكاوي ، ثامر ابراهيم قاسم ، طه ياسين الخفاجي
وفاطمة عبد الحسن دلي

قسم الاسماك ، دائرة البحوث الزراعية والبايولوجية، ص.ب. 765 بغداد، العراق

ABSTRACT

The green alga *Chlorella ellipsoidea* Gerenech, *Scenedesmus quadricauda* (Turp.), were tested as a food for the rotifer *Brachionus calyciflorus* in different densities (0.25, 0.50, 0.75, 1.0×10^6 cell/ml). The animals were collected and isolated from fish ponds. Then, they were acclimated at Laboratory temperature and light intensity of $16\mu\text{E}/\text{m}^2/\text{s}$. Animals production was evaluated in terms of growth rate, fecundity, birth rate and doubling time. The optimum production of animals (8.4 ind/ml) when fed a *Chlorella ellipsoidea* and (13.6 ind/ml) when fed *Scenedesmus quadricauda*, was noticed at density of 0.75×10^6 cell/ml. Variation in animals production with different materials were discussed. Significant differences were observed among all treatments.

الخلاصة

تم اختيار نوعين من الطحالب الخضراء الشائعة في البيئة المائية وهما *Chlorella ellipsoidea* Gerenech و *Scenedesmus quadricauda* (Turp.) بالكثافات (0.25 و 0.50 و 0.75 و 1.0×10^6 خلية / مل) كغذاء للحيوان الدولابي *Brachionus calyciflorus* Pallas الذي جمع وعزل من احواض تربية الاسماك في مزرعة الزعفرانية وتم اقلمته وتكثيره في درجة حرارة المختبر 25 م وبشدة اضاءة قدرها 16 مايكرواشتاين / م² / ثا. قدرت انتاجية الحيوان من حساب معدلات النمو والخصوبة والتكاثر وزمن التضاعف، بينت النتائج بأن انتاجيته كانت 8.4 فرد / مل عند استخدام الطحلب *C. ellipsoidea* كغذاء بكثافة 0.75×10^6 خلية / مل، في حين بلغت انتاجية الحيوان 13.6 فرد / مل عند استخدام الطحلب *S. quadricauda* بكثافة 0.50×10^6 خلية / مل وسجلت فروقات معنوية $p < 0.05$ بين المعاملات. وتم مناقشة النتائج في إنتاجية الحيوان باختلاف الطحالب المستخدمة.

المقدمة

بعد الغذاء الطبيعي المتاح في أي نظام بيئي من العوامل المحددة لنمو الأسماك وإنتاجيتها إذ أن الزيادة في الكتلة الحية للأسماك تؤدي إلى نقص في كمية الغذاء الطبيعي لكل سمكة وبالتالي انخفاض معدل النمو. وتعد الدولابيات أحد المكونات الأساسية للغذاء الطبيعي وهي صغيرة الحجم وتمتاز بقصر دورة حياتها ومن الممكن الحصول عليها بأعداد كبيرة من البيئة (Ejstmont-Karabin et al. 1993) كما أنها غذاء ضروري في معظم المفاصل التجارية في العالم (Dhert et al. 1995). وهذه الكائنات لها القدرة على تناول المواد العالقة في الماء مثل الطحالب والخمائر وبعض الأنواع البكتيرية (Hino and Hirano 1980) وتشكل الطحالب غذاء لمعظم الأحياء المائية وبالأخص اللافقريات وذلك لصغر حجمها وقيمتها الغذائية العالية إضافة إلى انتشارها الواسع في البيئات المختلفة على طحلب *Tetraselmis sp.* بشكل مباشر لاحتوائه على نسبة عالية من الأحماض الدهنية المختلفة. كما أن إنتاجية الحيوان الدلوبي *B. calyciflorus* تزداد اعتماداً على نوع الطحلب المستخدم وحسب الكثافات المختلفة (Pavlas and Yangver 1999) كما تختلف الطحالب فيما بينها بمكوناتها من الأحماض الدهنية والأمينية (Rezeq and James 1985). تهدف الدراسة الحالية إلى زيادة إنتاجية الحيوان الدلوبي *B. calyciflorus* والانتقاء به كغذاء غني ليرقات الأسماك حديثة الفقس.

المواد وطرائق العمل

زريعة الطحالب

استخدمت الطحالب الخضراء *C. ellipsoidea* و *S. quadricauda* كغذاء للحيوان الدلوبي *B. calyciflorus* وهي عزلات نقية حصل عليها من وحدة زراعة الطحالب Algal Unit Fish Research Center (AUFRC) في مركز بحوث الأسماك. استخدم الوسط الزراعي Beijerinck لزراعة الطحالب والموضحة مكوناته في (Stein 1973)، يضبط الأس الهيدروجيني للوسط بين 7-7.5 وتغلق القناني بسداد قطني ويعقم في جهاز التعقيم لمدة 40 دقيقة بدرجة حرارة 120 م وضغط 1.5 جو ويترك في درجة حرارة المختبر لليوم التالي وتضاف لها العزلة الجاهزة من الطحالب المستخدمة. تزود المزرعة في غرفة الزرع

عند شدة اضاءة غاز ثاني اوكسيد الكربون بنسبة 2%، وضعت المزارع في غرفة الزرع عند شدة اضاءها قدرها 380 مايكروانشتاين / م² / ثا ودرجة حرارة 25±2. وتجرب لها عمليات الحصاد بعد مرور 5-6 يوم عندما تكون المزرعة في الطور اللوغاريتمي (Kassim et al. Exponential phase 1993).

زريعة الدولابيات

اختبر الحيوان الدولابي *Brachionus calyciflorus* Pallas لهذه الدراسة والسدي عزل من احواض تربية الأسماك في مزرعة الزعفرانية في بغداد. جمعت عينات المياه باستخدام شبكة العوالق الحيوانية حجم تقوبها 50 مايكرون ، عزل الحيوان بوساطة المجهر التشريحي وبأستخدام قطارة باستور ووضع في أطباق بتري مع ماء الحنفية الخالي من الكلور، وقد اجري عدد من النقلات للحصول على حيوانات مفردة ولفس النوع. وضعت الأفراد في دوارق زجاجية حجم 100 مل مع 20 مل من كل طحلب مستخدم، تركت الدوارق للتأقلم في غرفة الزرع لمدة عشرة ايام بدرجة حرارة 25±2 م وبشدة اضاءة قدرها 16 مايكروانشتاين / م² / ثا ويضبط الاس الهيدروجيني بين 8-8.2 (Kassim et al. 1998). زودت الدوارق بالهواء (20-40 مل/ دقيقة) ثم بدأت الحيوانات بالتزايد تحت هذه الظروف ونتاج افراد جديدة ، ثم اخذ (10 افراد منها وبنفس العمر ولجميع التجارب الموضحة لاحقاً يواقع 3 مكررات في كل تجربة وحسب خلالها عدد الحيوانات الحاملة للبيوض وغير الحاملة وعدد البيوض يوميا لكل التجارب مع الاستمرار بحساب عدد خلايا الطحالب المستخدمة والمحافظة على العدد نفسه يوميا في كل تركيز حيث يتم تحضير اوساط زرعية لكل من الطحالب المستخدمة والمحافظة على العدد نفسه يوميا في كل تركيز حيث يتم تحضير اوساط زرعية لكل من الطحالب *C. ellipsoidea* و *S. quadricauda* بالكثافات 0.25 و 0.50 و 0.75 و 1.0×10⁶ خلية / مل كغذاء للحيوان الدولابي *B. calyciflorus*.

تم حساب معدل النمو الآتي (K) باستخدام المعادلة الموضحة من قبل Scott and Baynes (1978) وكما يلي :

$$K = \frac{\ln Nt - \ln No}{t}$$

مريم جاسم العلكاوي وجماعتها

$N(t)$ = عدد الحيوانات الكلي في بداية التجربة، $N(t)$ = عدد الحيوانات الكلي في نهاية التجربة،
 t = الزمن باليوم، ومنه يتم حساب زمن التضاعف (D) / يوم :

$$D = \frac{0.031}{K}$$

كما استخدمت المعادلة الموضحة من قبل (Urabe 1992) لحساب معدل الولادات (b) / يوم :

$$h = \frac{\ln(L+1)}{D}$$

L = نسبة البيوض (عدد البيوض لكل مل / عدد الحيوانات الكلي لكل مل).

D = الفترة المستغرقة للتطور الجنيني (مساو الى 0.5 يوم) والموضح من قبل (Kassim et al. 1999).

واستخرج معدل التكاثر (G) / يوم والموضح من قبل (Euteneur et al. 1984)

$$G = \frac{1}{T} \ln \frac{Nt}{No}$$

واستخدم التصميم العشوائي الكامل Completely Randomized Design في تحليل البيانات احصائيا لاستخدام تأثير المعاملات في الصفات المدروسة. (الراوي و خلف اس 1980) وتم مقارنة الفروقات المعنوية باختبار دنكن متعدد الحدود (Duncan 1955).

النتائج

تأثير الكثافات المختلفة من الطحالب في إنتاجية الحيوان

اظهرت النتائج التي استخدم فيها الطحلب *C. ellipsoidea* كغذاء للحيوان الدولابي *B. calyciflorus* زيادة إنتاجية الحيوانات مع زيادة كثافة خلايا الطحلب لتبلغ اقصاها في اليوم السابع من التجربة في الكثافة 10×0.75 "خلية / مل شكل (1). وكان هناك اختلاف معنوي

($P < 0.05$) بين دلالات النمو للمعاملات المختلفة، أما معدلات الخصوبة والولادات والتكاثر والولادات فهي الأخرى ازدادت مع زيادة أعداد خلايا الطحلب لغاية الكثافة 10×0.75 خلية/مل، وانخفض زمن التضاعف إلى ادناه (1.4 يوم) عند الكثافة ذاتها (جدول 2).

جدول (2) دلالات النمو السكاني اليومي للحيوان الدولابي *Brachionus calyciflours* عند

تغذيته على كثافات مختلفة من طحلب *Chlorella ellipsoidea*

*الكثافة القصوى للحيوان (فرد/مل)	معدل التكاثر (G) يوم	معدل الولادات (b) يوم	معدل الخصوبة (بيضة / حيوان)	زمن التضاعف (D) يوم	معدل النمو K	كثافة الطحلب خلية $10 \times$ / مل
(7) 1.0 ± 2.7^a	0.58	0.70 ^{ab}	0.13±0.42	6.1	0.27 ^b	0.25
(7) 1.3 ± 5.8^b	0.63	0.72 ^b	0.11±0.44	2.5	0.33 ^b	0.50
(7) 1.7 ± 8.4^b	0.66	0.84	0.08±0.53	1.4	0.54 ^a	0.75
(7) 1.2 ± 3.06^a	0.49	0.69 ^a	0.15±0.41	2.6	0.42 ^a	1.0

* الأرقام بين قوسين تشير إلى اليوم الذي بلغ فيه الحيوان أعلى كثافة.

- الأحرف المتساوية تشير إلى عدم وجود فروقات معنوية بين القيم على مستوى احتمال (0.05) لنفس العمود. وعند استخدام الطحلب *S. quadricauda* كغذاء للحيوان نفسه لوحظ زيادة في إنتاجية الحيوانات أكثر من النوع الأول من الطحالب مع زيادة كثافة خلاياه لتبلغ أقصاها في اليوم التاسع من التجربة في الكثافة 10×0.75 خلية / مل (شكل 2). أما دلالات النمو المختلفة فقد ازدادت هي الأخرى مع زيادة أعداد خلايا الطحلب عند الكثافة ذاتها. وانخفض زمن التضاعف إلى أقل قيمة (1.6 يوم) عند نفس الكثافة (جدول 3) ولوحظ هناك فروقات معنوية ($P < 0.05$) بين المعاملات المختلفة.

تأثير أنواع مختلفة من الطحالب على إنتاجية الحيوان الدلوبي *Brachionus calyciflorus* Pallas
مريم جاسم العلكاوي وجماعتها

جدول (3) : دلالات النمو السكاني اليومي للحيوان الدلوبي *Brachionus calyciflorus* عند تغذيته على كثافات مختلفة من طحلب *Scenedesmus quadricauda*

كثافة الطحلب خلية 10×10^6 / مل	معدل النمو K	زمن التضاعف (D) يوم	معدل الخصوبة (بيضة / حيوان)	معدل الولادات (b) يوم	معدل التكاثر (G) يوم	*الكثافة القصوى للحيوان (فرد/ مل)
0.25	0.31 ^b	5.2	0.12±0.40	0.72 ^b	0.52 ^b	1.1±3.2 ^a (9)
0.50	0.37 ^b	3.4	0.10±0.41	0.74 ^b	0.66 ^a	1.4±8.1 ^b (9)
0.75	0.58 ^a	1.6	0.09±0.56	0.86 ^a	0.70 ^a	2.1±13.6 ^c (9)
1.0	0.40 ^b	2.8	0.16±0.39	0.63 ^c	0.48 ^b	1.3±6.3 ^b (9)

* الأرقام بين قوسين تشير الى اليوم الذي بلغ فيه الحيوان اعلى كثافة

- الاحرف المتشابهة تشير الى عدم وجود فروقات معنوية بين القيم على مستوى احتمال 0.05 لنفس العمود. وعند دمج نوعي الطحالب معا كغذاء للحيوان الدلوبي سجلت زيادة اكثر في انتاجيته لتبلغ مداها (18.2 فرد / مل) في اليوم الثامن من التجربة عند كثافة 10×0.50 خلية / مل، (شكل 3). كما لوحظ فروقات معنوية ($P < 0.05$) في دلالات النمو المختلفة عند الكثافة ذاتها وانخفض زمن التضاعف ليصل الى 1.8 يوم عند نفس الكثافة (جدول 4).

جدول (4) : دلالات النمو السكاني اليومي للحيوان الدلوبي *Brachionus calyciflorus* عند تغذيته على كثافات مختلفة من الطحليين *Chlorella ellipsoidea* و *Scenedesmus quadricauda* معا

كثافة الطحلب خلية 10×10^6 / مل	معدل النمو K	زمن التضاعف (D) يوم	معدل الخصوبة (بيضة / حيوان)	معدل الولادات (b) يوم	معدل التكاثر (G) يوم	*الكثافة القصوى للحيوان (فرد/ مل)
0.25	0.33 ^c	5.6	0.15±0.38	0.74 ^b	0.56 ^a	1.2±5.3 ^a (8)
0.50	0.64 ^a	1.8	0.08±0.60	0.89 ^a	0.77 ^a	3.3±18.2 ^b (8)
0.75	0.48 ^b	2.4	0.10±0.42	0.82 ^a	0.71 ^a	2.0±11.6 ^b (8)
1.0	0.40 ^b	3.6	0.11±0.40	0.68 ^b	0.46 ^b	1.5±7.7 ^a (8)

* الأرقام بين قوسين الى اليوم الذي بلغ فيه الحيوان اعلى كثافة.

- الاحرف المتشابهة تشير الى عدم وجود فروقات معنوية بين القيم على مستوى احتمال 0.05 لنفس العمود.

المناقشة

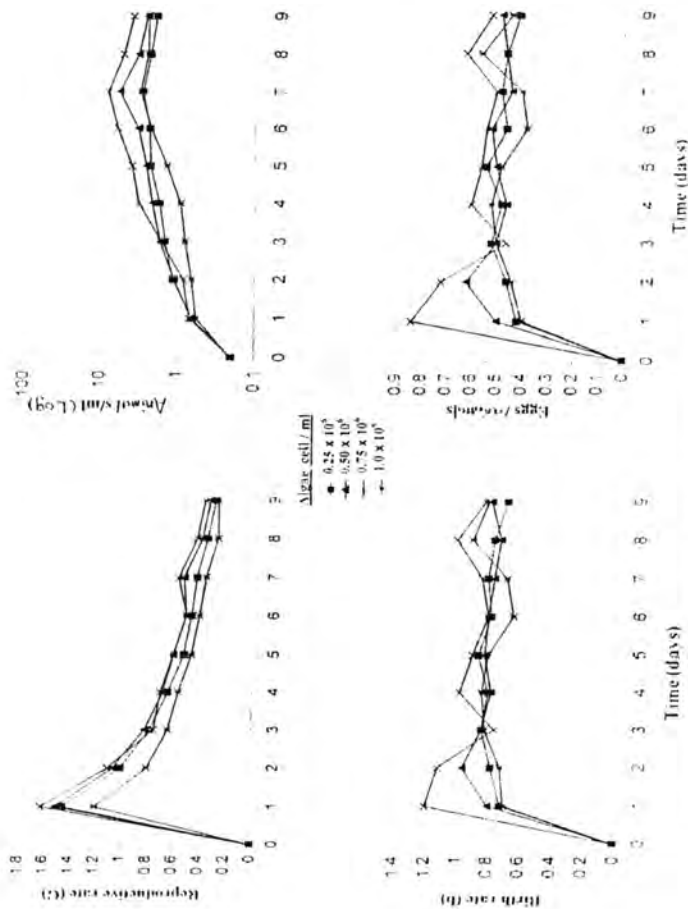
اختيرت نوعين من الطحالب الخضراء الشائعة في البيئة المائية العراقية لتغذية الحيوان الدولابي *B. calyciflorus* لزيادة إنتاجيته واستخدامه غذاء ليرقات الاسماك حديثة الفقس. تبين من خلال الدراسة الحالية بان اعلى كثافة سكانية بلغت (8.4 فرد / مل) للحيوان الدولابي عند تغذيته على الطحلب *C. ellipsoidea* بالكثافة 10×0.75 خلية / مل. في حين وصلت الكثافة (13.6 فرد / مل) عند تغذيته على الطحلب *S. quadricauda* بالكثافة ذاتها. ويتضح من ذلك بان الكثافة السكانية للدولابيات تعتمد على نوع الطحلب المستخدم وتركيزه في ربيعة الدولابيات حيث يزداد بزيادة تركيز الطحلب وبالذات عند تركيز 10×0.75 خلية / مل بينما تقل الكثافة في التركيز الاعلى وقد يعزى ذلك الى قابلية هضم الحيوان للطحلب وتختلف باختلاف تركيزه. وهذا يتفق مع ما توصل اليه (Kassim et al. 1998) عند استخدامه الطحلب *S. acutus* مع الحيوان نفسه والذي حصل فيها على كثافة سكانية عالية (32 فرد / مل) عند تركيز 10×0.75 خلية / مل وعلى معدلات نمو وخصوبة بلغت 0.38 و 0.50 وعلى التوالي لزمان نضاعف مقداره 1.9 يوم. كما وجد اعلى معدل نمو للحيوان نفسه مع طحلب *S. obliquus* في الكثافة 10×0.50 خلية / مل (Galkovskaja 1983). في حين جاءت بعض النتائج مختلفة حيث كان افضل نمو سكاني ومعدل تكاثر للحيوان عند كثافة 10×1.5 خلية / مل مع الطحلب (Hirayama et al. 1973) *Chlorella sp.* كما لوحظ زيادة معدل النمو (0.85) للحيوان الدولابي *Anuraeopsis fissa* عند تغذيته على الطحلب *S. obliquus* بكثافة 10×8.0 خلية / مل (Dumont et al. 1995).

وعند دمج الطحلبين معا كغذاء للحيوان بالتركيز المختلفة لوحظ زيادة اكبر في دلائل النمو وازدادت الكثافة السكانية للحيوان لتصل (18.2 فرد / مل) عند التركيز 10×0.50 خلية / مل. ويتضح من ذلك بان التباين في الكثافة السكانية للحيوان وإنتاجيته باختلاف كثافة خلايا الطحلب ونوعه اذ تختلف القيمة الغذائية والتركيب الكيميائي للطحالب باختلاف انواعها والوسط الزراعي الذي تعيش فيه، كما تختلف الحيوانات فيما بينها في قابلية الهضم وسلوك التغذية (Pourriot 1977).

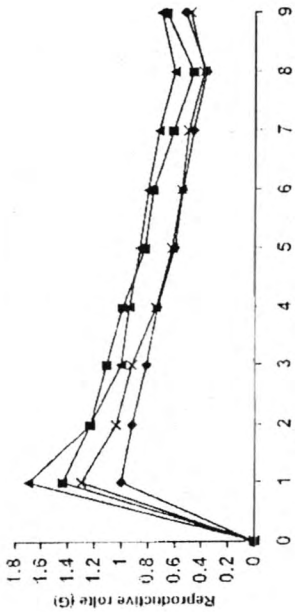
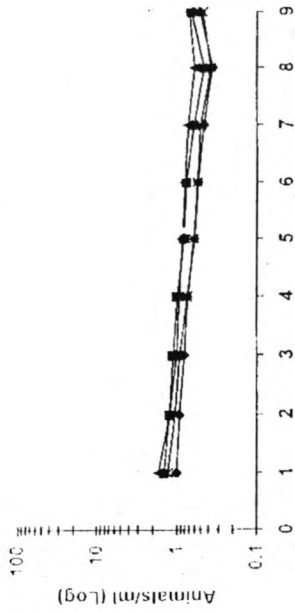
واشارت النتائج الى ان عملية دمج نوعين او اكثر من الطحالب او خلط نوع من الطحالب مع خميرة الخبز تزيد من انتاجية الدولابيات بشكل اكثر مما لو استخدم نوع واحد من الطحالب او نوع معين من الغذاء ويصاحب ذلك اختلاف او زيادة في دلائل النمو المدروسة

وذلك لاختلاف تركيب كل نوع من الطحالب وتنوع محتوياته من الاحماض الدهنية والامينية وحسب حاجة الحيوان. و عليه تم اختيار هذين النوعين من الطحالب اللذان ترتفع نسبة الاحماض الدهنية غير المشبعة لتصل الى اكثر من 64% للطحلب *C. ellipsoidea* (قاسم وجماعته 1999) و 64.17% للطحلب *S. quadricauda* (الراوي 1999).

وعسوما فانه لا يوجد مصدر غذائي في الطبيعة يحتوي على كافة الاحتياجات الغذائية الضرورية للجسم لاي كائن حي و عليه فان عملية خلط نوعين او اكثر من الغذاء ممكن ان يعطي انتاجية اكثر وقد تصل هذه الاختلافات في الانتاجية عند الاختلاف بين انواع الغذاء المختلفة نتيجة تنوع محتواها من الاحماض الدهنية والامينية.

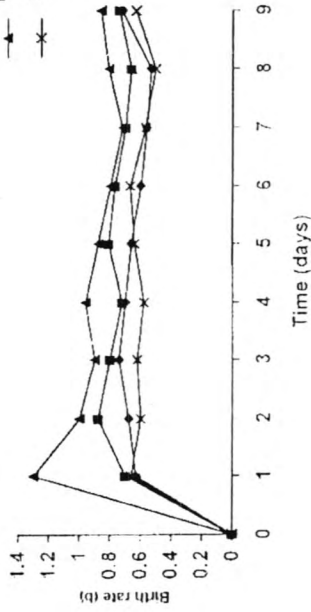
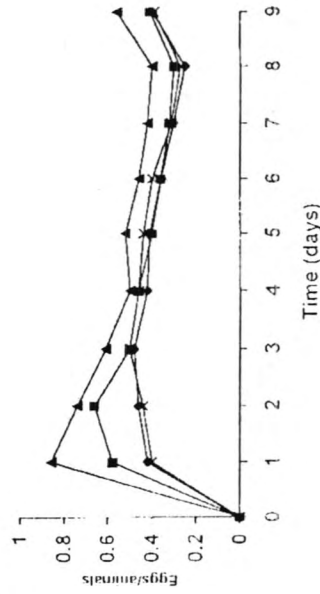


شكل (1) تأثير تراكيز مختلفة من طحلب *Brachionus calyciflorus* على معدل تكاثر طحلب *Chlorella ellipsoidea*



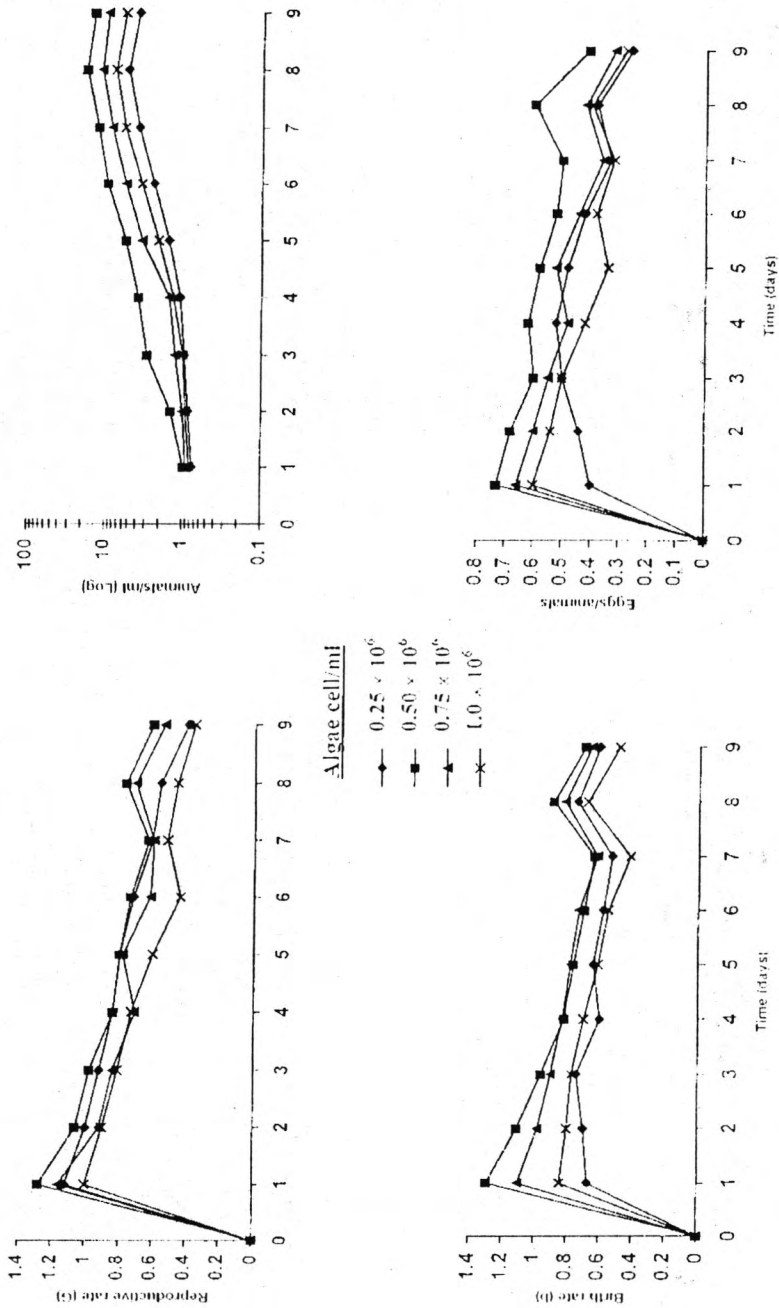
Algae cell/ml

- ◆ 0.25×10^6
- 0.50×10^6
- ▲ 0.75×10^6
- ✱ 1.0×10^6



شكل (2) دلائل النمو السكاني اليومي لـ *Brachionus calyciflorus* عند تغذيته على كميات مختلفة من طحلب *Scenedesmus quadricauda*.

مريم جاسم العلكاوي وجماعتها



شكل (3) دلائل تطور السمكيات اليومية لـ *Brachionus calyciflorus* عند تغذيته على كثافات مختلفة من خليط الطحالبين *Chlorella ellipsoidea* و *Scenedesmus quadricauda*.

المصادر

1. Boyd, C.E. Water quality management for pond culture. Elsevier Scientific Publishing. Co. New York, 318pp. (1982).
2. الناصري، سفيان كامل . إنتاجية الاسماك في الاحواض الترابية، مجلة وادي الرافدين لعلوم البار، 8 (2) 342-332، (1994).
3. Ejsmont-Karabin, T.K., Stewertesens, C. and Gulati, R.D. Changes in size biomass and production of *Euchlaris dilatata*, Hauer during its life span, *Hydrobiol.*, 255/256: 77-80, (1993).
4. Dhert, ph., Schoters, K., Vermenten, P., Sun, J., gao, S., Shang, Z. and Sorge Loos, P. Production and evaluation of resting eggs of *Brachionus plicatilis* originating from the P.R of China. *Europa. Aqu. Soc.*, 24: 315-319, (1995).
5. Hino, A. and Hirano, R. Relationship between body size of the rotifer *Brachinus plicatilis* and the maximum size of particles ingested. *Bull. Jap. Soc. Sci. Fish.*, 46: 1217-1222 (1980).
6. Kjell. I.R., Jose, R.R and Yangver, O. Influence of Lipid composition of live food on growth, Survival and pigmentation of turbot larvae. *Aquaculture*, 2:33-38, (1994).
7. Pavlos. M and Yangvar, O. Protein depletion of the rotifer *Brachionus plicatilis* during startvation. *Aquaculture*, 174 : 343-353, (1999).
8. Rezeq. T.A. and James, C.M. Production and nutritional quality of the rotifer *Brachionus plicatilis* in relation to different cell densities of marine *Chlorella* sp. *Kuwait Inst. Sci. Res. Pub.*, 1801:1-16, (1985).
9. Al-Aarajy, M.J. Studies on the mass culture of some microalgae as food for fish Larvae. Ph. D. Thesis, Univ. Basrah, 107 pp. (1996).
10. Kassim, T.I., Salman, N.A., Al-Lami, A.A., Muften, E.S., Abood, S.N., Shkaer, H.K. The use of Locally raised live food and artificial diet for feeding Cyprinid Larvae in Iraq. *Marina mesopotamica*, 13(1): 77-90 (1998).
11. Kassim, T.I., Al-Saadi, H.A., Salman, N.A. Production of some phyto and zooplankton and their use as live food for fish Larvae. *Iraqi-J. Agric.*, 4(5):188-201 (1999).
12. Kassim, T.I., Al-Mousawi, A.H., Al-Lami, A.A., Abood, S.M. and Muften, F.S. Isolation, Purification and culturing of *Chlorella vulgaris*. Report No. 6115/Po 37/39. Published by IAEC.
13. Stein, J.R. Culture methods and growth measurement. Handbook of (phycological methods). Cambridge Uni. Press. 1973 (1973).

- 14.Scott, A.P. and Baynes, S.M. Effect of algal diet and temperature on the biochemical composition of the rotifer *Brachionus plicatilis*. *Aquaculture*, 14:247-260, (1978).
- 15.Urabe, Midsummer succession of rotifer plankton in a shallow eutrophic pond- *J. Plank. Res*, 14: 851-866 (1992).
- 16.Euteneuer, S., Lubzans, E. and Fishler, R. Apreliminary report on cold preservation of the rotifer *Brachionus plicatilis*. *Research on Aquaculture, Europ. Mar. Soc*, 8:211-228, (1984).
17. قاسم، ثائر ابراهيم والقيسي، مهدي ضمّد واللامي، علي عبد الزهرة وموسى، كريم موزان ودلي، فاطمة عبد الحسن وفرحان، رشا خليل وعباس، انعام كاظم وخيون، شذى خضير، تأثير أنواع مختلفة من الطحالب على التركيب اليايوكيميائي لبعض العوالق الحيوانية، تقرير رقم 7050/Po13/1999، (1999).
18. الزاوي، خاشع محمود وخلف الله، عبد العزيز محمد، تصميم وتحليل التجارب الزراعية، دار الكتب للطباعة والنشر، جامعة الموصل، العراق، 487 صفحة، (1980).
- 19.Duncan, D.B. Multiple range and multiple F' test. *Biometrics* 11: 1-42 (1955).
- 20.Watanabe, T., Arakawa, T.Kitajima, C. and Fujita, S. Nutritional evaluation of proteins of living feeds used in seed production of fish. *Bull. Jap. Soc. Sci. Fish*, 33:985-988. (1978).
- 21.Galkovskaja, G.A. On temperature acclimation in an experimental of *Brachionus calyciflorus*. *Hydrobiol*, 104: 255-227 (1983).
- 22.Hirayama, K., Watanabe, K. and Jusano, T. Fundamentals studies on physiology of rotifers for its mass culture. *Bull. Jap. Soc. Sci. Fish*, 39: 1123-1127, (1973).
- 23.Dumont, H.J., Sarma, S.S.S. and Ali, A.J. Laboratory studies on the population dynamics of *Anuraeopsis fissa* in relation to food density. *Fresh. Wat. Biol*, 33:39-46 (1995).
- 24.Pourriot, R. Food and feeding habit of rotifera. *Arch. Hydrobiol. Berl*, 4: 243-260 (1977).
25. الراوي، الطاف عبد الواحد، دراسة بيئية وفسلجية لطحلب *Scenedesmus quadricauda* (Turp.) رسالة ماجستير، كلية العلوم، جامعة بغداد، 69 صفحة (1999).

تأثير احد مشتقات التريازولات على المحتوى البروتيني لكالس نبات الخس

مي طه الوتار أ.د. عبد المطلب سيد محمد د. هناء سعيد الصالح
قسم علوم الحياة / كلية العلوم / جامعة الموصل

ABSTRACT

The effect of one Triazole Derivatives on Protien content of Lettuce (*Lactuca Sativa* L. c.v. *Longiflora*) Callus was investigated. It was found that the addition of different concentrations (10^{-4} , 10^{-6} , 10^{-8} , 10^{-10} and 10^{-12} M) of triazole compound alone to MS medium increased to a certain extent protien content of Callus. Addition of 3×10^{-6} M of NAA or 4×10^{-6} M of BA in presence of Triazole compound enhanced the increase in Protien content depending on the concentration and other growth regulators used. It can be that the Triazole compound act as synthetic cytokinin. Moreover, this compound may be considered as new synthetic growth regulator to be used in different tissue culture system.

الخلاصة

تضمنت الدراسة التحري عن فعالية احد مشتقات مركبات التريازولس Triazoles وتأثيره على المحتوى البروتيني لكالس *Lactuca Sativa* L. c.v. *Longiflora* ووجد أن اضافة مركب التريازولس لوجه الى الوسط الغذائي (MS) وبتركيز 10^{-4} , 10^{-6} , 10^{-8} , 10^{-10} , 10^{-12} مولار كان له تأثير واضح في زيادة المحتوى البروتيني للكالس خلال فترات النمو 90, 100, 70, 80 يوم. وبينت النتائج أن إضافة NAA بتركيز 3×10^{-6} مولار أو BA بتركيز 10^{-6} $4 \times$ مولار الى الوسط الغذائي وبوجود التريازولس أدى الى زيادة واضحة في المحتوى البروتيني للكالس هذا وأن انماط الزيادة في المحتوى البروتيني كانت متباينة اعتمادا على تركيز مركب التريازولس. لذلك يمكن الاستنتاج أن مركب التريازولس سلك سلوك منظم نمو من نوع السايبتوكاينينات والذي يمكن استخدامه في انظمة زراعة الانسجة عموما.

المقدمة

تعد عملية تطور الكائنات الحية من العمليات الأساسية واحدى الركائز المهمة في علم الاحياء. وبصورة عامة تعد تقنيات زراعة الانسجة النباتية وخلاياها من أفضل الطرق لدراسة عملية التطور في انسجة وخلايا الكائنات حقيقية النواة وكذلك لدراسة سلوك الجزيئات ذات الفعالية الحيوية العالية ومعرفة اليات عملها وتأثيراتها على الانسجة الحية وذلك لسهولة السيطرة عليها في الظروف المختبرية (الوتار 2000).

وتعد منظمات النمو النباتية احدى اهم الركائز التي يستند عليها نجاح زراعة الانسجة النباتية (محمد و عمر 1990) (Street 1977) وجد سابقا أن مركب التريازول يعمل كمنظم نمو في انظمة زراعة الانسجة السنباتية وأنه أدى الى تحفيز استحداث الكالس ونموه (الوتار واخرون 2000) لذلك تيدف الدراسة الحالية إلى تقديم دعم من خلال تتبع التغيرات في المحتوى البروتيني لمزارع الكالس المستحدث على الاوساط الغذائية المضاف اليها المركب ومقارنة ذلك مع منظمات النمو النباتية القياسية المعروفة.

المواد والطرق المستعملة

مصدر الكالس:

استخدم الكالس المستحدث من قطع السيقان لبادرات نبات الخس النامية على وسط (MS) الغذائي القياسي المضاف اليه $10^{-6} \times 4$ مولار من BA و $10^{-6} \times 3$ مولار من NAA (Mohammad & Abood 1989)(Murashige & Skoog 1962). واستخدم وزن (1- 2) غم من الكالس المتكون بعد مرور 30 يوما من النمو على الوسط الغذائي القياسي وزرع على اوساط (MS) الغذائية مضافا اليها تراكيز مختلفة من مركب التريازول المحضر مختبريا وهي 10^{-4} , 10^{-6} , 10^{-8} , 10^{-10} , 10^{-12} مولار إما لوحده او مع $10^{-6} \times 3$ مولار NAA أو مع 10^{-6} $\times 4$ مولار BA. حدد الوزن الطري للكالس بعد مرور فترات نمو 30 , 60 يوما (الوتار وجماعته، 2001).

قياس المحتوى البروتيني:

اعتمدت طريقة الفولين (Lowrey et al, 1951) لتقدير كمية البروتين في كالس نبات الخس، حيث تم ترسيب البروتين من العينات باستخدام محلول 5% TCA ومن ثم اذيب البروتين المترسب باضافة NaOH 1N، حددت كمية البروتين في مستخلصات الكالس المختلفة في فترات نمو مختلفة هي 100, 90, 80, 70 يوما. وقورنت مع المنحني القياسي للبروتين الذي حضر باستخدام تراكيز مختلفة من البومين المصل البقري (BSA).

النتائج

1 - تأثير اضافة مركب الترايازول لوحده الى الوسط الغذائي

بينت النتائج أن المحتوى البروتيني الكلي للكالس ازداد عند اضافة تراكيز عالية 10^{-4} مولار وتركيز واطنة 10^{-12} مولار في مراحل النمو المختلفة. ولم يظهر زيادة واضحة عند التركيز 10^{-8} مولار مع مراحل النمو المختلفة 100, 90, 80, 70 يوم مقارنة مع المحتوى البروتيني الكلي للكالس النامي على الوسط القياسي الذي اظهر زيادة واضحة في فترات النمو المذكورة (الشكل -1).

2 - تأثير اضافة تراكيز مختلفة من مركب الترايازول مع $10^{-6} \times 3$ مولار من NAA الى الوسط الغذائي

أشارت النتائج أن وجود NAA مع مركب الترايازول في الوسط الغذائي حفز زيادة المحتوى الكلي للبروتين في الكالس حيث بلغ المحتوى البروتيني الكلي 2.05 ملغم/غم وزن طري في الوسط المضاف اليه 10^{-4} مولار من المركب مع NAA بعد مرور 100 يوم من النمو مقارنة بـ 1.9 ملغم/غم وزن طري في الوسط القياسي (شكل - 2 -).

3 - تأثير اضافة تركيز مختلف من مركب الترايازول مع $10^{-6} \times 4$ مولار من لآ

بدا واضحا من النتائج ان وجود مركب الترايازول مع BA حفز نمو الكالس وأدى الى زيادة كبيرة في المحتوى البروتيني (شكل - 3 -) حيث بلغ محتوى البروتين الكلي 2.5 ملغم/غم وزن طري في الكالس النامي على الاوساط المضاف اليها 10^{-6} مولار من المركب مع BA بعد مرور 100 يوما من النمو. اما التركيز 10^{-4} و 10^{-8} مولار من المركب مع وجود BA فقد

سي طه الوتار وجماعتها

أعطى مستويات متقاربة في المحتوى البروتيني الكلي، وإنخفض محتوى البروتين في التركيز الواطئة 10^{-10} و 10^{-12} مولار من المركب (شكل - 3 -).

المناقشة

لم يعد خفيا ما لمنظمات النمو النباتية من دور مهم وفعال في تنظيم نمو النبات والسيطرة عليه في داخل الجسم النباتي (Al-Morsy and Mansour 1998) In Vivo أو خارجه (Mohammad et al, 1986) In Vitro حيث يعتمد نمو النبات وتطوره على الموازنة والتدخلات بين منظمات النمو المختلفة (Wearing and philips 1978).

ويعد وجود الاوكسينات والساييتوكاينينات الأكثر أهمية في زراعة الانسجة النباتية حيث أن عملية إستحداث الكالس ونموه وتمايزه يعتمد بشكل رءسي على المغذيات الموجودة في الوسط ونوع وتركيز منظمات النمو المتوفرة (Street 1977).

ويبدو واضحاً أن عملية تحفيز الأيض داخل الخلية وانقسامها وتمايزها يعتمد بالدرجة الاساس على الموازنة بين الاوكسينات والساييتوكاينينات (Tagawa and Bonner 1957). ويرافق عادة انقسام ونمو خلايا الكالس زيادة في المحتويات الخلوية مثل البروتينات والاحماض النووية (Street 1977) وإن انقسام الخلايا وتكوين الكالس لابد أن يرافقه زيادة المحتويات الخلوية التي تؤدي بالتالي الى الانقسام والتمايز لهذه الخلايا (Mohammad and Hassan 1988).

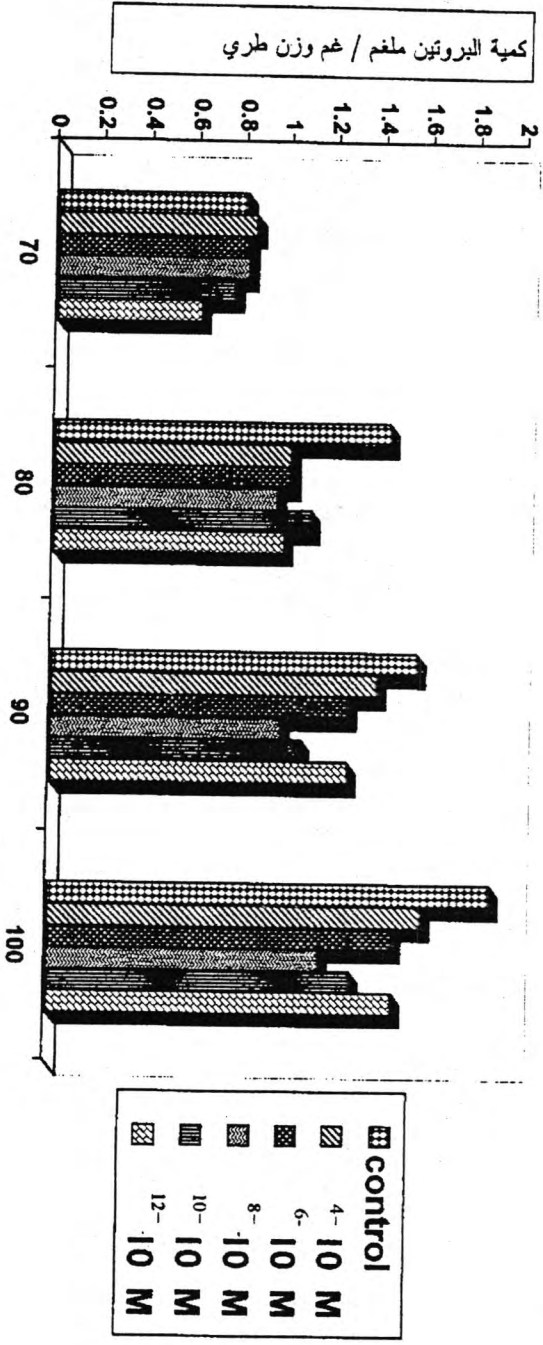
وتشير نتائج الدراسة أن استخدام مركب التريازول حفز زيادة المحتوى البروتيني للكالس معتمداً على التركيز . وهذا ما يدعم أن مركب التريازول سلك سلوك منظم نمو من خلال تحفيزه الزيادة في الوزن الطري للكالس (الوتار وجماعته 2001) وبالتالي تحفيزه الزيادة في المحتوى البروتيني والتي هي احد المقاييس المعتمد عليها في تحفيز النمو في أنظمة زراعة الانسجة النباتية (Mohammad and Polis 1999, Dodds and Roberts 1985).

واوضحت النتائج في هذه الدراسة أن إضافة مركب التريازول لوحده الى الوسط الغذائي النامي عليه الكالس حفز نمو الكالس وكان هنالك زيادة واضحة في المحتوى البروتيني. إن المركب لكي يعمل تحفيز بناء البروتين في الخلية فانه يحفز مواقع ارتباط له داخل الخلية إما أن تكون الرايبوسومات او الحامض النووي الرايبوزي RNA لكي يحفز الزيادة في بناء البروتين (Lo et al. 1997 b).

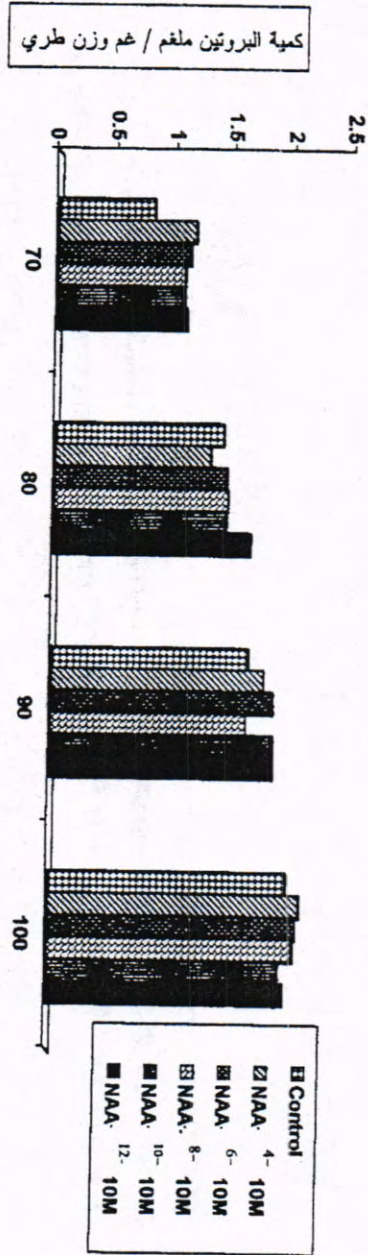
وعند اضافة NAA مع المركب الى الوسط الغذائي فان ذلك ادى الى زيادة المحتوى البروتيني للكالس في فترات النمو المختلفة وبشكل يفوق ذلك في الكالس النامي بوجود المركب لوحده وبلغت أعلى زيادة في محتوى البروتين عند التركيز 10^{-4} مولار بعد مرور 100 يوما من النمو (شكل -2-) هذا يبرز أن وجود NAA مع المركب حفز زيادة البناء الجيوي للبروتينات. وعند استبدال NAA بـ BA بوجود المركب ازداد المحتوى الكلي للبروتين في فترات النمو المختلفة. واعطى أعلى محتوى بروتيني لخلايا الكالس في الوسط المضاف اليه 10^{-6} مولار من المركب مع BA. وكما هو معروف فان نمو وتطور الكالس وزيادة وزنه يتطلب بناء الجزيئات الحيوية، كما ان زيادة وزن الكالس تفسر بزيادة حجم الخلايا وانقساماتها المتكسرة وان هذا الانقسام يتطلب زيادة بناء مكونات الخلية مثل البروتين والكربوهيدرات والاحماض النووية (Mohammad and Hassan 1988) فكما هو معروف أن معظم المكونات الخلوية من عضيات سايتوبلازمية، واغشية وانزيمات جميعها تتركب من بروتينات بشكل اساسي لذلك فان الزيادة في الوزن الطري للكالس يجب أن تكون مقترنة بزيادة المحتوى البروتيني وهذا ما أثبتته الدراسة الحالية عند تتبع التغيرات في المحتوى البروتيني للكالس بفترات نمو مختلفة حيث أشارت النتائج أن عملية النمو والتمايز المحفزة بوجود مركب التريازول لوحده او مع NAA او مع BA كانت مترافقة مع زيادة المحتوى البروتيني وهذا يدل على أن عمليات بناء البروتين تفوقت على عمليات هدمه داخل خلايا الكالس (Kemp and Sutton 1971). وإن الزيادة في محتوى البروتين اعتمدت على الموازنة في منظمات النمو الوسط الغذائي والتي تلعب دورا فعالا في زيادة قابلية الخلية على بناء البروتين (Mohammad et al. 1997).

بناء على ما تقدم يمكن القول أن هذه الدراسة أضافت الى مجموع منظمات النمو النباتية منظم نمو جديد محضر مختبريا وأنه يفوق منظمات النمو القياسية في استحداث ونمو الكالس. وأن وجوده في الوسط الغذائي أدى الى احداث أكثر من ظاهرة فسلجية واحدة في الانسجة النباتية وهذه الفعالية يمكن أن تعزى الى تركيبه الجزيئي الحاوي على مواقع غير مشبعة تعمل كمواقع ارتباط له داخل الخلية النباتية.

سي طه الوتار وجماعتها



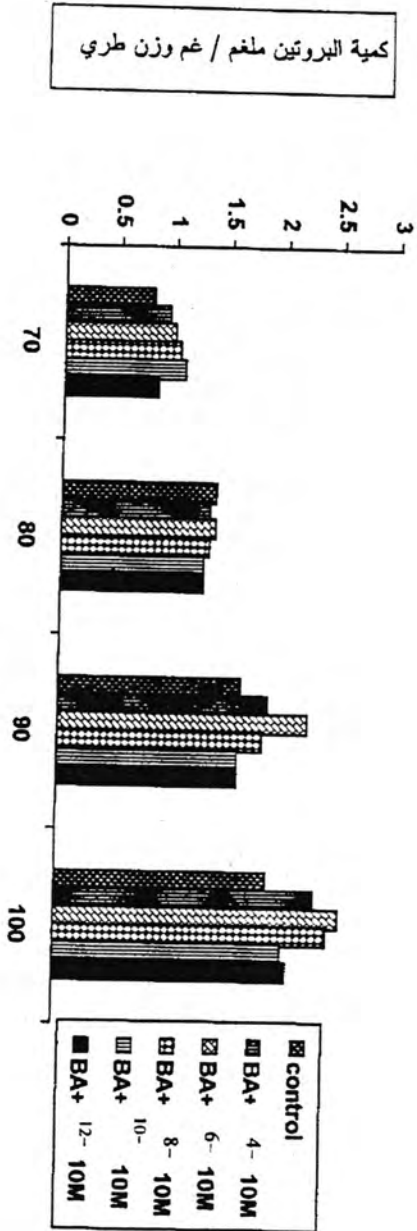
الشكل (1) كمية البروتين (ملغم / غم وزن طري) لكلاس نبات الخس القاسي على وسط MS مضافا اليه مركب الترايازولس Triazoles بتركيز مختلف. وتمثل كل قيمة متوسط ثلاثة مكررات من التقديرات المختلفة ويمثل الخط القاسي لمتوسط المعاملات .



للعمر بالايام

الشكل (2) كمية البروتين الكلية (ملغم / غم وزن طري) لكالي نبات الفس النامي على وسط MIS مضافا اليه مركب التريازولوس بتراكيز مختلفة مضافا اليه NAA بتراكيز وتمثل كل قيمة متوسط ثلاث مكررات من التقديرات المختلفة ويمثل الخط العمودي الخطا القياس لمتوسط المعاملات

مي طه الوتار وجماعتها



الشكل (3) كمية البروتين (ملغم / غم وزن طري) لكلاس نبات الخس القاسي على وسط MS مضافا اليه مركب الترايازولس بتركيز مختلفة و BA بتركيز $10^{-6} \times 4$ M وتمثل كل قيمة متوسط ثلاثة مكررات من التغيرات المختلفة ويمثل الخط العمودي I الخط القياسي لمتوسط قيم المعاملات .

المصادر

1. الوتار ، مي طه (2000). نجاح اجد مشتقات التريازولات في نمو وتمايز كالس نبات الخس. L اطروحة L ماجستير ، جامعة الموصل - العراق.
2. الوتار ، مي طه ، عبد المطلب سيد محمد وهناء سعيد الصالح (2001). دور احد مشتقات التريازولات كمنظم نمو جديد في استحداث ونمو كالس نبتة Lactuca Sativa. (قيد النشر).
3. محمد ، عبد المطلب سيد ومبشر صالح (1990). المفاهيم الرئيسة في زراعة الخلايا والانسجة والاعضاء النباتية. مطبعة جامعة الموصل - العراق.
4. محمد ، عبد المطلب سيد ومناهل فوزي بولص (1999). تأثير حامض البنثادايونيك (PDA) كمنظم نمو جديد على كالس نبات الخس: الجزء الثاني التغيرات في الوزن الطوي ومحتوي البروتين. علوم الراقدين المجلد 10 العدد 2 ص 13-25.
5. Al-Morsy, F.M. and Mansour,A.E.M. (1998). Resoonse of Red Roomy Visis Vinifera L. Venes to four growth retardants . Eypgt, J. Hort. 25(1): 101 - 112.
6. Dodds, J.H. and Roberts. W. (1985). "Experiments in Plant Tissue Culture" Cambridge University Press , U.K.
7. Lo, K.H., Giles, K.L. and Sawdney, V.K. (1997). Histological changes associated with acquisition of Competence for shoot regeneration in leaf discs of Saintpaula Ionantha x Confusa hybrid (African Violet) Cultured in Vitro. Plant Cell Reports 16: 421 - 425.
8. Lowry, D.H.; Rosebrough,N.J.; Farr, A.L> and Randall R.J. (1951). Protien measurement with folin phenol reagent. J. Biol., Chem. 193: 265 - 275.
9. Kemp. T.D. and Sutton, D.W. (1971). Protein Metabolism in Cultured Plant Tissue: Calculation of an absolute rate of protein synthesis accumulation and degradation in Tobacco callus in Vitro. Biochem. 10: 81 - 88.
10. Mohammad, A.M.S. and Abood, S.A. (1989). Propagation of lettuce Lactuca Sativa L.C.V. Longflora by Tissue Culture, ESCWA.ID, 89 conf. 1110.

11. ----- and Hassan, H.A. (1988). Effect of some standard and prospective growth regulators on Sunflower callus. I-Initiation and growth. J.Univ. Kuwait. (Sci). 15: 69 -77.
12. ----- Ayob, M.T. and Al-Saleh, H.S. (1997). Role of some synthetic Pentadienoic Acid related to Abscisic Acid as a new growth regulator on Sunflower Callus. Raf. J. Sci. 8: 8 - 17.
13. ----- Al-Barhawi, R.K. and Abood, S.A. (1986). Effect of some growth regulators on the initilion and growth of Sunflower Callus J. Univ., of Kuwait, Vol.13(2): 199 - 206.
14. Murashihe, T. and Skoog, F. (1962), Arevised medium for rapid growth and bio-assays with tobacco tissue culture. *Physiol. Plant.*15: 473 - 497.
15. Street, H.E. (1977). "Plant Tissue and Cell Culture" Blackwell Scientific Publications, Oxford, London, Edinburgh.
16. Tagawa, T. and Bonner J. (1957). Mechanical Properties of the Avena Coleoptile as related to Auxin and to Ionic interaction. *Plant Physiol.* 32: 207.
17. Weareing, P.E. and Philips, I.D.J. (1978). The Control of Growth and differentiation in Plants 2 nd Pergamon Press, Oxford.

تأثير المخلفات النباتية ودرجات الحرارة اليومية المؤثرة في مراحل نمو نبات الحنطة في محافظة النجف

ثامر خضير مرزة ، عبد عون هاشم علوان
قسم علوم الحياة / كلية القائد للتربية للبنات / جامعة الكوفة

ABSTRACT

Factorial experiment in Split Plot Design with two factors was conducted in Abbasyia region / Najaf from 25/10/1998 until 18/5/1999. to study the effect of plant residues. the first factor (i.e. with out residues : raw residues " Control" : burnt residues) in the main plots and sowing dates (i.e. 25/10 : 10/11 " Control: : 25 11/1998) the second factor. in the sub – plots which were used to calculate the effective day temperatures at the complete tillering. flowering and ripening periods on base 5C° to study their effects on plant height : total leaf number : total tiller number ; fruitful tiller number and shoot dry weight. Results showed that there were an increase in the values of the studied vegetative growth parameters with the use of burnt residues in one hand. and on the other hand, there were an increase with the effective day temperature. 11.7C° for complete tillering: 6.6C° for flowering 17.3C° for ripening.

الخلاصة

اجريت تجربة عاملية بعاملين في منطقة العباسية بمحافظة النجف للفترة من 1998/10/25 ولغاية 1999/5/18 لدراسة بعض مؤشرات النمو الخضري لصنف الحنطة "مكسيك" بتأثير كل من المخلفات النباتية (العامل الاول) ودرجات الحرارة المؤثرة عند اكتمال النفرات والتزهير والنضج (العامل الثاني) وتداخلتهما في ارتفاع النبات وعدد فروع الكليّة والمزهرة والوزن الجاف للمجموع الخضري. نفذت التجربة بتصميم القطع المنشقة Split Plot Design حيث شملت القطع الرئيسية Main Plots على المخلفات النباتية وهي (بدون مخلفات، مخلفات غير محروقة "مقارنة" ومخلفات محروقة) شملت القطع الثانوية Sub Plots على مواعيد البذار وهي (10/25 , 11/10 "مقارنة" و 1998/11/25) والتي حسبت منها معدلات درجات الحرارة المؤثرة لمؤشرات النمو الخضري اثناء اكتمال النمو والتزهير والنضج على اساس

(5م). اظهرت النتائج ان قيم مؤشرات النمو الخضري المدروسة قد ازدادت معنوياً مع المخلفات المحروقة من جانب، ومع درجة الحرارة المؤثرة 11.7 م° اثناء اكتمال التفرعات و 6.6 م° اثناء اكتمال التزهير و 17.3 م° اثناء اكتمال النضج من جانب اخر، اعلى قيم لارتفاع النبات وعدد اوراقه وفروعه الكلية والمزهرة ووزنه الجاف للمجموع الخضري قد نتجت من تداخل المخلفات المحروقة مع الدرجات الحرارية اعلاه لمرحل اكتمال التفرعات والتزهير والنضج ، وعلى التوالي .

المقدمة

تنتمي الحنطة Wheat الى العائلة النجيلية Poaceae وكانت تسمى Gramineace التابعة للفصيلة Hordeae والجنس Triticum. والنبات عشبي حولي (القمام وآخوون، 1989) يأتي العراق بالمرتبة الثالثة من بين اقطار الوطن العربي بعد المغرب والجزائر من حيث المساحة المزروعة، بالحنطة، الا أنه يأتي بالمرتبة السابعة من حيث الانتاج (المنظمة العربية للتنمية الزراعية، 1994)، ويتأخر العراق في معدل الغلة عن غلة العالم بنسبة 31.3-50.9% وعن اقطار الوطن العربي بنسبة 45.0-72.2% (المنظمة العربية للتنمية الزراعية، 1994، والمجموعة الأحصائية العراقية، 1996).

ولعل واحداً من أهم اسباب انخفاض الانتاجية هو عدم التقيد بالموعد الملائم لتتية نباتات الحنطة، حيث يعد ذلك من العوامل البيئية الواجب توفرها لكي ينمو النبات ويتكاثر النبات بشكل طبيعي. وتعد درجة الحرارة احدى اهم مكونات البيئة التي تؤدي دوراً كبيراً في تحديد النمو والانتاج (أحمد، 1987). فضلاً عن تداخلها مع عوامل الضوء وتوفر الماء والمغذيات في التأثير في نمو النبات بشكل عام.

ولأن عمليتي البناء الضوئي والتنفس تتأثران بصورة مباشرة بدرجة الحرارة، ولكن درجة الحرارة المناسبة لعملية البناء الضوئي تختلف عن تلك المناسبة لعملية التنفس (أحمد، 1987)، فالدرجة الحرارية المثلى لعملية البناء الضوئي لمعظم نباتات المنطقة المعتدلة هي (35-30 م°). وتقل هذه العملية بزيادة درجة الحرارة عن ذلك، ولكن سرعة التنفس تستمر بزيادة درجة الحرارة عن 40 م° ويكون الفرق بين عمليتي البناء الضوئي والتنفس في اقصى حدوده في درجة حرارة 20-25 م°. وفيها يكون نمو النبات سريعاً.

كما تلعب درجات الحرارة انواراً غير مباشرة وتؤثر في النمو عن طريق تأثيراتها في سرعة تحلل المخلفات النباتية. ففي تجربة اجراها Deneve وآخرون 1996 اوضحت تأثير درجة الحرارة ونوعية المخلفات النباتية، استنتج منها انه كلما كانت الحرارة مرتفعة والمخلفات النباتية في التربة (اوراق فقط) كانت عملية التحلل سريعة، وبالتالي زيادة نمو وانتاج النباتات النامية في تلك الظروف. ومن جانب اخر، اوضح Parr و Papedic 1978 ان عدم تحلل المخلفات النباتية يكون ذا تأثير سلبي في نمو نباتات الحنطة، حيث كانت متقدمة ارتفاعها (66 سم) ضعيفة السيقان ذات سلاميات قليلة مقارنة بنباتات الحنطة النامية في مخلفات نباتية متحللة التي تميزت بارتفاعاتها العالية (140 سم).

واضاف Chonan 1971 ان عدد اوراق نبات الحنطة يختلف حسب الصنف وكمية المخلفات النباتية ودرجة تحللها، حيث يزداد عدد الأوراق في تربة مخلفاتها متحللة ودرجة تحلل هذه المخلفات تعتمد على درجة الحرارة المؤثرة في نشاط ونمو الاحياء المجهرية. هذا ووجد Dewey و Albrechtsen 1985 ان عدد الفروع / نبات يقل بالزراعة الكثيفة وترك المخلفات كما هي في الحقل، علماً بان زيادة شدة الضوء والتحلل الكامل للمخلفات النباتية يزيد من عدد الفروع المثمرة فقط على النبات (Murata و Tagor 1972). كما لاحظ Crutchfield وآخرون 1985 ان تنمية نباتات الحنطة في تربة تحتوي على مخلفات نباتية بمستويات عالية ادت الى زيادة الوزن الجاف للمجموع الخضري وحاصل الحنطة اضافة الى اختزال نمو الادغال. وذكر انكريلاني 1987 ان اضافة المخلفات النباتية ومخلفات عضوية اخرى الى التربة التسي تنمو فيها نباتات الحنطة قد سببت زيادة معنوية في الوزن الجاف للمجموع الخضري وعدد التفرعات ومعدل الارتفاع للنبات ووزن 1000 حبة.

ولأجل تحديد أفضل درجة حرارة مؤثرة في مراحل نمو نبات الحنطة المختلفة مقرونة بحال المخلفات النباتية وتداخلتهما في مؤشرات النمو الخضري (ارتفاع النبات، عدد اوراقه، وعدد فروع الكلية المثمرة والوزن الجاف للنبات) في مراحل اكتمال التفرعات والتزهير والنضج فقد اجريت هذه التجربة.

المواد وطرائق العمل

اجريت تجربة حقلية لدراسة تأثير عاملين هما (المخلفات النباتية ودرجة الحرارة المؤثرة) في مؤشرات النمو الخضري لنبات الحنطة صنف (مكسيك) في تربة طينية - غرينية في ناحية العباسية / محافظة النجف للفترة من 1998/10/25 ولغاية 1999/5/18.

اختبرت مساحة قدرها (2000 م²) من الحقل وقسمت بالعمل اليدوي الى ثلاثة قطاعات (Blocks) أبعاد كل قطاع (9 x 64 م) والمسافة بين قطاع وآخر (1م)، بعد ذلك تم تقسيم كل قطاع الى ثلاثة الواح رئيسية بعابها (9 x 18 م) تفصل بينها مروز عرض كل منها (1م). ثم قسم كل لوح رئيسي الى ثلاث وحدات تجريبية ابعادها (10 x 9 م) تفصل بينها مروز بعرض (0.5م) فتحت قناة سقي على طول القطاعات (عرضها 1 م) وقد شقت منها ثلاثة قنوات فرعية بعرض (0.75م) لري القطاعات.

تضمنت المعاملات الداخلة في التجربة ثلاث حالات للمخلفات النباتية هي (قلعيا، تركب كما هي بدون حرق ((مقارنة)) وحرقيا) وثلاثة معدلات لدرجات الحرارة المؤثرة لثلاثة مراحل مهمة من نمو النبات وهي : كتمال التفرعات، اكتمال التزهير والنضج التام على اساس (5م) وذلك بالاعتماد على البذار في ثلاثة مواعيد هي 10/25، 11/10، 11/25 مقارنة و 1998 11/25 وزعت معاملات المخلفات النباتية في الأنواع الرئيسية ومعاملات درجات الحرارة في الأنواع الثانوية بتصميم القطع المنشقة متضمنا 27 وحدة تجريبية مؤلفة من توليفات العاملين اعلاه.

اضيفت كميات السماد النتروجيني "اليوريا" والسماد الفوسفاتي P_2O_5 كما موسى به من قبل (جنود، 1995).

اخذت بيانات درجات الحرارة العظمى والصغرى يوميا في موقع التجربة بواسطة المحرار ذو النهايتين من البذار ولحين الحصاد وللمواعيد الثلاثة ثم استخرج منها المعدل الحراري اليومي ناقصا درجة الحرارة المؤثرة اليومية.

اشتملت التجربة قياس ما يأتي لعشرة نباتات اخذت عشوائيا من كل وحدة تجريبية:

1. ارتفاع النبات (سم) وقد تم قياسه من مستوى سطح التربة الى قمة أطول ورقة. وفي حالة ظهور السنايل يكون القياس الى قمة السنبلة.
2. عدد الاوراق الكلية: وقد شملت عدد الاوراق على الساق الرئيس وعددها على الفروع.
3. عدد التفرعات: وقد شملت التفرعات جميعها.
4. عدد الفروع المثمرة: تم حساب الفروع التي تحمل سنايلا فقط.

5. الوزن الجاف للمجموع الخضري : وقد اخذت الأجزاء الخضريّة (الساق والاوراق والتفرعات) قبل تكون السنابل. وضعت في فرن متجدد الهواء وعلى درجة حرارة (75^oم) ولمدة 48 ساعة لحين ثبات الوزن. ثم وزنت بعدها العينات بميزان حساس. وبعد ظهور وتكون السنابل اضيف وزن السنبل الجاف الى وزن الأجزاء الخضريّة فأصبح الوزن الجاف للأجزاء فوق سطح التربة.

وقد استمرت عملية اخذ العينات اسبوعياً من البذار ولحين انتهاء التجربة في 5/7 و 5/13 و 5/18 وللمواعيد الثلاثة وعلى التوالي وبفترة اجمالية مقدارها 174، 184، 193 يوماً على التوالي.

تم تحليل النتائج احصائياً حسب التصميم المتبع Steel and Torrie, 1960. كما استعمل اختبار دنكن متعدد الحدود Duncans Multiple Range Test . مقارنة المتوسطات على احتمال 5%.

النتائج

ارتفاع النبات

توضح الجدول (3,2,1) زيادة ارتفاع النبات بوجود المخلفات النباتية المحروقة مقارنة بالمخلفات غير المحروقة وفي المراحل الثلاثة (اكتمال مراحل التفرعات والتزهير والنضج) . اما درجات الحرارة المؤثرة فقد اظهرت درجات الحرارة 11.7 و 6.6 و 17.3 م عند اكمال التفرعات والتزهير والنضج، وعلى التوالي اختلافات معنوية في ارتفاع النبات مقارنة بمعاملات درجات الحرارة الأخرى ولمراحل النمو الثلاثة.

أما التداخل ، فقد اظهرت المعاملة (المخلفات المحروقة) مع كل من 11.7 م عند اكمال التفرعات ومع 6.6 م عند اكمال التزهير ومع 17.3 م عند النضج اعلى المعدلات في ارتفاع النبات مقارنة بتداخل (مخلفات غير محروقة) ودرجة الحرارة 13.5 م و 7.5 م و 14.2 م والتي انتجت اقل المعدلات في ارتفاع النبات ولمراحل النمو الثلاثة. وعلى التوالي .

عدد الاوراق

تبين الجداول (3.2.1) ان هناك تأثيراً معنوياً للمخلفات النباتية المحروقة في صفة عدد الاوراق الكلية / نبات، وهذا الاختلاف يكون اكثر وضوحاً كلما تقدم النبات في العمر وللمراحل الثلاثة.

اما درجات الحرارة المؤثرة فلم يكن لها تأثير في مرحلة التفرعات في عدد الاوراق الكلية/ نبات (جدول 1)، ولكن الاختلافات في عدد الاوراق الكلية / نبات كانت معنوية في مرحلة التزهير (جدول 2) وكان تأثير درجتي الحرارة 17.3°م و 19.8°م متشابهاً في عدد الاوراق الكلية / نبات واللتين انتجتا 30.9 و 30.4 ورقة / نبات (جدول 3).

ان التداخل بين المخلفات النباتية ودرجة الحرارة في مرحلة اكتمال التفرعات لم يكن له تأثير معنوي في عدد الاوراق الكلية / نبات (جدول 1)، في حين كان تداخلهما عند اكتمال مرحلتي التزهير والنضج ذات تأثيرات معنوية فيه (جدولي 3.2) فأنتجت النباتات في المعاملة (مخلفات محروقة) ودرجتي الحرارة 17.3°م و 19.8°م اكبر عدد للاوراق في النباتات مقارنة ببقية المعاملات

عدد الفروع (الكلية والمثمرة)

وتبين الجداول (3.2.1) زيادة عدد الفروع الكلية معنوياً للنباتات النامية فرتبة محروقة المخلفات مقارنة مع عددها في المعاملات الاخرى ولمراحل النمو الثلاثة.

اما درجات الحرارة فقد اثرت معنوياً في عدد الفروع الكلية / نبات، فانتجت درجة الحرارة 11.7°م و 6.6°م و 17.3°م عند اكتمال مراحل التفرعات والتزهير والنضج، على التوالي أكبر عدد من الفروع الكلية / نبات مقارنة بمعاملات درجات الحرارة الاخرى وللمراحل الثلاثة.

ان التداخل بين عاملي الدراسة قد اوضح زيادة عدد الفروع الكلية / نبات مع تنمية النباتات في المخلفات النباتية المحروقة ومع معظم درجات الحرارة المؤثرة في المراحل المختلفة، خاصة مع 11.7°م في مرحلة التفرعات و 6.6°م في مرحلة التزهير و 17.3°م في مرحلة النضج.

واوضح الجدول (3) ايضا تفوق عدد الفروع المثمرة (انشاء مرحلة النضج فقط) في معاملي (المخلفات المحروقة وبدون مخلفات) مقارنة بمعاملة مخلفات غير محروقة، في حين انتجت درجة 17.3°م اكبر عدد للفروع المثمرة مقارنة ببقية المعاملات.

ان التداخل بين عاملي الدراسة قد اوضح ايضا ان النباتات النامية في ظروف التربة التي تحتوي على مخلفات غير محروقة وبجميع درجات الحرارة المستعملة قد انتجت اصغر عدد من الفروع المثمرة عند النضج. وهذا يؤكد تأثير السموم النباتية المتحررة من المخلفات النباتية اثناء تحللها مع الزمن في اختزال عدد الفروع المثمرة مما يؤثر في الانتاجية للنبات ولوحدة المساحة.

الوزن الجاف للمجموع الخضري

اشارت الجداول (3.2.1) الى عدم وجود فروق معنوية في الوزن الجاف للمجموع الخضري لنباتات الحنطة النامية في معاملات المخلفات النباتية عند اكتمال التفراعات، ويتبين ان هناك فروقا لمعاملات المخلفات النباتية عند مرحلتي اكتمال التزهير والنضج، فانتجت النباتات النامية في المخلفات المحروقة اكبر وزن جاف للنبات مقارنة مع المعاملات الاخرى. اما درجات الحرارة المؤثرة، فكانت هي الاخرى غير مؤثرة في الوزن الجاف للنبات في مرحلة اكتمال التفراعات. الا انها اصبحت مؤثرة في مرحلتي اكتمال التزهير والنضج، فانتجت معاملة 6.6^oم عند التزهير و 17.3^oم عند النضج اكبر وزن جاف للنبات ويختلف معنويًا عن بقية معاملات درجة الحرارة المستعملة.

ان التداخل بين عاملي الدراسة (المخلفات النباتية ودرجات الحرارة المؤثرة) فهو الاخر لم يكن له تأثير معنوي عند اكتمال التفراعات، ولكنه سرعان ما اصبحت تأثيرات معنوية مع تقدم النبات في النمو، حيث انتجت النباتات النامية في ظروف التربة المحتوية على مخلفات نباتية محروقة ومع درجة حرارة 6.6^oم عند اكتمال التزهير و 17.3^oم عند النضج اكبر وزن جاف للنبات وللمرحلتين السابقتين وعلى التوالي.

تأثير المخلفات النباتية ودرجات الحرارة اليومية المؤثرة في مراحل نمو نبات الحنطة في محافظة النجف
 ثامر خضير مرزوق و عبد عون هاشم علوان

جدول 1 : تأثير المخلفات النباتية ودرجات الحرارة المؤثرة (م⁰) من الذار ولحين اكمال
 التفريعات في مؤشرات النمو الخضري لنبات الحنطة

المؤشرات المدروسة	ارتفاع النبات (سم)	عدد الاوراق (سم)	عدد الفروع الكلية / نبات	الوزن الجاف للمجموع الخضري (غم/ نبات)	عوامل الدراسة والتداخل
المخلفات النباتية					
بدون مخلفات	27.4 ab	10.5a	5.3ab	2.3a	
مخلفات غير محروقة	26.4b	10.3a	4.9b	2.1a	
مخلفات محروقة	29.2a	10.4a	5.6a	2.6a	
درجات الحرارة المؤثرة					
13.5 (د ⁰)	25.2c	10.5a	4.7b	2.0a	
11.7	31.7a	9.9a	6.2a	2.8a	
10.3	27.1b	11.1a	5.0b	2.3a	
التداخل					
بدون	26.6c	10.8a	4.7cd	2.2a	
مخلفات	31.5ab	9.8a	6.2ab	2.7a	
	27.0c	11.1a	5.2bcd	2.3a	
	22.1c	10.2a	4.4d	1.8a	
غير محروقة	31.4ab	9.7a	5.8abc	2.7a	
	25.8c	10.8a	4.5d	1.8a	
مخلفات محروقة	27.0c	10.7a	4.9cd	2.1a	
	32.2a	10.2a	6.6a	3.1a	
	28.4bc	11.3a	5.4bcd	2.6a	

جدول 2 : تأثير المخلفات النباتية ودرجات الحرارة المؤثرة (م⁰) من اكتمال التفرعات ولحين اكتمال التزهير في مؤشرات النمو الخضري لنبات الحنطة*

المؤشرات المدروسة	ارتفاع النبات (سم)	عدد الاوراق (سم)	عدد الفروع الكلية / نبات	الوزن الجاف للمجموع الخضري (غم/ نبات)	عوامل الدراسة والتداخل
المخلفات نباتية					
بدون مخلفات	82.7a	28.5b	6.6b	15.0b	
مخلفات غير محروقة	77.4b	25.0c	6.4b	14.1c	
مخلفات محروقة	82.4a	29.2a	6.9a	16.2a	
درجات الحرارة المؤثرة					
7.5	70.4c	25.0c	6.2c	12.5b	
6.6	91.1a	30.0a	7.1a	18.8a	
7.4	81.0b	28.3b	6.7b	14.7b	
التداخل					
بدون مخلفات	7.5	75.9d	6.1c	13.0cd	
	6.6	91.3a	7.1ab	18.4a	
	7.4	81.0bc	6.6bc	14.7b	
مخلفات غير محروقة	7.5	58.8e	6.2c	10.7e	
	6.6	89.8ab	6.7bc	18.7a	
	7.4	84.0bc	6.4c	11.1d	
مخلفات محروقة	7.5	76.9abc	6.3c	13.9c	
	6.6	92.1a	7.6a	19.4a	
	7.4	78.1cd	6.9bc	15.2b	

* المعادلات التي تشترك بالحرف الأبجدي نفسه لا تختلف عن بعضها معنويًا حسب اختيار دنكن متعدد الحدود وعلى مستوى احتمال 5%.

تأثير المخلفات النباتية ودرجات الحرارة اليومية المؤثرة في مراحل نمو نبات الحنطة في محافظة النجف
 ثامر خضير مرزة و عبد عون هاشم علوان

جدول 3 : تأثير المخلفات النباتية ودرجات الحرارة المؤثرة (م⁰) من اكتمال التزهير ولحين

اكتمال النضج في مؤشرات النمو الخضري لنبات الحنطة

المؤشرات المدروسة	ارتفاع النبات (سم)	عدد الاوراق الكلية (سم)	عدد الفروع الكلية / نبات	عدد الفروع المزهرة / نبات	الوزن الجاف للمجموع الخضري (غم/ نبات)	عوامل الدراسة والتداخل
المخلفات النباتية						
بدون مخلفات	94.3a	30.7b	7.3b	4.9a	17.8a	
مخلفات غير محروقة	86.6b	28.7c	7.2b	4.7b	15.5b	
مخلفات محروقة	96.8a	31.5a	7.7a	5.0a	18.3a	
درجات الحرارة المؤثرة						
14.2	87.7c	29.5b	7.1b	4.8b	13.5c	
17.3	96.6a	30.9a	7.8a	5.0a	20.2a	
19.8	93.4b	30.4a	7.3b	4.9b	17.9b	
التداخل						
بدون مخلفات	14.2	93.0abc	7.0c	4.8b	15.2d	
	17.3	96.8ab	7.9ab	5.1a	20.0a	
	19.8	93.2abc	7.1c	4.8b	18.3b	
مخلفات غير محروقة	14.2	74.2d	7.1c	4.7b	9.8e	
	17.3	94.3abc	7.3bc	4.7b	19.8a	
	19.8	91.3c	29.6d	7.1c	17.0c	
مخلفات محروقة	13.5	95.0abc	7.2bc	4.7b	15.7d	
	17.3	98.7a	8.2a	5.2a	20.8a	
	19.3	95.7abc	31.2b	7.8a	18.4b	

المعدلات التي تشترك بالحرف الابددي نفسه لا يختلف عن بعضها معنوياً حسب اختبار دنكن متعدد الحدود وعلى مستوى احتمال 5%.

المناقشة

اظهرت البيانات الواردة في الجداول 3.2.1 ان هناك تأثيرات واضحة للمخلفات النباتية في مؤشرات النمو الخضري والمتمثلة في ارتفاع النبات وعدد اوراقه وفروعه الكلية والمثمرة والوزن الجاف للمجموع ولمراحل النمو المختلفة، وان هذا التأثير معنوياً في النباتات النامية في

المخلفات المحروقة لأن عملية حرق المخلفات تؤدي الى التخلص من معظم السموم النباتية التي تحتويها تلك المخلفات من جية، Al-Mazori, 1996، ومن جية اخرى فان نواتج حرق المخلفات النباتية تؤدي الى تحسين الصفات الفيزيائية للتربة بسبب ما تصيفه تلك المخلفات من مادة عضوية تحسن تركيب التربة (الكربلاني، 1987)، وانفقت مع دراسة قام بها العيساوي، 1998 الذي وجد ان نسبة المادة العضوية في الوحدات التجريبية ذات المخلفات النباتية المحروقة كانت 1.4% مقارنة بـ 0.83% في الوحدات التجريبية ذات المخلفات النباتية غير المحروقة بسبب تأخر عملية تحلل المخلفات النباتية مما أدى الى زيادة نسبة الكربون / النتروجين، حيث ان النتروجين قد استهلك من قبل البكتريا العاملة على تحلل المخلفات النباتية (1972, Alexander).

وقد تعود هذه التأثيرات في مؤشرات النمو الخضري الى ما ذكره العاني، 1984 من ان حرق أي من المخلفات النباتية يحولها الى ما يعرف بالبقايا المعدنية (الرماد)، وتكون نسبة البقايا المعدنية في النباتات العشبية ومنها النجيلية (10-15%) من وزن النبات الجاف. وان الجزء الاكبر من هذه البقايا يتكون من البوتاسيوم والكالسيوم والصوديوم والسليكون والكبريت والحديد والالمنيوم والمنغنيز والكلور، وقسم منها ضروري لنمو النبات وقيامه بالعمليات الحيوية على الوجه الاكمل حيث ان نقصها يؤدي الى عدم انتظام نمو النبات. ومن جية اخرى فقد تمكن Chou و اخرون، 1981 من تشخيص بعض السموم النباتية في مخلفات الرز وهي عبارة عن احماض فينولية تتسرب الى التربة عند بداية تحلل المخلفات وتؤثر سلباً في صفات النمو الخضري . علماً بأن تأثير هذه السموم يبقى في التربة لمدة تتجاوز 4 اسابيع (Rice و اخرون، 1981).

وقد يرجع انخفاض مؤشرات النمو الخضري الى السموم المتحررة من مخلفات السرز والتي اختزلت وبشكل كبير الكلورفيل الكلي نتيجة تأثيرها في تثبيط عمل الأنزيمات المصاحبة لبنائه (1980, Einhellng, Colton) وقد يعطي هذا الاختزال مؤشراً ميماً للانخفاض في النمو والانتاج.

اما التأثير المباشر لدرجات الحرارة المؤثرة في النمو فيعرف من خلال تأثير درجات الحرارة في حيوية البذور ونباتها والنمو الخضري المتمثل في ارتفاع النبات وعدد اوراقه وفروعه الكلية والمثمرة ووزنه الجاف وتحويرها عن طريق رفع درجة الحرارة او خفضها وتأثيرها في النمو الزهري والذي ينعكس بالتالي على انتاج الحبوب. ولكل مرحلة من

مراحل النمو درجة حرارة مثلى تختلف عن الدرجة المثلى للمراحل الاخرى (احمد، 1987). وكما ان لكل مرحلة درجة حرارة مناسبة فان لكل عملية فسلجية (اتناء كل مرحلة) درجة حرارة ملائمة والتي تتأثر بدرجة حرارة الليل والنهار. ولما كانت اغلب العمليات الحيوية تزداد سرعتها بزيادة درجة الحرارة حتى حدود معينة، ثم تهبط عند زيادتها عن هذه الحدود (احمد، 1987) ولما كان النمو هو محصلة العمليات الحيوية كافة، ومنها عمليتي البناء الضوئي والتففس، فان الفرق بين العمليتين يتأثر بشدة بدرجة الحرارة المؤثرة، والذي ينعكس في مؤشرات النمو المدروسة. وقد اظهرت نتائج هذه التجربة ان درجة الحرارة المؤثرة المناسبة في اعلى ارتفاع للنبات هي 11.6 م⁰ في مرحلة التفراعات وان 6.6 م⁰ هي المناسبة لأكمال مرحلة التزهير و 17.3 م⁰ هي المناسبة لأتمام عملية نضج الحبوب.

وفيما يتعلق بعدد الاوراق الكلية التي يحملها النبات فكانت كما يفتها فانتجت 11.7 م⁰ في مرحلة التفراعات 9.9 ورقة / نبات و 6.6 م⁰ عدد اوراق مقداره 30.0 ورقة / نبات عند التزهير، اصبح عدد الاوراق 30.9 ورقة وبدرجة حرارة مقدارها 17.3 م⁰ عند النضج. وقد كانت الدرجات الحرارية 11.7 م⁰ هي المناسبة لأنتاج اكبر عدد من الفروع في مرحلة التفراعات، و 6.6 م⁰ انتجت اكبر عدد من الفروع الكلية (7.1 فرعاً / نبات) في مرحلة التزهير. وكانت درجة حرارة 17.3 م⁰ هي المناسبة لأنتاج اكبر عدد من الفروع الكلية المثمرة في مرحلة النضج.

وانتجت الدرجات الحرارية ذاتها (11.7 م⁰) وزناً جافاً للنبات مقداره 2.8 غم عند مرحلة التفراعات و 6.6 م⁰ وزناً مقداره 18.0 غم / نبات في مرحلة التزهير، اصبح الوزن الجاف للنبات (20.2 غم) مع درجة حرارة 17.3 م⁰ في مرحلة النضج.

ويبدو ان الحدود الحرارية المبيئة في النتائج هي المناسبة ولكل مرحلة من مراحل النمو. وهذا يعني ان في تلك الدرجات الحرارية ولكل مرحلة من مراحل النمو كان الفرق بين عمليتي البناء الضوئي والتففس اقصى ما يمكن مما ادى الى ان يكون النمو سريعاً ضمن تلك المديات من درجات الحرارة.

ومن ناحية اخرى فقد كان لدرجات الحرارة المؤثرة تأثيرات غير مباشرة من خلال تسريع عملية تحلل المخلفات النباتية بتأثير درجة الحرارة والتي تزيد من مؤشرات النمو الخضري Deneve وآخرون، 1996.

يستنتج من هذه التجربة ان درجة الحرارة المؤثرة في نمو نبات الحنطة تختلف حسب مرحلة نموه، فكانت 11.7 م° عند اكتمال مرحلة النفرعات 6.6 م° عند اكتمال مرحلة التزهير و 17.3 م° عند مرحلة النضج، هذا من جانب، ومن جانب اخر فقد ازداد تأثير الدرجات الحرارية المناسبة مع استخدام المخلفات النباتية المحروقة، فانتج تداخلهما اعلى القيم لمؤشرات النمو الخضري المدروسة ولمراحل النمو المختلفة.

المصادر

1. احمد، رياض عبد اللطيف، فسحة الحاصلات الزراعية ونموها تحت الظروف الجافة (الشدد الرطوبي)، الفصل السادس: الحنطة 313-368، (1987).
2. جدوع، خضير عباس، "الحنطة" حقائق وارشادات، جمهورية العراق، اوزارة الزراعة والري. الهيئة العامة للتعاون والتدريب والارشاد. قسم الصحافسة والحقول الايضاحية، (1995).
3. العاني، عبد الفتاح، اساسيات علم التربة، ص : 65 وزارة التعليم العالي والبحث العلمي، مؤسسة المعاهد الفنية، دار التقني للطباعة والنشر، (1984).
4. العيساوي، علي ياسر حافظ، تأثير المخلفات النباتية وطرائق الحراثة في نمو ونتاجية الرز والحنطة المتعاقبين في محافظة النجف. رسالة ماجستير. كلية القائد للتربية للنبات. جامعة الكوفة، (1998).
5. القسام عبد الرضا جولد وجبار عكلو جرجاك علي حسين جاسم، الانتاج النباتي، وزارة التعليم العالي والبحث العلمي، هيئة المعاهد الفنية، (1989).
6. انكريلاني، فاضل صافي، دراسة بعض الخواص الكيماوية لعدد من الأسمدة العضوية وعلاقتها بانتاج النبات، رسالة ماجستير، كلية الزراعة - جامعة بغداد، (1987).
7. المجموعة الاحصائية السنوية، جمهورية العراق مجلس الوزراء، هيئة التخطيط، الجهاز المركزي للإحصاء، (1996).
8. المنظمة العربية للتنمية الزراعية، المخطط الرئيس لتنمية قطاع الحبوب في الوطن العربي. الباب الاول: تنمية محاصيل الحبوب في الوطن العربي: 13-33، (1994).
9. Alexander. M. Microbial Ecology. John Wiley and Sons. Inc. New York. PP. 511, (1972).

10. Al-Mesori, H.A. M. Studies on the allelopathic Potential of Zea mays L. Ph.D. thesis, Ibn Al-Hyaitham Education College Baghdad University, Iraq. (1996).
11. Chonan, N. Effect of temperature on the mesophyll structure of leaves wheat and rice. Proc. Sci. Japan, 35: 177-186, (1971).
12. Chou, C.H., Chiang, Y.C. and Cheng, H.H. Auto intoxication mechanisms of *Oryza sativa* III: Effect of temperature on phytotoxin production during rice straw decomposition in soil. J. Chem. Ecol., 7: 741-752, (1981).
13. Colton, C.E. and Einhellig, F.A. Allelopathic mechanisms of velvet (*Abutilon theophrastii* Medic.) on Soya bean. Amer. J. Bot., 67: 1407-1413, (1980).
14. Crutchfield, D. A. Wicks, G.A. and Burnside, O.C. Effect of winter wheat straw mulch on weed control. Weed Sci., 34, 110-114, (1985).
15. Deneve, S.; Pannier, J. and Hofman, G. Temperature on C and mineralization from vegetable crop residues. Plant and soil, 181: 25-30, (1996).
16. Dewey, W.G. and Albrechtsen, R.S. Tillering relationships between spaced and density sown population of spring and winter wheat. Crop Sci., 25: 245-249, (1985).
17. Murata, Y. and Togar, Y. Analysis of the effect of climatic factors upon the production of rice at different locations in Japan. Proc. Crop. Sci. Japan, 41: 372-387, (1972).
18. Parr, J.F. and Papendick, R.I. Factor effecting the decomposition of crop residues by microorganisms. In crop residues and management ASA, No. 31, (1978).
19. Rice, E.L.; Line, C.Y. and Huang, C.Y. Effects of decomposing rice straw on growth and nitrogen fixation by Rhizobium. J. Chem. Ecol., 7: 333-343, (1980).
20. Steel, R.G.D. and Torrie, J.H. Principles and procedures of statistics. Mc. Graw-Hill Co., Inc. (1960).

تركيز الهيدروكربونات النفطية في انواع نباتية مختلفة قرب شط العرب

نايف محسن عزيز

قسم علوم الحياة - كلية العلوم - جامعة البصرة

البصرة - العراق

الخلاصة

حدد تركيز الهيدروكربونات النفطية في اوراق اربعة انواع نباتية من منطقة شط العرب. بلغت معدلات تركيز الهيدروكربونات النفطية في نخيل التمر صنف السايبر واشجار السدر صنف البمباوي ونباتي البمير والدفلة (مقدر بالمايكغمد / غم وزنا جافا) : 6.03 و 4.14 و 4.00 و 2.1 على التوالي. ظهرت اعلى القيم من الهيدروكربونات النفطية عند الاحزاء القريبة من شط العرب بالأجزاء الأبعد منه. ان من اهم مصادر التوث في منطقة الدراسة كانت وجود مصفى المفتية فضلاً عن الفعاليات البشرية وحركة القوارب.

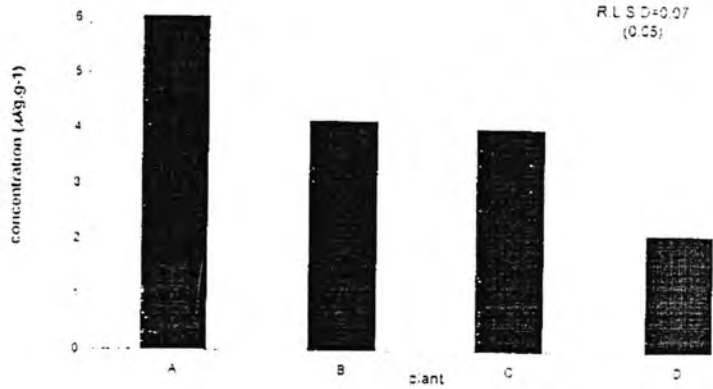


Fig.2 variation in the accumulated hydrocarbons in leaves of different species of plant.

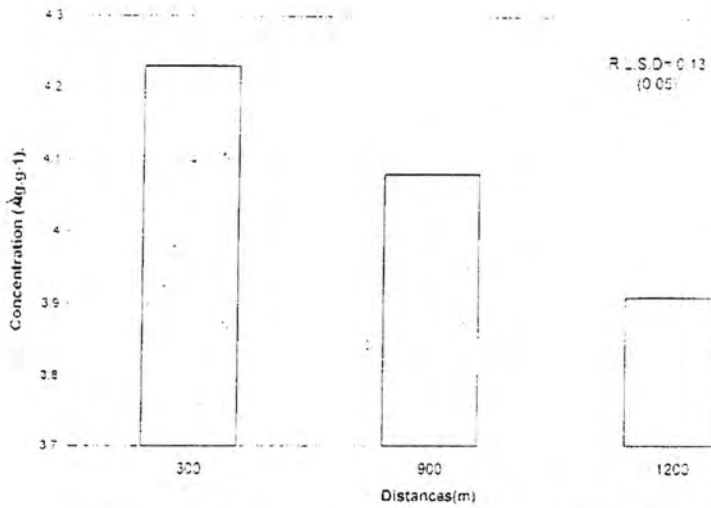


Fig.3 Concentration of hydrocarbons in different distances in the leaves of four species of plants .

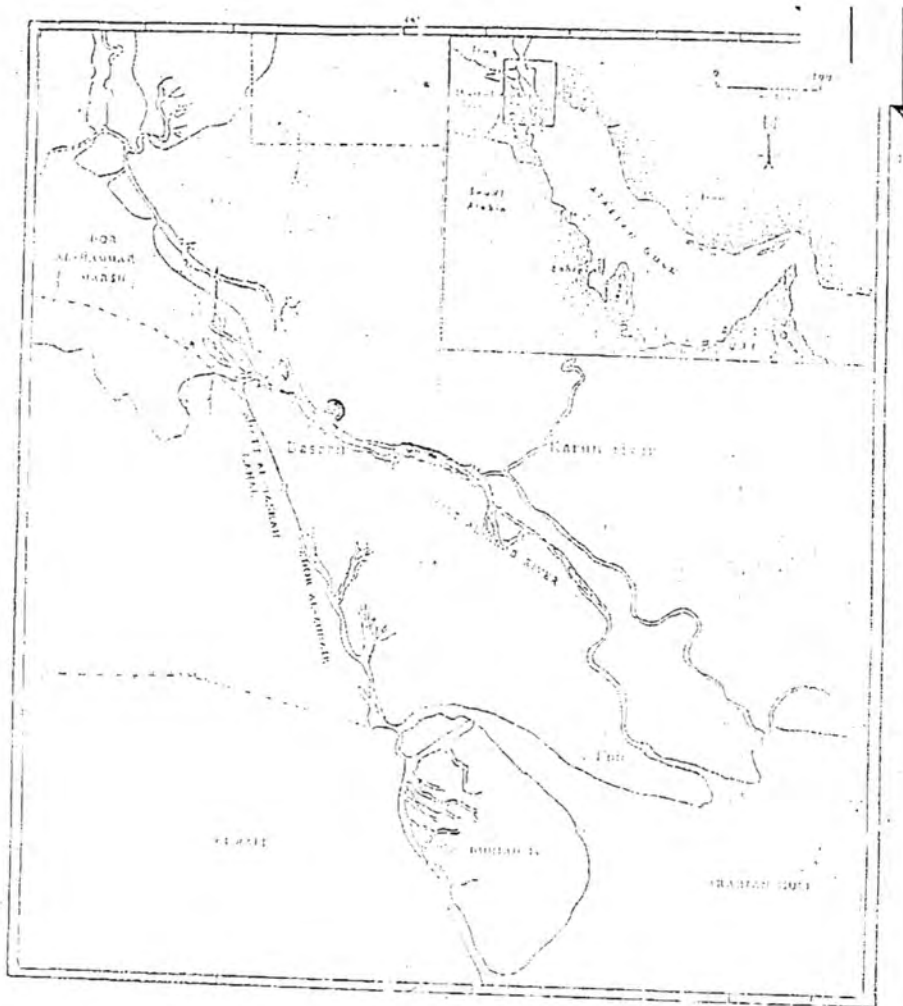


FIG.1 Samples Location

المصادر

1. Sadd, H.T. Distribution and source of hydrocarbons in Shatt Al-Arab estuary and N.W. Arabian Gulf. Ph.D. Thesis, Basrah University, 18 pb. (1995).
2. Al-Saad, H.T. and Al-Timari, A. AK. Distribution of polycyclic aromatic hydrocarbons (PAHs) in marsh sediment. Iraq. Bull. Environ. Contam. Toxicol., 43: 864-869. (1989).
3. A.O.A.C. Official methods of analysis. 14th. Ed. Association of Official Analytical Chemists, Inc. S. William, Ed. U.S.A. 1141 p. (1984).
4. Aziz, N.M. *Cordia myxa* and *Solanum tuberosum* as indicators on hydrocarbons contamination along Shatt Al-Arab River. Basrah J. Basrah. Res (accepted for publication). (2001).
5. Goutx, M. and Saliot, A. Relationship between dissolved and particulate fattyacids and hydrocarbons, chlorophyll (A) and zoo plankton biomass in Ville Franche bay. Mediterranean Sea. Mar. Chem., 8:299-318. (1980).
6. Herrmann, R. and Baumgartner, I. Regional variation of selected polyaromatic and chlorinated hydrocarbons by their content in *Pinus radiata* needles. Environ, pollut., 46:63-72. (1987).
7. Ibrahim, A.O. Hydrocarbons pollution in date palm (*Phoenix dactylifera* L.) cv. Hillawi along Shatt Al-Arab River in Basrah. Mar. Meso. 13(1): 107-114. (1998).
8. Ibrahim, A.O. and Aziz, N.M. Variation in Aromatic hydrocarbons as indicated by their content in leaves of *Phoenix dactylifera* cv. Sayer. Soil and water from Abu-Alkhasib Region. Southern Basrah. Mar. Meso. (Accepted for publication).(2001).
9. Thomas, W. ; Ruhiling, A. and Simon. H. Accumulation of air borns pollutant (PAH, Chlorinated hydrocarbons and heavy metals) in various plant species and humus. Environ. Pollut. 36: 295-3160. (1984).
10. UNEP (United Nation Environment Program). Determination of petroleum hydrocarbons in sediments. Reference Method for Marine pollution studies. 20 pp 75 (1992).
11. Young Blood, W. and Blumer. M. Polycyclic aromatic hydrocarbons in the environment: Homologous series in soils and recent sediments. Geochimica and Cosmochimica Acta, 39: 1303-1304 (1975).

12. Zhou, S.; Ackman, R.G. and Parson, J. Verylong chain aliphatic hydrocarbons in Lipids of mussels suspended in the water column near petroleum operation of Sable Island, Nova Scotia, Canada. Mar. Biol. 126: 494-507. (1996).

تشخيص انواع الفطر فيوزاريوم المصاحبة لموت شتلات الباذنجان المزروعة حديثا في البيوت الزجاجية وحساسيتها للمبيد بينوميل

احسان شفيق دميرداغ الوندأوي و رغد ضياء عبد الجليل الشيباني
قسم علوم الحياة، كلية العلوم، الجامعة المستنصرية

ABSTRACT

It was found that damping-off and root rot diseases is a main problem on eggplant (*Solanum melongena*) which transplanted recently in greenhouses. Species of fungi were isolated and identified from the infected plants with variable percentage of frequency. *Fusarium* spp. was isolated from 59% of the diseased plants. Six different species were identified: *F. oxysporum*, *F. solani*, *F. equiseti*, *F. acuminatum*, *F. culmorum*. It is the first time that the last species isolated and identified in Iraq. Pathogenicity tests showed that all isolates of *F. oxysporum* and *F. solani* were pathogenic to 4 days old eggplant seedlings and to 25 days old ones. Sensitivity of the fungus isolates to benomyl varied as the concentration of benomyl varied in PDA. It was clear that *F. equiseti*, *F. moniliforme* and two unidentified species of *Fusarium* were sensitive to 0.1g/l. *F. acuminatum* and *F. culmorum* and 5 isolates of *F. oxysporum* were resistant to 1g/l. Meanwhile seven isolates of *F. solani* and seven isolates of *F. oxysporum* were sensitive to 1g/l.

الخلاصة

تميزت شتلات الباذنجان *Solanum melongena* L. المريضة بظهور بقع مسمرة في حناور وفي السيقان ثم الذبول وسقوط وموت الشتلة. عزلت انواع الفطر *Fusarium* من 59% من لاشتلات المريض وتم تشخيص ستة انواع منها وهي: *F. moniliforme*, *F. equiseti*, *F. oxysporum*, *F. solani*, *F. acuminatum* و *F. culmorum* لاول مرة في العراق. وفي اختبارات القدرة الامراضية وجد ان جميع عزلات انواع *F. solani* و

F. oxysporum ذات قدرة امراضية عالية لبادرات عمر اربعة ايام و 25 يوما. وتباينت حساسية عزلات الفطر للمبيد بينوميل حسب تركيز المبيد في الوسط الغذائي PDA، فقد كانت لانواع الفطر F. equiseti و F. moniliforme وعزلتين غير مشخصتين من الفطر فيوزاريوم حساسة للمبيد بالتركيز 0.1 غم/لتر. وكانت لانواع الفطر F. acuminatum و F. culmorum وخمسة انواع من النوع F. oxysporum مقاومة للمبيد بالتركيز 1غم/لتر ولكن المبيد كان فعالا عند استخدامه بنفس التركيز نشيط كل عزلات النوع F. solani وسبعة عزلات من النوع F.oxysporum.

المقدمة

تعد الفطريات Fusarium spp. من الفطريات الميعة التي تسبب تعفن البذور Seed decay وسقوط البادرات Damping off وتعفن الجذور Root rot في العديد من النباتات (النيدالي واخرون 1992، حير واخرون 1998).

ان الوسيلة الاكثر شيوعا في مقاومة مسببات امراض النبات هي استخدام المبيدات الكيماوية قبل الزراعة لحماية البادرات المنقولة حديثا وان نجاحها يعتمد بشكل رئيسي على تشخيص هذه المسببات المرضية واختيار المبيد المناسب وطريقة المعاملة، الا ان الاستخدام المكثف وطريقة المعاملة غير الصحيحة للمبيدات الكيماوية يسلط ضغطا على المسبب المرضي مما ينتج عنه ظهور سلالات مقاومة لفعل المبيدات الكيماوية. وذكر Gangawan (1997) قائمة بمسببات امراض النبات لفطرية التي تقاوم فعل العديد من المبيدات الكيماوية حيث ذكر وجود 72 مسبب مرضي فطري تستطيع ان تقاوم 62 مبيد كيميائي في انحاء مختلفة من العالم. وهناك ابحاث كثيرة عن صفة بادرات النباتات بما يسمى موت البادرات، وهذه الابحاث تعالج اصابة البذور المزروعة او شتلات الشتلات في المشر ولكننا نجد بحثا يعالج مرض موت لاشتلات المنقولة حديثا الى اراض دائمية بما في ذلك البيوت الزجاجية. ومن ملاحظاتنا الحقلية في البيوت الزجاجية ضافة المبيد بنانيت لوحده الى التربة حول الشتلة قبل او اثناء او بعد زرعها، وقد وجدنا اصابة شتلات المنقولة حديثا الى البيوت الزجاجية بمرض الذبول مما يستوجب اعادة الزرع (الترقع) بنسب 10% من لاشتلات المزروعة. وقد اوضحت التجارب الاولية وجود فطريات الفيوزاريوم وغيرها في جذور وسيقان الشتلات المريضة، وعليه فقد

استهدف البحث الحالي عزل وتشخيص انواع الفطر فيوزاريوم المرافقة للشتلات المريضة واختبار قدرتها الامراضية واختبار حساسيتها للمبيد بينوميل.

المواد وطرائق العمل

حصلت حالات ذبول وموت لاشتلات بعد حوالي اسبوعين من نقلها الى الارض الدائمة والتي بدأت من 1999/9/15-9/1. اخذت الجذور وحوالي 3 سم من الجزء السفلي لنباتات المصابة وغسلت بالماء الجاري وقطعت الى قطع بطول اسم وعقمت سطحيا بغمرها لمدة ثلاث دقائق في محلول هايپوكلورات الصوديوم بتركيز (1%)، وغسلت بماء مقطر معقم، وجففت بورق نشاف معقم، زرعت 4 قطع (من الجذر وقاعدة الساق) من كل نموذج في اطباق بتري حاوية على وسط اكار البطاطا والنكستروز (PDA) Potato Dextros Agar وحضنت الاطباق عند درجة حرارة 24±2م وبعد 5-7 ايام تقويت الفطريات المحنفة. اذ تم تقوية الفطر Fusarium spp. بطريقة البوغ المنفرد Single spore isolation، زرعت انواع الفطر Fusarium spp. على الوسط اكار بطاطا السكروز (PSA) Potato Sucros Agar وتم حضنها بدرجة 25 واخذ معدل قطرين متعامدين بعد 4 ايام من النمو (1977 Booth).

اختبارات القدرة الامراضية

أ- تأثير الفطريات المعزولة من البادرات المريضة على انبات بذور الباذنجان في الاطباق الزجاجية

استخدم في هذا الاختبار بذور الباذنجان محلية عشت بالماء المقطر المعقم جيدا وعقمت سطحيا بواسطة محلول هايپوكلورات الصوديوم بتركيز (1%) وزرعت في وسط الاكار النشائي، اذ زرعت 20 بذرة بشكل حلقة ولقح مركز الطبق قرصين من الاكار قطره 0.5 سم مأخوذة بواسطة شاقب فليبي من مستعمرة كل من الفطريات المعزولة F.oxysporum و F.solani بواسطة شاقب فليبي من مستعمرة كل من الفطريات المعزولة F.culmorum و F.moniliiforme و Pythium spp و F.equiseti و F.acuminatum و R.solani و P.ultimum حضنت الاطباق عند درجة حرارة 25م واستخدمت ثلاث مكررات

تشخيص انواع الفطر فيوزاريوم المصاحبة نموت شتلات الباذنجان المزروعة حديثا في البيوت الزجاجية وحساسيتها للمبيد بينوميل
حسن تغني دميرداغ الوندانوي و رغد ضياء عبد الجليل الشيباني

لكل معاملة وتم حساب النسبة المئوية للأصية على مدى اسبوعين بحساب عدد البادرات الميتة وعدد البادرات السليمة.

ب- اختبار تأثير انواع الفطر *Fusarium spp.* على بادرات باذنجان عمر 4 ايام وشتلات عمر 25 يوما في التربة

تحضير اللقاح الفطري

حضر عالق الابواغ الفطرية بإضافة 6سم³ من الماء المقطر المعقم الى مزرعة الفطريات النامية كلا على انفراد في نوط PDA وبعمق 5 ايام ومجانسته بواسطة فرشاة ناعمة وامرار العالق خلال طبقتين من قماش وقد تم الحصول على تركيز موحد من الابواغ قدر $10^6 \times 1$ بوغ/سم³

طريقة اختبار القدرة الامراضية

حضرت اصص بلاستيكية قطر 15سم حاوية على تربة مزيجية وبشموس (1:2) معقمة بجليار التعقيم البخاري بدرجة 121 د وبضغط 15 باوند/انج³ لمدة 60 دقيقة وزرعت في قسم منها بذور باذنجان محلية (صنف حنظل) بواقع 10 بذور لكل اصيص واجريت العدوى بعد 4 ايام من الانبات.

نقلت بادرات باذنجان سنية عمر 25 يوما الى اصص اخرى بواقع 10 بادرات لكل اصيص واجريت العدوى باضافة 5سم³ من عالق الابواغ المحضر من مزارع العزلات المختلفة الى الاصص السابقة، بينما تركت 5 اصص بدون تلقيح كمقارنة، وضعت الاصص تحت ظروف البيت الزجاجي وبدرجة حرارة 25-22 د وحسبت اعداد البادرات المريضة والسليمة بعد 10 ايام من التلقيح وخذت النسبة المئوية للأصية. خذت النماذج الى المختبر وفحصت بشكل مباشر تحت المجهر الضوئي، وقد استخدمت 3 اصص لكل عزلة وحالت النتائج احصائيا حسب طريقة .L.S.D.

تأثير تراكيز مختلفة من المبيد بينوميل في معدل نمو انواع الفطر *Fusarium spp.* في الوسط الصلب PDA

اتبعت طريقة Frisina وجماعته عام 1988، اذ حضرت 6 دوارق زجاجية حاوية على الوسط الغذائي PDA (200 غرام بطاطا مسلوقة، 20 غرام اكار، 20 غرام دكستروز مذاب في لتر ماء)، وعقم الوسط بواسطة جهاز التعقيم البخاري لمدة 25 دقيقة وبضغط 15 باوند، انج³ ودرجة 121 م، وبعد تبريد الوسط الى 42 م تم اضافة بينوميل 150% Benomyl وبالتراكيز 0.1، 0.2، 0.5، 0.8 و 1 غم/لتر. مع ترك دورق واحد بدون اضافة المبيد كمقارنة وبعد صب الوسط الغذائي في الاطباق الزجاجية تم حضنها بدرجة حرارة 25 م لمدة 24 ساعة للتأكد من عدم وجود تلوث، ثم لقيح كل وسط زرعى بقرص من الاكار قطره 0.4 سم حاوي على مستعمرة الفطر المأخوذ من مزارع نقيه عمرها 3 ايام وحضنت الاطباق بدرجة 25 م استخدمت 3 مكررات لكل معاملة، وقد تم اختبار حساسية 40 عزلة من عزلات الفطر فيوزاريوم *F.culmorum*، *F.equiseti*، *F.solani*، *F.oxysporum*، *F.moniliforme* بادرات البادنجان المصابة وكما يلي:

اخذت القراءات بقياس معدل قطرين متعامدين كل يومين ولحين امتلاء الطبق الزجاجي باكملة بعزلة السيطرة وحللت النتائج احصائيا حسب طريقة L.S.D. وحدث العزلة حساسة عندما تظهر فروق معنوية تحت مستوى $P < 0.05$ بين قطر مستعمرة السيطرة وبين قر مستعمرة الفطر النامي في وسط حاوي على المبيد بتركيز معين وبالعكس حدث العزلة مقاومة عندما لا تظهر فروق معنوية تحت مستوى $p < 0.05$ بين قطر مستعمرة السيطرة وبين قطر مستعمرة الفطر النامي في وسط حاوي على المبيد.

النتائج

العزل والتشخيص

اظهرت نتائج العزل والتشخيص لشتلات البادنجان المصابة وجود ثلاثة اجناس من الفطريات ولقد تمت دراسة جنس الفطر فيوزاريوم فقط (للبحث الحالي) وذلك لظهوره بتكرار عالي اذ عزل من جميع البيوت الزجاجية ووصل معدل النسبة المئوية للإصابة 59% من مجموع العينات (جدول 1). وقد شخصت ضمن جنس *Fusarium* انواع عديدة كان من بينها

النوعين *F.oxysporm* و *F.solani* الذين عزلا بمعدل نسبة مئوية وصلت الي 31.5% و 29.3% لكل من الفطرين بالنسبة للنباتات المصابة بالفيزاريوم فقط، عزلت الانواع *F.moniliforme*، *F.culmorum*، *F.acuminatm* وينسب مئوية مختلفة. وحسب علمنا فان عزل الفطر *F.culmorum* يحصل لأول مرة في العراق وظهر هذا النوع في موقعين فقط وكان هنالك بعض النماذج حاوية على اكثر من نوع واحد للفطر ولهذا نجد بان الاعداد المسجلة للفطر فيوزاريوم لايعني بالضرورة مجموع او معدل الارقام الاخرى.

جدول 1: النسبة المئوية لعزل الفطريات من شتلات الباذنجان المريضة

اسم الفطر	النسبة المئوية للظهور في النماذج المصابة في البيوت الزجاجية				المعدل
	1	2	3	4	
<i>Fusarium sp.</i>	46.9	42.4	46.9	100	59
<i>F. acuminatm</i>	0	14.3	0	0	3.6
<i>F. culmorum</i>	0	14.9	13.3	0	7
<i>F. equiseti</i>	13.3	0	0	0	3.3
<i>F. moniliforme</i>	0	0	13.3	25	9.6
<i>F. oxysporm</i>	40	35.7	13.3	15.6	31.2
<i>F. solani</i>	33.3	35.7	13.3	15.6	29.5

اختبار تأثير انواع الفطر *Fusarium spp.* على بادرات باذنجان بعمر 4 ايام وشتلات بعمر 25 يوما في التربة

اظهرت النتائج (جدول 2) تباين القدرة الامراضية لعزلات انواع الفطر فيوزاريوم فقد كانت بعض عزلات الفطر *F.solani* ذات قدرة امراضية عالية في اصابة بادرات عمر 4 ايام بنسبة مئوية اكبر من اصابة بادرات عمر 25 يوم وهذا يحدث بالعكس من بعض عزلات النوع *F.oxysporm* كما وجدت عزلتين للنوع *F.oxysporm* غير مرضيتين حيث بقيت جميع النباتات الملقحة سليمة.

جدول 2: القدرة الامراضية للفطريات المعزولة على شتلات عمر 4 و 25 يوما

الحساسية او المقاومة للمبيد بتركيز المستخدم في وسط PDA		النسبة المئوية لاصابة الشتلات بعمر		النسبة المئوية لانبات البذور	اسم الفطر ورقم العزلة
1 غم بينوميل	0.5 غم بينوميل	25 يوما	4 ايام		
					F.solani
S	S	100	100	0	8.6.5،4،3.1
S	S	*50	*60	38.7	7
S	S	*40	*50	46.7	9
S	S	*60	*67	25	10
					F.oxyprum
R	R	*37	*20	78.3	1
S	S	*30	*20	75	4
S	R	*30-40	*20-27	68-78	7.6
R	R	*17-20	-17 *6.7	85-88	8.5،3،2
S	S	0	0	100	10
S	R	0	0	100	9
					F.moniliforme
S	S	*60-70	*47-53	35-45	2،1
S	S	*10-27	-17 *6.7	73.3-96.7	F.equiseti
R	R	30	30	71.7	F.acuminatum
		0	0	100	سيطرة

* تمثل الفروق معنوية بين النسبة المئوية لاصابة شتلات عمر اربعة ايام والنسبة المئوية لاصابة شتلات عمر 25 يوما (S) حساس، (R) مقاوم

تأثير تراكيز مختلفة من المبيد Benomyl %50 في معدل نمو انواع الفطر Fusarim في الوسط الصلب

تم في هذه التجربة اختبار حساسية 40 عزلة لانواع مختلفة من الفطر Fusarium spp. لتراكيز مختلفة من المبيد Benomyl ونلاحظ من الجدول 3 ان نتائج نمو مستعمرة عدد من هذه الانواع في وسط PDA الحاوي على تراكيز مختلفة من بينوميل ويتضح من مقاومة معدلات اقطار المستعمرات ان بعض هذه العزلات كانت مساوية لقطر المستعمرة في الوسط PDA بغياب بينوميل (سيطرة) ومن هذه النتائج تم تحضير الجدول رقم 4 الذي اوضح ان جميع عزلات النوع F.solani حساسة للمبيد بالتركيز 1غم/لتر بينما وجدت 5 عزلات من انواع F.oxysporm وعزلتين من عزلات الفطر F.culmorum وعزلة واحدة من F.acuminatm مقاومة للمبيد عن استخدام بنفس التركيز فضلا عن عزلتين غير مشخصتين من Fusarium.

جدول 3: تأثير تراكيز مختلفة من المبيد Benomyl %50 في قطر مستعمرات انواع الفطر فيوزاريوم في الوسط PDA

المناقشة

ان النتائج التي حصلنا عليها تظهر وجود فطريات مختلفة تصيب شتلات الباذنجان المنقولة حديثا الى الارض الدائمة في البيوت الزجاجية وخاصة الفطر فيوزاريوم التي تؤكد الابحاث السابقة انه يسبب الذبول وموت الشتلات (جبر 1998، البهادلي واخرون 1992). وتركزت دراستنا الحالية على انواع الفيزاريوم المعزولة من النباتات المصابة في جذورها وسيقانها المدفونة في التراب على الرغم من استخدام مسحوق البنوميل في التربة قبل او اثناء او بعد الزراعة مباشرة مما يشير الى حصول عزلات مقاومة للمبيد. وفعلا وجدنا عدة انواع من الجنس فيوزاريوم كانت مقاومة للمبيد بينوميل عند استخدامه بتركيز مختلفة فقد وجدت 10 عزلات مرضية مقاومة لتركيز عالي هو التركيز 1غم/لتر بينما وجدت 17 عزلة حساسة لتركيز اطيء، وهذه النتائج متفقة مع ابحاث سابقة فمثلا ذكر الحسن واخرون (1981) ان معاملة جذور الباقلاء ببيوميل لم تؤثر في مكافحة الذبول المتسبب عن الفطر *F.oxysporum* كما وجد Postma و Luttikholt عام (1993) وجود عزلات مقاومة بينوميل من الفطر فيوزاريوم، وكان النوعان الاكثر ترددا هما *F.solani* و *F.oxysporum* وادى الفطر *F.solani* الى احدث نسبة اصابة عالية في باذرات عمر 4 ايام بنسبة مئوية كثر من اصابة 25 يوم وعلى عكس الفطر *F.oxysporum*، كما وجدنا عزلتين من الفطر *F.oxysporum* غير مرضيتين حيث بقيت جميع النباتات سليمة وهذه النتيجة تتفق مع ابحاث سابقة (Postma و Luttikholt عام 1996 و Takehare واخرون عام 1996) ونستنتج مما سبق انه قبل الاستمرار في استعمال مبيد معين يجب عزل وتشخيص المسبب المرضي من نباتات المصابة في الحقل وتقدير حساسيتها للمبيد المستعمل ضلا عن اختبار قدرته الامراضية على المحصول تحت الدراسة. وقد تكون العزلات غير المرضية منافسة للعزلات المرضية وربما نستطيع استخدامها للمقاومة الاحيائية بعد التأكد من سلامتها تجاه المحاصيل الاخرى التي يمكن ان تزرع في الحقل (Takehare واخرون عام 1996). ونستنتج من الدراسة الحالية ان الفطرين *F.solani* و *F.oxysporum* كانا اكثر انواع الفيزاريوم تكرارا في شتلات الباذنجان المنقولة حديثا الى البيوت الزجاجية والتي تعرضت الى مرض تعفن السيقان والجذور قد اتفقت هذه النتائج مع معلومات سابقة (Agrios. 1988) وظهرت نتائج اختبار حساسية هذين الفطرين للمبيد بينوميل ان النوع *F.solani* كان حساس للمبيد في التركيز 0.1 غم/لتر ولكن عددا من عزلات النوع

F.oxysporum كان مقاوما للمبيد بالتركيز 1غم/لتر. وهذه النتيجة تفسر سبب موت لاشتلات على الرغم من استعمال المبيد اثناء او قبل او بعد الزراعة فضلا عن انه من الناحية العملية والتطبيقية فان المبيد قد لا يصل الى الاجزاء المتضررة من النبات تحت سطح التربة بنفس التركيز وذلك بفعل انتشار المادة في مساحة واسعة فضلا عن لاسقي المتكرر. وربما نحتاج الى زيادة التركيز المستخدم او اللجوء الى مبيدات اخرى لم يتعرض لها الفطر ولم تظهر سلالات مقاومة ضدها ومن ناحية اخرى يمكن الاستفادة من نتائج اختبار حساسية الفطر للمبيد بتراكيز مختلفة في التحري على وجود سلالات او انواع من الفطر في التربة مقاومة لتراكيز مختلفة من المبيد وعزل وتنقية هذه السلالات لاغراض علمية مثل الكشف عن حساسيتها لمبيدات اخرى.

المصادر

1. البهادلي، علي حسين وكامل سلمان جبر وهناء محمد الزهرون. دراسة حول مرض الذبول الفيوزاريومي على الباذنجان تحت ظروف الزراعة المحمية. مجلة العلوم الزراعية. المجلد (23): 155-150 (1992)
2. جبر، كامل سلمان ورقيب عكف العتي وفرقد عبد الرحيم الراوي. تاثير مسببات تعفن الجذور وفواحة السيقان على الباذنجان. مجلة الحوث الزراعية العربية-المجلد الثاني العدد الثاني (1998) 171188
3. الحسن، خليل كاظم وعبد العتي عبد العزيز محمد. محاولة لمكافحة مرض الذبول الفيوزاريومي على لابقلاء المتسببة عن فطر *Fusarium oxysporum f. medicaginis* بالمبيدات الحمازية. الكتاب السنوي بحوث وقاية المرزوعات. العدد 2(2): 117-113 (1981)
4. Agrios, G.N. Plant pathology. Third ed. Acad. Press. P. 427 (1988)
5. Booth, C. Fusarium Laboratory guide to the identification of major species. Commonwealth Mycological Institute. Kew, Surrey, England 58pp (1977).
6. Frisina, T.A. and Bensen, D.A. Sensitivity binucleat Rhizoctonia spp. and *R. solani* to selectrd fungicides in vitro and on azalea under greenhouses conditions. Plant Dis. 72: 303-306 (1988).
7. Gangawane, L.V. Management of Fungicide resistance in plant pathogens. India Phytopathology. 50(3): 305-315 (1997).

8. Postma, J. & Luttikholt, A.J.G. Benomyl resistant *Fusarium* isolates in ecological studies on the biological control of *Fusarium* with carnation. *Neth. J.P.I. Pathology*, 99: 175-188 (1993).
9. Postma, J. & Luttikholt, A.J.G. Colonization of carnation stems by a nonpathogenic isolates of *Fusarium oxysporum* and its effect on *Fusarium oxysporum* f.ssp. *dianthi*. *Canadian Journal Botan*: 74:1841-1851 (1996).
10. Takehara, T. & Takagi, T. & Mori, M. & Nakayama, T. & Sato, T. & Saith, H. Differences in population density limits in soil among nonpathogenic *Fusarium oxysporum* isolates used for biological control of *Fusarium* diseases. Second international *Fusarium* Biocontrol workshop (1990).

تفاعل الجسيمات المشحونة الثقيلة مع الخشب ومكوناته

اقبال عبد الحميد عبد الرحمن ، هاشم حميد جواد ، فلاح علي حسين

الخلاصة

استخدام برنامج حاسوبي بلغة فورتران -77 لحساب قيم انقطاع العرضي لقدرة إيقاف البروتون وجسيمة الفا لمدى الطاقة (4-0.01) مليون إلكترون فولت في السليولوز، واللكتين، والخشب الذي اقتصرت نسبة التركيبية بـ 75% سليولوز و 25% لكتين. قورنت قيم المقطع العرضي لقدرة إيقاف البروتون وجسيمة الفا للخشب ومكوناته عند قمة براك لكل من اللكتين / السليولوز، اللكتين / الخشب فكانت (13, 3.25) على التوالي، بما قمة براك فكانت عند الطاقة 0.64, 0.32/ مليون إلكترون فولت للبروتون وجسيمة الفا.

المقدمة

ان لفطان طاقة الجسيمات المشحونة الثقيلة، أهمية كبيرة في المجالات العلمية المختلفة، الطبية، الصناعية، التفاعلات النووية، الكيمياء الاشعاعية، تصميم وبناء الكواشف الاشعاعية... الخ.

عرفت قدرة الايقاف (-dE/dx) على انها معدل الطاقة المفقودة لوحدة المسار⁽¹⁾ وتمثل الطاقة المنقولة من الجسيمات المشحونة الساقطة الى الكترولونات ذرات الوسط. وبصورة عامة فان قدرة الإيقاف للجسيم المشحون الثقيل تعرف بدلالة المقطع العرضي (ε(ν)). الذي يكون دالة لسرعة الجسيم الثقيل الساقط ν كما توضحه المعادلة ادناه :-

$$-\frac{dE}{dx} = N\varepsilon = \frac{4\pi z^2 e^4 z_1 z_2}{mv} L(\nu, z_2) \quad \dots(1)$$

اذ ان

$$(N) : \text{الكثافة الذرية للوسط المادي} \left(N = Na \frac{\rho}{A} \right)$$

أقبال عبد الحميد عبد الرحمن وجماعتها

(A. ρ) : الكثافة والعدد الكتلي للوسط المادي.

(Z₁.Z₂) : العدد الذري للجسيم والوسط المادي.

أن العدد الذري نلايقاف $L(v, Z_2)$ الذي يعتمد على سرعة الجسيم الساقط والعدد الذري للوسط المادي سيضم عدة حدود تمثل التصحيحات التي اجريت على معادلة بينا (1933) وكما يأتي :

$$L = L_0 + Z_1 L_1 + Z_1^2 L_2 \quad \dots(2)$$

إذ أن :

L_0 : يمثل تصحيح بورن Born correction

L_1 : يمثل تصحيح باركرز Barkas

L_2 : يمثل تصحيح بلوخ Bloch

وبالإمكان تمثيل $L(v, Z_2)$ بمفكوك متسلسلة القوى بوصفها دالة للمتغير Z_1 وحسب الصيغة الآتية (2) :

$$L(v, Z_1) = \sum_{n=0} Z_1^n L_n \quad \dots(3)$$

يمكن التعبير عن قدرة الإيقاف بوحدات MeV/cm²/gm بالصيغة الآتية :-

$$-\frac{dE}{dx} = \frac{4\pi e^4 Z_1^2 Z_2}{Mv^2} \left[\ln\left(\frac{2mv^2}{I}\right) + \ln\left(\frac{1}{1-\beta^2}\right) - \beta^2 - \frac{c}{Z_2} - \frac{\delta}{2} \right] \quad \dots(4)$$

$$\frac{dx}{dx} = \frac{0.307072}{\beta^2} Z_1^2 \left(\frac{Z_2}{A}\right) L \quad \dots(5)$$

إذ أن $\beta = \frac{v}{c}$ تمثل النسبة بين سرعة الجسيم المشحون الساقط وسرعة الضوء.

Shell correction term : تمثل حد تصحيح القشرة $\frac{C}{Z_2}$

Density correction term : تمثل حد تصحيح الكثافة $\frac{\delta}{2}$

I : يمثل معدل جهد التأين والذي يمكن حسابه باستخدام المعادلة الآتية :

$$\frac{1}{Z_2} = \begin{cases} 12 + \frac{7}{Z_2}, & Z_2 < 13 \\ 9.76 + 85.8Z_2, & Z_2 > 13 \end{cases} \quad \dots(6)$$

استطاع الباحثون Varela and Biersack⁽⁵⁾ و Rosseau⁽⁴⁾ ومجموعته⁽⁴⁾ من وضع صيغة شبه تجريبية تربط بين القمطع العرضي للايقاف بين حدود الطاقات العالية ϵ_{high} وبين الطاقات الواطئة ϵ_{low} نسبة الى قمة براك، اطلق عليها صيغة التطابق للمقطع العرضي للايقاف الالكتروني (ϵ_e) وكما يأتي :

$$\frac{1}{\epsilon_e} = \frac{1}{\epsilon_{low}} + \frac{1}{\epsilon_{high}} \quad \dots(7)$$

$$\epsilon_{low} = A(1000E)^{A_2} \quad \dots(8)$$

$$\epsilon_{high} = \frac{A_3}{E} \ln \left(1 + \frac{A_4}{E} + A_5 E \right)$$

اذ ان :

E تمثل طاقة الجسم الساقط بوحدة MeV والمقادير $A_1, A_2, A_3, \dots, A_5$ تمثل معاملات

التطابق ويمكن الحصول على قيمها مباشرة للبروتون من جداول Ziegler و Andersen⁽⁵⁾ ولجسيمة الفا من جداول Ziegler⁽⁶⁾.

وضع الباحثان Bragg, Kleeman⁽⁷⁾ اول قاعدة لتحديد المقطع العرضي لقدرة الايقاف للجزئية (AmBm) عن طريق جمع المقاطع العرضية تقدر الايقاف للعناصر المكونة

أقيال عبد الحميد عبد الرحمن وجماعتها

للجزيئة (ϵ_A, ϵ_B) وقد سميت هذه القاعدة بقاعدة براك للجمع إذ يمكن التعبير عنها بالمعادلة الآتية :-

$$\epsilon_{AM} B_N = m\epsilon_A + n\epsilon_B$$

.....(9)

$$\epsilon_{COMPOUND} = \sum_i n_i \epsilon_i$$

n.m عدد ذرات العنصر B.A في جزيئة المركب على التوالي

تهدف الدراسة الحالية لحساب الطاقة المفقودة للجسيمات المشحونة الثقيلة بروتون وجسيمة الفا في الخشب ومكوناته (السليولوز واللكتين).

النتائج والمناقشة

تم حساب قيم المقطع العرضي لقدرة إيقاف جسيمة الفا والبروتون لمدى الطاقة (0.01-4.00) مليون إلكترون فولت في السليولوز واللكتين والخشب الذي تم افتراض نسيبه التركيبية — 75% سيلوز او 25% لكتين. استخدم برنامج حاسوبي بلغة فورتران اعد لأجراء الحسابات التي توضح ما يأتي :-

1. ان النسبة بين قيم المقطع العرضي لقدرة إيقاف البروتون وجسيمة الفا لمادة اللكتين / السليولوز هي بحدود 12.8 ، 13.1 على التوالي عند قمة براك، وهذا ما يبين القدرة العالية للكتين على امتصاص طاقة جسيمة الفا والبروتون مقارنة بالسليولوز.
2. ان النسبة بين المقطع العرضي لقدرة إيقاف البروتون وجسيمة الفا لمادة اللكتين / الخشب هي بحدود 3.2، 3.3 على التوالي. وهذا ما يؤكد زيادة نسبة السليولوز وانخفاض نسبة اللكتين في عينات الخشب (جدول 1).
3. ظهور قمة براك عند الطاقة (0.32-0.64) مليون إلكترون فولت للبروتون وجسيمة الفا والنزوتون على التوالي في الخشب ومكوناته (شكل 2.1) قد جاء ليؤكد التطابق الجيد مع النتائج العملية السابقة⁽⁸⁾.
4. قورنت النتائج الحالية لقيم المقطع العرضي لقدرة إيقاف جسيمة الفا والبروتون في الخشب ومكوناته مع المواد العازلة الاخرى (بولي ستايرين، وكلوريد بولي فينيل وبولي اثيلين) عند

قمة براك⁽⁹⁾ اذا اُضح ان لمادة اللكنين القدرة العالية على امتصاص طاقة الجسيمات المشحونة الثقيلة مقارنة بالمواد المذكورة وكما يوضحه الجدول رقم (2).

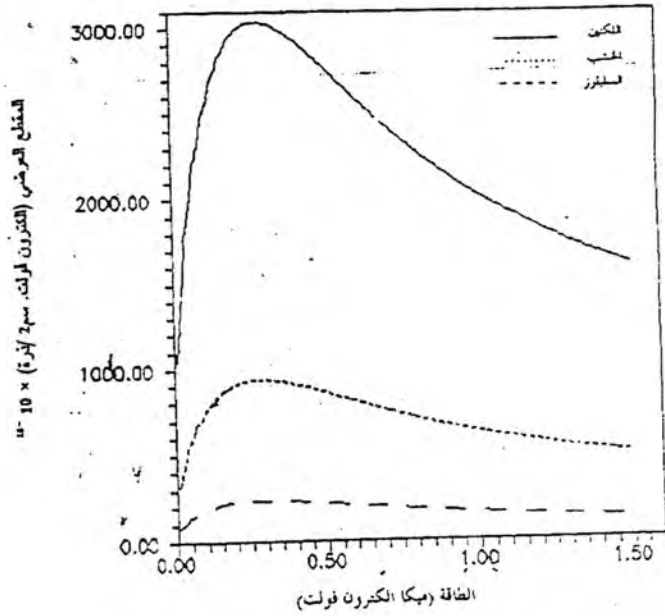
جدول (1) : مقارنة بين قيم قدرة لايقاف للبروتون وجسيمة الفا في الخشب ومكوناته عند قمة براك

قدرة الايقاف (الكترن - فولت × سم ² / ذرة) × 10 ⁻¹⁵		المادة
البروتون	جسيمة الفا	
907.6	2139.2	خشب
230.4	532.4	سليولوز
2939.3	6959.6	لكنين

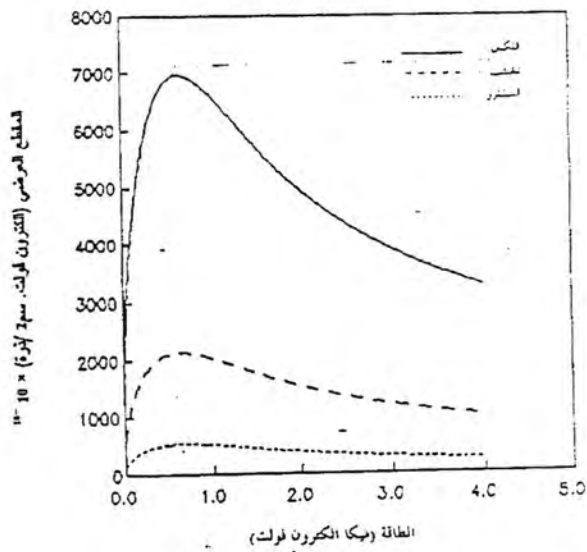
جدول (2) : مقارنة بين قيم المقطع العرضي لقدرة ايقاف جسيمات الفا في الخشب ومكوناته مع مواد عزلة اخرى

مساحة المقطع العرضي لقدرة الايقاف (الكترن - فولت × سم ² / ذرة) × 10 ⁻¹⁵					
الدراسة السابقة ⁽⁹⁾			الدراسة الحالية		
بولي اثيلين	كلوريد برلي فيتيل	بولي ستايرين	السليولوز	اللكنين	الخشب
142.04	220.54	463.0	532.35	9659.58	2139.16

أقبال عبد الحميد عبد الرحمن وجباعتها



شكل (1): تغير مساحة المقطع العرضي للبروتون في الخشب ومكوناته



شكل (2): تغير مساحة المقطع العرضي لجسيمية الفا في الخشب ومكوناته

المصادر

1. Recommendation of ICRU, Natl. Bur. Handbook, Washington 85:4. (1964).
2. Sabin J.R., and J. Oddershede. Study of the calculation of the energy loss of swift ions in molecules. J. Nucl. Inst. And Meth B64: (1992).
3. Varelas, X. and Biersack, J. Reflection of energetic particles from atomic of ionic chains in single crystals. Nucl. Inst. And Meth. 79: (1970).
4. Rosseau. C.C., Chu., W.K. and powers, D. Calculations of stopping cross-sections for 0.8 to 2.0 Mev. Alpha particles. Phys. Rev. A4: (1971).
5. Andersen. H.H. and Ziegler, J.F. Hydrogen. stopping power and range in all elements, pergamon press. New York. (1977).
6. Ziegler. J.F. Helium Stopping Power and Ranges in all Elements. Pergamon Press, New York. (1987).
7. Bragg. W.H. and Kleeman, B. Philos. On the Alpha particles of radium and their loss of range in passing through various atoms and molecules. Mag. And J. of Science. 10: (1905).
8. Watt. D.E. Heavy particle track structure parameters for biophysical modeling Nucl. Inst and Meth. B 93: (215). (1994).
9. Al-Hanim A. Al-Din S., The measurements of energy loss for Alpha particles in solid materials. Thesis submitted to the college of science, AL-Mustansiriya University, (1998).

تفاعل كاما مع الخشب ومكوناته

أقبال عبد الحميد، د. هاشم حميد جواد، د. فلاح علي حسين
الجامعة المستنصرية/كلية العلوم/قسم الفيزياء

الخلاصة

تم حساب قيم معامل الامتصاص الكتلي وقيم الامتصاصية للخشب ومكوناته الأساسية (السليولوز واللكنين) كدالة لطاقة فوتونات أشعة كاما (1keV-20MeV). بلغت نسبة امتصاصية اللكنين/السليولوز 10.5 عند الطاقات الواطئة (1-15keV) و 12.5 عند الطاقات العالية (أكبر من 15keV) اما نسبة الامتصاصية بين اللكنين/الخشب فلقد بلغت 3.2 ولكل مدى الطاقة المستخدمة.

المقدمة

استخدمت الكميتين الفيزيائيتين، معامل الامتصاص الكتلي $\left(\frac{\mu}{\rho}\right)$ ، ومعامل الطاقة الممتصة للأشعة السينية وأشعة كاما، استخداماً واسعاً في حسابات القدرة الاختراقية والطاقة المترسبة في الأنظمة البيولوجية اثناء عملية التشخيص والعلاج، وفي التدرج لأغراض الحماية من تأثير الإشعاع. لقد عرف العاملين بشكل دقيق من قبل الوكالة الدولية للإشعاع 1980 ICRU^[1]، فضلاً عن الدراسات النظرية التي قام بها العديد من الباحثين والتي غطت الجوانب النظري بشكل جلي. تمكن Storm ومجموعته^[3] (1970) من حساب معامل الامتصاص الكتلي لمدى الطاقة (1keV-100MeV) ولجميع العناصر ذات الأعداد الذرية (1-100)، كما وربط Plechaty ومجموعته^[3] (1978) بين نتائج Mc Master ومجموعته^[4] (1969) و Veigele ومجموعته^[5] (1961) من اجل إيجاد قيم معامل الامتصاص والذي يمتد للطاقة (0.1 keV). وفي عام (1978) استطاع Biggs و Lihthill^[6]، حساب معامل الامتصاص وجدولة قيمة المفيدة لمدى الطاقة (0.01keV). وضع Hubbell^[7] (1982) سقفاً نظرياً شاملاً، أكثر دقة من جميع الدراسات السابقة اذ اخذ بنظر الاعتبار اسهام التفاعلات النووية الضوئية عند الطاقات الأكبر من (5 MeV) والتي اهتمت سابقاً. من خلال هذه الدراسة تم حساب قيم معامل

أقبال عبد الحميد وجماعتها

الامتصاص الكتلي ومعامل الطاقة الممتصة لمدى الطاقة (0.1keV-20MeV) لاربعين عنصراً اعدادها الذرية بين (1-92)، فضلاً عن خمسة واربعين مركباً لها علاقة بمقياس الجرعة الاشعاعية.

استخدمت قيم معامل الامتصاص الكتلي للتحري عن عملية تجفيف الخشب، اذ تعتبر هذه العملية احد العوامل الاساسية في كلفة تصنيع الالواح الخشبية المصنعة، ومن اجل حساب قيم معامل الامتصاص اعتدت طريقة تعريض الاخشاب للاشعة السينية ذات الطيف المستمر من قبل عدد من الباحثين Olson و Arganbright^[8] (1981)، Tiitta ومجموعته^[9] (1993)، Davis ومجموعته^[10] (1993) Jensen ومجموعته^[11] (2001)، لايجاد قيم معامل الامتصاص الكتلي للخشب الجاف والرطب ومقارنة هذه القيم لايجاد تأثير الرطوبة بنسبها المختلفة. ان هذه الطريقة لا يمكن اعتمادها بشكل دقيق لاسباب بسيطة وذلك لان قيم معامل الامتصاص تحتسب من خلال استخدام اشعة احادية الطاقة كاشعة كاما او الاشعة السينية المميزة. اهدت الدراسة الحالية بحساب معامل الامتصاص الكتلي والامتصاصية للخشب ومكوناته (السليولوز واللكنين) جراء اختراق اشعة كاما او الاشعة السينية المميزة.

النتائج والمناقشة

تم حساب قيم معاملات التوهين الكتلية للسليولوز واللكنين والخشب (الذي افترضت النسب التركيبية له بـ 75% سليولوز و 25% لكتين) لمدى طاقة اشعة كاما (0.001-10MeV) باستخدام المعادلة (1) وبيين الجدول (1) قيم هذه المعاملات

$$\left(\frac{\mu}{\rho}\right) = \sum W_i \left(\frac{\mu}{\rho}\right)_i \dots\dots\dots(1)$$

اذ ان (Wi) تمثل النسبة الوزنية للعنصر الى المركب.

$\left(\frac{\mu}{\rho}\right)$ معامل التوهين الكتلي لكل عنصر من عناصر المركب.

اعتدت قيم معاملات الامتصاص الكتلي لحساب قيم الامتصاصية باستخدام المعادلة (2)، وبيين الجدول (2) هذه القيم

$$\log(I_0/I) = abc$$

اذ ان :-

$\log(I_0/I)$: الامتصاصية او الكثافة الضوئية.

a: معامل الانقراض cm^2/mole

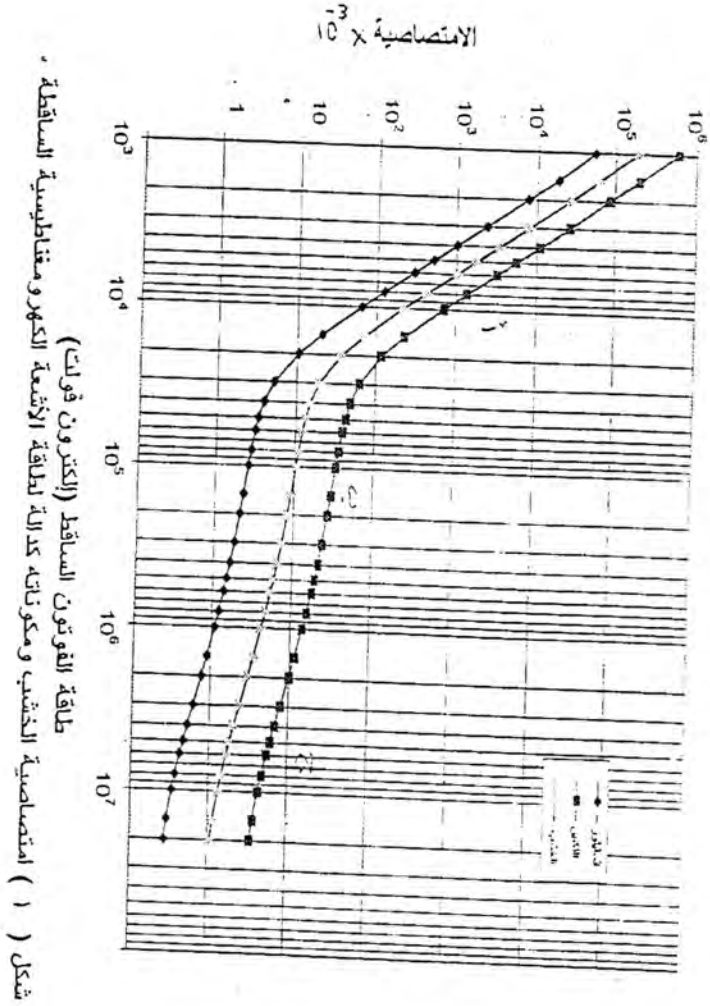
b: سمك العينة cm

c: تركيز العينة mole/cm^3

يبين الشكل (1) امتصاصية الخشب، والسليولوز، واللكنين كدالة لطاقة فوتونات اشعة كاما اذ يمكن استخلاص ما يأتي:-

1- ان نسبة الامتصاصية (اللكنين ، السليولوز) بلغت 10.5 عند الطاقات الواطئة -1 (15keV و 12.5 عند الطاقات العالية (اكبر من 15keV) ان هذه النسبة جاءت متقاربة جداً مع النسبة (12.14) للنتائج العملية لـ Hon^[12] (1975) في مجال امتصاص الاشعة فوق البنفسجية اما نسبة الامتصاصية (اللكنين/الخشب) فلقد بلغت 3.17. وبشكل عام يمكن القول بأن اللكنين له له امكانية عالية اكبر من السليولوز او الخشب لامتصاص فوتونات اشعة كاما.

2- ظهور الاحتمالات الرئيسية الثلاث لتفاعل فوتونات اشعة كاما مع الخشب ومكوناته وهي :-
 أ- الظاهرة الكبروضونية وتمثل المنطقة (أ) عند حدود الطاقة اقل من (10 keV).
 ب- ظاهرة تشتت كومبتن وتمثل المنطقة (ب) وحدود طاقتها -0.01 (1.022MeV).
 ج- ظاهرة انتاج الزوج الالكتروني وتمثل المنطقة (ج) اذ تكون طاقتها اكبر من 1.022MeV.



المصادر

- 1- ICRU report 33 washington DC (1980).
- 2- Storm E. and et al. NaCl. Data Tubles A7 565 1970.
- 3- Plechaty E. F. Cullen D. E and Howerton R. J. Lawrence Livermore Lab. Rep. UCRL 50400 Vol. 6. Rev. 2 (1978).
- 4- M. Master W. H., Del Grande N. K., Mallett J. H. and Hubbell J. H. Lawrence livermore Lab. Rep. UCRL-50174, Sec. 11 Rev. (1969).
- 5- Veigele W. J., Briggs E., Bates L., Henry E. M., and Bracewell B. Kaman Sciences Rep. KN. 71-431R Vol. 1. Rev. 1 (1971).
- 6- Biggs F., and Lighthill R. Sandia Lab Rep. SC-RR-71-0507 (1971).
- 7- Hubbell J. H. J. Appl. Radiat. 1 Sol Vol. 77. 1269-1290. (1982).
- 8- Olsen J. R. and Arganbright, D. G. prediction of mass attenuation coefficients of wood. wood Science 14 (2) pp. 89-90 (1981).
- 9- Titta M., Olkkonen H., Lappalainen T. and Kanko T., Automated low energy proton absorption equipment for measuring internal moisture and density distributions of wood samples, Hloz als Roh-und werkstoff , 51, 417-421 (1993).
- 10- Davis J. R., Ilic J. and wells P, moisture content in drying wood using direct scanning gamma-ray densitometry. wood and fiber science 25 (2) 153-162 (1993).
- 11- Jensen S. K., Damkide L., Krabbenhoft K., Nor-destructive assessment and FEM Simulations of moisture profiles in sitka spruce (Picea sitchensis) during drying. Dept. of civil engineering technical univ. of Denmark (2001).
- 12- Hon D. N., J. Polymer Science A1, 13, 1347 (1975)

تكوين الجذور الشعرية المحولة وراثيا في أوراق نباتات البنجر السكري Beta Vulgaris بواسطة بكتريا Agrobacterium Rhizogenes

مzahم قاسم الملاح ، قتيبة شعيب النعمة

وحدة التقنيات الجيائية/قسم علوم الحيات/كلية التربية/جامعة الموصل

الخلاصة

تكونت الجذور الشعرية المحولة وراثيا من الأوراق الحقيقية لنباتات البنجر السكري (*Beta Vulgaris* L.) بأبتاع التلقيح المباشر ببكتريا *Agrobacterium Rhizogenes* R 1601 الحاوية على بلازميد (Ri). وأبدى نصل الورقة استجابة أفضل لتكوين هذه الجذور مقارنة باستجابة سوبق الورقة. وامتازت الجذور الشعرية المحولة وراثيا الناتجة عند مناطق التلقيح بلونها الأبيض ونقرعاتها الكثيرة وغزارة شعيراتها عند زراعتها في الوسط الزراعي واتجاهها في نموها نحو الأعلى. تمت إدامة هذه الجذور على وسط MS الخالي من منظمات النمو مرة كل 15-30 يوما حيث نقلت هذه الجذور 4-6 نقلات على وسط MS الحاوي على 500 مايكرو غرام/سم³ من السيفوتاكسيم Cefotaxim ووضعها بعدئذ على وسط MS الخالي من المضاد الحيوي وبمعدل مرة واحدة لكل 15-30 يوما. أظهر اختبار الأكرابين Agropine Test باتتاع تقنية الترحيل الكهربائي إيجابية الكثف عن هذا الحامض الأميني غير الاعتيادي مما يشير إلى أن الجذور المتكونة هي جذور محولة وراثيا بفعل بلازميد Ri لبكتريا *A. Rhizogenes*.

المقدمة

إن الزراعة النسيجية تعتبر إحدى الاعتبارات المهمة في تربية النبات طالما يتوفر حاليا العديد من الإمكانيات يتوفر حاليا العديد من الإمكانيات التي تسهل عملية إدخال مادة وراثية جديدة في النبات. تعد نباتات البنجر السكري (*Beta Vulgaris* L.) من المجاصيل المهمة اقتصاديا، ويزرع المناطق شبه الجافة كما هو الحال في وسط وشمال العراق وبلدان أخرى من الوطن العربي، واجد المصادر الأساسية لاستخراج السكر وتدخل مخنفة في صناعة الخميرة والعلف

الحيواني. زاد الاهتمام بهذا المحصول في الآونة الأخيرة بتحسين أصنافه المعتمدة عالميا في محاولة زيادة إنتاجه أو زيادة نسبة السكر فيها حيث تصل نسبة 22% في بعض الأصناف حاليا⁽¹⁾. لقد أشارت إحدى الدراسات إلى استحداث الكالس من قطع السوق تحت الفلجية لبادرات البنجر السكري مقترنة بزيادة الكمية الكلية للسكريات في الكالس النامي في الوسط الزراعي وبلغ محتوى السكر الخام فيه 44% من كمية السكريات الكلية⁽²⁾. وذكرت العديد من الدراسات إمكانية الحصول على بعض النباتات المحولة وراثيا التابعة لعوائل نباتية مختلفة من خلال الحصول على الجذور الشعرية بفعل بكتريا *Agrobacterium Rhizogenes*^(3,4)، فقد تم الحصول على نباتات بطاط محولة وراثيا⁽⁵⁾ ونباتات حلبة محولة وراثيا بوساطة بكتريا *A. tumefaciens*⁽⁶⁾. وأشارت دراسة أخرى إلى عملية التحول الوراثية بواسطة هذه البكتريا في نباتات البنجر السكري تعتمد على مصدر النجء النباتي المستخدم وعلى النمط الوراثي للنبات⁽⁷⁾. وفي دراسة أخرى تم الحصول على كالس محلول وراثيا مشتق من الخلايا المنقسمة الفعالة دون الحصول على نباتات بنجر سكري كاملة منه⁽⁸⁾. وأكدت الدراسة التي أجريت على اثروتوبلاست المعزول من الخلايا الحارة لنباتات البنجر السكري إن استخدام المركب بولسي ائينين كلايكول (Poly Ethylene Glycol (PEG) في تقنية التحول الوراثي أدت إلى زيادة نسبة التحول الوراثي وتأثيرها على ثبات التعبير الجيني⁽⁹⁾. وتهدف الدراسة الحالية إلى إيجاد نظام كفوء في إنتاج نباتات محولة باستخدام البكتريا *A. Rhizogenes* الحاوية على بلازميد (Root Inducing Plasmid) Ri من خلال قابليتها على تكوين جذور شعرية محولة وراثيا من خلال تنقيع أجزاءها المختلفة تلقيا" مباشرة" باستخدام أحد أصناف البنجر السكري المتعمدة في العراق.

المواد وطرق العمل

1 - المادة النباتية

استخدمت أوراق نباتات البنجر السكري *Beta Vulgaris* الصنف Coralla (الشركة العامة لصناعة السكر في الموصل) النامية في الحقل بعمر (3 أشهر) / عقت الورقة الكاملة تعقيا سطحيا بعمرها في محلول 07% إيثانول لمدة دقيقتين ثم نقلت إلى محلول 6% هيبوكلورات الصوديوم NaOCl بنسبة احجام مادة معقمة: 2 حجم ماء لمدة 5 دقائق⁽¹⁰⁾ غسلت

العينات بالماء المعقم غسلا جيدا لإزالة اثار المادة المعقمة وأزيل الماء الفائض عنها بوضعها على ورق ترشيح معقم. قطعت الورقة النباتية المعقمة إلى أربعة أقسام Clones ورمز ليده الأقسام C_1, C_2, C_3, C_4 حيث تمثل C_1, C_2 سويق الورقة بطول 2-4 سم لكل قسم أما C_3, C_4 تمثل نصل الورقة بإبعاد 2 سم \times 3 سم لكل قسم.

2 - التلقيح المباشر للقطع النباتية ببكتريا الأروبكتريوم:

استخدمت السلالة R1601 من بكتريا (*Agrobacterium Rhizogenes*)

Professor E.W. Nester, Washington Univ. USA) نمت هذه البكتريا على وسط Y_1 السائل (⁴) الحاوي على من المضادين الحيائيين (الكاناميسين والكاربنسلين) بتركيز 100 منغم/لتر لكل منهما. حضنت الدوارق في الحاضنة الهزازة (New Shaking Incubator Brunswick Scientic, Co. Inc. Edison, N.J. USA) بدرجة 28 م وسرعة (150 دورة/دقيقة). وبعد مرور 72 ساعة من التحضين حصدت المزرعة البكتيرية بواسطة طرفها مركزيا (Centrifuged) لمدة (15 دقيقة). أضيف (1 سم³) من وسط APM السائل للبكتريا لتربية للحصول على اللقاح البكتيري (¹¹). لقت الأجزاء النباتية باللقاح البكتيري باستخدام Needle دقيق معقم غمرت قمته المدببة في اللقاح البكتيري ووخزت القنع النباتية في 3-5 مواقع وكذلك بالنسبة لعينات المقارنة (بدون بكتريا). ثم غرست العينات المنقحة (2 عينة/دورق) بشكل قائم في وسط الصلب (12) الخالي من منظمات النمو. وحضنت العينات في ظروف صاءة (100 لوكس) بدرجة 25 م.

3 - نشوء وإدماة الجذور الشعرية المحولة وراثيا

بعد (15-21) يوما من عملية التلقيح ونشوء الجذور الشعرية في مواقع التلقيح استؤصلت جذور مفردة بطول (1.0 - 1.5 سم) وزرعت على سطح 20 سم³ من وسط MS تصلب الحاوي 500 ميكروغرام/سم³ من السيفوتاكسيم Cefotaxime في أطباق بتري بلاستيكية قطر (9 سم) (13) ونقلت عينات المقارنة أيضا المتمتأة بأخذ جذور من بادرات سليمة غير منقحة. وبعد 4-6 نقلات في وسط MS الحاوي 500 مايكروغرام/سم³ من السيفوتاكسيم نقلت قطع من هذه الجذور الشعرية إلى وسط MS الصلب الخالي من المضاد الحيوي. وتمت إدماة هذه الجذور مرة كل 25 يوما في وسط MS الخالي من المضاد الحيوي.

4 - اختبار خلو مزارع الجذور الشعرية من البكتريا :

تم التأكد من خلو مزارع الجذور الشعرية المحولة وراثيا و النامية في وسط MS الخالي من المضاد الحيوي من البكتريا دوريا بتحضير نماذج (0.5 غم) مسحوقة من هذه الجذور في وسط APM السائل لمدة يومين في درجة حرارة 28 م (14).

5- الترحيل الكهربائي في الكشف عن الأرويين

أجري اختبار الأرويين حسب الطريقة القياسية⁽¹⁵⁾ لمقارنة الجذور الشعرية المحولة وراثيا مع جذور البادرات السلية غير الملحقة (المقارنة) من حيث احتوائها على الأرويين بأخذ (100 ملغم) من كل منيما وسحقت كل عينة بصورة مستقلة بوجود (100 مايكروولتر) 0.1 عياري حامض النييدروكلوريك (0.1 N HCl) في إنبوبة إيندروف Eppendroff Tube باستخدام قضيب بلاستيكي وطرذت العينات مركزيا (سرعة 12000 دورة/دقيقة لمدة 10 دقائق) ثم حمز 10 ميكروولتر من راشح كل عينة و 2 مايكروولتر من الأرويين القياسي (Dr. Y. Dessaux, Center National, France) في ورقة الكروماتوغرافيا (بأبعاد 20 سم × 23 سم، Whatman No.3) بعدئذ وضعت الورقة في جهاز الترحيل الكهربائي (Stockholm Sweden Esselte Studium, S-11285) بوجود 100 سم³ من المحلول المتكون من (حامض الفورميك: حامض الخليك: ماء) (5: 15: 80 حجم: حجم: حجم) وامرار تيار كهربائي بوجود فولتية (300-400 فولت) لمدة ساعة واحدة. جففت الورقة في الهواء وصيغت بمحلول نترات فضة Silver Nitrate وبعد جفافها (15-30 دقيقة) غمرت بمحلول 5% NaOH 2% Methanolic لأضهار البقع وجففت هوائيا (30 دقيقة) ثم غمرت بمحلول 5% Na₂S₂O₃ أعقبه غسلها بالماء الجاري لمدة (10-30 دقيقة) وتركت لتجف في الهواء.

النتائج

1- تكوين الجذور الشعرية

ظهرت أول علامات إصابة أجزاء الورقة النباتية بعد اسبوعين من التلقيح المباشر بالبكتريا حيث بدأ ظهور الجذور الشعرية في مناطق التلقيح، وكان نضل الورقة العلوي (Clone 4) مبكرا في استجابة و ظهور الجذور الشعرية أعقبه ظهورها على بقية الأجزاء حيث تأخر هذه

الجدور على أجزاء سويق الورقة (Clone 1,2) حتى نهاية الأسبوع الثالث من التلقيح. وأظهرت بعض العينات النباتية نشوء الجدور الشعرية من مناطق لم يتم تلقيحها وضمن نفس فترة نشوءها من المناطق الملحقة، وبلغ معدل عدد الجدور لكل قطعة من القطع المستجيبة 10 جذور/قطعة

(الجدول 1).

الجدول 1 تكوين الجدور الشعرية المجولة وراثيا بالتلقيح المباشر لأجزاء أوراق بادرة
البنجر السكري Beta Vulgaris بيكتريا A. Rhizogenes

نوع ومصدر القطعة	عدد القطع الملقحة / عدد القطع المستجيبة	تكوين الجدور الشعرية (%)
المقارنة	0 10	0
سوق الورقة	Clone 1	7.2%
	Clone 2	10.7%
المقارنة	0 10	0
نصل الورقة	Clone 3	12.5%
	Clone 4	15.7%

ويتضح من الجدول أعلاه إن استجابة عينات سويق الورقة العنوي (Clone 2) كانت أفضل من استجابة عينات سويق الورقة السفلي (Clone 1) كما إن استجابة عينات نصل الورقة العلوي (Clone 4) كانت أفضل من استجابة عينات نصل الورقة السفلي (Clone 3) ويتضح من هذه البيانات إن استجابة نصل الورقة كانت أفضل من استجابة سويق الورقة. وبشكل عام تراوح عدد جذور 2-15 جذر للقطعة الواحدة أحيانا (الشكل 1-a و b). أن الجدور الشعرية الناتجة بفعل عملية التلقيح المباشر لعينات نصل الورقة كانت مبكرة في نشوءها وسريعة في نموها وامتازت بنوعها الأبيض وغزارة شعيراتها وإعطائها تفرعات باتجاهات عديدة وعند زراعتها في الوسط الزراعي امتازت بنوميا نحو الأعلى (شكل 1-c).

2- إدامة مزارع الجذور الشعرية

استخدام وسط MS الخالي من منظمات النمو في إدامة الجذور الشعرية عند ملاحظة بدء موتها وامتازت الجذور المنقولة إلى المسط الجديد بسرعة نموها وتضخمها واستطالتها (الشكل e, d-1) مع ظهور بدايات تكوينها للكالس.

3 - الفصل الكهربي للأكروبيين في الجذور الشعرية

أظهرت النتائج وجود الحامض الأميني غير الأعتيادي الأكروبيين في الجذور الشعرية وإن جميع عيناتها أعطت كشفا إيجابيا بالرغم من ضعفه مقارنة بعينة الأكروبيين القياسي في حين أعطت عينات الجذور الاعتيادية كشفا سلبا لهذا الاختبار (الشكل f-1).

المناقشة

من المحتمل أن يعزى التباين في درجة تكوين الجذور الشعرية على الأجزاء المختلفة من أوراق نباتات البنجر السكري (Clones) نتيجة تلقيحها المدمر ببكتريا *A. Rhizogenes* في التباين في حالة نمو كلا من هذه الأجزاء ومحتواها من الخلايا ذات الطاقة الكامنة التي تختلف في حالة تداخلها مع بكتريا وإنشائها للجذور الشعرية التي تعتبر أول علامات حصول تحول وراثي. إن الاختلاف في محتوى الحامض الأميني (الأكروبيين) في هذه الجذور الشعرية يعكس التباين في كمية T-DNA في الخلايا وحيثما يكشف الأكروبيين يؤكد حالة التحول الوراثي بواسطة بلازميد Ri الموجود في بكتريا زاهنخلثيس وأن غيابه لا يعني دائما عدم حدوث تحول وراثي في تلك العينة. فقد أكدت بعض الدراسات (16) أن بعض السلالات من هذه بكتريا تنتج الجذور الشعرية مع فقدانها إيجابية الكشف عن وجود مجموعة الأوبايين Opine بواسطة نترات الفضة وقد يفسر غياب الأكروبيين إلى انخفاض تركيزه بسبب إدامة عينات لجذور الشعرية نترات عديدة تصل إلى عشرة نقلات لفترات طويلة نسبيا وأيضا إلى سلالة بكتريا المستخدمة وهذا ما يحدث أيضا مع سلالة بكتريا *A. Tumefaciens* المكونة للأورام نتاجية (17).

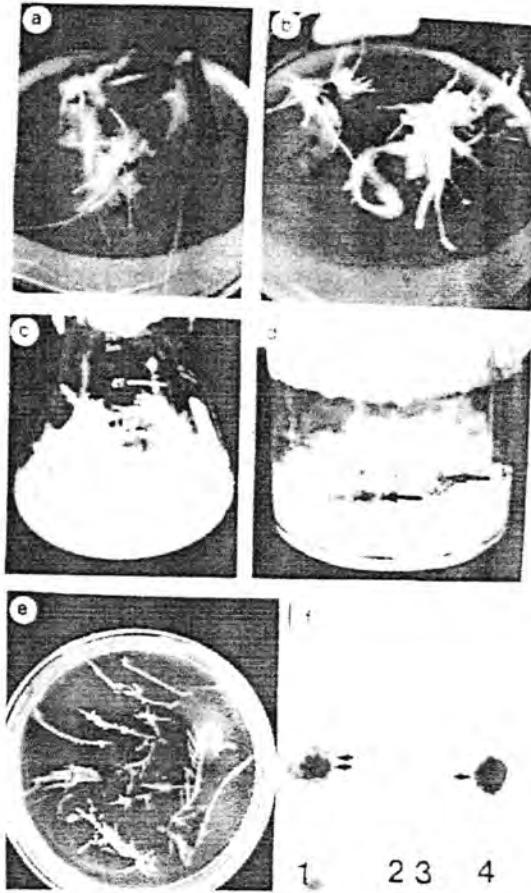
إن الدراسة الحالية تناولت اختبار أجزاء مختلفة من العينة النباتية للتعرف على درجة تداخلها مع البكتريا وهذه يمثل جانبا من جوانب التلاعب بالعائل النباتي (18) وقد يترتب عن نشوء

هذه الجذور الشعرية المحولة وراثيا إمكنية عزل بروتوبلاست محول وراثيا⁽¹³⁾ يستخدم لإنتاج نباتات محولة وراثيا من الكالس المشتق من هذه الخلايا أو باستخدام الكالس مباشرة من هذه الجذور وإنشاء النباتات الكاملة علما بان الكالس المتكون بهذه الطريقة يعتبر بسيجا محولا وراثيا ولا يتوقع ان تحصل فيه تغيرات وراثية مشابهة للتغيرات التي تحصل في المزارع الاعتيادية من الكالس. وعلى أي حال فأن هذه الدراسة تمنح الإمكانية للحصول على النباتات المحولة وراثيا من خلال نقل الجين المسؤول عن هذه العملية بصورة مشابهة لحالة التحول الوراثي بواسطة بكتريا *A. Tumefaciens*⁽¹⁹⁾.

ونستنتج من هذه الدراسة بأن الحصول على جذور شعرية محولة وراثيا قد تعتبر طريقا مباشرا للحصول على نباتات بنجر سكري محولة وراثيا وهذا التصور يعتبر أحد الأهداف لدراسة أخرى مستمرة بهذا الاتجاه.

التشكرات

يشكر الباحثين كل من المنشأة العامة للسكر في الموصل لتجهيزهم ببذور البنجر السكري (الصف Coralla) والامتاذ الدكتور E.W.Nester على ارساله السلالة البكتيرية R 1601 و الدكتور Y.Dessaux على ارساله الاكروبيين القياسي.



شكل 1. تكوين الجذور الشعرية المحولة وراثياً على قطع نباتات البنجر السكري *B.vulgaris* بتلقيحها المباشر
 ببكتريا *A.rhizogenes* R1601

- a. جذور شعرية متكونة على سويق الورقة C1 نامية في وسط MS (الخالي من منظمات النمو).
 b. جذور شعرية متكونة على نصل الورقة C4 نامية في وسط MS (الخالي من منظمات النمو). c. مزرعة
 نامية من الجذور الشعرية في وسط MS الصلب الخالي من منظمات النمو لاحظ غزارة الشعيرات عليها.
 E,d بداية تضخم واستطالة الجذور الشعرية في (c) (الجزء المؤشر) f. ورقة الكروماتوكرافيا مبيناً عليها
 بقع الأكرابين القياسي والأكروبيين المعزول من الجذور الشعرية المحولة وراثياً. 1. عينة الجذور
 الشعرية المحولة وراثياً 2. عينة جذور النبات البذري (مقارنة غير متجح). 4. عينة الأكرابين القياسي.

المصادر

1. FAO Report, Monthly Bulletin of Statistics for April, Rome, Italy.
2. Mohammed, A.M.S. and Abood, S.A. (1990) Growth and Sucrose content of Sugar Beet Callus. Iraqi J. Biol.Scs. 10:13-27. (1987).
3. Stougaard, J. Agrobacterium Rhizogenes as a Vector for transforming higher plant. (In: Methods in Molecular Biology. Vol. 49. Ed. H. Jones Hungria Press. Inc. Totowa N.J.). (1999).
4. Morgan. A.J.; Cox, P.N.; Turner, D.A.; Peel, E.; Davey, M.R., Garthand. K.M.A. and Mulligan. B.J. Transformation of tomato using an Ri-plasmid vector. Plant Sci. 49: 37-49 (1987).
5. Charlotte H.; Hanisch ten C.; K. Sree R.; Paul D. and Bram de G. Genetic stability of Cultured Hairy Roots induced by Agrobacterium Rhizogenes on tuber discs of potato cv. Plant Sci., 49: 217-222. (1987).
6. Yassin.J.M. Transformation of Trigonella Foenum - Graceum by Ti. Ri plasmid of Agrobacterium. M. Sc. Thesis. Uni. of Mosul (in Arabic). (2000).
7. Lindsey. K. and Gallois. P. Transformation of sugar beet (Beta Vulgaris by Agrobacterium Tumefaciens. J. Exp. Botany. 41: 529-536. (1990)
8. D'Halluin, K.; Bossut. M.; Bonne, E.; Mazur, B.; Leemans J. and Botterman, J. Transformation of sugar beet (Beta Vulgaris L.) and Evaluation of Herbicide resistance in transgenic plant. Bio/Technology. 10: 309-314. (1992).
9. Hall. R.D.; Bruirisma. T.R.; Weyens.G.J.; Rosquin. I.J.; Denys. P.N.; Evans. I.J.; Lathouwers. J.E., Lefebure, M.P.; Dunwell. J.M.; Tunen. A.V. and Krens. F.A. A high efficiency technique for the generation of Transgenic Sugar Beets from Stomatal guard cells. Nature Biotechnology. 14 1133 - 1138. (1996).
10. Ritchhi. G.A.; Short. K.C. and Davey, M.R.; In vitro shoot regeneration from Callus Leaf Axils and Petioles of Sugar Beet (Beta Vulgaris L.) J. Exp.Botany. 40: 277 - 283. (1989).
11. Al-Mallah. M.K., Davey. M.R. and Cocking.E.C. In Zymatic treatment of Clover Root Hairs removes a barrier to Rhizobium -host specificity. Bio Technology. 5: 1319 -1322. (1987).
12. Murashige.T. Skoog, F. A revised medium for rapid growth and bio assays with Tobacco Tissue Cultures. Physiol. Plant. 15: 473 - 497(1962).

13. Al-Mallah, M.K. and Cocking, E.C. Protoplast isolation from transformed hairy roots of Solmanum Dulcamara. Dirasat. Natiral and Engineering Sciences. 24: 521 - 527. (1997).
14. Scott, D.B. and Ronson, C.W. Identification and mobilization by cointegrate formation of a nodulation plasmid in Rhizobium Trifolii. J. Bact. 151: 36 - 43. (1982).
15. Tepfer, D.A. and Tempe, J. Production of diagenopine par des racines formees sous l'action Agrobacterium Rhizogenes. Acad. Sci. Paris. Ser.III, 292: 212 - 218. (1981).
16. Tepfer, d The Biology of Genetic transformation of higher plants by Agrobactrium Rhizogenes. In: Molecular Genetic of bacteria-plant interaction. (Ed. Puhler.A.) Springer Verlag. Berlin. pp. 248 - 258. (1983).
- 17.17 Dahl. G. P. Guyon: P. Petit and J. Tempe. Silver nitrate positive opinesin Crown gall tumors. Plants Sci. Lett. 32: 193 - 203. (1983).
18. Offringa, R. and P. Hooykaas Gene Targeting in Olants . Ed. M.A. Vega. CRC. Press. Florida. USA. (1995).
19. Hooykaas. P.J.J. and Beijersbergen The virulence system of Agrobacterium Tumefaciencie. Ann. Rev. Phytopath. 32: 157 - 159. (1994).

حدوث فايروس الروتا في الأطفال و اشتراكه مع مسببات الإسهال و الميكروبية

احسان شفيق دميرداغ الوندائي و ايمان ناطق ناجي

قسم علوم الحياة / كلية العلوم / الجامعة المستنصرية

ABSTRACT

Two hundred infants (ages 1 to 24 month) suffering from diarrhea and 50 other without diarrhea (healthy controls) were examined in three different hospitals in Baghdad. The study lasted from July 1997 to Jan 1998. Stool samples were obtained before the onset of any treatment and the microorganisms were cultured and identified, while slide latex agglutination test was used for detection of Rotavirus. These examinations revealed the occurrence of enteropathogenic *E.coli* (EPEC) in 48.8% of the samples and Rotavirus in 32.5% of diseased cases and no Rotavirus in the healthy controls. The other identified microorganisms were: *Klebsiella sp.*, *Salmonella sp.*, *Shigellasp.*, *Entamoeba histolytica*, *Giardia lamblia* and the yeast *Candida albicans*. Out of the 65 positive Rota cases. 30 were associated with the other microbes and of these 30 cases 19 were associated with EPEC. Most of these EPEC isolates were the serotype 0111. It was found that 63.2% of total EPEC positive. Rotavirus was also associated with other microbes. but with much less percentages except *Candida albicans*. Since three samples of the 6 *Candida* positive contained Rotavirus. The virus purified from the stool of one patient it's anti-serum was prepared in a rabbit. The titer of the complement fixation test using this antisem ranged between 8 to 512 in the Rotavirus positive samples by latex agglutination test. Meanwhile. complement fixation was not detected in the Rotavirus negative samples. These results suggested the presence of three different strains of the virus in the collected samples.

الخلاصة

اجري فحص 200 طفل (بعمر شهر واحد الى 24 شهراً) مصابين بالإسهال ، وخمسين طفلاً آخر غير مصابين بالإسهال كمجموعة السيطرة في ثلاث مستشفيات في بغداد . امتدت الدراسة من بداية شهر تموز 1997 لغاية كانون الثاني 1998 . جمعت نماذج البراز من

الجدول رقم (1) اشتراك فايروس الروتا مع المسببات المرضية الأخرى

العدد 30 (%)	الكائن المجهرى
19* (63.4)	<i>EPEC</i>
2 (6.07)	<i>Klebsiella spp</i>
1 (3.3)	<i>Salmonella spp</i>
0 (0 , 0)	<i>S.dysentaria 1</i>
5 (16.6)	<i>E.histolytica</i>
0 (0 , 0)	<i>G.lambliu</i>
3 (10)	<i>Candida sp</i>

• يمثل النمط المصلي 0111 (15) حالة و النمط المصلي 0142 (4) حالات الاصابة المشتركة.

جدول رقم (2) : درجات مقنوب التخفيف (العيارية) التي انتبت عندها تثبت المتممة مع العزلة رقم (1) التي حضر بها المصل المضاد (Homologous) ومع العزلات الاخرى المغايرة (Herterologous) .

Stool sample		Crude H.R.V antigen C.F.T titer with E v serum
(18B)	1	128
(5M)	2	64
(20M)	3	128
(63M)	4	128
(27M)	5	64
(87M)	6	64
(45B)	7	64
(43M)	8	128
(1M)	9	128
(1E)	10	512
(104M)	11	128
(16M)	12	128
(17E)	13	8
(73M)	14	256
(101M)	15	64
(-VE Control)	16	(-)

المصادر

1. Baron, E.J.; Chang, R.S.; Haward, D.H.; Miller, J.N. and Turner, J.A. Medical Microbiology: A short course. Copyright. (1994).
2. Makkia, M.; Al-Tikriti, S., Al-Rawi, F and Al-Shahwani, Y. Diarrhoeal diseases in infancy and early child hood. Iraqi Medical, J. No 1 and 2:27-33. (1978).
3. Leksomboon, U; Echeverria, P.; Suvongse, C and Duangmani, C. Viruses and Bacteria in pediatric Pathogens. Am. J. Trop. Med. Hyg. 30(6): 1281-1290, (1981).
4. Ryan, M. J.; Ramsay, M.; Brown, D., Gay, N.J; Farrington, C.P and wall, P.G. Hospital admissions attributable to rotavirus infection in England and Wales. J. Infec. Dis. 174:12-19, (1996).
5. Al-Falluji, M.M.; Salman, M.A.; Al-Ruznamaji, Nand saeed, J. M. A study of some enteropathogens isolated from children with diarrhea in Baghdad. J. Biol. Sci. Res. 18(1): 113-126. (1987).
6. يونس، ضياء عبد الحي، دراسة بكتريا الايشريشيا القولونية الممرضة والسامة للأمعاء وحمات الروتا المعزولة من الاطفال المصابين بالاسهال ومن مدينة الموصل، رسالة ماجستير، كلية العلوم - جامعة الموصل، (1989).
7. Abbas, N. L., A-Hadithi, T.S and Al-Attar, A. Incidence of rotavirus gastroenteritis among infants and young children in Baghdad. J. Comm. Med.. 1(1): 39-45, (1989).
8. Al-Nakshabendy, T.Y. Rotavirus gastroenteritis among infant sand young children in Mosul. Thesis M. Sc, Mosul University, (1993).
9. Sood, R. Medical Laboratory Technology: Methods and interpretation. 4th ed, Jaypee Brothers Medical publishers. (1994).
10. Cowan, S.T. and Steel, A. Manual for the identification of medical bacteria. 2nd ed. Conbridge press, (1974).
11. Koneman, E.W.; Allen, S.D. and Jaunda, W. M. C. Colorplates and text book of Diagnostic Microbiology. 4th ed. J.B. Lippin cott Company; (1992).
12. Bryant, N.J. Laboratory Immunology and Serology. 2nd ed. W.B. Saunders Company-Philadelphia London Toronto. (1986).
13. Matsuno, S and Inouye, S. Purification of an outer capsid glycoprotein of neonatal calf diarrhea virus and preparation of its antisera. Infec. Immun, 39(1): 155-158, (1988).

14. البياتي، ايمان ناطق، عزل و تشخيص مسببات الامهال البكتيرية و فايروس الروتا في الاطفال الرضع. رسالة ماجستير، كلية العلوم، الجامعة المستنصرية. (1998).
15. Hambraeus, B.A., Hambraeus, L.E. J. and Wodell, G. Animal model of rotavirus infection in rabbits protection obtained without shedding of viral antigen, Arch. Virol, 107: 237-251. (1989).
16. Roger, B.H.; Walter, O.A. and Joel, K.N. Rotavirus vaccines- From licensure to disease reduction. J. Infec. Dis.. 174: 118-125. (1986).
17. Fox, W. Advances in tuberculosis research. Serology of tuberculosis and B.C.G. Vaccination. Karger Company. (1984).
18. Franco, M.A.; Feng, N and Greenberg. H.B. Molucular determinants of immunity and pathogenicity of rotavirus infections in mous model. J. Infec. Dis. 174: 47-51. (1996).
19. Ishida, S.; Feng, N.; Tang, B.; Gilbert, J. Mand Greenberg. H.B. Quantidication of systemic and local immune responses to individual rotavirus proteins during rotavirus infection inmice J. Clin. Microbiol. 34(7): 1694-1700. (1996).
20. Smith, J. W. Rotavirus gastroenteritis (Review article). Arch. Dis in child hood. 53: 355-362. (1978).
21. Zisis, G. and lambert. J.P. Defferent serotypes of human Rotaviruses. The lancet. Jam. Of 1978: 38-39. (1978).

حساب بعض العوامل الدالة على السمية الحادة لمبيد الكلايفوسيت العشبي في النوع *Moina affinis*

سهيلة صبار الدليمي و هناء حنين منكلو* و علي عبد الزهرة اللامي و انعام كاظم عباس
قسم الأسماك، دائرة البحوث الزراعية والبيولوجية، ص.ب 765، بغداد - العراق
* قسم علوم الحياة، كلية العلوم، الجامعة المستنصرية، بغداد - العراق

ABSTRACT

The effects of acute exposure of Cladocerans *Moina affinis* to Glyphosate Herbicide were studied by means of estimating the median lethal concentration (LC50) which were 11.01, 9.44, 6.51 and 4.29mg / l for an exposure time of 24, 48, 72 and 96 hr., respectively, it was evident that these values were smaller than that published by other toxicity studies which reflects the higher toxicity of this herbicide in *Noina affinis*. some other parameters were calculated, these were, the lethal concentration of all individuals (25.6 mg/l for 24 hr. exposure time), non lethal concentration (3.2 mg/l for 24 hr.), safe concentration and death ratios, the latest once expressed for 120 hr. exposure time. The death ratios increased when the Glyphosate concentrations was increased.

الخلاصة

درس تأثير التعرض الحاد لمبيد الكلايفوسيت في النوع *Moina affinis* من خلال ايجاد قيمة متوسط التركيز المميت لنصف العدد LC50 خلال فترات تعرض 24 و 48 و 72 و 96 ساعة فكانت 11.01 و 9.44 و 6.51 و 4.29 ملغم / لتر على التوالي وقد تبين ان هذه القيم قليلة عند مقارنتها مع الدراسات المنشورة في هذا الاتجاه مما يشير الى سمية هذا المبيد للنوع *Moina affinis*، كما وجد التركيز المميت لكل العدد LC100 والتركيز غير المميت LCO خلال 24 ساعة من التعرض وقد بلغ 25.6 و 3.2 ملغم / لتر على التوالي. كما حسب التركيز الآمن Safe Concentration. وتضمنت الدراسة كذلك تقدير النسب المئوية للهلاك خلال فترة

التعرض الحاد البالغة 120 ساعة فثنين ان حساسية الأفراد تزداد بزيادة الفترة الزمنية للتعرض وان النسبة المئوية للملاكات تتناسب طرديا مع التراكيز.

المقدمة

تصل المبيدات الى البيئة المائية من خلال تسرب هذه المبيدات بطريقة الرش المباشر او غير المباشر مع مخلفات المصانع الى النظام البيئي وقد يرتبط جزء كبير من هذه المبيدات مع المواد العضوية بينما يبقى جزء اخر على هيئة محلول في النظام البيئي وقد يصبح ساما للعديد من الكائنات المائية غير المستهدفة^(1,5). ومن بين الاحياء غير المستهدفة التي تدولها البحث النوع *Moina affinis* وهو من الانواع التابعة لرتبة متفرعة اللوامس Cladocera والتي تمتلك اهمية كبيرة من الناحية الاقتصادية^(1,4). وقد درس البحث التأثيرات السمية الحادة لمبيد الكلايفوسيت العشبي وهو من المبيدات الميمية من ناحية الاستخدام في القطر⁽³⁾ وهو ذو تأثير غير انتخابي nonselective واسع الضيف لذا فهو يشكل خطرا كبيرا على الاحياء المائية غير المستهدفة⁽¹¹⁾.

المواد وطرائق العمل

عزل النوع *Moina affinis* المستخدم في التجارب من احواض تربية الاسماك في الزعفرانية وصنف باستخدام المجهر الضوئي المركب نوع Olympus وباستخدام مفاتيح تصنيفية خاصة⁽⁴⁾.

زرع النوع في دوارق زجاجية تحتوي على الماء المعمر وخليط من الطحالب كوسط زرعي وبدرجة حرارة لا تزيد عن 25^o مع تزويدها بالأكسجين باستخدام مضخة هواء صغيرة وبفترة اضاءة 12 ساعة و 12 ساعة ظلام.

محلل الاختبار

استخدام في التجربة مبيد الاعشاب الكلايفوسيت المصنع محليا بتركيز 48% حيث تم اضافة 0.1 مل من المبيد الى قنينة حجمية سعة 250 مل للحصول على المحلول الخزين Stock solution لهذا المبيد بتركيز 192 ملغم / لتر ومنه حضرت التراكيز التالية : 0.3، 3.2، 6.4.

9.6 ، 12.8 ، 25.6 ملغم / لتر. لدراسة التأثيرات السمية الحادة Acute toxicity ليذا المبيد في النوع *Moina affinis*.

عرضت 10 حيوانات صغيرة العمر لكل تركيز من التراكيز المحضرة مسبقاً وبواقع ثلاث مكررات، وضعت الحيوانات العشرة لكل مكرر في حاوية زجاجية تحتوي على 30 مل من محلول المبيد المحضر بالتركيز المطلوب، اما مجموعة السيطرة المؤلفة من 10 حيوانات ذوات اعمار 24 ساعة ايضاً فوضعت في حاويات زجاجية على 30 مل من الماء المعمر وبثلاث مكررات ولم تزود الحيوانات المعاملة بالمبيد ولا مجموعة السيطرة بأي غذاء طيلة فترة التجربة كما لم يتم تغيير محاليل الاختبار⁽¹⁶⁾، حفظت جميع العينات في الحاضنة لأبقاء درجة الحرارة ضمن مدى تحمل النوع. وبعد انتهاء فترة المراقبة البالغة 120 ساعة تم ايجاد قيم العوامل التالية:

1- متوسط التركيز المميت لنصف العدد (LC50) Median lethal Concentration

هو تركيز المادة السامة التي تسبب قتل 50% من حيوانات الاختبار⁽¹⁵⁾. تم ايجاد قيم الـ LC50 خلال 24 و 48 و 72 و 96 ساعة من التعرض لمبيد الكلايفوسيت وذلك باستخدام طريقة تحليل الاحتمالية Probit analysis⁽¹⁰⁾ حيث تحول قيم التراكيز الى اللوغاريتم المقابل، امم النسب المئوية للهلاكات فتحول الى وحدات احتمالية ليمثل المحور السيني قيم لوغاريتم التراكيز ويمثل المحور الصادي وحدات الاحتمالية ويتم رسم خط بياني بين نقاط تقاطع المحورين بطريقة الانحدار الخطي Linear regression ثم يتم تقاطع الرقم 5 من وحدات الاحتمالية مع العمود النازل الى المحور السيني والذي يمثل قيمة التركيز المميت بعد تحويل الرقم الى مقلوب اللوغاريتم⁽¹²⁾.

2- التركيز المميت لكل العدد LC 100

وهو التركيز الذي يسبب نسبة هلاك 100% خلال 24 ساعة من التعرض.

3- التركيز غير المميت LCO

وهو التركيز الذي لايسبب هلاكات خلال فترة تعرض 24 ساعة.

4- التركيز الآمن (Safe Concentration) SC

هو اعلى تركيز للسموم ليس له تاثير واضح بعد التعرض طويل الامن⁽⁷⁾. واستخرجت قيمته باستخدام المعادلة التالية :

$$SC = \frac{LC50(24hr) \times 0.3}{[LC50(24hr) / LC50(48hr)]x}$$

حيث $x = 2$ او 3 ⁽²⁾

5- النسب المئوية للياحكات

تم حساب النسبة المئوية لبلاك افراد النوع *Moina affinis* بعد فترة التعرض الحاد لعدة تراكيز من مبيد الكلافوسيت خلال فترة التعرض البالغة 120 ساعة.

النتائج والمناقشة

ان قيمة متوسط التركيز المميت لنصف العدد LC50 لمبيد الكلافوسيت في النوع *Moina affinis* كانت 11.05 ملغم / لتر خلال فترة تعرض 24 ساعة اما قيمته بعد 48، 72، 96 ساعة فكانت 9.44 و 6.51 و 4.29 ملغم / لتر على التوالي (الشكل 1، 2، 3، 4). ان هذه تقيد الواظفة لمبيد الاعشاب الكلافوسيت تدل على سميته لهذا النوع من متفرعة اللوامس اذ ان منظمة الصحة العالمية WHO قد حددت سمية هذا المبيد في النوع *Daphnia Magna* ما بين 24-42 ملغم / لتر⁽⁶⁾. كما ان قيمة اعد LC50 خلال 48 ساعة المسجلة في الدراسة الحالية 9.44 ملغم / لتر هي اقل بكثير من التي توصل اليها احمد⁽¹⁾ وهي 21.88 ملغم / لتر في دراسته عند استخدامه نفس المبيد تجاه النوع *D.magna* وهذا يشير الى الحساسية الشديدة التي ابدتها النوع *Moina affinis* لهذا المبيد وهو ليس بالأمر الغريب لأنواع التابعة لمتفرعة اللوامس⁽⁶⁾. اما قيمة التركيز المميت لكل العدد LC100 فكانت 25.6 ملغم / لتر اذ تسبب هذا تركيز ببلاغ 100% من حيوانات تجريبية خلال 24 ساعة، وقد لوحظت حركات ارتعاشية وتشنجات للحيوانات المعرضة لتراكيز عالية من هذا المبيد ومنذ الساعات الاولى للتعرض مما يدل على ان لهذا المبيد تأثيرات عصبية في هذا النوع من متفرعة اللوامس وهذه الحالة معروفة

لمبيدات الفسفور العضوي⁽⁸⁾. اما قيمة التركيز غير المميت LCO لهذا المبيد خلال 24 ساعة من التعرض فقد بلغت 3.2 ملغم / لتر.

اما فيما يخص التركيز الآمن فقد اظهرت نتائج الدراسة ان قيمته عندما $x = 2$ كانت 1.416 ملغم / لتر و 0.944 ملغم / لتر عندما $x = 3$ ومن المعلوم ان قيم التراكيز الآمنة تختلف باختلاف النوع وهذا ما أشار اليه العبيدي⁽²⁾ عند دراسته لسمية بعض مخففات مصفى الدورة في نوعين من متفرعة التوامس هما النوع *D.magna* و *Simocelhalus exispenosus*. وقد سجلت افراد النوع *Moina affinis* نسب هلاكات مختلفة باختلاف التراكيز المعرضة لها وبمرور مدة التعرض (جدول 1) فقد سجلت اعلى نسبة للهلاك عند تركيز 19.2 ملغم / لتر خلال 24 ساعة وبلغت %70 اما في التركيزين 3.2 و 0.3 ملغم / لتر فلم تسجل أي نسبة هلاك خلال 24 ساعة ويلاحظ هلاك جميع حيوانات التجربة عند اغلب التراكيز خلال 120 ساعة عدا التركيزين 3.2 و 0.3 ملغم / لتر حيث سجلا نسبة هلاك %25 و %12.5 على التوالي. ويظهر ان النسبة المئوية للهلاكات تزداد بزيادة تراكيز المبيد وبزيادة فترة التعرض أي وجود علاقة طردية بين قيم التراكيز والنسب المئوية للهلاك وفترة التعرض، وهذا يتفق مع العديد من الدراسات فقد لوحظ وجود علاقة عكسية قوية بين تراكيز مبيد الكلافوسيت ومتوسط نسبة البقاء للنوع *D.magna* عند تعريضها للمبيد بظروف بيئية مختلفة. كما وجد ان النسب المئوية للهلاكات تتأثر ببعض الظروف مثل اضافة الغذاء⁽¹³⁾ وقد لوحظ ان حدة الهلاكات لأنواع من متفرعة اللومس تزداد بزيادة تراكيز العناصر الثقيلة⁽⁴⁾.

حساب بعض العوامل الدالة على السمية الحادة لمبيد الكلافوسيت العشبي في النوع *Moina affinis* سهيلة صبار الدلمسي وجماعتها

جدول (1) النسب المئوية لهلاك افراد النوع *Moina affinis* المعرضة لمبيد الكلافوسيت خلال فترة 120 ساعة

النسبة المئوية للهلاك					الوقت/ساعة
120	96	72	48	24	التركيز ملغ/لتر
0	0	0	0	0	سيطرة Control
100	100	100	100	100	25.6
100	100	100	80	70	19.2
100	87	68	62	44	12.8
100	70	62	50	37.5	9.6
100	65	50	20	12.5	6.4
25	12.5	12.5	0	0	3.2
12.5	12.5	0	0	0	0.3

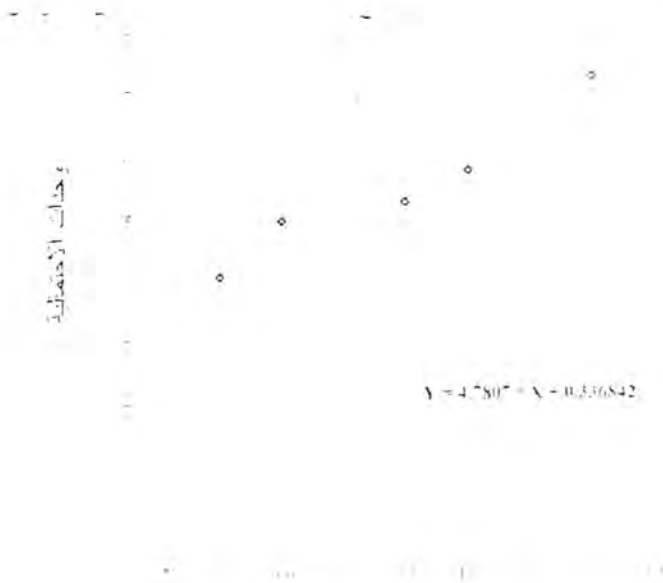
وهذا الامتصاصية

$$Y = 5.26316 \times X - 0.484211$$

0.5 1 1.5 2 2.5 3 3.5 4 4.5 5

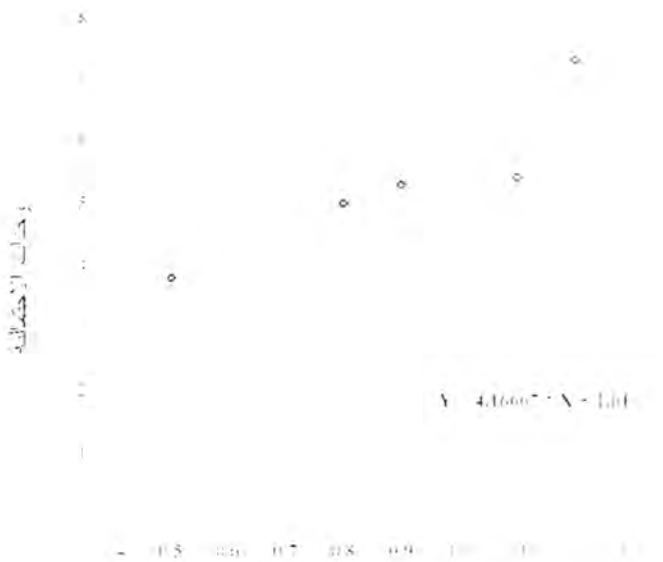
توزيع التركيز (ملغ/لتر)

شكل (1): خط تسمية الكلافوسيت في النوع *M. affinis* بعد 24 ساعة من التعرض



تو عرفة التركز (مغذ/لتر)

بحدات الاحتمالية بعد 48 ساعة من التعرض



تو عرفة التركز (مغذ/لتر)

بحدات الاحتمالية بعد 72 ساعة من التعرض



شكل (4) خط سمية لمبيد الكلايفوسيت في حوض *Moina affinis* بعد 96 ساعة من التعرض لتركيزه (مستعديراً)

المصادر

1. احمد، ندى السيد حن، تأثير مبيد الأعشاب كـلايفوسيت Glyphosate في برغوث الماء الدافيني *Daphnia magna* تحت ظروف بيئية مختلفة، رسالة ماجستير - كلية التربية للبنات / جامعة بغداد، (1999).
2. العبيدي، محمد جابر، سمية مخلفات مصفاة دورة على بعض اللافقرديات المائية، رسالة ماجستير - كلية التربية للبنات / جامعة بغداد، 72 صفحة (2000).
3. العطار، ايمان عبد علي، تأثير مبيد الكلايفوسيت في اسماك الكارب الاعتيادي في حالتي وجود الاوكسجين ونقصه، رسالة ماجستير، كلية التربية / جامعة بغداد، (1998).
4. رشيد، خالد عباس، استخدام بعض الهياض الحيوانية دليلاً حيويماً على تلوث المياه بالعناصر الثقيلة، صراحة دكتوراه، كلية علوم / الجامعة المستنصرية 152 صفحة . (1999).

5. سمير ، صالح حسن ، التقويم الحيوي والبيئي والكيميائي لعبيد الكلايقوسيت عند استخدامه لمكافحة القصب البري *Phragmites australis* في احواض الاسماك، اطروحة دكتوراه، كلية الزراعة / جامعة بغداد ، (1996).
6. Al-berdi, J.L. ; Saenz, M.E; Dimario, W.D. and Tortorelli, M.C. Comparative acute toxicity of Two Herbicides, Paraquat and glyphosate, to *Daphnia magna* and *Daphnia spinulata*. Bull. Environ. Contam. Toxicol., 57, 229-235. (1996).
7. APHA. American public health association standard methods for the examination of water and waste water, (1985).
8. Doull, J.; Klaassen, D.C. and Amdur, M.O. Casarett and Doulls Toxicology, the basic science of poisons. 2nd macmillon publishing co, Inc. USA. 778 p. (1980).
9. Edmondson, W.T. Fresh water biology. New York. John Wiley and Sons, Inc. (1959).
10. Finny, DJJ. Probit analysis. Cambridge University Press. London. (1971).
11. Gardner, S.C. and Crue, C.E. Effects of Rodeo R. and garlon R3A on non target wetland species in central washington Environ. Toxicol and Chemistry 15: 4, 441-451. (1996).
12. Goldstein, A.; Aronow, L. and Kolman, S.M. Principle of drug action. 2nd ed. John Wiley and Sons, Toronto, Canada. (1974).
13. Jack, R.G.; Maas, J.L. and Scholten, M.C. Ecotoxicity of 3,4-dichloroaniline in enclosed fresh water plankton communities at different nutrient levels. Ecotoxicology, 7:1, 49-60 (1989).
14. Ross, S.M. Toxic metals in soil – plant systems. Dept. of Geography. University of Bristol, U.K. John Wiley and Sons. (1994).
15. Sang Hong, J. and Reish, D. Acute toxicity of cadmium to eight species of marine Amphipod and Isopod Crustaceans from southern california Bull. Environ (1987).

دراسة الأذن الداخلية لسمكة الجرب الاسيوي *Silurus triostegus*

1. الوصف المظهري Morphological description

ايمان سامي احمد الجميلي* و حسين عبد المنعم داود*
 *قسم علوم الحياة - كلية التربية (ابن الهيثم) - جامعة بغداد - العراق

ABSTRACT

Silurus triostegus has a pair of embedded inner ears, each one situated in otic capsule of the skull and on the lateral side of hind brain. The inner ear contains two structures, the first one called Osseous Labyrinth (OL), while the second called Membranous Labyrinth (ML). The last found inside (OL). The (OL) appear in a shape similar to that of (ML) with the exception of some parts. The study shows that the inner ears (OL and ML) consist of three semicircular canals (SCC). These were two vertical (Anterior and posterior) semicircular canal (ASCC) (PSCC) and one lateral (LSCC). The anterior end of each (SCC) enlarged to form Ampulla. The posterior ends of (ASCC) and (PSCC) join to form crus commune. There are three chambers in (OL) and three saccular structures called otolith organs found in (LM), the first called Utriculus (U), the second sacculus (S) and the third lagena (L). there is a canal between U and S called Utriculo-Saccular canal. There are solid structures found in (U), (S) and (L) formed from calcifying secretions called otoliths.

الخلاصة

تمتلك سمكة تجري الاسيوي زوج من الأذان الداخلية مضمورة داخل زوج من العلب السمعية في الجمجمة وعلى جانبي الدماغ الخلفي وتتألف الأذن الداخلية من تركيبين الأول عظمي يدعى بالتيه العظمي Osseous Labyrinth والثاني غضائي يدعى بالتيه الغضائي Membranous Labyrinth يقع الثاني داخل الأول ويتخذ التيه العظمي شكلاً مشابهاً لشكل التيه الغضائي إلا أن بعض الأجزاء التيه العظمي تكون غير متكاملة. تتألف الأذن الداخلية (التيه العظمي والتيه الغضائي) لسمكة موضوع الدراسة من ثلاث أقبية نصف دائرية Semicircular

canals اثان منبأ عمودية واحدة امامية واخرى خلفية اما الثالثة فجانبية كما يوجد عند النباية الامامية لكل قناة نصف دائرية اتساع مكوناً الانبورة Ampulla وترتبط النباية الخلفية لكل من القناة النصف دائرية الامامية والخلفية مكونة الساق الاصلى Crus Commune. توجد ثلاث حجيرات عظمية في النيه العظمي وثلاث تراكيب كيسية في النيه الغشائي تعرف بالأعضاء الحصوية يدعى الأول بالقريبة Utriculus والثاني بالكيس Sacculus والثالث بالقريبة Lagena كما توجد قناة تربط القريبة بالكيس تدعى بالقناة القريبة الكيسية. وتوجد في الاعضاء الحصوية الثلاث تراكيب صلبة مكونة من افرزات كلسية تدعى بالحصوات السمعية Otoliths.

المقدمة

درس عضو السمع (الأذن الداخلية) في الاسماك من قبل العديد من الباحثين ومنذ امد ليس بالقريب فقد لاحظ⁽¹⁾ Beard ان عضو السمع هو تحويل لجهاز الخط الجانبي لذا اطلق عليه بالجهاز السمعى الجانبي Acoustico-Lateral System وتوالت الدراسات في هذا المجال مما بين الرفض وتأييد عن الأصل الجانبي او العلاقة التطورية بين الأذن الداخلية والخط الجانبي في الاسماك وخيراً اقترح كل من⁽²⁾ Popper and Platt مصطلح Octavolateralis بدلاً من Acoustico-Lateralis الذي سبق الإشارة اليه مستقدين في ذلك الى رأي عدد من الباحثين الذين اشاروا الى ان هذه الاعضاء تتزود عصيباً عن طريق العصب السمعى (العصب الثامن) Auditory Nerve (eighth Nerve) وعصب الخط الجانبي القحفي Lateral Line Cranial Nerve⁽³⁾.

تسير العديد من الدراسات الى ان الأذن الداخلية تتألف من ثلاث قنبة نصف دائرية Semicircular Canals تتسع نبايتها الامامية مكونة الانبورة Ampulla. كما توجد حجيرتين الاولى تدعى بالقريبة Utriculus والثانية تدعى بالكيس Sacculus وينشأ من جدار الكيس بروز يدعى بالقريبة Lagena التي اظهرت الدراسات تبايناً في موقع نشؤها^(4,5,6,7,8). بينت لبحوث وجود تراكيب مكونة من افرزات كلسية صلبة تدعى بالحصوات السمعية Otoliths وتسمى عادة بأسماء خاصة وتظير تبايناً في الشكل والحجم لمختلف الاسماك لذا فلها اعبية من النحة تصنيفية فضلاً عن أهميتها في معرفة عمر السمكة^(9,10,11). ان دراسات مستمرة في هذا المجال ولاواع مختلفة من الاسماك الا ان مراجعة المصادر لم تشير الى وجود دراسة عن الأذن الداخلية للاسماك في العراق مما كان محفزاً

لاجراء الدراسة الحالية التي تناولت الوصف المظهري للاذن الداخلية في سمكة الجري الاسيوي *Silurus triostegus* Heckel والتي تعد الاولى من نوعياً وهي جزء من دراسة موسعة للتعرف على الوصف المظهري والتركيب النسجي للاذن الداخلية لنوعين من الاسماك العراقية (الخشني (Heckel) *Liza abu* والجري الاسيوي (*Silurus triostegus* Heckel) اماً في ان تصنيف جانبياً اضافياً للمعرفة في هذا الجانب.

المواد وطرائق العمل

استخدمت في الدراسة الحالية اسماك باعثة وبحرود واعداد مختلفة تم الحصول عليها من الاسواق المحلية ضمن الرقعة الجغرافية لمدينة بغداد وقد اختيرت الاسماك الجيدة منها، وبغية الحصول على التيه العشائي لسمكة الجري الاسيوي ودراستها مظهرياً ونسجياً وبعد اجراء عدة محاولات تبين ان الطريقة المثلى لذلك هو تشريح رأس السمكة جزئياً وتثبيتها ومن ثم اكمال عملية التشريح وكما مبين بالخطوات التالية :-

- تم ازالة الجلد والعضلات من الجبهة الظهرية والجوانب تحف السمكة وازيل كل من الفك السفلي Lower Jaw والقوس اللامي Hyoid Arch لاجل تشذيب الرأس⁽¹¹⁾.
- ازيلت العظمين الجببيين Frontal Bones والعظمين الحناريين Parietal Bones بحذر لكشف الدماغ.
- ازيل الدماغ بعناية فائقة بغية تسهيل تغلغل المثبت الى اجزاء التيه العشائي.
- تثبيت الرأس في محلول بون المائي Aqueous Bouon's لمدة 18-24 ساعة وفق طريقة⁽¹²⁾ Buncroft and Steverns ولأجل استخراج التيه العشائي Membranous Labyrinth للاذن الداخلية استخدم مجهر تشريح نوع Heerbrugg Switzerland (WILD M3Z) واتبعت الخطوات الآتية :-
- ازيل غشاء الصفاق المبطن لتجويف القحف الذي يغطي الاجزاء المكشوفة من التيه العشائي.
- ازيلت عظام العنية السمعية Otic capsule من الجبهة الظهرية⁽¹¹⁾ وبضفاف الكحول الايثيلي 70% للنموذج عند التشريح لمنع جفافه.
- ولفصل التيه العشائي عن العظمي أجريت سلسة من المحاولات التي اوضحت ان الطريقة المناسبة تتم باستخراج انفاة النصف دائرية الامامية والخلفية بدءاً من

نقطة ارتباطها أي عند قمة الساق الأصلي ونستمر تباعاً إلى أن نصل إلى الثبورة كل قناة أما القناة النصف دائرية الخلفية فيتم استخراجها بدءاً من إنبورتها وصولاً بنقطة ارتباطها بأسفل الساق الأصلي وفي بعض الأحيان استخدم جياز حشوة الاسنان Dentory Motor (صنع محلي) لأجل استخراج القناة النصف دائرية الخلية للجري الآسيوي.

- أزيلت العظام المغشية للكيبس والفئينة ثم أزيلت العظام التي تستقر عليها في قاع تجويف القحف وذلك لاستخراجها كاملة وتم حفظها بالكحول الأثيلي 70%.
- بغية توضيح التيه العظمي وتصويره استخدمت الوان زيتية ثم صور باستخدام كاميرا اعتيادية (Canon F1).
- تم تصوير ورسم اجزاء التيه العشائي كاملة باستخدام كاميرة تصوير اعتيادية (Canon F1) ورسمت باستخدام كاميرا لوسيدا Camera Lucida.
- استخراج الحصوات السمعية من القربية والكيبس والفئينة ورسمت بكاميرا لوسيدا.

النتائج والمناقشة

تمتلك الفقريات عامة وبضمنها الاسماك زوج من الأذن الداخلية مطبورة داخل زوج العنبر السمعية في الجمجمة وعلى جانبي الدماغ الخلفي Hind Brain⁽¹³⁾ نتائج الدراسة الحالية أكدت هذه الحقيقة كما اظهرت ان الأذن الداخلية في سمكة الجرب الآسيوي تتألف من تركيبين الاول يدعى بالتية العظمي Osseous Labyrinth والثاني يدعى بالتية العشائلي Membranous Labyrinth يقع الثاني داخل الاول أي ان التية العشائلي يلاصق سمحاق العظم المبطن للتية العظمي لكنه بشكل عام يكون حراً وينفصل عن جدار التية العظمي بواسطة اللمف المحيطي Perilymph وتتم اشربة رقيقة من نسيج ضام Connective Tissue محتوية على اوعية دموية عبر فسحة اللمف المحيطي لتعليق التية العشائلي داخل التية العظمي وهذا ما اشار اليه العديد من الباحثين الذين تناولوا في دراساتهم اسماء فقريات اخرى^(15,14,11).

يتخذ التية العظمي شكلاً مشابهاً لشكل التية العشائلي⁽¹⁵⁾ نتائج الدراسة الحالية لسمكة الجرب الآسيوي أكدت هذه المضمون الا ان بعض اجزاء التية العظمي تكون غير كاملة اذ تكون مكشوفة على تجويف القحف وتجويف العنبر السمعية وهذا يتوافق مع ما ذكره Harder⁽⁷⁾ بان

الغلبة السمعية لا تكون معزولة كلياً عن تجويف القحف ولا بد من الإشارة هنا ان مراجعة المصادر التي تم الحصول عليها والتي تناولت هذا الموضوع لم تتضمن تفاصيل دقيقة عن الوصف المظهري للعظمي للأسماك.

تقسم الأذن الداخلية (التيه العظمي والغشائي) في الفقريات بشكل عام لاسيما في الأسماك الى قسمين قسم ظهري علوي Pars Dorso-Superior وقسم بطني سفلي Pars Vento-inferior وفي كل من الأسماك الغضروفية والعظمية يتضمن القسم الأول على الأقبية النصف دائرية Semicircular Canal والقريبة Utriculus اما القسم الثاني فيتضمن الكيس Sacculus والقنبية Lagena^(16,7,6) وهذا يماثل ما موجود في سمكة الجري الآسيوي (شكل 4.3.2.1).

يتألف التيه العظمي من عموم الفقريات والأسماك العظمية خاصة من ثلاث حجيرات او تجاويف عظمية تستقر فيها اجزاء التيه الغشائي والتي تتضمن القربة والكيس والقنبية ويفتح في حجيرة القربة ثلاث قنوات عظمية نصف دائرية تدعى تبعاً لمواقعها بالقناة النصف دائرية العمودية الامامية Anterior Vertical Semicircular Canal والقناة النصف دائرية العمودية الخلفية Posterior Vertical Semicircular Canal اما الثالثة فتدعى بالقناة النصف دائرية الجانبية او الأفقية Lateral or Horizontal Semicircular Canal^(8,2,7,6)، وهذا ما أكدته الدراسة الحالية الا ان القناة النصف دائرية الامامية تكون غائرة في تجويف الغلبة السمعية مبتعدة عن تجويف القحف كما ان القمة النصف دائرية الثالثة تكون جانبية اذ تميل بزواوية ميل 60 درجة تقريباً من المحور الطولي للجسم ولربما يعود السبب في ذلك الى ضيق تجويف القحف في سمكة الجري الآسيوي على الرغم من اتساع سطحه العلوي نتيجة لأنضغاطه من الاعلى والاسفل (شكل 1).

أشارت الدراسات الى وجود اتساع عند النهاية الامامية لكل قناة نصف دائرية تدعى بالانبورة Ampulla^(15,7,6,17). الا ان الدراسة الحالية اظهرت الى ان الانبورة في التيه العظمي تمثل اتساعاً مقعر الشكل يمثل الارضية فقط لتستقر فيها انبورة القناة النصف دائرية للتيه الغشائي (شكل 1) وتحاط انبورة القناة النصف دائرية الامامية بصفيحة عظمية غشائية تستمر الى الخلف لتغطي النهاية الخلفية لانبورة القناة الجانبية لذا فإنهما يحجبان عن تجويف القحف ولربما يعود السبب في ذلك الى ان القناة النصف دائرية العمودية الامامية تكون غائرة في تجويف الغلبة السمعية مبتعدة عن تجويف القحف.

أشارت الدراسات في الفقرات عامة والأسماك خاصة إلى اتصال انبورة القناة النصف دائرية العمودية الأمامية وانبورة القناة النصف دائرية الجانبية أو الأفقية بمقدمة حجيرة القربية بما انبورة القناة العمودية الخلفية فتتصل بحزنها الخلفي^(15,7,17) وهذا ما أكدته نتائج الدراسة الحالية (شكل 1) كما توجد قناة تربط القربية بالكيس تدعى بالقناة القربية الكيسية - Utricle saccular Duct التي تكون مكشوفة من جهتها الجانبية الداخلية على تجويف القحف (شكل 1). بيثت الدراسة الحالية ان التيه العشائي لسكة الحرب الآسيوي يتألف أيضاً من التراكيب لأنفة الذكر في التيه العظمي الا ان التيه العشائي يؤلف بمجموعة تركيب عشائي متكامل ومعلق وان التراكيب الكيسية المتمثلة بالقربية والكيس والقنينة تدعى بالأعضاء الحصوية Otolith Organs وهذا ما أكدته باقي الدراسات^(8,16).

أظهرت النتائج الحالية ان القربية تكون ظهريّة الموقع وتتحرف بزواوية ميل 80 درجة قريباً عن المحور الطولي تحسب اما الكيس فيكون بطني الموقع يقع أسفل القربية مزاحاً إلى الخلف وترتبط القربية بالكيس بقناة متميزة وطويلة نسبياً ومتمجهة إلى الخلف تدعى بالقناة القربية الكيسية (شكل 3.2) ولربما يعود السبب في ذلك لموقع الكيس.

أوضحت الدراسة الحالية لسكة الحرب الآسيوي ان الكيس يكون متطاولاً منبسب طرفين يشبه حبة صنوبر وتتألف القنينة الكروية الشكل من جهته الظهرية الجانبية الخارجية (شكل 5) وهذه النتيجة مشابهة لنتائج التي أوردتها⁽¹⁸⁾ Jensen لكنها مخالفة لما ذكره كل من⁽⁷⁾ Harder و⁽¹⁷⁾ Roner حيث أشار الأول إلى نشوء القنينة بشكل جيب منخفض يقع في أرضية الكيس وقرب نهاية الخلفية بينما أورد الثاني إلى نشوئها من الجدار الظهري الخلفي للكيس. كما أظهرت النتائج الحالية إلى نشوء قناة في وسط الجدار الجانبي الداخلي للكيس تربط التيه مع الأيسر وتدعى بالقناة المستعرضة Transverse Canal (شكل 5) وهذه النتيجة مشابهة للنتائج التي أوضحها كل من⁽¹⁸⁾ Jensen, ⁽¹⁹⁾ Bleckmann,

أشارت الدراسات إلى ان احجام وأشكال الاعضاء الحصوية تظهر اختلافات كبيرة لا سيما في الأسماك طرفية التعظم Teleostei⁽⁷⁾ وهذا يتفق مع الدراسة الحالية إذ ان اشكالها تكررت انفاً اما حجوماً فهي بالتتابع القربية كبيرة نسبياً تليها القنينة واخيراً الكيس (شكل 3) اما فيما يخص الأفقية النصف دائرية فإنها تشابه ما موجود في التيه العظمي الا انها في التيه العشائي كاملة كما ان نهاياتها الخلفية تكون مرتبطة مع بعضها والقربية إذ ترتبط القناة النصف دائرية الأمامية مع الخلفية مكونة الساق الأصلي Crus Commune يكون مضغوطاً من

الجانبين وهذا بدوره الذي يرتبط عند نهايته السفلية بمنصف السطح العلوي لقريبة (شكل 3,2) وهذا ما اكدته باقي الدراسات^(2,7) اما النهاية الخلفية للقناة النصف دائرية الجانبية فأنها ترتبط بقاعدة الساق الاصلية ومن جهته الجانبية الخارجية (شكل 3) وهذا ما اوضحه⁽⁷⁾ Harder ولربما يعود السبب في ذلك الى اختلاف درجة ميل القناة الجانبية اذ انها في سمكة الجري الآسيوي تميل بدرجة 60 تقريباً من المحور الطولي للجسم.

أظهرت النتائج الحالية تقارب التيه الغشائي الايمن مع الايسر في جزئهما الخلفي وهذا يتوافق مع ما اوضحه⁽²⁰⁾ Schneider.

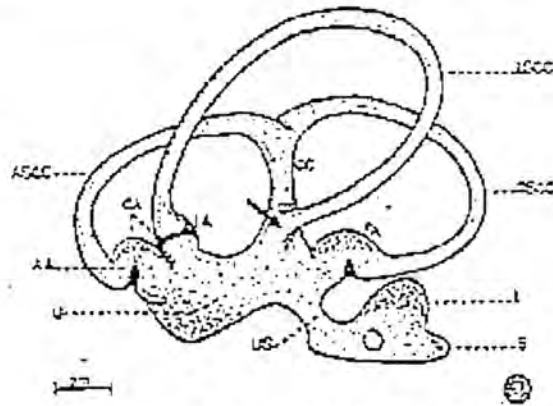
توجد في الاعضاء الحصوية تراكيب صندة مكونة من افرزات كلسية تدعى بالحصوات السمعية Otoliths تسمى بتسميات خاصة فالتى تقع في القريبة تدعى باللابيه Lapillus والتى تقع في الكبيس تدعى بالسويم Sagitta اما التى تقع في القنينة فتدعى بالنجم Asteriscus (شكل 8,7,6) وهذه الحقيقة اكدتها الدراسات السابقة^(7,6).

كما بينت الدراسات اختلاف اشكال واحجام تلك الحصوات في اسماك طريفة التعظم واوردت ان تلك الحصوات خاصة بالنوع مما يجعلها ذات اهمية كبيرة في تصنيف الاسماك^(2,7,6) وهذا ما اكدته نتائج الدراسة الحالية لسمكة الجري الآسيوي.

اشارت الدراسة الحالية لسمكة الجري الآسيوي ان شكل السويم متطاولاً مدبب النهايتين الا ان النهاية الامامية تكون اكثر اتساعاً من الخلفية التي تكون ضيقة (شكل 8) اما النجم فيكون قرصي الشكل Discoidal أي مضغوطاً من الجانبين (شكل 7) وهذا يتفق مع النتائج التى اظهرها⁽²¹⁾ Platt عن دراسته لسمكة الـ Zebrafish على الرغم من اختلاف العائلة التى يعودان اليهما اذ ان الـ Zebrafish تعود الى عائلة الشبوطيات Cyprinidae بينما سمكة الجري الآسيوي تعود الى عائلة الجريات Siluridae اما فيما يخص شكل اللابه فان الدراسة انفة الذكر لاتتوافق مع الدراسة الحالية لسمكة الجري الآسيوي اذ انها تكون بشكل كلوي (شكل 6) في حين ظهرت في سمكة الـ Zebrafish بشكل كروي.

أورد⁽⁷⁾ Harder كون السويم يكون عادة في الاسماك اكبر انواع الحصوات السمعية ونتائج الدراسة الحالية لاتتفق مع ما ذكره اعلاه كما لاتتفق مع ما ذكره⁽⁷⁾ Romer حيث اشار الى ان السويم يكون على العموم كبير ويحتل تجويف الكبيس وان اشكاله تختلف باختلاف اجناس وانواع الاسماك في حين اشار كل من⁽²²⁾ Norman, Harder⁽⁷⁾ الى كون السويم في غالبية

الاسماك هو الاكبر بينما تكون اللابيه صغيرة ودقيقة وليس لها اهمية وهذا ما لم يتوافق مع نتائج الدراسة الحالية اذ ان اللابيه تكون اكبر الحصات بينما السهيم هو الاصغر.



شكل (1): شتر انسي مني لغديت لغت سمكة جربي الاسوي برصمخ مسنن لوزاء شبه لامني.

شكل (2): شتر مني دلش قنيه لغلي الايسر لار سمكة جربي الاسوي برصمخ اوزاء قرنسة.

شكل (3): رسم لمبني لنيه لغلي في سمكة جربي الاسوي برصمخ الاجزاء قرنسة لشربة له ومن فرحة سل قنا: شط وتربة لغية ولوتيسنغ ضلته لشبة لسان لغلي (48).

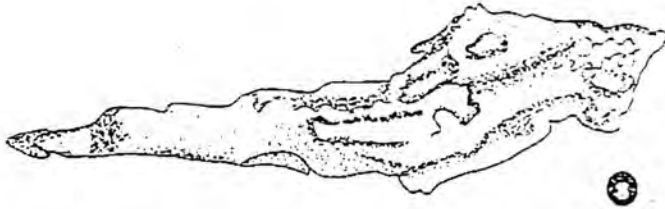
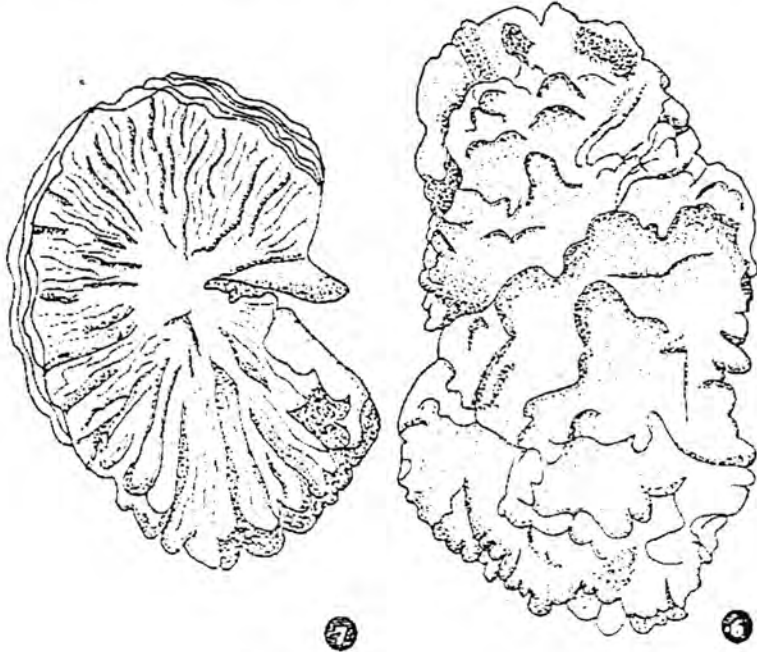
AA: Anterior Ampulla, ASCC: Anterior Semicircular Canal, CA: Canal Ampullaris, CC: Cup Corammon, LA: Lateral Ampulla, LSCC: Lateral Semicircular Canal, PA: Posterior Ampulla, PSCC: Posterior Semicircular Canal, S: Sacculus, U: Utriculus, US: Utriculo-Sacculus Duct.



شكل (4) منظر داخلي جاسي لتجويف الخفاف في سمكة الحروري الاسيوي يوضح القسم الظهري العلوي لتبنيه العنقاني المتضمن الأذنبة المسند دائرية التلات والغريبة.

شكل (5) منظر جاسي داخلي للثيب وقنية سمكة الحروري الاسيوي بين موقع الفناء المستعرضة (←).

AA- Anterior Ampulla, ASCC- Anterior Semicircular Canal, CC- Crista Semirinalis, L- Lagena, LA- Lateral Ampulla, LSCC- Lateral Semicircular Canal, PA- Posterior Ampulla, PSSC- Posterior Semicircular Canal, S- Sacculus, U- Utriculus, US- Utriculo-Sacculus.



شكراً (1): رسم تخطيطي لحمولة القرية (سكة) *Lepidus* من سكة بحري الاسيوي
 بين شكلاً الكوي (16X).
 شكراً (2): رسم تخطيطي لحمولة القبية (سكة) *Astericus* من سكة بحري الاسيوي
 بين شكلاً الكوي (16X).
 شكراً (3): رسم تخطيطي لحمولة الكبيس (سكة) *Sagitta* من سكة بحري الاسيوي
 بين شكلاً المطور (16X).

المصادر

1. Beard, J. "On the Segmental Sense Organs of the Lateral line and on the morphology of the vertebrate auditory organ" Zool. Anz., 7: 123-6; 104-3. (1884). (Cited by Branson, B.A. and Moore, G.A., (1962).
2. Popper, A.N. and Platt C. "Inner ear and lateral line" In the Physiology of Fish (ed. By Evans, D.H.), CRC Press, Boca Raton, FL., PP. 99-136. (1993).
3. Nieuwenhijs, R. "Comparative anatomy of the Cerebellum" In progress in Brain Research, Vol. 25 (ed. By Fox, C.A. and Snyder, R.S.), Elsevier, New York, PP. 1-93. (1967).
4. McCormick, C.A. "The Organization of the octavolateralis area in actinopterygian fishes: A new interpretation" J. Morphol., 171: 159-181. (1982).
5. Popper, A.N., Platt, C. and Edds, P.L. "Evolutionary of the vertebrate inner ear: an overview of ideas" In Comparative Evolutionary Biology of Hearing (ed. By Webster D. B., Fay, R.R. and Popper, A.N.), Springer, New York, PP. 49-57. (1992).
6. Lagler, K.F., Bardach, J.E. and Miller, R.R. "Ichthyology" John Wiley and Sons, Inc., New York, USA : 545 PP. (1962).
7. Hardr, W. "Anatomy of fishes" (part I and II). E. Schweizer bartsche Verlagsbu Chhandlung (Nageleu Obermiller). Stuttgart, West Germany: 612 PP. (1975).
8. Schellart, N. A. and Wubbles R.J. "The Auditory and Mechansensory Lateral line System" In the Physiology of Fishes, 2nd ed. (ed. By Evans, D.H.) CRC Press, Boca Raton, New York, PP. 283-312. (1998).
9. Gregory, P.A. and Jow, T. "The validity of Otoliths as indicators of age of petrale sole from California." Calif. Fish and Game 62: 132-140 (1976).
10. Agafonova, T.B. "The validity of *Cubiceps caeruleus* Regan and *Cubiceps haxteri*, Mc Culloch (Nomeidae) based on the structure of otoliths" J. Ichtyol., 26 (5): 115-12 (1982).
11. Walker, W.F. "Vertebrate dissection" 5th ed. W.B. Saunders Co., Philadelphia: 397 PP. (1975).
12. Bancroft, J.D. and Stevens, A. "Theory and Practice of histological techniques 2nd ed. Chuechill Living Stone. London: XIV-662 PP. (1982).
13. Bevelander, G. and Ramaley, J.A. "Essential of histology" 7th ed. The C.V. Mosboy Co., USA. VIII + 348 PP. (1974).

14. Bond, C.E. "Biology of Fishes" W.B. Saunders Co., Philadelphia: Vii+514. (1979).
15. Leeson, C.R., Leeson, T.S. and Paparo, A.A. "Text Book of Histology" 5th ed. W.B. Saunders Co., Philadelphia: VIII+ 597 PP. (1985).
16. Popper, A.N. and Fay, R.R. "Sound detection and Processing by fish: crotocal review and major question" Brain Behav. Evol., 41: 14-38. (1993).
17. Romer, A.S. "The Vertebrate body" 2nd ed. W.B. Saunders Co., Philadelphia: 644 PP. (1961).
18. Jensen, J. Chr. "Structure and innervation of the inner ear Sensory. organs in an Otophysine fish. the Upside-down catfish (*Synodontis nigriventris* David)" Acta Zool. (Stackholm), 75(2): 143-160. (1994).
19. Bleckmann, H., Niemann, U. and Fritsch, B. "Peripheral and central aspects of the acoustic and lateral line System of a bottom dwelling catfish, *Ancistrus* sp." J. Comp. Neurol., 314: 452-466 (1991).
20. Schneider, H. :The Labyrinth of two species of Drummfish (Sciaenidae)" Copeia, 2: 336-338, (1962).
21. Platt, C. "Zebrafish inner ear Sensory Surfaces are similar to those in goldfish" Hear. Res., 65: 133-140. (1993).
22. Horman, J.R. "A history of Fishes" 5th ed. Ernest Benn Limited New York, PP. 190-195. (1958).

دراسة الاذن الداخلية لسمكة الجري الآسيوي *Silurus triostegus*

2. التركيب النسيجي للتيه الغشائي

ايمان سامي احمد الجميلي* وحسين عبد المنعم داود*

*قسم علوم الحياة - كلية التربية (ابن الهيثم) - جامعة بغداد - العراق

ABSTRACT

The membranous Labyrinth (ML) is composed a connective tissue withput Melanocytes, lines by simple squamous epithelial cells supported by basal Lamina. In the otolith organs there are sensory epithelial cells called Macula. The epithelial cells in the floor of the ampullae of Semicircular canal (SCC) are arise to form crista ampullaris which covered by sensory epithelidal cells. The sensory epithelial tissue consist of two types of cells, these are supporting cells and sensory hair cells which included four kinds, Gourd-like Shape, Pear-shape, Cylindrical and Fusiform shape which distinguish in sensory hair cells of *Silurus triostegus*. Bundles of cilia arise from free ends of Sensory hair cells which differ according to their position within the sensory tissue. Striola appear in the Utricular macula while the Saccular macula divided in to three areas Mucula, Meshwork area and Patches area. The Lagenar macula distinguish due to occurrence of striolar - like region. The maculae of otolith organs covered by glatinous Layer called otolihic membrane while the cristae ampullares of all (Scc) are covered with dense gelations Layer called cupula and there is a crescentic area found in the lateral sides of ampulla called planum semilunatum while ionocytes appear on the sloping sides of crista ampullaris.

الخلاصة

يتركب التيه الغشائي للاذن الداخلية من نسيج ضام Connective Tissue خالي من خلايا الصبغية والميلانينية ويطن التيه الغشائي بطبقة من نسيج ظهاري حرشفي بسيط يستند على صفيحة قاعدية. توجد في الاعضاء الحسوية منطقة ذات خلايا ظهارية حسية تدعى بالبقعة

Macula كما ترتفع الخلايا الظهارية في ارضية انبورات الاقنية النصف دائرية مكونة ما يعرف بالعرف الانبوري Crista Ampullaris الذي يغطي بالخلايا الظهارية الحسية. يتألف النسيج الظهاري الحسي من نوعين من الخلايا هي الخلايا الساندة Supporting Cells والخلايا الحسية الشعرية Sensory Hair التي تتضمن اربعة انواع هي النوع الشبيه بالقرع Gourd-like Shape والكمثري Pear-shaped والاسطواني Cylindrical اما النوع الرابع فمغزلي Fusiform الذي تميزت فيه خلايا النسيج الحسي لهذا النوع من الاسماك تبرز من النهايات الحرة للخلايا الحسية الشعرية حزم هيدبية تختلف اطوالها باختلاف مواقعها ضمن النسيج الحسي الواحد والمختلف. كما تظهر في البقعة القريبية منطقة تدعى بالـ Striola اما البقعة الكيبسية فانها تقسم الى ثلاث مناطق هي البقعة Macula والشبكية Meshwork والنخضة Patches في حين تميزت البقعة القينية بوجود منطقة Striolar-like Region. تغطي البقع الحسية في الاعضاء الحسوية طبقة هلامية تدعى بالغشاء الحسوي Otolithic Membrane اما الاعراف الانبورية للاقنية النصف دائرية الثلاث فتغطي طبقة هلامية كثيفة تدعى بالقبع Cupula وتظهر عند جوانب جدار الانبورة منطقة هلامية تدعى بالسطح الهلامي Planum Semilunatum اما عند الجانب المنحدر من العرف الانبوري فتظهر الخلايا الايونية Ionocytes.

المقدمة

عرف التركيب النسجي للتيه الغشائي في الاسماك من قنر الناحين وفي وقت قريب فقد درس في العديد من الاسماك طرفية التعظم (3,2,1).

اظهرت الدراسات ان للاعضاء الحسوية المتضمنة القريبية والكيبس والقينية يقع حسية Macula تعتمد تسمياتها تبعاً لمواقعها فالتى تقع في القريبية تدعى بالبقعة القريبية Utricula Macula والموجودة في الكيبس تدعى بالبقعة الكيبسية Saccular Macula اما التى تقع في القينية فتدعى بالبقعة القينية Lagenar Macula (4,5) كما اشار Popper and Platt⁽¹⁾ الى ان تقربية على العموم منطقة تطير فيها الخلايا الظهارية الحسية اكثر تسمى مكونة شريط بارز تدعى بالـ Striola وفي بعض الاحيان تطير في الكيبس والقينية منطقة مشابهة لتى ذكرت انفاً تدعى بالـ Striolar-like Region⁽¹⁾.

ان الدراسات مستمرة في هذا المجال وفي انواع مختلفة من الاسماك الا ان مراجعة المصادر لم تشير الى وجود دراسة عن الاذن الداخلية للاسماك في العراق مما كان محفزاً لاجراء الدراسة الحالية التي تعد الاولى من نوعها اذ تناولت الوصف المظهري والتركيب النسيجي للاذن الداخلية في نوعين من الاسماك العراقية الخثني (*Luza abu* (Heckel) والجري الاسيوي *Silurus triostegus* Heckel والبحث الحالي هو جزء من هذه الدراسة الموسعة والتي تناول جزءها الاول (الوصف المظهري للاذن الداخلية في سمكة الجري الاسيوي) املاً في ان تضيف الدراسة الحالية جانباً من المعرفة في هذا الجانب.

المواد وطرائق العمل

استخدمت الدراسة الحالية اسماك بالغة وبحجوم واعمار مختلفة تم الحصول عليها من الاسواق المحلية ومن مناطق مختلفة ضمن الرقعة الجغرافية لمدينة بغداد.

بغية الحصول على التيه الغشائي للسمكة موضوع الدراسة يمكن الاضلاع على الخطوات المشار اليها في الجزء الاول من هذه الدراسة (الوصف المظهري للاذن الداخلية في سمكة الجري الاسيوي).

- قطعت اجزاء التيه الغشائي كل على حدة لاجل عمل منقطع نسيجية لكل من الاقنية النصف دائرية الثلاث مع انبورتها Canals with its Ampullae، القريية Utriculus، الكيس Sacculus، والقنية Lagena.

- اتبعت في تحضير الشرائح النسيجية للتيه الغشائي طريقة الصخر بشمع البارافين نوع Plastic Paraffin ذي جينة انصهار 56-58 درجة مئوية وفق طريقة Humason⁽⁶⁾ ولوننت المقاطع النسيجية المتسلسلة والتي بسمك 5 مايكروميتر باستخدام ملون اليهما توكسين هارس والايوسين Haris's Hematoxylin and Eosin⁽⁶⁾.

- فحصت الشرائح المجهرية المحضرة وصورت مقاطع مختارة منها باستخدام نوعين من المجاهر الضوئية المزودة بكاميرة تصوير:

- Light Microscope with camera. Olympus. Japan.
- Light Microscope with camera. Reichert. Jung. Polyvra. Germany.

النتائج والمناقشة

يتרכب التيه الغشائي للأذن الداخلية في الفقريات ومنها الأسماك من نسيج ضام Connective Tissue يحتوي على مادة ليفية Fibrillated Substance مع أرومات ليفية Fibroblasts وفي الغالب يحوي خلايا صباغية ميلانينية Melanocytes^(8,5,7) وهذا ما اظيرته الدراسة الحالية لسمكة الجري الآسيوي الا انها تظهر اختلافا عما سبق من حيث خلوها من الخلايا الصباغية الميلانينية، كما أظهرت نتائج دراسة سمكة الجري الآسيوي وجود شبكة من الأوعية الدموية والألياف العصبية Nerve Fibers الناتجة من تفرعات العصب القحفي الثامن Branches of Cranial Nerve VII (شكل 1) وهذا يؤكد ما توصلت اليه العديد من الدراسات^(1,8).

بينت الدراسة الحالية ان التيه الغشائي في سمكة الجري الآسيوي يبطن بطبقة من نسيج ضام حشفي بسيط Simple Squamous Epithelial يتند على صفيحة قاعدية Basal Lamina يوجد هذا النسيج في بطانة التيه الغشائي عدا المنطقة القريبة من النسيج الحسي (شكل 2) وهذا مماثل ما توصلت اليه عدة دراسات^(8,7) كما أظهرت نتائج الدراسة الخاصة بسمكة الجري الآسيوي ارتفاع الخلايا الظهارية في ارضية انبورات Ampullae الاقنية النصف دائرية Semicircular Canals التي بروزت في قمة مستديرة تدعى بالعرف Crista الذي يغطي بخلايا حسية Sensory Epithelial Cells (شكل 3) وهذا يتفق مع العديد من الدراسات الأخرى^(1,10,9).

كما بينت الدراسة الحالية لسمكة الجري الآسيوي ان النسيج الظهاري الحسي المتواجد في كل من البقع الحسية Maculae والاعراف الانبورية Cristae يتألف من نوعين من الخلايا هي الساندة Supporting Cells والخلايا الحسية الشعرية Sensory Hair Cells ويتميز الأول بكون خلايا عمودية ذات نوى مستديرة قاعدية الموقع وتستند هذه الخلايا على الصفيحة القاعدية كما ان جسم الخلية يكون غير منتظم اذ انه يقحم ما بين الخلايا الحسية الشعرية لإسنادها (شكل 4) وهذه النتيجة تتوافق مع الكثير من الدراسات^(1,8,7).

أشارت الدراسات ان للفقريات اللاسلوبة Anamniote Vertebrates بضمها الأسماك خلايا حسية شعرية من نوع 2 (Type II) فقط لكن ظهر حديثاً دليل يشير الى ان سمكة الأوسكار *Astronotus ocellatus* نوع اخر مشابهاً للنوع (Type I) الموجود في الحيوانات السلفية يدعى بالثبيبه النوع 1 (Type I-like) بالإضافة الى وجود النوع 2 (Type II)⁽¹¹⁾. كما اشارت

الدراسات المتعلقة بكبيس السمك الذهبي *Carassius auratus* الى وجود ثلاث انواع من الخلايا الشعرية هي خلايا كمثرية الشكل Pear-shaped وخلايا اسطوانية طويلة Tall^(12,13) Cylindrical كما اوضح⁽¹²⁾ Sugihara and Furukawa الى وجود النوع الثالث هو الشبيه Gourd-like Shape اظهرت نتائج الدراسة الحالية اتفاقها مع الدراسات انفة الذكر الا انها في سمكة الجري الآسيوي ظهر نوع رابع تميزت فيه خلايا النسيج الظهاري لهذا النوع من الاسماك وهو النوع المغزلي Fusiform وهذا ما لم تشير له أي دراسات سابقة (شكل 4,5,6).

بينت الدراسة الحالية اختلاف توزيع الخلايا الحسية الشعرية باختلاف البقع الحسية والاعراف الانبورية فضلاً عن اختلافها ضمن البقعة الحسية الواحدة ومن المحتمل ان يعود ذلك الى اختلاف وظائفها كأن تكون الاختلافات في استجابة الخلايا الحسية الشعرية المختلفة للمؤثرات الخارجية⁽¹⁾.

اظهرت الكثير من الدراسات ان للقريبة على العمود منطقة تظهر فيها الخلايا الظهارية الحسية اكثر تسماً فضلاً عن كبر حجم خلايا هذه المنطقة مكونة شريط بارز يدعى بالـ Striola حول المنحنى الظهري الجانبي للبقعة القريبة⁽¹⁾ وهذا ما أكدته الدراسة الحالية لسمكة الجري الآسيوي (شكل 7) فضلاً عن ذلك فلقد اظهرت الدراسة الحالية وجود منطقة تدعى بالـ Extrastriolar Region وهذا يتوافق مع عدد من الدراسات^(14,11,15).

مجملة الدراسات المتعلقة بسمكة الاوسكار اعطت نتائج اظهرت فيها وجود نوعين من الخلايا الشعرية هما الشبيه بالنوع 1 (Type I-like) ونوع 2 (Type II) كما اظهرت هذه الدراسات تركيز خلايا من النوع 2 في منطقة Extrastriolar للقريبة بينما الشبيه بالنوع 1 تتركز في منطقة الـ Striola⁽¹¹⁾ Chang et al. وهذا لا يتفق مع نوع الخلايا في منطقة الـ Striola في سمكة الجري الآسيوي وجوده اما منطقة Extrastriolar العائدة لسمكة الجري الآسيوي فكانت خلاياها عموماً من النوع الاسطواني الذي يعود الى مجموعة Type II وهذا يتوافق جزئياً مع الدراسات الخاصة بسمكة الاوسكار لان النتائج الحالية اظهرت فضلاً عن النوع المذكور انفاً خلايا من النوع القرعي والكمثري وان كانت بأعداد قليلة (شكل 8).

أشارت الدراسات التي اجراها⁽¹⁶⁾ Pisam et al ان للنسيج الظهاري لكبيس نوعين من اسماك التراوت يقسم الى اربعة مناطق: البقعة Macula التي تتضمن الخلايا الحسية الشعرية والسائدة، المنطقة الشبكية Meshwork Area تتضمن خلايا ايونية كبيرة Large Ionocytes غير منتظمة الشكل تقع حول البقعة، منطقة الطخة Patches Area التي تتضمن خلايا ايونية

صغيرة Small Ionocyte تقع مقابل البقعة، المنطقة البينية Intermediate Area تتضمن خلايا أيونية حجماً يقع بين حجم خلايا المنطقة الشبكية وخلايا منطقة اللطخة والنتائج الحالية لسمكة الجري الآسيوي تطابق نتائج الدراسة انفة الذكر الا ان المنطقة البينية لم تتميز بوضوح في الدراسة الحالية (شكل 9).

اظهرت نتائج الدراسة الحالية الخاصة البقعة الكيبسية لسمكة الجري الآسيوي سادة النوع الاسطواني في المنطقة المركزية في حين تظهر في المنطقة الخارجية فضلاً عن النوع الاسطواني خلايا من النوع المغزلي واعداد قليلة من النوع القرعي والكمثري (شكل 5.4) وربما يعود سبب تنوع هذه الخلايا وتوزيعها الى اختلافات في وظائف تلك الخلايا⁽³⁾ وهذا يتفق ايضاً مع باقي الدراسات التي وصفت ثلاث انواع من الخلايا الحسية الشعرية حيث عزلت من مناطق مختلفة من كيبس الأذن الداخلية للسمكة الذهبية *Carassius auratus*^(12,13). ويعتقد ان الكيبس في العديد من انواع الاسماك يكون الجزء الرئيس للجهاز السمعي⁽²⁾ بسبب الدور الذي يلعبه النسيج الظهاري للكيبس في تحديد تركيب اللف الداخلي لذا فاصبح من المييم معرفة انواع ومواقع ووظائف هذا النسيج⁽¹⁶⁾ كما تكمن اهمية الكيبس في اسماك فير (Ostariophysi) Otophysans التي تقع من ضمنها سمكة الجري الآسيوي اذ تتميز اسماك هذه المجموعة بامتلاكها لعظيومات دقيقة تدعى بعظيومات فير Webrian Ossicle التي ترتبط بالجزء الامامي لمثانة العوم Swimbladder من حية وتمتد لتصل الى فراغ اللف المحيطي الذي يكون متاخماً للنسيج الظهاري الحسي للكيبس من حية اخرى^(9,1).

اشارت الدراسة الحالية لسمكة الجري الآسيوي والمتعلقة بالنسيج الحسي للثنية الى وجود منطقة يكون فيها النسيج الظهاري الحسي اكثر تسمكاً تدعى Striolar-lime Region (شكل 10) وان الخلايا المغزلية هي السائدة في هذه المنطقة بينما المنطقة الخارجية فان النوع الاسطواني يكون السائد فيها ويندر وجود النوع القرعي والكمثري فيها (شكل 11) وهذا يتوافق مع دراسة⁽³⁾ Lanford et al. التي عزت ذلك التنوع الى اختلاف وظائف تلك الخلايا.

في الدراسة الحالية لسمكة الجري الآسيوي اظهرت توافقياً مع الدراسات من ناحية وجود الحزم البينية Ciliary Bundles عند قدم الخلايا الحسية الشعرية الا ان درجة وضوح الاهداب المجسمة Stereocilia في بعض الاحيان ضئيلة بالمقارنة مع الهدب المفرد المتحرك Kinocilium اذ تظهر كحزمة واحدة ولربما يعود السبب في ذلك لقصر هذه الاهداب اذ انها تتسلسل بالطول ابتداءً من الصف الاكثر طولاً التي تتراص مع الهدب المتحرك (شكل 5) ولربما

يعود السبب الاخر الى ترابط الاهداب المجسمة مع بعضها بواسطة انواع مختلفة من الروابط اذ اظهرت الدراسات من خلال فحص المجهر الالكتروني النافذ وجود روابط تربط الجزء القاصي والدائي لهذه الاهداب مع بعضها بواسطة روابط وخيوط⁽¹⁷⁾.

اوضحت الدراسات ان البقع الحسية تغطي بطبقة سطحية هلامية تدعى بالغشاء الحصوي Otolithic Membrane الذي تتغمر فيه الحزم الهدبية ويحوي هذا الغشاء على الكثير من الاجسام البلورية تدعى بالحصيات السمعية Otoconia وقد تتسبب مكونة كتلة صلبة تدعى الحصوة السمعية Otolith^(4,10) والدراسة الحالية اكدت ذلك كما اظهرت ان الغشاء الحصوي يتالف من طبقتين سفلي تدعى بطبقة تحت القُدح Subcupular Layer والتي فوقها تدعى بالطبقة الهلامية Gelatinous layer (شكل 12) وهذا يوافق مع ما اوضحه⁽¹⁸⁾ Davis et al.

اظهرت الدراسة الحالية وجود خلايا خاصة تدعى بالخلايا الايونية Ionocytes تظهر عند الحافات الخارجية لكل من البقع الحسية للقريبة، والكيسس والقنينة وتكون باشكال واحجام مختلفة فمنها ما يظهر بشكل مكعبي او موشوري او غير منظم وقد تكون صغيرة او كبيرة الحجم. كما اظهرت نتائج الدراسة الحالية الى اقتصار وجود هذه الخلايا حول البقع الحسية للقريبة والقنينة الا ان الكيسس تظهر فيه خلايا ايونية كبيرة في منطقة الشبكية وهذا يتوافق مع توصل اليه⁽¹⁹⁾ Mayer-Gostan et al. و⁽²⁰⁾ Takagi كما ظهرت مجاميع من الخلايا الايونية الصغيرة في كيسس سمكة الجري الآسيوي عند الجهة المقابلة للبقعة (شكل 13) وهذا ما أكدته⁽¹⁹⁾ Mayer-Gostan et al.

اظهرت نتائج الدراسة الحالية لسمكة الجري الآسيوي سيادة الخلايا المغزلية في النسيج الظهاري الحسي للتعرف الانبوري وهذا يوافق ما اشار اليه⁽⁷⁾ Bloom and Fawcett الى تشابه نسيج البقع الحسية مع النسيج الظهاري الحسي للتعرف الانبوري مع بعض الاختلافات الظاهرية في العدد النسبي لانواع الخلايا المختلفة (شكل 14).

اثبتت الدراسة الحالية وجود حزم هدبية طويلة تبرز من النهايات الحرة للخلايا الحسية الشعرية وتكون اطول من تلك الموجودة في البقع الحسية للاعضاء الحصوية (شكل 14) وهذه النتائج تؤكد ما جاءت به الدراسات الاخرى التي بينت ان اطول هدب يصل الى 100 مايكروميتر الذي يتواجد في قمم الخلايا الحسية الشعرية للاعزاف الانبورية ولربما يعود ذلك لعوامل وظيفية فمن المحتمل ان تكون للحزم الهدبية الطويلة قابلية في كشف الاشارات ذات الترددات الواطئة⁽¹⁾.

أشارت الدراسات ان الوظيفة الأساسية للاعراف الانبورية هي كشف التغيرات الناتجة من التعجيل الزاوي للراس فمن المحتمل ان يكون هذا سبباً في كون الحزم الهدبية للاعراف الانبورية طويلة ان تتحسس تلك الاهداب لحركة اللف الداخلي الذي يتبع التعجيل الزاوي (1.5.4).

تتغمر الحزم الهدبية للخلايا الحسية الشعرية التابعة للاعراف الانبورية في طبقة هلامية كثيفة تدعى بالقديح Cupula الذي يفصل في اغلب الاحيان من العرف الانبوري خلال تحضير المقاطع النسيجية (شكل 3)⁽¹⁸⁾ وهذا ما اظهرته نتائج الدراسة الحالية لسمكة الجري الآسيوي.

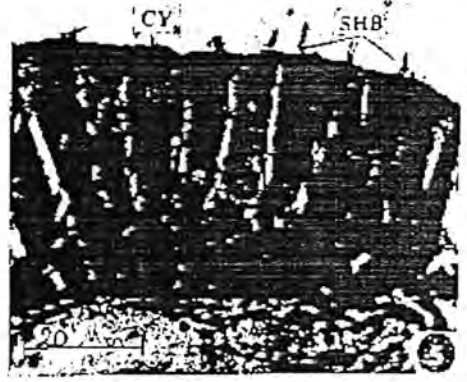
أثبتت الدراسة الحالية وجود منطقة هلامية عند جوانب الأنبورة وبالقرب من محيط المنطقة الحسية تدعى بالسطوح الهلالية Plana Semilunata والتي تضم خلايا عمودية (شكل 16. 15) وهذه النتائج تتفق مع ما اشار اليه Bloom and Fawcett⁽⁷⁾ في حين دراسة⁽²¹⁾ Becerra and Anadon لا تتفق مع نتائج الدراسة الحالية من ناحية ان السطوح الهلالية تكون خلاياها موشورية في اسماك التراوت البالغ *Salmo truto fario*.

أظهرت نتائج دراسة سمكة الجري الآسيوي وجود خلايا ايونية Ionocytes تقع عند الجانب المنحدر من العرف الانبوري وتكون مكعبة الشكل وذات سايتوبلازم املس يصطبغ بلون غامق وصفات هذه الخلايا توافق ما ذكره كل من⁽⁷⁾ Bloom and Fawcett و Leeson et al⁽⁸⁾ الذين اشاروا الى وجود خلايا معقدة التركيب تقع بالجانب المنحدر من العرف الانبوري تدعى بالخلايا الداكنة Dark Cells ان الدراسة التي اجريت من قبل⁽²²⁾ Becerra and Anadon على سمكة التراوت تؤكد تشابه الخلايا الايونية بالخلايا الداكنة الموجودة في التراوت ونسباً وهذا يتفق مع نتائج سمكة الجري الآسيوي الا ان النتائج التي توصلت اليها الدراسات اعلاه والتي لا تتفق مع نتائج الدراسة الحالية كون ان الخلايا الايونية في صغار سمك التراوت تكون مكعبة وفي اليافعة وبالغمة موشورية في حين انها ظهرت مكعبة في سمكة الجري الآسيوي (شكل 17).



شكل (1) مقطع عرضي في أليفة مسكة الحري الأنثوي يوضح السنج الضام ومكوناته
 البريئة كما تتوضع الحزم العنقية في منطقة الـ Striola (←) (400X)
 شكل (2) مقطع عرضي في طبقة البنية العنقية لمسكة الحشري الأنثوي يوضح
 البنية العنقية والخليقة العنقية (400X).
 شكل (3) مقطع طولي في البكرة خلفا النصف دائرية لمسكة الحري الأنثوي يبين
 العرف الأنثوي المغطى بالحلقة العنقية الضامة وضفة السنج المتصلة
 عن العرف الأنثوي (100X).

BL-Basal Lamina, BV-Blood Vessel, CT-Connective Tissue, F-Fibrous cell, FS-Fibrillated Substance, NF-Nerve Fibers, SSE-Single Squamous Epithelial Tissue, CA-Crista Ampullaris, CU-Cupula, SE-Sensory Epithelial Cells.



شكل (4) مقطع عرضي في كيبس مسكة الجري الآسيوي يوضح خلايا السادة
 والحنايا التحسية للتعريفية (المغزلية والكثيرة والزرقية والاسطوانية)
 (1000X).

شكل (5) مقطع عرضي في كيبس مسكة الجري الآسيوي يوضح خلايا مسن النوع
 الأسطواني الواردة في مركز المنطقة الحسية كما تتضح شعرة الهدبية على
 طول المنطقة الحسية (1000X).

شكل (6) مقطع عرضي في كيبس مسكة الجري الآسيوي يوضح نوع خلايا مسن
 النوع المغزلي والحزم الهدبية (1000X).

BL-Basal Lamina, CSU-Cytoplasm of Supporting Cell, CY-Cylindrical Cell, FU-Fusiform Cell, G-Gourd-like Shape Cell, P-Pear-Shaped Cell, SH-Sensory Hair Cells, SHB-Sensory Hair Bundles, SU-Supporting Cells.



شكل (7) - مقطع عرضي من قرنية منبسطة لبيضة الأريي الأيسري، ويوضح شكلان شبيح (8)، على حد التحفة الخبية ومقاطع خمسة أشكال (9)، لا للقرنية، في وقت التخصير القهري الخامس لبيضة الأريي (40X) (4) .

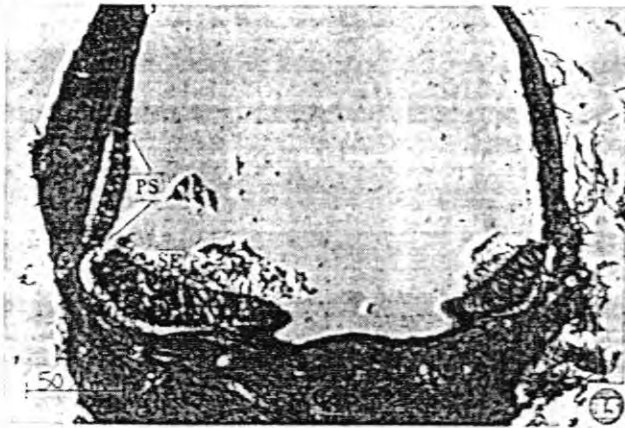
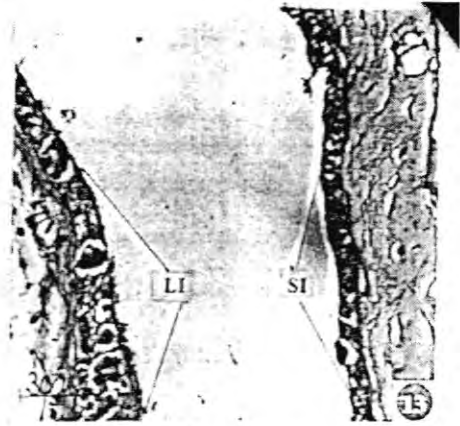
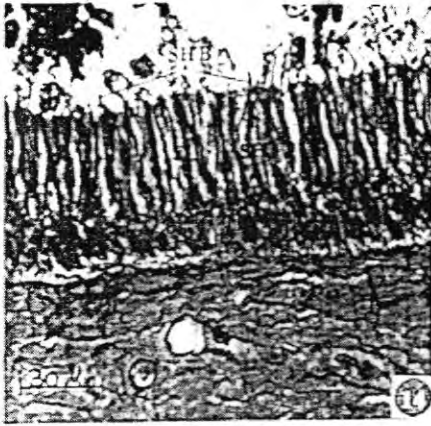
شكل (8) - مقطع عرضي من قرنية منبسطة الأريي الأيسري، ويوضح التمدد الشفوي، في فترة وميمنة خلال من النوع الثالث من تطور الأريي في الأريي (30X) .

شكل (9) - مقطع عرضي من أريي منبسطة الأريي الأيسري، يوضح مستطمة (تضخم الشفوي) (30X) .

شكل (10) - مقطع عرضي من أريي منبسطة الأريي الأيسري، بين مادته (40X) (4) .

CV-Cylindrical Cell, CP-Connective Tissue, G-Germinal Stage Cell, P-Pre-Nuclear Cell, ST-Stratig, M-Micula, MA-Mesothelial Area, PAT-Pachy Area.



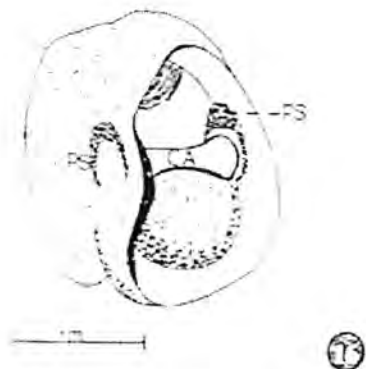


شكل (13) مقطع عرضي في كيس منغدة تخري الأبيون يوضح منغدة خارجية منغدة تخلي الأبيون بكثرة وكثافة عالية منغدة تخلي الأبيون (30X)

شكل (14) مقطع عرضي في فترة بعد منغدة تخري الأبيون يظهر فيه خلايا خلية تخري من نوع تخري وخلايا منغدة تخلي منغدة تخري منغدة تخري منغدة تخري منغدة تخري (30X)

شكل (15) مقطع عرضي في فترة بعد منغدة تخري الأبيون يظهر فيه خلايا منغدة تخري منغدة تخري منغدة تخري منغدة تخري منغدة تخري (30X)

CA: Corpus Luteum, SIFB: Stratum functionalis of the functionalis basalis, LI: Luteal phase, SI: Stratum intermedium, PS: Plasma Seminal, SE: Spermatogenesis, Medulla: Medulla of the ovary.



شكل 1: مخطط حسي يوضح عروسة قسي خارجية تقدم طبقتا خلية تيه مستديرة
 خارجية داخلية و يوضح التعرف والتوريث للبروتين عند قاعد طبقت
 الخلايا الحسية عند عروسة قسي الأذن الجري لسمكة الجري الآسيوي
 شكل 2: مقطع نسيجي قسي يوضح التعرف والتوريث لسمكة الجري الآسيوي
 (التكبير: 400X)

CA 1104 9000 & PS 1104 9000

المصادر

1. Popperm, A.N. and Platt, C. "Inner ear and Lateral" In the physiology of fish (ed. By Evans, D.H.), CRC Press, Boca Raton, FL., PP. 99-136. (1993).
2. Schellart, N.A. and Wubbles, R.J. "The Auditory and Mechansensory Lateral line System" In the physiology of Fishes, 2nd ed. (ed. By Evans, D.H.), CRC Press, Boca Raton, new York, PP. 283-312. (1998).
3. Lanford, P.J., platt, C. and Popper, A.N. "Structure and function in the saccule of goldfish (*Carassius auratus*): a model of diversity in the non-amnoite ear." Hear Res. 143: 1-13. (2000).
4. Harder, W. "Anatomy of fishes" (part I and II). E. Schweizebartsche verlagsbu chhandlung (Nageleu obermiller). stuttgart, West Germany: 612 PP. (1975).
5. Torrey, T.W. and Feduccia, A. "Morphogenesis of the vertebrates" 4th ed. John Wiley and Sons, New York: xii+570 PP. (1979).
6. Humason, C.L. "Animal tissue techniques". 4th ed. W.H. Freeman Co., Sanfraccisco: xiii-661 PP. (1979).
7. Bloom, W. and Fawcett, D.W. "A text book of histology" 10th ed. W.B. Saunders Co., Philadelphia: XV-1033 PP. (1975).
8. Leeson, T.S., Leeson, C.R. and Paparo, A.A. "Text/ Atlas of histology" W.B. Saunders Co. Philadelphia: 745 PP. (1988).
9. Lagler, K.F. Baradach, J.E. and Miller, R.R. "Ichthyology" John Wiley and Sons, Inc., New York, USA: 545 PP. (1962).
10. Andrew, W. and Hickman, C. "Histology of the vertebrates, a Comparative text" The C.V. Mosby Co., Saint Louis: 439 PP. (1974).
11. Change, J.Y.S. Popper, A.N. and Saidel, W.M. "Heterogeneity of sensory hair cells in fish ear" J. Comp. Neurol., 324: 621-640 (1992).
12. Sugihara, I. And Furukawa, T. "Morphological and functional aspects of two different types of hair cells in the goldfish sacculus" J. Neurophysiol., 62: 330-1343 (1989).
13. Saidel, W.M., Lanford, P.J., Yan, P.J. and Popper, A.N. "Hair cell heterogeneity in the goldfish saccule" Brain Behav. Evol., 46: 362-370 (1995).
14. Yan, H.Y., Saidel, W.M., Chany, J., Persson, J.C. and Popper, A.N. "Sensory hair cells of the fish ear: evidence of multiple types based on ototoxicity sensitivity" Proc. Roy. Soc. Ser. B., 245: 133-138 (1991).

15. Lombarte, A., Yan, H.Y., Popper, A.N. Change, J.S. and Platt, C. "Damage and regeneration of hair cell ciliary bundles in a fish ear following treatment with gentamicin" *Hear. Res.*, 64: 166-174 (1993).
16. Pizam, M., Payan, P. LeMoal, C., Edeyer, A., Boeuf, G. and Mayer-Gostan, N. "Ultrastructural study of the saccular epithelium of the saccule epithelium of the inner ear of two teleosts *Oncorhynchus mykiss* and *Psetta maxima*" *Cell Tissue Res.*, 294: 261-270 (1998).
17. Neugebauer, D. Ch. "Interconnections between the stereovilli of fish inner ear", *Cell Tissue Res.*, 246: 447-543 (1986).
18. Davis, J. G., Burns, F.R., Navaratnam, D., Lee, A.M., Ichimiya, S., Oberholtzer, J.C., and Greene, M.I. "Identification of a structural constituent and one possible site of postembryonic formation of a teleost otolithic membrane" *Neurobiol.*, 94: 707-712 (1997).
19. Mayer-Gostan, N., Kossmann, H., Watrin, A., Payan, P and Boeuf, G. "Distribution of ionocytes in saccular epithelium of the inner ear of two teleosts (*Oncorhynchus mykiss* and *Scophthalmus maximus*" *Cell Tissue Res.*, 289-53-61, (1997).
20. Takagi, Y. "Meshwork arrangement of mitochondria-rich, Na^+ , K^+ -ATPase rich cells in the saccular epithelium of rainbow trout (*Oncorhynchus mykiss*) inner ear" *Anat. Res.*, 248: 483-489 (1997).
21. Becerra, M. and Andon, R. "The structure and development of the (*Plana semilunata*) of the Labyrinth of th trout" *J. Anat.*, 180: 247-253 (1992).
22. Becerra, M. and Anadon, R. "Fine structure and development of ionocyte areas in the labyrinth of the trout (*Salmo trutta fario*)" *J. Anat.*, 183: 463-474 (1993).

دراسة التركيب النووي لنظير $^{144}_{60}\text{Nd}_{84}$

رَبِي طَه سَالِم

الجامعة المستنصرية / كلية العلوم / قسم الفيزياء

الخلاصة

لقد تم في بحثنا الحالي دراسة الخصائص النووية لنظير $^{144}_{60}\text{Nd}_{84}$ باستخدام نموذج البوزونات المتفاعلة الاول (IBM-1). ومن اجل ايجاد التناظر الديناميكي (Dynamical Symmetry) لهذا النظير. تم حساب كل من القيم الذاتية (Eigen Values) والمتجهات الذاتية (Eigen Vectors) وايجاد احتمالية حدوث الانتقالات الكيربائية رباعية القطب ($B(E_2)$) بالاعتماد على اعتماد عناصر المصفوفة المختزلة (Reduced Matrix Elements) للانتقالات الكيربائية رباعية القطب اضافة الى حساب احتمالية حدوث الاحتمالات المغناطيسية ثنائية القطب ($B(M1)$) لحدود الجسيم الواحد والجسيمين (One and Two Body Terms) وايجاد عناصر المصفوفة المختزلة للانتقالات المغناطيسية ثنائية القطب وحساب العزوم المغناطيسية (M_1) والعامر (g_1) وايجاد نسب الخلط (Delta Mixing Ratios) ونسب الخلط المختزلة (Reduced Delta Mixing Ratios) للانتقالات الكامية بالاعتماد على نتائج عناصر المصفوفة المختزلة لمؤثري الانتقال (E_2)، (M_1)، وتعدد القطبية (Multi-polarity)، وكانت معظم النتائج متوافقة مع القيم العملية القليلة جدا وخاصة بالقيمة الانتقالات المغناطيسية وما يتبعها. وقد تم تحديد التناظر الديناميكي لهذا النظير الذي يقع في المنطقة الانتقالية $U(5)$ - $O(6)$.

المقدمة

ان معظم التفاعلات النووية تجعل النواة في حالة متباعدة 12611 ونتيجة لهذا التبريح يحرص لها انحلال سريع الى الحالة الارضية من خلال انبعاث جسيمات اشعة الفا، بيتا، كما α ، (β, γ). ان انبعاث هذه الاشعاعات ذات تأثير كبير جدا على تركيب النواة فظهرت العديد من النماذج الرياضية لدراسة وتفسير التركيب النووي وكان اخرها نموذج البوزونات المتفاعلة (IBM) المقترح من قبل (Arima & Iachello) سنة (1974).

ربي طه سالم

استخدم هذا النموذج في وصف الخصائص التجميعية للنوى خارج القشرات المغلقة (Closed Shells) والتي تحتوي على عدد معين من البروتونات أو النيوترونات (يطلق على هذه الأعداد بالأعداد السحرية (Magic Numbers) والتي هي {2,8,20,28,50,82,126, 184} حيث تلعب هذه الأعداد دوراً رئيسياً في تهيج البروتونات (النيوترونات) التكافؤية، ويعامل كل زوج من البروتونات (النيوترونات) على أنه بوزون واحد. بحيث أن البروتون (النيوترون) والتي لها زخماً زاوياً يساوي ($I = 0$) تعرف ببوزونات من نوع (S) (S-bosons) في حين أن البوزونات التي تمتلك زخماً زاوياً ($I=2$) تعرف ببوزونات من نوع (d-boson) (d) .

استخدم هذا النموذج في دراسة نواة (Nd) من قبل باحثين كثيرين منهم :

درس (Lang J. et. al.) سنة (3) (1982) الانتقالات المتعددة الاقطاب (E_0, E_2, M_1) وكذلك نسب الخط (Delta Mixing Ratios) لانتقالات كما في النوى الزوجية - زوجية ($A=16-232$).

وفي سنة (1989) قام (Sandor R.K.J. et al.) (4) بدراسة التفاعل بين الجسيم المنفرد (Single-Particle) ودرجات الحرية التجميعية (Collective Degrees of Freedom) في المستوى الواطئ الرباعي القطب المتبجح (Excitation Low-Lying Quadrupole State) نظير (^{142}Nd) حيث درست بواسطة الاستطارة المرنة (Elastic Scattering) للالكترونات. ولقد قام (Meyer R.A. et al.) (5) سنة (1990) بدراسة المستويات المتناظرة المختلفة (Mixed - Symmetry States) في نواة (^{144}Nd).

واهتم (Margraf J. et al.) (6) سنة (1993) بدراسة التشوهات المعتمدة على احتمالية الانتقالات المغناطيسية ثنائية القطب ($B(M1)$) في نظائر (Nd) الزوجية - زوجية. وفي سنة (1993) قام (Perrio R. et. al.) (7) بدراسة المستويات الواطئة - (Low-Lying States) لتعزوم الساسية القطب (Hexa decapole) لنظائر الـ (Nd) الزوجية - زوجية.

تم في هذا البحث دراسة النظير $^{144}_{60}\text{Nd}$ وتحديد التناظر الديناميكي له وذلك بحساب كل من القيم الذاتية (Eigen Values) والمتجهات الذاتية (Eigen Vectors)، احتمالية الانتقالات الكيربائية رباعية القطب، احتمالية الانتقالات المغناطيسية ثنائية القطب إضافة إلى

حساب العزوم المغناطيسية (M_l) والعامل (g_l) وكذلك ايجاد نسب الخلط (Delta Mixing Ratios) ونسب الخلط المختزلة (Reduced Delta Mixing Ratios).

الاسس النظرية Basic Considerations

مؤثر دالة هاملتون Hamiltonion Operator

يكتب مؤثر دالة هاملتون مؤثرات الفناء والتوليد (Creation and Annihilation Operators) في الصيغة التالية^(8,9):

$$\hat{H} = \varepsilon_0 \hat{n} + \alpha_0 (\hat{p} \cdot \hat{p}) + \alpha_1 (\hat{L} \cdot \hat{L}) + \alpha_2 (\hat{Q} \cdot \hat{Q}) + \alpha_3 (\hat{T}_3 \cdot \hat{T}_3) + \alpha_4 (\hat{T}_4 \cdot \hat{T}_4) \dots (1-1)$$

حيث ان a_4, a_3, a_2, a_1, a_0 اعطومات (Parameters)

اما ε فهي طاقة البوزون

$$\varepsilon = \varepsilon_d + \varepsilon_s \dots (2-1)$$

ε_d طاقة البوزون من نوع d (d-boson)

ε_s طاقة البوزون من نوع s (s-boson)

(3-1) مؤثر عدد البوزونات من نوع (d)

$$\hat{n}_d = (\hat{d}^- \cdot \hat{d})$$

(4-1) مؤثر الازدواج (Pairing) بين البوزونات

$$p = \frac{1}{2} (\hat{d}^- \cdot \hat{\tilde{d}}) - \frac{1}{2} (\hat{\tilde{s}} \cdot \hat{s})$$

(5-1) مؤثر الزخم الزاوي (Angular Momentum)

$$\hat{L} = \sqrt{10} [\hat{d}^- \times \hat{d}]$$

(6-1) مؤثر رباعي القطب (Quadrupole)

$$Q = \left[\hat{d}^- \times \hat{\tilde{s}} + \hat{s}^- \times \hat{\tilde{d}} \right] - \frac{\sqrt{7}}{2} \left[\hat{d}^- \times \hat{\tilde{d}} \right]^2$$

(7-1) مؤثر ثماني القطب (Octapole)

رئيس طه سالم

$$\hat{T}_3 = [\hat{d}^+ \times \tilde{d}]^{(3)}$$

(8-1) مؤثر سداسي القطب (Hexadecapole)

$$\hat{T}_4 = [\hat{d}^+ \times \tilde{d}]^{(4)}$$

مؤثر الانتقال الكهربائي رباعي القطب $\hat{T}^{(e2)}$

ان مؤثر الانتقال رباعي القطب الكهربائي $\hat{T}^{(e2)}$ يمكن كتابته بالشكل التالي (8.9):

$$\hat{T}^{(E2)} = \alpha_2 [\hat{d}^- \times \tilde{s} + \hat{s}^+ \tilde{d}]^{(2)} + \beta_2 [\hat{d}^+ \times \tilde{d}]^{(2)} \dots (10-1)$$

حيث ان α_2 , β_2 تمثل الشحنة الفعالة للبورونات (Effective Bosons Charge) ان المعادلة (10-1) تطبق على التناضرات الديناميكية الثلاثة U(5), Su(3), O(6) مع الاخذ بنظر الاعتبار قواعد الانتقال (Selection Rules) الخاصة بكل تناظر ديناميكي.

اما معادلة احتمالية الانتقالات الكهربائية رباعية القطب $\beta(E_2)$ فنكتب بتصيغة التائية (8.9):

$$\beta(E_2; I_1 \rightarrow I_2) = \frac{1}{2I_1+1} \langle L, \hat{T}^{(E2)} // L_0 \rangle^2 \dots (11-1)$$

مؤثر الانتقال المغناطيسي ثنائي القطب $\hat{T}^{(M1)}$

ان مؤثر الانتقال المغناطيسي ثنائي القطب $\hat{T}^{(M1)}$ يعطى بالعلاقة التالية:

$$\hat{T}^{(M1)} = \beta_1 [\hat{d}^- \times \tilde{d}]^{(1)} - \alpha_1 [\hat{d}^- \times \tilde{d}^{(1)} + (\tilde{d} \times \tilde{d}^+)]^{(1)} + \gamma_1 [\hat{d}^- \times \tilde{d}^{(1)} + (\tilde{d} \times \tilde{d}^+)]^{(1)} - \dots (12-1)$$

$$\delta_1 [(\hat{d}^- \times \tilde{d}^+)^{(1)} \times (\tilde{d} \times \tilde{s})^{(1)} - (\hat{d}^- \times \tilde{s}^+)^{(1)} \times (\tilde{d} \times \tilde{d}^+)]^{(1)} - \eta_1 [(\hat{d}^- \times \tilde{s}^+)^{(1)} \times \tilde{s} \times \tilde{d}^+]$$

حيث ان $\beta_1, \alpha_1, \gamma_1, \delta_1, \eta_1$ معاملات خطية (Linear Coefficients) كما ويمكن كتابتها بدلالة مؤثر الزخم الزاوي (\hat{I})

$$\hat{T}^{(M1)} = \sqrt{\frac{3}{4\pi}} g_B \hat{I} \quad \dots(13-1)$$

ويقصد (g_B) العامل المؤثر للبوزون (Effective Bosons g-factor) ومن الممكن ان نجد العامل g_B بدلالة العزم المغناطيسي (M_1)

$$g_B = \frac{M_1}{I} \quad \dots(14-1)$$

لذلك نجد العامل g للمستويات (g -Factors of the states)

$$g_1 = \frac{M_1}{I} \quad \dots(15-1)$$

وعليه فإن $g_B = g_1$

اما احتمالية الانتقالات المغناطيسية ثنائية القطب تعطى بالصيغة التالية :

$$B(M1; I_i \rightarrow I_f) = \frac{1}{2I+1} \left\langle \left\langle I_f \parallel \hat{T}^{(M1)} \parallel I_i \right\rangle \right\rangle \quad \dots(16-1)$$

نسب الخلط $\delta(E2/M1)$

ان معادلة مربع نسب الخلط تعطى بالشكل التالي ⁽⁸⁾ :

$$\delta^2(E2/M1; I_i \rightarrow I_f) = \frac{3}{100} q^2 \frac{B(E2; I_i \rightarrow I_f)}{B(M1; I_i \rightarrow I_f)} \quad \dots(17-1)$$

اما نسب الخلط المختزلة (Reduced Delta Mixing Ratios) نكتب بالشكل التالي :

$$\Delta(E2/M1; I_i \rightarrow I_f) = \frac{\langle I_f \parallel \hat{T}^{(E2)} \parallel I_i \rangle}{\langle I_f \parallel \hat{T}^{(M1)} \parallel I_i \rangle} \quad \dots(18-1)$$

الحسابات والنتائج والمناقشة

من اجل دراسة تصرف الحركة الجماعية لنواة فقد تم تركيز على ايجاد التناظر الديناميكي الذي ينتمي اليه هذا النظير ودراسة مستويات الطاقة واحتمالية الانتقالات الكهرومغناطيسية رباعية القطب $B(E2)$ والمغناطيسية ثنائية القطب $B(M1)$ وكانت معظمها متطابقة وبشكل جيد مع القيم العملية المتوفرة والقليلة جداً.

الشكل (1) يبين العلاقة بين الزخم كدالة لطاقة الانتقالات الكامية ونلاحظ بان طاقة الانتقالات تزداد بزيادة الزخم الزاوي.

الشكل (2) يبين العلاقة بين الزخم الزاوي واحتمالية انتقالات كهرومغناطيسية ثنائية القطب ونلاحظ ارتفاعها عند القيم (0,2) وانخفاضها عند القيمة (4).

الشكل (3) يوضح العلاقة بين الزخم الزاوي واطلومات (g_{\perp}, M_{\perp}) نلاحظ انخفاضها مع زيادة قيم الزخم الزاوي.

جدول (1) مستويات الطاقة النظرية ومقارنتها مع القيم العملية للنظير $^{144}_{60}\text{Nd}_{84}$ عند التناظر

الديناميكي U(5)-O(6)

I^{π}	Energy (MeV)		$I_{\nu}^{\pi} - I_{\nu}^{\pi}$	Transition Energy	
	Exp. ⁽¹⁰⁾	(IBM-1) _{low}		Exp. ⁽¹⁰⁾	(IBM-1) _{low}
0_1^{-}	0	0			
2_1^{-}	0.6964	0.6047	$2_1^{-} - 0_1^{-}$	0.6964	0.6097
4_1^{-}	1.3145	1.2233	$4_1^{-} - 2_1^{-}$	0.6181	0.6186
2_2^{-}	1.5608	1.2008	$2_2^{-} - 2_1^{-}$	0.8644	0.5961
2_3^{-}		1.8047	$2_3^{-} - 2_1^{-}$		0.6039
6_1^{-}	1.7913	1.8557	$6_1^{-} - 4_1^{-}$	0.4768	0.6324
0_2^{-}	2.0843	1.7884	$0_2^{-} - 2_1^{-}$	1.3879	1.1837
3_1^{-}	2.1783	1.8076	$3_1^{-} - 2_1^{-}$	1.4819	1.2029
4_2^{-}	2.2651	1.8204	$4_2^{-} - 2_1^{-}$	0.7343	0.6196
			$4_2^{-} - 3_1^{-}$	0.1168	0.0128
8_1^{-}	2.7095	2.5021	$8_1^{-} - 6_1^{-}$	0.9182	0.8464
0_3^{-}	2.7430	2.4001	$0_3^{-} - 2_1^{-}$	1.1822	1.1993
6_2^{-}		2.4539	$6_2^{-} - 4_1^{-}$		0.6335
4_3^{-}		2.4186	$4_3^{-} - 2_1^{-}$		1.2178
			$4_3^{-} - 3_1^{-}$		0.6110
6_3^{-}		2.4539	$6_3^{-} - 4_1^{-}$		1.2306
			$6_3^{-} - 4_2^{-}$		0.6335
6_4^{-}		3.0532	$6_4^{-} - 4_1^{-}$		1.8299
		3.1013	$8_2^{-} - 6_1^{-}$		1.2456
			$8_2^{-} - 6_2^{-}$		0.6474
8_2^{-}		3.7016	$8_2^{-} - 6_1^{-}$		1.8459

جدول (2) القيم النظرية $\langle I_f \| \bar{T}^{(f;2)} \| I_p \rangle$ و $B(e2)$ ومقارنتها مع القيم العملية للنظير Nd-144 عند التناظر الديناميكي U(5)-O(6) (IBM-1)

Spin Sequences	(IBM-1)	
	$\langle I_f \ \bar{T}^{(f;2)} \ I_p \rangle$ (eb)	BE2) (eb) ²
$2_1^- - 0_1^+$	0.71501 0.7148 exp (11)	0.10224 0.10220 exp (11)
$4_1^- - 2_1^-$	1.2374	0.1701
$2_2^- - 2_1^-$	-0.9223	0.17012
$2_3^- - 2_2^-$	-0.4379	0.3836×10^{-1}
$6_1^- - 4_1^-$	1.6277	0.2038
$0_2^- - 2_1^-$	-0.41072	0.1686
$3_1^- - 2_1^-$		
$4_2^- - 2_2^+$	0.9802	0.5747×10^{-2}
$4_2^- - 3_1^-$	0.9847	0.10776
$8_1^- - 6_1^-$	1.8598	0.2034
$0_3^- - 2_2^-$	0.4514	0.20380
$6_2^- - 4_2^-$	1.3429	0.1387
$4_3^- - 2_2^-$	0.0017	0.3427×10^{-6}
$4_3^- - 3_1^-$	0.9848	0.1077
$6_2^- - 4_1^-$	-0.00171	0.2266×10^{-6}
$6_2^- - 4_2^+$	1.3429	0.1387
$6_3^- - 4_1^-$	0.0000	0.7774×10^{-24}
$8_2^- - 6_1^-$	-0.00155	0.1425×10^{-6}
$8_2^- - 6_2^-$	1.4788	0.1286
$8_3^- - 6_1^-$	0.0000	0.3106×10^{-25}

ربي طه سالم

جدول (3) القيم النظرية $\langle I_f \| \bar{T}^{(L1)} \| I_i \rangle$ و B(M1) و (ML) و (g_L) ومقارنتها مع القيم العملية لنظير (Nd-144) عند التناثر الديناميكي U(5)- O(6)

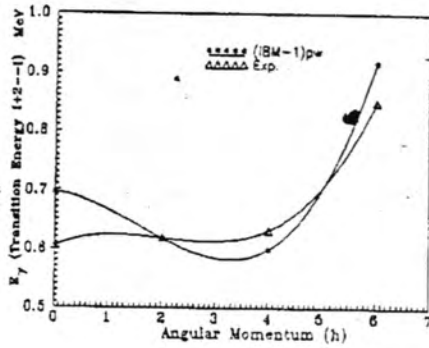
Spin Sequences	(IBM-1) (pW)			
	$\langle I_f \ \bar{T}^{(L1)} \ I_i \rangle$ (μN)	B(M1) (μN) ²	ML (μN)	g _L (μN)
2 ⁻ -0 ⁻	0	0	0	0
4 ⁻ -2 ⁻	0.3419 × 10 ⁻³	0.1299 × 10 ⁻⁷	0.2086 × 10 ⁻³	0.5216 × 10 ⁻⁴
2 ₂ ⁻ -2 ₁ ⁻	-0.4727 × 10 ⁻¹ 0.7424 × 10 ⁻⁷ exp(12)	0.4469 × 10 ⁻³ 0.4465 × 10 ⁻³ exp(12)	0.3533 × 10 ⁻¹	0.1766 × 10 ⁻¹ 0.1425 × 10 ⁻⁶
2 ₂ ⁻ -2 ₂ ⁻	0.2401 × 10 ⁻⁷	0.1153 × 10 ⁻¹⁵	0.1794 × 10 ⁻⁷	0.8972 × 10 ⁻⁸
6 ₁ ⁻ -4 ₁ ⁻	0.3419 × 10 ⁻³	0.8995 × 10 ⁻⁸	0.1797 × 10 ⁻³	0.2995 × 10 ⁻⁴
0 ₂ ⁻ -2 ₁ ⁻	0	0	0	0
3 ₁ ⁻ -2 ₁ ⁻	0.3419 × 10 ⁻³	0.1671 × 10 ⁻⁷	0.2291 × 10 ⁻³	0.7636 × 10 ⁻⁴
4 ₂ ⁻ -2 ₂ ⁻	0.1551 × 10 ⁻⁹	0.2674 × 10 ⁻²⁰	0.9466 × 10 ⁻⁵	0.3816 × 10 ⁻⁷
4 ₂ ⁻ -3 ₁ ⁻	0.1551 × 10 ⁻⁹	0.26739 × 10 ⁻²⁰	0.9466 × 10 ⁻¹⁰	0.2366 × 10 ⁻¹¹
8 ⁻ -6 ⁻	0.3419 × 10 ⁻³	0.6879 × 10 ⁻⁸	0.1600 × 10 ⁻³	0.2000 × 10 ⁻⁷
0 ₃ ⁻ -2 ₂ ⁻	0	0	0	0
6 ₂ ⁻ -4 ₂ ⁻	0.3838 × 10 ⁻⁴	0.1133 × 10 ⁻⁹	0.2017 × 10 ⁻⁴	0.3362 × 10 ⁻⁵
4 ₃ ⁻ -2 ₂ ⁻	0	0	0	0
4 ₁ ⁻ -3 ₁ ⁻	0.1551 × 10 ⁻⁹	0.2674 × 10 ⁻²⁰	0.9466 × 10 ⁻¹⁰	0.2366 × 10 ⁻¹³
6 ₂ ⁻ -4 ₁ ⁻	-0.4724 × 10 ⁻¹	0.1717 × 10 ⁻³	0.2483 × 10 ⁻¹	0.41385 × 10 ⁻²
6 ₂ ⁻ -4 ₂ ⁻	0.38388 × 10 ⁻⁴	0.1133 × 10 ⁻⁹	0.2017 × 10 ⁻⁴	0.3362 × 10 ⁻⁵
6 ₁ ⁻ -4 ⁻	0.1551 × 10 ⁻⁹	0.1851 × 10 ⁻²⁰	0.8152 × 10 ⁻¹⁰	0.1359 × 10 ⁻⁷
8 ₂ ⁻ -6 ₁ ⁻	-0.4725 × 10 ⁻¹	0.1313 × 10 ⁻³	0.2211 × 10 ⁻¹	0.2764 × 10 ⁻²
8 ₂ ⁻ -6 ₂ ⁻	0.3838 × 10 ⁻⁴	0.8668 × 10 ⁻¹⁰	0.1796 × 10 ⁻⁴	0.2245 × 10 ⁻⁵

جدول (4) نسب الخلط $\delta(E2/<1)$ ونسب الخلط المختزلة $\Delta(E2/M1)$ وتعدد القطبية ومقارنتها مع القيم العملية لنظير (Nd-144) عند التناظر الديناميكي U(5)-O(6)

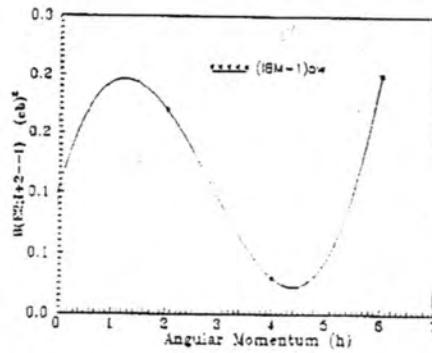
Spin Sequences	Exp. (10) $E\gamma(\text{MeV})$	(IBM-1)		Multipolarity	
		$\delta(E2/M1)$	$\Delta(E2/M1)$ eb/ μN	Exp. (10)	(IBM-1) (pw)
$2_1^+-0_1^-$	0.6964	∞	∞	E2	E2
$4_1^+-2_1^-$	0.6181	1867.911	3619.18	E2	E2
$2_2^- - 2_1^-$	0.8644	14.08	19.511		E2-4%M1-E ₀
$2_3^+ - 2_2^-$	0.6039	-9196748	-1823828	E2+23%M1	E2-<<1 M1-E ₀
$6_1^- - 4_1^-$	0.4768	1895.38	4760.74	E2	E2
$0_2^- - 2_1^-$	1.3879	∞	∞		E2
$3_1^- - 2_1^-$	1.4819				E2-<<M1
$4_2^- - 2_2^-$	0.7343	3.8749×10^{-11}	6.319×10^{-12}		E2
$4_2^- - 3_1^-$	0.1168	6.1922×10^{-9}	6.349×10^{-2}		E2-<<M1
$8_1^- - 6_1^-$	0.9182	4170.526	5439.60		E2
$0_3^- - 2_2^-$	1.1822	∞	∞		E2
$6_2^- - 4_2^-$	0.6335	18508.5	34989.5		E2
$4_3^- - 2_2^-$	1.2178	∞	∞		E2
$4_3^+ - 3_1^-$	0.6110	3.2393×10^{-2}	6.349×10^{-2}		E2-<<M1
$6_2^- - 4_1^-$	1.2306	0.03722	0.0362		E2
$6_2^+ - 4_2^-$	0.6335	-15.0371	-28.427		E2
$6_3^+ - 4_1^-$	1.8299	0	0		E ₀
$8_2^- - 6_1^-$	1.2456	0.034118	0.03280		E ₀
$8_2^- - 6_2^-$	0.6474	16.9186	31.2973		E2
$8_3^- - 6_1^-$	1.8459	0	0		E ₀

جدول (5) يبين طاقات الحزم (α, β, γ) ومقارنتها مع القيم العملية المتوفرة

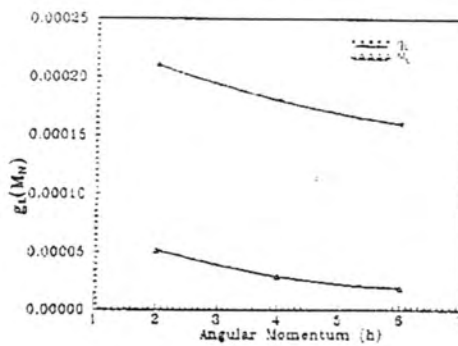
Isotopes	Behavior	Bands	0 ⁺ (2 ⁺)	2 ⁺ (3 ⁺)	4 ⁺ (4 ⁺)	6 ⁺ (5 ⁺)	8 ⁺ (6 ⁺)	10 ⁺ (7 ⁺)	12 ⁺ (8 ⁺)	14 ⁺ (9 ⁺)
$^{144}_{60}\text{Nd}_{82}$	U(5)-O(6)	gTheo.	0.0000	0.6047	1.2233	1.8557	2.5021	3.1623	-	-
		gExp.	0.0000	0.6964	1.3145	1.7913	2.7095	-	-	-
		γ_1 Theo.	1.2008	1.8076	1.8204	2.4347	2.4539	3.0756	3.1013	3.7035
		γ_1 Exp.	1.5608	2.1783	2.2951	-	-	-	-	-
		β_2 Theo.	1.7884	1.8047	2.4186	3.0532	3.7016	-	-	-
		β_1 Exp.	2.0845	-	-	-	-	-	-	-
		γ_2 Theo.	1.3962	3.0157	3.0179	3.0348	3.0638	3.6759	3.7141	-
		γ_2 Exp.	-	-	-	-	-	-	-	-
		β_2 Theo.	1.4001	2.4091	3.0285	3.6535	-	-	-	-
		β_2 Exp.	2.743	-	-	-	-	-	-	-
		γ_3 Theo.	2.9954	3.6053	3.61822	3.6535	-	-	-	-
		γ_2 Exp.	-	-	-	-	-	-	-	-
		β_3 Theo.	2.9946	3.01281	3.63071	3.66600	-	-	-	-
		β_3 Exp.	-	-	-	-	-	-	-	-
		β_4 Theo.	3.5861	3.6082	3.6436	-	-	-	-	-
		β_4 Exp.	-	-	-	-	-	-	-	-
		β_5 Theo.	3.6120	-	-	-	-	-	-	-
		β_5 Exp.	-	-	-	-	-	-	-	-
γ_4 Theo.	-	-	-	-	-	-	-	-		
γ_4 Exp.	3.6169	-	-	-	-	-	-	-		



شكل (1): العلاقة بين الزخم الزاوي وطاقة الانتقالات الكامية



شكل (2): العلاقة بين الزخم الزاوي واحتمالية الانتقالات الكهربائية



شكل (3): العلاقة بين الزخم الزاوي والألومات g_1 و g_2

المصادر

1. Hodgson P.E., Nuclear reaction and nuclear structure Ed. Westey A.. Pub. Oxford University press, London. PP. 1-2, (1971).
2. Cohen B.L., Concepts of nuclear physics, Ed. Nakihani M. of Pittsburg, Pub. New York University. pp. (3-4) (1971).
3. Lang J., Kumar K. Hamilton J. H.. Rev. of Mod. Phys., Vol. 54, 119. (1982).
4. Sandor R.K. J, Block H.P., Garg U.. Hara KahM. N, Dehager C.W.. pnomarev V.Y., Vdoun A.L. and Devries H.. phys. Lett. B. Vol. 54, 54 (1989).
5. Meger R.A.. Scholterno., Brants M.. Poar V., phys. Rev. C. Vol. 41. 2386, (1990).
6. Morgraf J., Hcil R.D., Maier U. and Pitz H. H., friedrichs H.. Lindenstruths S., SchliH B.. Wesselbarg C.. Vondrentono P.. Herzberg R-H and Zilges A.. phys. Rev. C, Vol. 47, 1815 (1993).
7. Perrino R.. BlasiN.. Bordewijk J. A.. Deleo R.. Harakeh M.N., Dejage C. W.. Michelette S.. PlgnanelliM.. Sandor R.K. J.. Phys. Rev. C.. Vol. 47. 1897. (1993).
8. Iachello F., and Arima A., The interacting boson model, Ed. Sydney N.. New York, Pub Great Britain at University press, (1987).
9. Bonatsos D.. Interacting boson model of nuclear structure, Ed. Press C.. Oxford, Pub. In United States by Oxford University press, (1988).
10. Atomic Data and Nuclear tables. Vol. 31, No. 3. (1984).
11. Nuclear Data. A, Vol. 11, No. (1-4). (1972-1973).
12. Atomic Data and Nuclear Data tables. Vol. 26, No. 1. (1981).

البيان والبيان والبيان والبيان والبيان والبيان والبيان والبيان والبيان والبيان
البيان والبيان والبيان والبيان والبيان والبيان والبيان والبيان والبيان والبيان
البيان والبيان والبيان والبيان والبيان والبيان والبيان والبيان والبيان والبيان
البيان والبيان والبيان والبيان والبيان والبيان والبيان والبيان والبيان والبيان

المادة 11

المادة 11 من القانون رقم 11/8/1999
المادة 11 من القانون رقم 11/8/1999
المادة 11 من القانون رقم 11/8/1999
المادة 11 من القانون رقم 11/8/1999
المادة 11 من القانون رقم 11/8/1999
المادة 11 من القانون رقم 11/8/1999
المادة 11 من القانون رقم 11/8/1999
المادة 11 من القانون رقم 11/8/1999
المادة 11 من القانون رقم 11/8/1999
المادة 11 من القانون رقم 11/8/1999

المادة 12

المادة 12 من القانون رقم 11/8/1999
المادة 12 من القانون رقم 11/8/1999

11/8/1999

المادة 12 من القانون رقم 11/8/1999

تفصيلي خلال هذا الحدث على سبيل المثال تغيرات العوامل الأتوائية، التألق الخيطي، الحالة التي تحيط بالشمس "هالة الشمس"، سلوك الأيونوسفير، النظرية الدقائقية وكذلك المجال المغناطيسي الأرضي وغيرها.

الجانب النظري

ظاهرة الكسوف الكلي للشمس التي حدثت في العراق في 1999/8/11 كانت بنسبة 100% في المنطقة الشمالية من القطر وحوالي 90% في مدينة بغداد. خلال يوم الكسوف أقام قسم الأنواء الجوية في كلية العلوم - جامعة المستنصرية ورشة عمل لمتابعة عملية الكسوف بواسطة تلسكوب وتم إجراء بعض القياسات لكميات الإشعاع الشمسي الواصلة سطح الأرض وتغيراتها، إضافة إلى أن منظومة الأيونوسفير ومحطة الرصد المغناطيسية لشركة البتاني العامة كانت تتابع التغيرات في ترددات طبقات الأيونوسفير وتغيرات المجال المغناطيسي الأرضي كذلك تم متابعة تغيرات عوامل القطر في مدينة بغداد خلال هذه الفترة.

يتعرض الغلاف الجوي للأرض ويشكر مستمر إلى تغيرات محلية تعتمد على الزمن Time Dependent بتأثير التسخين أو التبريد مما ينتج في أحسن الأحوال حركة موجبة. يتداخل ظاهرة كسوف الشمس مع التوازن الحراري في مناطق الضل من الغلاف الجوي يمكن أن تنشأ إشارة ضغطية كموجات الجذب الداخلية وبقية يمكن الحسب بيا قرب سطح الأرض وكذلك في طبقات الأيونوسفير من الغلاف الجوي وعلى مسافات بعيدة عن أماكن حدوث الكسوف⁽¹⁾. لتوضح ما يحدث نأخذ متصااص اشعاع U.V. بواسطة غاز الأوزون والذي ينتج عنه تسخين الغلاف الجوي الذي يبلغ حده الأعلى في ارتفاع 50 كم. خلال الكسوف الكلي ينقطع أشعاع U.V. في منطقة الضل مما يؤدي إلى حدوث منطقة باردة تعمل كمصدر مستمر للموجات الحذبية والتي تأخذ شكل جدار مقوس يشبه حدار الموجة الناتجة من حركة قارب في الماء في مقدمته. فإذا كان انحدار الضغط الناتج مناسباً تنتقل هذه الموجات نحو الأعلى باتجاه الأيونوسفير ويمكن رصد هذه الموجات كأحداد في قيم الكثافة الإلكترونية حيث انتقال الطاقة من الجسيمات المتعادلة في الهواء إلى الجسيمات المثبتة في الأيونوسفير بواسطة الاضطرابات المتكررة بينهما⁽²⁾.

لقد أقرّح Goodwin, 1983⁽¹⁾ بأنه خلال كسوف الشمس سوف يمر ضل القمر على سطح الأرض ويقوم بعملية تبريد للفلاف الجوي حيث يتحرك بسرعة Supersonic خلاله والذي ينشأ موجات تسمى بالموجات الجذبية الداخلية Internal Gravity Waves وهذه الموجات ذات زمن ذبذبة مقدارها 23 دقيقة وسعتها $1 - 1/2$ باسكال وتتنقل بسرعة 310 م/ثا وكذلك أستنتاج كل من Chimonas and Hines, 1970⁽¹⁾, Chimonas, 1970⁽²⁾ بأن هذه الموجات يمكن ان تتسلق الى الأيونوسفير من خلال التصادم، حيث وجد نقصان قليل (3-4)% في مقدار التأين الكلي خلال وقت لكسوف والذي يدل على تكون ما يسمى بالأضطرابات الأيونوسفيرية المتنتقلة TIDs. وهذا الانخفاض بالكثافة الإاكترونية خلال وقت الكسوف يعتبر قليلاً" مقارنة مع النقصان في طبقة [والذي قام بحماية⁽³⁾ Datta. et al., 1959 في كلكتا في الهند .

ظاهرة الكسوف الكلي للشمس تعطي فرصة حقيقية لإضافة معلومات جديدة للميكانيكية التي بواسطتها تكون الشمس الغلاف الأيوني في جو الأرض حيث في أي وقت آخر لانستطيع أبداً أن نحذب الإشعاع الشمسي المؤين للهواء بشكل مفاجيء في منتصف النهار، فسهي تخلق الفرضة لدراسة الموجات الرادوية ومتابعة تأثير الظاهرة على شروط الاتصالات والتغريات التي تطراً على التأين عند حدوث مثل هذا التغير المفاجيء في الغلاف الجوي خلال استخدام أجهزة الاتصالات. الانسحاب السريع للإشعاع الشمسي خلال فترة قصيرة في النهار تزود الباحث فرصة مناسبة لمقارنة شدة المجال المغناطيسي الأرضي قبل وبعد حدوث هذه الظاهرة⁽⁴⁾. الشكل (1) يبين مسار الكسوف الكلي للشمس يوم 1999/8/11 عبر كل من تركيا وسوريا والعراق⁽⁵⁾

النتائج والمناقشة والأستنتاج

أقام قسم الأنواء الجوية في كلية العلوم/الجامعة المستنصرية ورشة عمل لظاهرة الكسوف الكلي من 10-11 آب 1999 م لغرض التغطية العلمية والرصد العلمي لهذه الظاهرة، وفي نفس الوقت كانت منظومة الأيونوسوند لشرطة البتاني العامة/هيئة التصنيع العسكري تقوم بجمع المعلومات الخاصة برصد الأيونوسفير والتي تتألف من تقديرات الترددات الحرجة لكل من طبقات E. F وكذلك طبقة Es بينما يقوم المرصد المغناطيسي في نفس الشركة المذكورة أعلاه

بتسجيل التغيرات الحاصلة في شدة المجال المغناطيسي الأرضي لمدينة بغداد التي ترتفع عن مستوى سطح البحر 34 متر.

تم استخدام قياسات العوامل الأتوائية لمدينة بغداد مثل درجة حرارة الهواء السطحي والضغط الجوي السطحي وسرعة حركة الرياح وقيم مدى الرؤيا الساعية لفترة 24 ساعة قبل وبعد يوم الكسوف لغرض المقارنة. الشكل (2) يوضح تغير قيم شدة الإشعاع الشمسي الكلي الواصل الى سطح الأرض خلال يوم الكسوف حيث يمكن ملاحظة انخفاض شدة الإشعاع الشمسي خلال وقت الكسوف بالتوقيت المحلي لمدينة بغداد.

أما درجة حرارة الهواء السطحي فقد تأثرت بنقصان شدة الإشعاع وكما موضحة في الشكل (3). وانخفضت درجة حرارة الهواء السطحي حوالي 3 درجات مئوية. لوحظ ان الضغط الجوي بدأ بالانخفاض من الساعة GMT وبشكل تدريجي حتى ساعة الكسوف GMT 1026 حسب التغير اليومي الاعتيادي حيث لوحظ تذبذب في قيم الضغط ويواقع 2.0 ملليبار حتى نهاية الدورة الضغطية الساعة GMT 1200 وكما موضحة بالشكل (4). ان للضغط الجوي تغير يومي دوري يتبع درجة الحرارة بشكل موجي فعمرها خلال فترة النهار وقمتها خلال فترة الليل وذلك بسبب فروقات درجات الحرارة مع المناطق المجاورة لها من جهة وارتفاع الهواء الساخن الى الاعلى من جهة اخرى ومثل هذه التذبذب يحدث كل يوم⁽⁶⁾.

لقد لوحظ ان الرياح السطحية ازدادت سرعتيا خلال فترة الكسوف نتيجة لتذبذب الضغط الجوي ووصلت بشكل غير طبيعي الى 10 م/ثا وكما موضحة في الشكل (5)، ووصلت مدى الرؤيا الى 2 كم بسبب الغبار الذي اتارته هذه الرياح السطحية العالية السرعة وخلال وقت قصير وسجل تغير في اتجاهها من شمالية الى شمالية غربية بشكل عام خلال فترة الكسوف في مدينة بغداد وكما في الشكل (6).

ويمكن تسجيل ان ظاهرة الكسوف الكلي في بغداد (90%) دامت دقيقتين وليس كما كان متوقعا 40 ثانية حيث بدأ تداخل قرصي القمر والشمس على لاساعة 1426 بالتوقيت المحلي (GMT 1026) وانفصلا تماما على الساعة 1708 بالتوقيت المحلي لمدينة بغداد (1308 GMT).

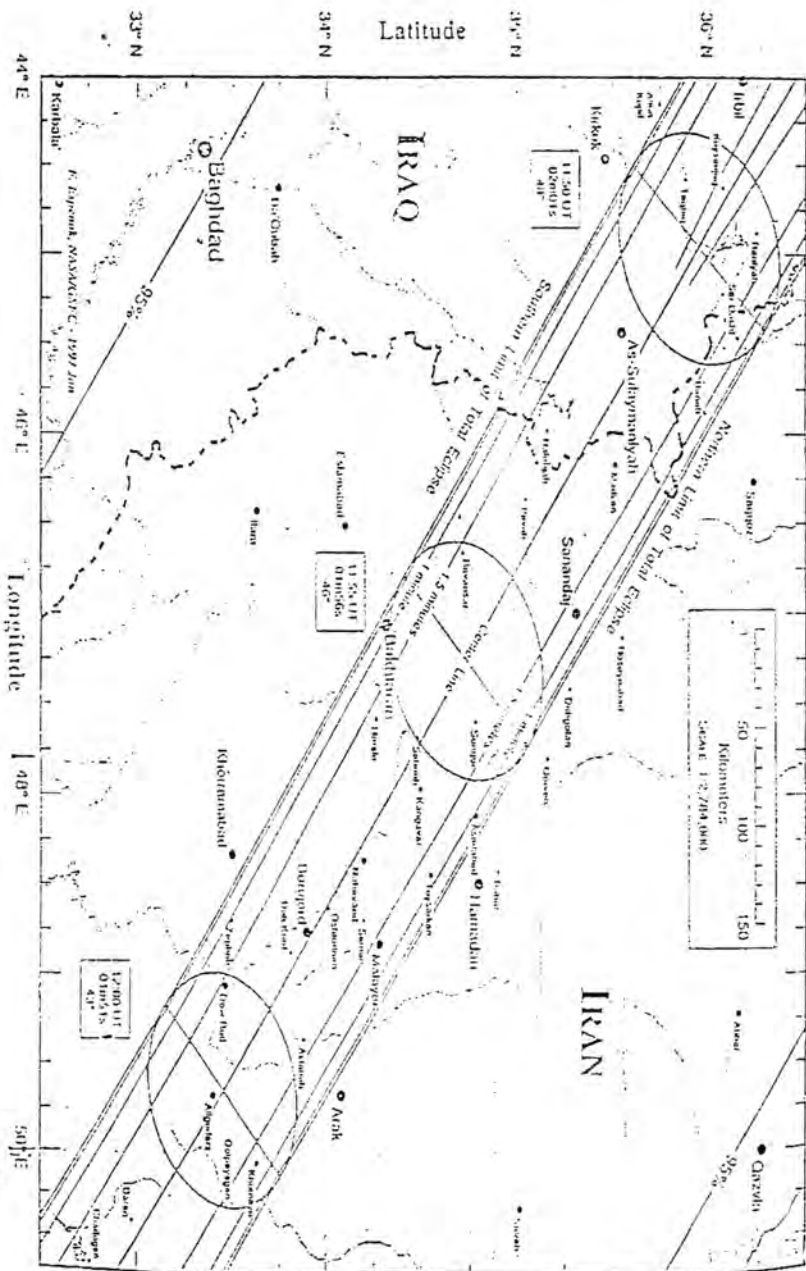
ان وقت حدوث الكسوف الكلي عمليا منم من ناحية التأثير على العوامل الفيزيائية للجو بسبب اذا ما حدث خلال ساعات الصباح عندما تجهز الشمس سطح الارض بالحرارة وعندما

يكون الانتاج الالكتروني هو السائد في الايونوسفير سيكون التأثير واضحاً ويمكن استنتاجه بسهولة ولكن عند حدوثه بعد منتصف النهار (عند غروب الشمس) حيث عمليات الخسارة في الطاقة والتاين هي السائدة سوف تتداخل العمليات الفيزيائية وتصبح من الصعوبة التمييز بينها وتحجب أي موجات تمتد لهذا الوقت.

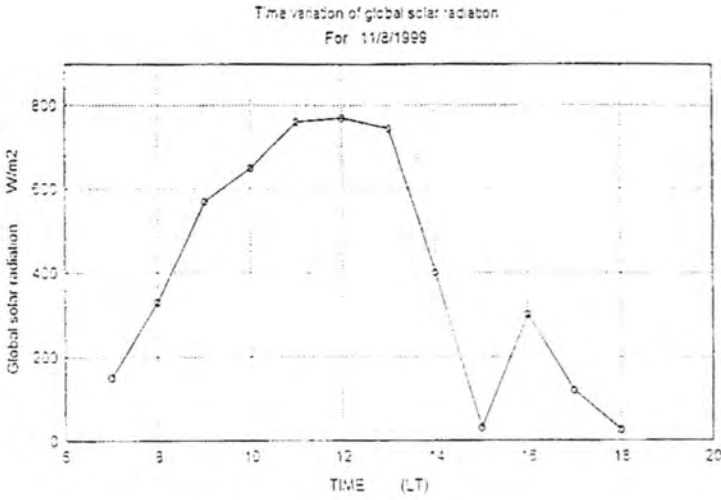
الاستنتاجات

1. عند مرور ظل القمر على الغلاف الجوي اثناء الكسوف تحصل عملية تبريد درجي وتبلغ اقصاها بعد حوالي 1 4/1 ساعة
2. استجابة العوامل الفيزيائية للغلاف الجوي السطحي اثناء الكسوف تتلخص في انخفاض درجة الحرارة ويتبعه تغير في الضغط الجوي مما يزيد من سرعة حركة الرياح
3. حدة تكون الموجات الجذبية الداخلية متوقعة اثناء فترة الكسوف بسبب التغيرات التي حصلت للعوامل الفيزيائية للهواء السطحي
4. مما يوؤيد وجود هذه الموجات هو تكون انحدار في كثافة الالكترونية في طبقة الايونوسفير⁽⁷⁾ والذي يمكن ان يسببه الاضطرابات الايونوسفيرية المتقلبة TIDs والتي تعتبر من اثار Trace الموجات الجذبية في الايونوسفير
5. ان معدل التغير في درجة الحرارة خلال فترة الكسوف الكئي عن الحالة الطبيعية كانت حوالي 3 درجات مئوية والتغير في الضغط الجوي حوالي 1 مليبار وسرعة الرياح السطحية 4/3

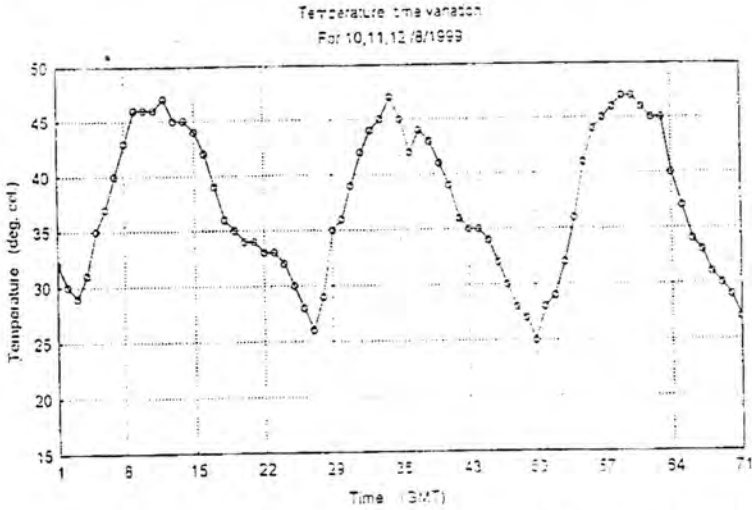
دراسة التغيرات في العوامل الأتوائية فوق مدينة بغداد خلال فترة الكسوف الكلي للشمس بتاريخ 11/8/1999 م
 د. عوني أدوار عبد الأحد بنهام



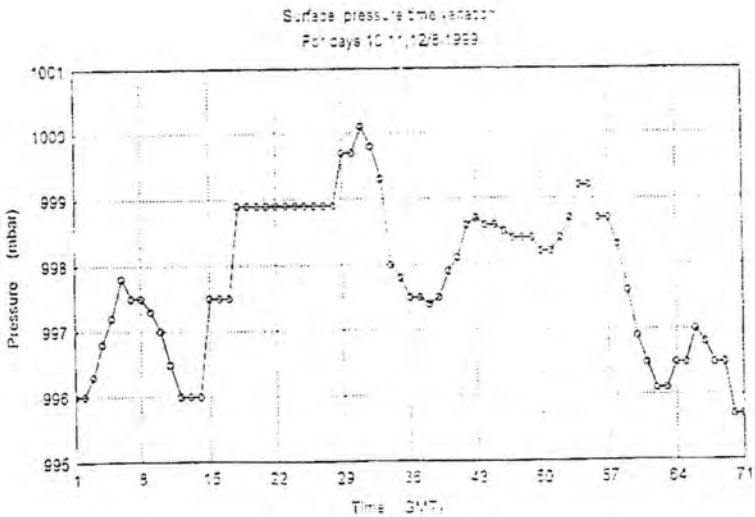
الشكل (1) - حمل الكسوف الكلي للشمس يوم 11 آب 1999 عبر العراق وإيران.



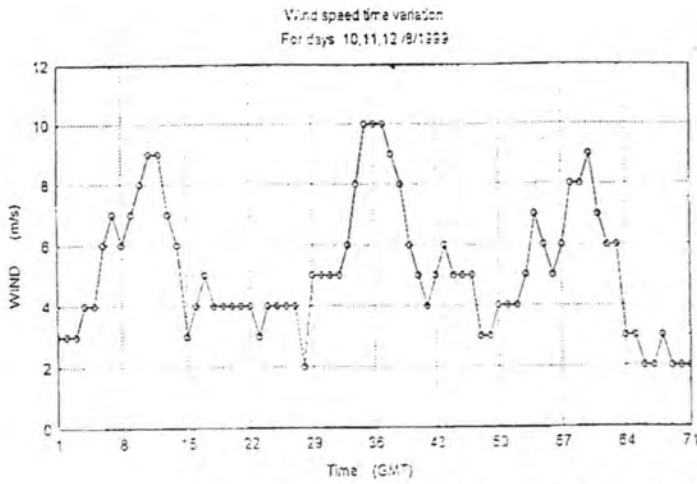
الشكل (٢) : التغير الساعي لكمية الإشعاع الشمسي الكلي الواصل سطح الأرض في بغداد خلال يوم 11/8/1999.



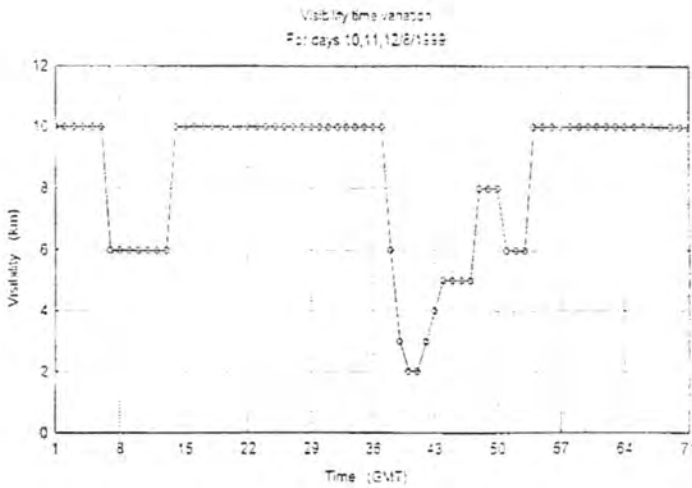
الشكل (٣) : التغير في درجة حرارة الهواء السطحي الساعية خلال الأيام
 ١٠، ١١، ١٢/٨/١٩٩٩ مدينة بغداد.



الشكل (٤) : التغير في قيم الضغط الجوي السطحي الساعية خلال الأيام
 ١٠، ١١، ١٢/٨/١٩٩٩ مدينة بغداد.



الشكل (٥) : التغير في قيم سرعة حركة الهواء السطحي الساعية خلال الأيام ١٠، ١١، ١٢/٨/١٩٩٩ لمدينة بغداد.



الشكل (٦) : التغير الساعى في قيم مدى الرؤية خلال الأيام ١٠، ١١، ١٢/٨/١٩٩٩ لمدينة بغداد.

REFERENCES

1. G. Chimonas and C.O. Hines. Atmospheric gravity waves induced by a solar eclipse. The upper atmosphere in motion, paper 26, pp716-717, American Geophy. Union (1970).
2. G. Chimonas. Internal gravity waves motions induced in the Earth's atmosphere by a solar eclipse. Paper 25, pp 708-714. American Geoph. Union. (1970).
3. S. Datta, P. Bandyopaday and R.N. Datta. J.A.T.P., Vol. 16 pp 182, (1959).
4. K. Rawer. The ionosphere. Frederick Ungar publishing Co., New York, pp. 147 (1951).
5. F. Espenak. NASA/GSFC- Jan (1997).
6. نعمة محسن لفتة. اوصاف الموجة اضغظية لمدينة بغداد. مجلة علوم المستنصرية، مجلد 9. عدد 1. (1998)
7. عوني ادوار عبد الاحد، دراسة الايونوسفير فوق مدينة بغداد خلال الكسوف الكلي للشمس بتاريخ 1999/8/11. بحث محدود التداول. شركة البتاني العامة/ هيئة لاتصنيع العسكري، رقم التوثيق BA 2001301.

دراسة الفعالية ضد المايكروبية المستخلصات أوراق نبات الروجا Hypericum Triquetrifolium

د. كوكب يوسف الساعور* ونهى جوزيف قندلا** وأسراء سعد الدين شمس الدين**

*قسم الكيمياء الصيدلانية/كلية- الصيدلة/جامعة بغداد

**قسم علوم الحياة/كلية العلوم- الجامعة المستنصرية

ABSTRACT

Hypericum Triquetrifolium (TURRA) is a member of Hypericaceae family, the plant is widely grown in the northern plans of Iraq. Different leaves extracts of this plant (Hexane, Acetone, cold Aqueous and direct normal Saline extracts) were prepared and different concentrations of each of this extracts (10, 20, 40, 80, 100, 200, 500) mg/ml were tested against (8) bacterial strains (Staphylococcus Aureus, Streptococcus Pyogenes, Streptococcus Pneumoniae, Bacillus Subtilus, E. Coli, Proteus SP, Klebsiella Pneumoniae, Pseudomonas Aeruginosa) (3) molds (Alternaria SP, Aspergillus Niger, Pythium SP) and Alicans. Result showed that the inhibition potency of Acetone and Hexane extracts are identical on bacterial growth even at low concentration, mean while these two extracts showed mould and yeast inhibition potency at (500) mg/ml while the cold Aqueous extract was action against (4) bacterial strains at high concentration and the direct normal Saline extract was inactive. The MIC of Acetone extract ranges between (20 - 80) mg/ml for gram positive bacteria and (80 - 100) mg/ml for gram negative bacteria, the MBC ranges between (40 - 200) mg/ml for gram positive bacteria and (100 - 200) mg/ml for gram negative bacteria. the study included also the PH influence on the antimicrobial activity of Acetone extract at (100) mg/ml concentration and it has been found that this activity of Acetone extract is more potent at PH range (7 - 8).

الخلاصة

تم تحضير المستخلص النباتي لأوراق نبات الروجا (العران) Hypericum Triquetrifolium (TURRA) الذي ينمو برياً في العراق بطرق مختلفة وشملت (الاستخلاص

د. كوكب يوسف الساعور وجماعتها

باليكسان، الاستخلاص بالاسيتون، المستخلص المائي البارد النقيع الآني). ثم حضرت تراكيز مختلفة لكل منها (10 و 20 و 40 و 80 و 100 و 200 و 300 و 500) ملغم/مل، واختبرت فعاليتها ضد (8) سلالات من البكتريا (Staphylococcus Aureus, Streptococcus Pyogenes, Streptococcus Pneumoniae, Bacillus Stbtillis, Escherichia coli, Proteus Sp. Klebsiella Pneumonia, Pseudomonas Aeruginosa)، و(3) من الالفان (Alternaria - Pythium sp - Aspergillus Niger) وخميرة Candida Albicans. وأظهرت النتائج ان الفعالية التنشيطية لمستخلصا الاسيتون واليكسان متماثلة في تأثيرها على الكتريا حتى عند التراكيز الواطئة منها، في الوقت الذي اظهر فيه هذان المستخلصان فعالية ضد الالفان والخميرة عند التراكيز (500) ملغم/مل، فقد كان المستخلص المائي البارد فعال ضد (4) عزلات بكتيرية عند التراكيز العالية، أما النقيع الآني فقد كان عديم الفعالية. وقد تراوح التركيز المثبط الأدنى (M.I.C.) لمستخلص الاسيتون بين (20 - 80) ملغم/مل بالنسبة للبكتيريا الموجية غرام و (80 - 100) ملغم/مل للبكتريا السالبة لملون غرام، والتركيز القاتل الأدنى بين (40 - 200) ملغم/مل للبكتريا الموجية لملون غرام، أما للبكتريا السالبة لملون غرام فقد تراوح بين (100 - 200) ملغم/مل. وشملت الدراسة تأثير الأس البيدروجيني المختلف على فعالية مستخلص الاسيتون للنبات عند تركيز (100) ملغم/مل، حيث اظير مستخلص الاسيتون أعلى فعالية للأس البيدروجيني (7 - 8).

المقدمة

تركزت جهود الباحثين خلال العقود القليلة الماضية على اكتشاف العديد من الحويبة الجديدة لظهور بعض الأحياء المجهرية المقاومة للمضادات الشائعة الاستعمال، وتوجه الباحثين إلى استخدام مستخلصات النباتات الطبيعية لأعشاب الطبية لما لها من فوائد إيجابية على صحة الإنسان ولتجنب التأثيرات الجانبية الخطرة التي يمكن أن تسببها استخدام الأدوية الكيميائية. ويعد العراق واحد من البلدان التي ركزت اهتمام كبير في مجال تطوير الصناعة الدوائية وتخصيص جانب منها لاستخدام مصادر نباتية محلية، ولا سيما البرية منها أو تلك المزروعة. يعتبر نبات الروجا (*Hypericum Triquetrifolium* (TURRA) ويعرف محليا بـ (العران) وينتمي الى الجنس *Hypericum* ضمن العائلة *Hypericaceae* من النباتات

التي تنمو برياً في مناطق مختلفة من العراق وخاصة المناطق الشمالية وجنوب الموصل وكركوك والسهول الشمالية الغربية (1) .

يعتبر هذا النبات عشب طربي او عطري ينمو على طول السنة وذو ازهار صفراء او برتقالية اللون ، ويمتاز بكونه سام للدواجن والمواشي وخاصة الاغنام والماعز . ويسبب حساسية للانسان عند لمس الأوراق والازهار اثناء الفترة المضيئة (2) .

وقد اشارت العديد من المصادر الى ان مستخلص نبات الروجا ذو فعالية بايولوجية ضد بعض الكائنات الحية (ضد البكتيرية، ضد الفايروسات) ، ويستعمل النوع *Hypericum Uliginosum* في المكسيك لعلاج للاسهال ، حيث تمكن العالم Taylor وجماعته (3) من عزل مركبات مضادة من مستخلص الهيكسان لهذا النبات *Uliginosum A*، *Uliginosum B* ذات فعالية ضد بكتريا *Stajlylococcus Aureu* وضد العفن *Trichophyton Metagrophas* ، اما من مستخلص الاسيتون للنوع *Hypericum Perförtum* عزل المضاد *Novoimanin* ذو فعالية تثبيضية ضد البكتريا الموجية لملون (7) .

وقد عزلت من انواع هذا الجنس مركبات كميائية عديدة حيث تعد من النباتات الغنية بالمواد الفينولية وخاصة *Flavonoid* ، فمن النوع *Hypericum Aucherii* عزلت المركبات (*Glycoside*, *Quercetin* , *Hyperoside* , *Rutin* , *Quercetin*) ومن النوع *Hypericum Attenuatum* استخلصت المركبات (*Hyperines*, *Hyperoside*) و *Chlorogenic Acid* (5) واوضح العالم أشحقق وجماعته (6) ان أنواع جنس هذا النبات حاوية على مركب الهابيرسين والذي يعتبر من المجاميع الفعالة في النباتات .

ونظرا للأهمية للنباتات ولاستمرار الحاجة إلى الحصول على مضادات حيائية من المستخلصات النباتية من المستخلصات النباتية الطبيعية ، فقد جاءت هذه الدراسة لتسند إلى تحضير مستخلصات بطرق مختلفة من أوراق نبات الروجا ودراسة فعاليتها التثبيضية ضد سلالات الأحياء المجهرية الاختبارية وتحدد التركيز المثبط الأدنى والتركيز القاتل الأدنى . وكذلك دراسة تأثير الأس الهيدروجيني المختلف على الفعالية التثبيضية لمستخلص الاسيتون .

المواد وطرائق العمل

تحضير النبات

جمعت أوراق النبات الذي ينمو برياً من المنطقة الشمالية الشرقية للعراق ، وغسل بالماء لإزالة الغبار وجفف في درجة حرارة الغرفة لعدة أيام ثم طحن بالخلاط الكهربائي (7) .

تحضير مستخلصات نبات الروجا

تم تحضير المستخلصات لأوراق نبات الروجا بأربع طرق مختلفة وكالاتي :

الاستخلاص بالنيكسان

حضر هذا المستخلص حسب ما جاء في (3) . ثم حضرت منه التركيز التالي (10 و 20 و 40 و 80 و 100 و 200 و 300 و 500) ملغم/مل ماء .

الاستخلاص بالاسيتون

اتبعت نفس طريقة اعلاه لكن بإضافة الى مسحوق الوراق الجاف بدل من النيكسان وبنفس التركيز المذكور اعلاه (3) .

المستخلص المائي البارد

حضر المستخلص المائي البارد لأوراق نبات الروجا . وحسب ما ورد في (8) . ثم حضرت التركيز (10 و 20 و 40 و 80 و 100 و 200 و 300 و 500) ملغم/مل .

النقيع الاتي للأوراق

حضر بأخذ وزن (2.5) غم من مسحوق أوراق نبات الروجا واذابته بـ (5) مل من المحلول المنحي للحصول على تركيز (500) ملغم/مل ومنه حضرت بقية التركيز (10 و 20 و 40 و 80 و 100 و 200 و 300 و 500) ملغم/مل .

الفعالية ضد المايكروبية لمستخلصات نبات الروجا

لغرض تقدير الفعالية المضاد لمستخلصات المحضرة من أوراق نبات الروجا ضد سلالات الاحياء المجهرية الاختبارية والتي شملت البكتريا الموجبة لملون غرام (Streptococcus)

و Bacillus Subtilis و Staphylococcus Aures و Streptococcus Pyogenes و Pneumoniae) والبكتريا السالبة لملون غيرام (E.Coli, Protues SP, Klebsiella) والاعفان (Pneumoniae, Pseudomonas Aeruginosa) (Alternaria SP, Pythium Agar) ، اتبعت طريقة (Candida Albicans) SP, Aspergillus Nider) الخميرة ، التي تتخلص كمايلي :

زرع وسط ميللز هنتون (Biolife) — (0.1) مل من العائق لكل من سلالات الاختبار البكتيرية ووسط مستخلص الخميرة والشعير الصلب (حضر حسب ماورد في (9) سلالات الأعفان والخميرة بطريقة النشر بعد ان ثبت عدد الخريا المزروعة بمقدار (10)⁶ خلية ، واستعمل ثاقب الفلين لعمل ثقوب قطرها (5) مل ، ثم مائت الحفر بمقدار (100) مايكروليتر ، بالتركيز المحضرة (20 و 40 و 80 و 100 و 200 و 300 و 500) منغم لكل مل و لكل مستخلص . ولضمان انتشار المواد ذات الفعالية بالمستخلصات بصورة جيدة في الوسط ، وضعت الأطباق قبل حضنها في حرارة (4) م لمدة (20) ساعة ، بعدها حضنت في (37)م لمدة (24) ساعة بالنسبة لسلالات البكتيريا و(28)م لمدة (72) ساعة لسلالات الأعفان و خميرة . وسجلت النتائج بالاعتماد على مناطق التنشيط حيث قيس قطر التنشيط —(منم) ، وكبرت التجربة أعداد لكل من المستخلصات المحضرة .

تحديد التركيز المثبط الأدنى (MIC) والتركيز القاتل (MBC) :

اتبعت طريقة التخفيف حسب ما ورد في (10) لتحديد التركيز المثبط الأدنى للمستخلص الاسيتون . حيث حضوت سلسلة من التخفيف المتعاقبة (10 - 200) منغم/مل في انابيب اختبار حاوية على وسط المرق المغذي ولقحت بحجم ثابت منالبكتريا المراد اختبار حساسيتها للمستخلصات بالاضافة الى انبوبة سيطرة (حاوية على وسط المرق المغذي مع اللقاح البكتيري) وحضنت بدرجة (37)م لمدة (24) ساعة ثم لوحضت النتائج وحدد MIC بالاعتماد على عدم وجود نمو بكتيري في اقل تركيز من المستخلص . ولغرض تحديد التركيز القاتل الأدنى MBC تقحت أطباق بتري حاوية على وسط الاكار المغذي —(0.1) مل من عائق أنبوبة الـ MIC والانباب التي لم تظهر نمو مرئي ثم حضنت في حرارة (37)م لمدة (24) ساعة ثم قرعت النتائج وحدد MBC .

الأس الهيدروجيني الأمثل لفعالية مستخلص الاسيتون

لدراسة تأثير الأس الهيدروجيني المختلف على فعالية مستخلص الاسيتون لاورق النبات عند تركيز (100) ملغم/مل . عدل الأس الهيدروجيني للمستخلص باستخدام محلول (0.1 N - NaOH) ومحلول (0.1 N - HCL) ليقرا الأس الهيدروجيني المختلف (6 و 7 و 8 و 9) واختبرت فعالية سلالات الاختبار البكتيري وبطريقة Agar Diffusion Method .

اختبار حساسية السلالات البكتيرية للمضادات الحيوية

اختبرت حساسية السلالات البكتيرية للمضادات الحيوية المستخدمة (المحيزة من شركة Oxide) وذلك بؤرع (0.1) مل من العالق البكتيري على وسط ميلنر هنتون المخذي بطريقة نشر ، ثم وزعت اقراص المضادات الحيوية عليها ، وحضنت الأطباق في حرارة (37) لمدة (24) ساعة بعدما لوحضت النتائج من مناطق التثبيط حول القرص .
النتائج والمناقشة

حساسية سلالات الاختبار البكتيرية للمضادات الحيوية

أظهرت النتائج المثبتة في (جدول - 1) ان بكتريا B-Subtilis كانت حساسة لجميع المضادات الحيوية المستخدمة ، في حين كانت سلالة Staph. Aureus مقاومة لـ Gentamycin . بينما أظهرت سلالتين (Strep. Pyogenes. Strep. Pneumoniae) مقاومتها لثلاث مضادات (Neomycin. Flumequine. Kanamycin) .
أما بالنسبة لسلالات الاختبار السالبة لملون غرام فقد كانت مقاومة لجميع المضادات الحيوية باستثناء اثنان لكل منهم ، فقد اشتركت الأربع سلالات في حساسيتها لمضادي (Gentamycin. Tobramycin) فيما تحسنت الـ F. Coli لمضادات الـ (Gephalexin , Neomycin , Kanamycin) والـ P. Aeruginose لمضادات (Cephalexin) . اما Klebsiella Pneumoniae لمضادي (Neomycin , Kanamycin) وبعد هذا امرا طبيعيا اذ تتميز سلالات البكتيريا الموجبة لملون غرام بحساسيتها لمعظم المضادات الحيوية المعروفة عكس البكتيريا السالبة لملون غرام ، ويرجع سبب ذلك لاختلاف تركيب الغشاء الخارجي الذي يكون نفاذ لمعظم المضادات الحيوية في البكتيريا الموجبة لملون غرام .

الفاعلية ضد المايكروبية لمستخلصات نبات الروجا

أظهرت النتائج الموضحة في (جدول - 2) تماثل في الفعالية التثبيطية لمستخلصا الاسيتون والهيكسان لأوراق نبات الروجا ضد سلالات الاختبار ، حيث اظهرت فعالية مضادة لجميع سلالات البكتيرية الموجبة لملون غرام عند التركيز (80 - 500) ملغم/مل حيث تراوحت مديات منطقة التصيب (9 - 20) ملم ، لمستخلص الاسيتون وبين (8 - 18) ملم لمستخلص النيكسان في حين لم يظهر خدان المستخلصان فعالية ضد العزلات البكتيرية عند التركيز الواطئة باستثناء عزلتي البكتريا الموجبة لملون غرام (*Strepto Pneumoniae* , *Pyogenes*) كانتا حساسية عند التركيز (20 - 40) ملغم/مل ، ولم تظهر أي من العزلات البكتيرية فعالية عند تركيز (10) ملغم/مل في الوقت الذي اظهر فيه هذان المستخلصان فعالية ضد الاعفان عند التركيز (500) ملغم/مل .

واظهر المستخلص المائي البارد فعالية تثبيطية عند التركيز (500) ملغم لاربع عزلات بكتيرية (*Proteus SP* و *E. Coli* و *Staph Aureus* و *Klebsiella Pneumonia*) عندما بلغ قطر منطقة التثبيط (14, 10, 15, 10) ملم على التوالي بينما اقتصررت الفعالية التثبيطية ضد العفن *Alternaria* عند التركيز (500) ملغم / مل بقطر (22) ملم، في حين لم تظهر بقية التراكيز أي فعالية تثبيطية ضد العزلات البكتيرية والاعفان، ولم يكن للنقيع الأني لـأوراق أي فعالية تذكر.

دراسة الفعالية ضد المايكروبية المستخلصات أوراق نبات الـ *Hypericum Triquetrifolium*

د. كوكب يوسف الساعور وجماعتها

جدول (1) حساسية سلالات الاختبار البكتيرية للمضادات الحيوية

سلالات الاختبار البكتيرية								المضاد الحيوي	ت
<i>Pseudomonas aeruginosa</i>	<i>Klasiella pneumoniae</i>	<i>Proteus sp.</i>	<i>E.coli</i>	<i>Bacillus subtilis</i>	<i>Strepto pneumoniae</i>	<i>Strepto pyogenes</i>	<i>Staph aureus</i>		
م	م	م	م	ح	ح	ح	ح	Amoxicillin	1
م	م	م	م	ح	ح	ح	ح	Ampicillin	2
ح	م	م	ح	ح	ح	ح	ح	Cephalexin	3
م	ح	م	ح	ح	ح	ح	ح	Chloramphenical	4
م	م	م	م	ح	ح	ح	ح	Ertromycin	5
م	م	م	م	ح	م	م	ح	Flumequine	6
ح	ح	ح	ح	ح	ح	ح	م	Gentamycin	7
م	ح	م	ح	ح	م	م	ح	Kanamycin	8
م	م	م	م	ح	ح	ح	ح	Lincomycin	9
م	ح	م	ح	ح	م	م	ح	Neomycin	10
م	م	م	م	ح	ح	ح	ح	Penicillin G	11
م	م	م	م	ح	ح	ح	ح	Tetracycline	12
ح	ح	ح	ح	ح	ح	ح	ح	Tobramycin	13
م	م	م	م	ح	ح	ح	ح	(Tri+slupha)*	15

ح = حساسة م = مقاومة

* (Trimethoprim + sulphamethoxazole)

د. كوكب يوسف الساعور وجماعتها

وقد اظهرت النتائج اعلاه ان الاستخلاص بالاسيتون كان الاكفا من بقية المستخلصات على الرغم من تماثل في الفعالية التثبيطية لمستخلص الاسيتون والبيكسان الا ان الاستخلاص بالاسيتون اظهر مناطق تثبيط اوسع مما اظهره الاستخلاص الهيكسان.

وقد حددت قيم التركيز المثبط الادنى والتركيز القاتل الادنى لمستخلص الاسيتون وكما موضح في (جدول 3-) حيث تراوحت قيم الـ MIC (80,80,20,20) ملغم/ مل لكل من البكتيريا الموجبة لملون غرام (*Bacillus subtilis, Staph aureus, S trepto pneumoniae, Strepto pyogenes*) على التوالي (100, 80, 80, 80) ملغم / مل لعزلات السالبة لملون غرام (*Proteus sp, Pseudomonas aeruginosa, Klebsiella pneumoniae, Ecoli*) اما قيم الـ (MBC) تراوحت بين (200-40) ملغم/ لتر للبكتيريا الموجبة و (200-100) ملغم/ مل للبكتيريا السالبة لملون غرام. وهذا يوضح ان اكثر الانواع البكتيرية التي اظهرت حساسية لمستخلص هذا النبات هي (*Strepto pyogenes, Strepto pneumoniae*) ضمن التراكيز الواطنة (20) ملغم / مل، بينما اظهرت البكتيريا السالبة لملون غرام حساسية عند التراكيز العالية وخاصة *Proteus sp*.

وكان مستخلص الاسيتون ذو فعالية تثبيطية جيدة في مدى واسع من الاس الهيدروجيني (6-9) ، في حين كانت اعنى فعالية تثبيطية بين (7-8) وكما موضح في (شكل 2) ان افضل اس هيدروجيني كان (7) عندما اظهر فيه المستخلص اعلى فعالية تثبيطية للعزلات (*Strepto pneumoniae, Strepto pyogenes*) بينما اظهرت باقي العزلات فعالية تثبيطية جيدة عند الاس الهيدروجيني 8 (شكل 3).

ومن النتائج اعلاه نجد ان مستخلص الاسيتون ومستخلص الهيكسان ذا فعالية تثبيطية ضد العزلات البكتيرية عند التراكيز (80-500) ملغم / مل ، وقد تعزى هذه الفعالية الى نوعية المركبات الفعالة في المستخلص والمتمثلة بالمركبات الفينولية ومادة الهايبرسين⁽¹¹⁾ ، وهذا ما تشير له بعض دراسات التي ان المركبات الفينولية المستخلصة من بعض النباتات (*Myrtus communis, callistemon lanceolate*) ذات فعالية مضادة لبعض الانواع البكتيرية الموجبة والسالبة لملون غرام (13,12)

اما المستخلص المائي البارد قد اظهر فعالية تثبيطية ضد عدد من العزلات البكتيرية عند التراكيز اعلى، في حين لم يظهر النقيع الانى أي فعالية تذكر، وقد اشار بعض الباحثين الى ان بعض المواد الموجودة ضمن المستخلص الخام تثبط الفعالية للمركبات الفعالة في

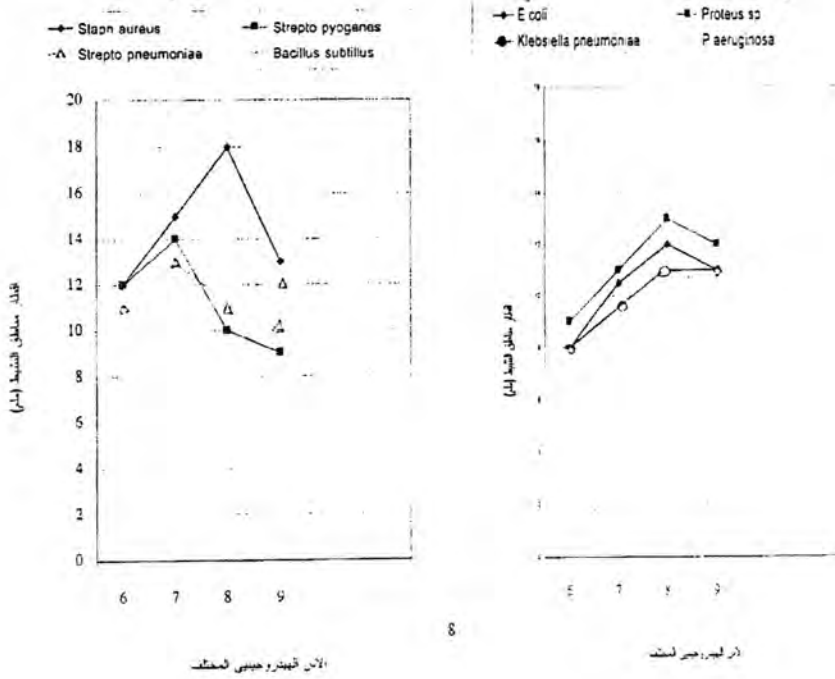
المستخلص⁽¹⁴⁾، في حين تظهر بعض الآراء⁽¹⁵⁾ الفعالية العالية للمستخلص الخام ضد الأحياء المجهرية الاختبارية. وتعكس هذه النتائج ما اشارت اليه العديد من الدراسات منها ما اجريت من قبل Kassir ووجامته⁽¹⁶⁾ والتي اظهرت فيها المستخلصات المختلفة للنوع *H. crispum* فعالية تثبيطية لعدد من الأنواع البكتيرية الموجبة والسالبة لملون غرام وبعض الخمائر، واطهر المستخلص الكحولي لبعض انواع جنس هذا النبات فعالية تثبيطية قليلة ضد بعض الانواع البكتيرية عند التراكيز الواطئة (1000)(100)⁽¹⁷⁾.

وفي نهاية هذه الدراسة لايسعنا الا ان نتقدم بالشكر الجزيل الى الدكتور عمر خليل رمان / قسم وقاية النبات والهيئة العامة للبحوث الزراعية والموارد المائية لتزويدنا بهذا النبات مشخص الى النوع.

جدول (3) : قيم (MIC) و (MBC) لمستخلص الالسينون لاوراق نبات الروجا

التركيز الغائل الأدنى (MBC) ملغم/مل	التركيز المنشط الأدنى (MIC) ملغم/مل	السلالات البكتيرية
200	80	Staph Aureus
40	20	Strepto Pyogenes
40	20	Strepto Pneumoniae
200	80	Bacillus Subtilis
100	80	E. Coli
200	100	Proteus SP
200	80	Klebsiella Pneumoniae
200	80	Pseudomonas Aeruginosa

ش 10 - تأثير الامر الفيتروجيني المختلف على نمطية قسطنطينية لمستخلص الاسيتون عند (أ- الفكتريا: نموعة لمون غرام) و(ب- الفكتريا: البسائة لمون غرام)



المصادر

1. Al-Rawi, A. & Chakkraverty, H.I. Medicinal Plants of Iraq. 2nd Editin. Ministry of Agriculture Irrigation. Baghdad. Iraq. (1988).
2. Chakravarty, H.I. Plant Wealth of Iraq (A Dictionary of Economic Plants). Ministry of Agriculture and Irrigation, Baghdad Iraq. (1976).
3. Tayler, H.L., & Brooker, R.M. The Isolation of Uliginosum A and B from Hypericum. Uliginosum. 1- Loydia. 32: No.2. (217 - 219). (1969).
4. Derbensteve, N.A., Rabinovich, A.S. & Zelepuka, S.I. Novoimanine. an Antibiotic Preperation from Dopovidi Akad. Nauk Ukr. 9: 1248 - 50. (1963).

5. Akhatardzhev, Khr, Nakov, Tsendow, I.I. Polyphenol Compound, in hypericum species growing in Bulgaris . II. Flavonoid in Hypericum Olympicum. Farmataiya (Sofia), 23: 37-40. (1973).
6. Deshmukh, S.D. & Borle, M.N. Studies on the Insecticidal Properties of Indigenous Plant Products. Indian J.Ent., vol (37)(1): 11 - 8. (1975).
7. Adaay, M.H. Rashaan, L.J. & Sulayman, K.D. Antimicrobial Activity of Different Extracts from the Seeds of Peganum Harmala. IltOterapia. Lx(40:363 - 3. (1989).
8. Shirling, E.B. & Gotteieb, D. Methods for Characterization of Streptomyces Species. Int., J.Sys. Bacteriol., 16(3):313-340. (1966).
9. Baron. E.J. & Finegold. S.M. Diagnostic Microbiology. (8th) Edition. The C.V. Mosby Company. U.S.A. .(1990).
10. Kolesnikova. A.S. Bacteriocidal & Immuncorrective Properties of Plant Extracts. Microbiol Epidemiol Immunobiol. 3:75-78. (1986).
11. Twajj. H.A.. Ali, H.S. & Al-Zohyri, A.M. Pharmacological Phytochemical & Antimicrobial Studies on Myrtus Communis Part 2: Glycaemii C & Antimicrobial Studies. Bio.Sci.Res.J., 19(1):41-52. (1988).
12. Nadir,M.T.. Salih F.M. Evaluation of Antimicrobial Activity in some of the Iraqi Plants, J.Biol.Sci.,16(2):169-178. (1985)
13. Leven.M.B..Berghe,D.A.;Vlietnick,A. & Lammens.E. Screening of higher Plants for Biological Activity.Planta Medica. 36(4):311-321. (1979).
14. Low,D.:Rawal,B.D. & Griffin,W.J. Antimicrobial Action of Essential Oils of Some Australian Myrtaceae with special references to the activity of Chromatographic fractions ofoil of Eucalyptus Citriodora. Planta Medic,26(2):184-189. (1974).
15. Kassir.T.J.: Al-Hindawi,N., & Marcus.Y.W. Mycrobiological Activity of Extracts of Hypericum Crispum. (1981).
16. Al-Shamma. A. & Mitscher.L.A. Comprehensive survey of Indigenous Iraqi plants for Economic value. Screening results of 327 Species for Alkaloids and antimicrobial agents. J. of Nat. Prod. (Lloydia.),42(6):633-642. (1979).

دراسة بعض الخواص البصرية لأغشية الرقيقة PbSnTe

د. زياد طارق* ، د. فائز البيرقدار* ، د. ابراهيم رمضان** ، صبا جميل حسن**

* منظمة الطاقة الذرية

** كلية العلوم الجامعة المستنصرية

الخلاصة

تم في هذا البحث تحضير أغشية PbSnTe الرقيقة باستخدام طريقة التبخير الحراري في الفراغ بتراكيز واسماك مختلفة ودراسة بعض الخواص البصرية. أظهرت النتائج ان معامل الامتصاص الكبر من (10^3 cm^{-1}) ويتغير مع تغير التركيز والسلك، وكذلك معامل الخمود وفجوة الطاقة الممنوعة، وتشير النتائج الى ان فجوة الطاقة في الانتقالات الالكترونية المباشرة المسموحة في المدى $(0.65-1.35) \text{ eV}$ وقيمتها الالكترونية غير المباشرة المسموحة فكانت في المدى $(0.44-1.25) \text{ eV}$ وقيمتها في الانتقالات الالكترونية غير المباشرة الممنوعة في المدى $(0.38-1.25) \text{ eV}$.

المقدمة

تمتاز العقود الاخيرة بتطور شامل وسريع في علم اشباه الموصلات نتيجة البحوث المتواصلة من اجل تحسين مواصفات وخصائص المواد المستخدمة وبالتالي زيادة كفاءة تطبيقها وتوسيع مجالات استخدامها. وتعد المركبات المحضرة من اتحاد عناصر المجموعتين [IV-VI] وان مواصفات وخصائص ملائمة لتصنيع الكواشف وكمثال على ذلك المركب PhSnTe والسليكون يستخدم لتصنيع كواشف الاشعة تحت الحمراء وفي المدى $(8-14) \mu\text{m}$ بالاضافة الى التطبيقات الاخرى⁽¹⁾. ويمتاز هذا المركب بكون فجوة الطاقة تتغير مع تغير التركيز ودرجة الحرارة⁽²⁾ وكما موضح بالشكل رقم (1). بالاضافة الى تعدد طرق تحضيره كبلورات وكأغشية مختلفة السمك.

د. زياد طارق و د. فائز البيرقدار

ان دراسة الخواص البصرية لاشباه الموصلات تزودنا بمعلومات حول طبيعة الانتقالات الالكترونية بالاضافة الى الثوابت البصرية الخاصة بالمادة فعند سقوط الضوء على المادة فان جزء منه ينفذ وجزء اخر ينعكس وجزء يمتص⁽³⁾ ويرتبط الشعاع الساقط I_0 و النفاذ I بالعلاقة⁽⁴⁾ :

$$I = I_0 \exp(-\alpha t) \quad \dots\dots (1) \quad \text{تسمك العينة } t$$

α معامل الامتصاص والذي يمثل النقصان الحاصل في فيض طاقة الاشعاع او الشدة بالنسبة لوحد المساحة ويمكن حسابه من العلاقة:

$$\alpha = 2303 A t \quad \dots\dots (2) \quad \text{A الامتصاصية , } \alpha \text{ سمك العينة}$$

يرتبط معامل الامتصاص بمعامل الخمود والذي يمثل الخمود الحاصل في الموجة الكهرومغناطيسية داخل المادة وبموجب العلاقة⁽⁵⁾ :

$$K_0 = \alpha \lambda / 4\pi \quad \dots\dots (3)$$

ويمكن استنتاج طبيعة الانتقالات الالكترونية بالاعتماد على معامل الامتصاص فاذا كانت $\alpha > 10^3 \text{ cm}^{-1}$ فان الانتقالات الالكترونية من النوع المباشر (المسوحة والممنوعة) اذ يكون قعر حزمة التوصيل يقابل قمة حزمة التكافؤ بحيث ان المتجه الموجب للالكترون لا يغير ($\hat{K} = 0$) ويكون الزخم والطاقة محفوظين⁽⁶⁾ ،

$$\vec{K}_f = \vec{K}_i + \vec{q} \quad \dots\dots (4)$$

\vec{K}_i, \vec{K}_f المتجه الموجي للالكترون في كل من حزمتي التكافؤ والتوصيل على التوالي \vec{q} المتجه الموجي للفوتون الممتص.

أما إذا كانت $\alpha > 10^{+3} \text{cm}^{-1}$ عندئذ تحدث الانتقالات غير المباشرة المسموحة والممنوعة ويكون الطاقة والزخم غير محفوظين ولذلك يرافق هذه الانتقالات امتصاص أو انبعاث فوتون لغرض تحقيق قوانين حفظ الطاقة والزخم⁽⁷⁾

$$\vec{K}_i = \vec{K}_f + \vec{K}_p \quad \dots(5)$$

\vec{K}_p المنجه الموجي للفوتون

أن عملية امتصاص أو انبعاث الفوتونات في هذه المسألة يعتمد على درجة الحرارة ففي درجات الحرارة الواطئة يتضاءل امتصاص الفوتونات وتزداد احتمالية انبعاث الفوتونات اما في درجات الحرارة العالية فيناك احتمالية لانبعاث وامتصاص الفوتونات^(6,7).

الجانب العملي

يتضمن هذا الجانب مرحلتين

1. تحضير الأغشية

بعد تحضير المركب $(\text{Pb}_{1-x}\text{Sn}_x)_{49}\text{Te}_{51}$ بتركيز مختلفة $X = 0.20, 0.04, 0.60$ وفحصيا والتأكد من تركيبها البلوري⁽⁸⁾، تم تحضير (ترسيب) ثلاثة أغشية مختلفة السمك (1000، 5000، 7000) Å لكل تركيز بطريقة التبخير الحراري بالفراغ باستخدام جهاز من نوع Lybold coating unit، وتم تهيئة قواعد زجاجية لعملية الترسيب وتظيفها وغسلها بالماء ومساحيت التنظيف ثم بالماء المقطر والكحول النقي وتجفيفها بالغرف، واستخدام حويض المولبديوم لغرض صهر المركب لكونه يتحمل درجات الانصهار العالية، وبعد تظيف المنظومة وضعت القواعد الزجاجية في مكانها المخصص ووضع المركب داخل الحويض ثم اجريت عملية التفرغ التي 10^{-5} torr وقبل عملية الترسيب سخنت القواعد الزجاجية الى 100°C وكان معدل الترسيب 34.42 Å/sec (10.2).

2. القياسات البصرية

تم قياس تسجيل طيف الامتصاصية والنفاذية بدرجة حرارة الغرفة في منطقة UV-Visible باستخدام جهاز من نوع

د. زياد طارق و د. فائز البيرقدار

UV-Visible Recording Spectrophotometer – UV160 Shimadiza

وفي المدى nm (1100-200) وكثر (20nm) مع اجراء عملية المعايرة والتصفير بالزجاج لالغاء تأثيره على النماذج بين تقياس ودرجة حرارة الغرفة، تم حساب بعض الثوابت البصرية باستخدام برنامج حاسوبي .

النتائج والمناقشة

طيف التناذية والامتصاصية في منطقة UV-Visible

تم قياس طيف تنافذية وامتصاصية كدالة للطول الموجي للأغشية المحضرة، ويمثل الشكل رقم (2) تغير طيف تنافذية مع طول الموجي كدالة للسلك ونلاحظ انها تقل مع زيادة السمك لجميع النماذج.

وكذلك نجد ان تنافذية الأغشية بسلك 5000Å و 7000Å تكون متقاربة، ومن الشكل رقم (3) الذي يمثل تغير طيف الامتصاصية مع الطول الموجي كدالة للتركيز فقد لوحظ ان الامتصاصية تزداد مع زيادة تركيز من 20% الى 40%. ثم تقل بزيادة التركيز الى 60%. وكذلك نجد النموذج بسلك 1000Å تركيز 60% يمتلك ادنى امتصاصية من بقية النماذج مع انحراف قمة المنحني نحو أطول نضطة. وبشكل عام لوحظ ان النماذج المحضرة من التركيز 60% كانت متبذبة السلك مع تغير طول الموجي.

أظهرت نتائج تجاربنا في منطقة UV-Visible ان شكل منحني الامتصاصية يتغير مع تغير سمك الأغشية حيث تزداد قمة المنحني اتساعاً مع زيادة سمك الأغشية وكذلك نلاحظ حدوث زيادة في الامتصاصية كلما نقصت بالنفاذية مع زيادة السمك وهذا يتفق مع المعادلة (2).

أما تأثير التركيز فقد أدى زيادة التركيز من 20% الى 40% الى زيادة الامتصاصية ثم تقل بزيادة التركيز الى 50% ويعود سبب في ذلك الى حالي ان تبلور حيث ان انخفاض التبلور بزيادة تركيز من 20% الى 50% يؤدي الى زيادة امتصاصية المادة والعكس صحيح لذلك تقل الامتصاصية بزيادة التركيز الى 60% ولم يتوفر لدينا بحوث سابقة تتناول دراسة الخواص البصرية في منطقة UV-Visible في درجة حرارة الغرفة لغرض المقارنة.

معامل الامتصاص (α)

تم حساب معامل الامتصاص بموجب العلاقة (2) وأظهرت النتائج ان قيمة (α) في جميع الأغشية المحضرة اكبر من (10^{+3}cm^{-1}) يوضح الشكل رقم (4) تغير معامل الامتصاص مع طاقة الفوتون كدالة للسلك ونلاحظ ان (α) تزداد مع زيادة طاقة الفوتون في المدى $1.13-2 \text{ eV}$ وتشكل قمة يزداد اتساعها مع زيادة السمك في المدى من $2-4 \text{ eV}$ ثم تقل مع زيادة طاقة الفوتون.

لوحظ نقصان معامل الامتصاص مع زيادة سمك الأغشية في النماذج المحضرة من التراكيز 20% و 40% وكذلك النماذج بسمك $(5000-7000) \text{ \AA}$ بتركيز 60%. وينفرد النموذج 1000 \AA من هذا التركيز بأدنى معامل امتصاص من جميع الأغشية الأخرى مع انحراف قمة المنحني (معامل الامتصاص) نحو الطاقات العالية.

أما تأثير التركيز يوضح الشكل (5) تغير معامل الامتصاص مع طاقة الفوتون كدالة للتركيز ونلاحظ ان (α) تزداد مع زيادة التركيز من 20% الى 40%، ثم تقل مع زيادة التركيز الى 60% مع تذبذب واضح في سلوك النموذج بسمك 7000 \AA من هذا التركيز. لكون منحنى معامل الامتصاص يكون ادنى من بقية النماذج (من نفس السمك) في المدى $2-7 \text{ eV}$ ثم توحيف قمته نحو الطاقات العالية.

تبين نتائج حسابات معامل الامتصاص للأغشية المحضرة بدلالة طيف الامتصاصية ان قيم معامل الامتصاص اكبر من 10^3 cm^{-1} وهذا يدل على احتمالية حصول الانتقالات الالكترونية المباشرة ولا يمنع ذلك حصول الانتقالات غير المباشرة ونلاحظ من تغير معامل الامتصاص مع طاقة الفوتون كدالة للسلك انه (α) تقل مع زيادة السمك الأغشية وهذا يتفق مع المعادلة (2) وينفرد النموذج بتركيز 60% وسمك 1000 \AA بادنى معامل امتصاص لكون امتصاصية اقل من بقية الأغشية وتعتقد ان ذلك يعود الى التبلور الكبير في ذلك السمك اما تأثير التركيز فقد اظهرت النتائج بأن معامل الامتصاص يزداد مع زيادة التركيز من 20% الى 40% ثم يقل مع زيادة التركيز الى 60% وان سبب الزيادة يعود الى زيادة الامتصاصية نتيجة لانخفاض التبلور وبالتالي زيادة معامل الامتصاص والعكس صحيح.

معامل الخمود (K_0)

تم حساب معامل الخمود بموجب العلاقة (3)

ويوضح الشكل 6 رقم تغير معامل الخمود مع طاقة الفوتون كدالة للسلك. ونلاحظ إن (K_0) يكون ثابت في المدى من $1.13-2$ eV ثم يقل بشكل سريع مع زيادة طاقة الفوتون في النماذج بسك 1000 \AA . أما في النماذج بسك $(5000-7000) \text{ \AA}$ نلاحظ قمة في المدى $1.5-2.5$ eV ثم يبيض ثمحي بشكل سريع مع زيادة طاقة الفوتون.

باتسبة لتأثير ذلك نلاحظ ان معامل الخمود يقل مع زيادة السمك في النماذج المحضرة بتركيز 20% و 40% . وكذلك النماذج بسك $(5000-7000) \text{ \AA}$ من التركيز 60% وينفرد النموذج بسك 1000 \AA من هذا التركيز بادنى قيمة لمعامل الخمود عن بقية النماذج ومن الشكل رقم (7) الذي يشرح تغير معامل الخمود مع طاقة الفوتون كدالة للتركيز نجد ان (K_0) يزداد مع زيادة تركيز من 20% الى 40% ثم يقل بزيادة التركيز الى 60% مع تذبذب واضح في سلوك النماذج المحضرة من تركيز الأخير مع تغير طاقة الفوتون.

تتبع نتائج التحريات في هذا المجال نقصان معامل الخمود مع زيادة سمك الأغشية وذلك لارتباط معامل الخمود ومعامل الامتصاص بالعلاقة (3) وينفرد النموذج بسك 1000 \AA وبتركيز 60% بادنى معامل خمود من طريقة النماذج للأسباب الموضحة سابقاً أما زيادة التركيز فانها تؤدي الى زيادة معامل الخمود بزيادة التركيز من 20% الى 40% ثم يقل بزيادة التركيز الى 60% وان سبب التذبذب ونقصان على التوالي يعود لزيادة ونقصان معامل الامتصاص وكما موضح سابقاً.

طاقة الفجوة الممنوعة

طاقة الفجوة الممنوعة للاحتلال الإلكتروني المباشر المسموح

حيث طاقة الفجوة الممنوعة في الانتقال المباشر المسموح من العلاقة

$$(\alpha h\nu)^2 = \alpha_0^2 (h\nu - E_g) \quad \dots (6)$$

من المنحني المرسوم في الشكل 7 مع طاقة الفوتون ومد الجزء المستقيم من المنحني يُقطع إحداثي طاقة الفوتون عند $(h\nu)^2 = 0$ والتي تمثل قيمة طاقة الفجوة الممنوعة، ويمثل الشكل (8) تغير طاقة الفجوة الممنوعة في الانتقال المباشر المسموح للأغشية بسك 1000 \AA وبتركييز

مختلفة ونلاحظ ان طاقة الفجوة الممنوعة نقل بزيادة التركيز من 20% الى 40% ثم تزداد مع زيادة التركيز الى 60%.

وتبين الجدول رقم (1) تأثير السمك والتركيز على قيمة طاقة الفجوة لجميع الأغشية المحضرة ونلاحظ ان قيمة الفجوة نقل مع زيادة السمك لجميع الأغشية ما عدا النموذج بسمك 7000\AA من التركيز 40% اما تأثير التركيز نلاحظ بالاضافة الى ما ذكر اعلاه ان النموذج بسمك 7000\AA من التركيز 60% كانت اقل من قيمتها المتوقعة.

اظهرت نتائج دراسة فجوة الطاقة الممنوعة في هذا الجانب ان قيمتها تتراوح بين $0.65-1.35\text{eV}$ لجميع النماذج المحضرة، وبالنسبة لتأثير السمك، فان طاقة الفجوة نقل بزيادة سمك الاغشية ما عدا النموذج بسمك 7000\AA وبتركيز 40% ان سبب النقصان يعود الى زيادة عدد الذرات لوحدة الحجم نتيجة لزيادة السمك والذي يؤدي الى زيادة الامتصاصية والتي تسبب زيادة عدد الانتقالات الالكترونية، اما بخصوص النموذج بتركيز 40% وبسمك 7000\AA فان زحف قمة المنحني نحو الطاقات العالية ادى الى زيادة طاقة فجوته، وعند زيادة التركيز من 20% الى 40% اظهرت النتائج نقصان طاقة الفجوة وتزداد بزيادة التركيز الى 60% ان سبب النقصان يعود الى انخفاض التبلور الذي يؤدي الى زيادة المستويات الموضعية داخل فجوة الطاقة، واما سبب الزيادة فيعود الى انتظام الترتيب البلوري وانخفاض العيوب التركيبية والمستويات الموضعية داخل فجوة الطاقة، واطهر النموذج بسمك 7000\AA وبتركيز 60% طاقة الفجوة صغيرة وهي ذات قيمة غير متوقعة تعتقد ان سبب ذلك يعود لتذبذب سلوكه الناتج عن عملية التحضير او الترسيب.

لم يتوفر لدينا بحث سابق في حساب طاقة الفجوة الممنوعة في درجة حرارة الغرفة (R.T) وانما فقط في حالة التبريد وفي درجات حرارية مختلفة مثل 0K (77-12) اما من حيث السلوم العام (تأثير التركيز) فان نتائج بحثنا تتفق مع نتائج البحوث المنشورة ما عدا النموذج بسمك 7000\AA بتركيز 60%.

طاقة الفجوة الممنوعة في الانتقال الالكتروني المباشر الممنوع

حسبت طاقة الفجوة الممنوعة للانتقال المباشر الممنوع من العلاقة :-

$$(\alpha h\nu)^{2/3} = \alpha_0^{2/3} (h\nu - E_g) \quad \dots(7)$$

د. زياد طارق و د. فائز البيرقدار

من المنحنى المرسوم بين $(\alpha h\nu)^{2/3}$ وطاقة الفوتون واي جزء مستقيم من المنحنى يدل على طاقة الفجوة ويوضح الشكل (9) العلاقة بين $(\alpha h\nu)^{2/3}$ مع طاقة الفوتون لأغشية بسلك 5000\AA مختلفة التراكيز ونلاحظ ان قيمة طاقة الفجوة تقل مع زيادة التركيز من 20% الى 40% ثم تزداد بزيادة التركيز الى 60%.

ويبين الجدول رقم (2) تأثير السمك والتركيز على قيمة طاقة الفجوة الممنوعة في الانتقال المباشر الممنوع ونلاحظ بان زيادة السمك تؤدي الى نقصان طاقة الفجوة الممنوعة لجميع الأغشية المحضرة ما عدا النموذج بسلك 7000\AA بتركيز 40% وبالنسبة لتأثير التركيز (X) بالإضافة الى ما ذكر أعلاه نلاحظ ان النموذج بسلك 7000\AA من التركيز 60% كانت قيمة فجوة طاقة اقل من قيمتها المتوقعة نظراً لتذبذب سلوك امتصاصية مع تغير الطول الموجي.

أظهرت النتائج في هذا المجال ان طاقة الفجوة الممنوعة تتراوح قيمتها $0.65-1.20\text{eV}$ لجميع النماذج المحضرة وكان تأثير السمك والتركيز مشابه لما ورد في ابيات سابق ولنفس الاسباب.

طاقة الفجوة الممنوعة في الانتقالات الالكترونية غير المباشرة المسموحة

تد حساب طاقة الفجوة الممنوعة للانتقال غير المباشر المسموح من العلاقة

$$(\alpha h\nu)^{1/2} = \alpha_0^{1/2} (h\nu - E_g \pm E_p) \quad \dots(8)$$

ومن المنحنى المرسوم بين $(\alpha h\nu)^{1/2}$ وطاقة الفوتون من الشكل (10) الذي يمثل طاقة الفجوة الممنوعة في الانتقال غير المباشر المسموح لأغشية بسلك 7000\AA مختلفة التراكيز نلاحظ ظهور جزئين مستقيمين تتحقق بموجبهما المعادلة المذكورة اعلاه الاول يقع عند الطاقات الواطئة ويمثل الانتقالات الالكترونية التي يرافقها امتصاص فونون اما الخط الثاني فيقع عند الطاقات العالية حيث يمثل الانتقالات الالكترونية التي يرافقها انبعاث فونون ومن نقطة تقاطع هذه الخطين نستقيمين مع أحدهما طاقة الفونون نحصل على قيمة طاقة الفجوة الممنوعة وطاقة الفوتون اللازمة للانتقال الالكتروني غير المباشر المسموح وكذلك نلاحظ من الشكل نفسه ان طاقة الفجوة تقل مع زيادة التركيز من 20% الى 40% وتم تزداد بزيادة التركيز الى 60% وكانت قيمة طاقة

الفجوة الممنوعة للنموذج بسمك 7000\AA وبتركيز 60% اقل من قيمتها المتوقعة للأسباب المذكورة سابقاً.

يبين الجدول رقم (3) تأثير السمك والتركيز على طاقة الفجوة الممنوعة في الانتقال غير المباشر المسموح للأغشية المحضرة ونلاحظ بأنها تقل مع زيادة سمك الأغشية ما عدا النموذج بسمك 7000\AA من التركيز 40%.

أظهرت النتائج في هذا الجانب ان قيم طاقة الفجوة الممنوعة تتراوح بين (0.44-1.25)eV وطاقة الفوتون المرافقة لهذه الانتقالات (0.02-0.09)eV، كذلك نجد ان طاقة الفجوة تقل مع زيادة سمك الأغشية ما عدا النموذج بسمك 7000\AA بتركيز 40% ونقل ايضاً بزيادة التركيز من 20% الى 40% ثم تزداد بزيادة التركيز الى 60% ولأسباب الموضحة سابقاً.

طاقة الفجوة الممنوعة في الانتقالات الالكترونية غير المباشرة الممنوعة

تم حساب طاقة الفجوة الممنوعة في الانتقال غير المباشر الممنوع من العلاقة

$$(\alpha h\nu)^{1/3} = \alpha_0^{1/3} (h\nu - E_g \pm E_p) \quad \dots(9)$$

ويمثل الشكل رقم (11) العلاقة بين $(\alpha h\nu)^{1/3}$ مع طاقة الفوتون لبعض الأغشية لمحضرة ونلاحظ ظهور جزئين مستقيمين للمنحنى تتحقق بموجبهما العلاقة اعلاه، الاول يقع عند الطاقات العالية ويمثل الانتقالات الالكترونية التي يرافقها انبعاث فوتون والخط الثاني يقع عند الطاقات الواطئة ويمثل الانتقالات الالكترونية التي يصاحبها امتصاص فوتون.

يبين الجدول (4) تأثير السمك والتركيز على قيمة طاقة الفجوة والفوتون في الانتقالات الالكترونية غير المباشرة الممنوعة ونلاحظ ان طاقة الفجوة تقل بزيادة سمك الاغشية ما عدا النموذج بسمك 7000\AA بتركيز 40% وكذلك تقل بزيادة التركيز من 20% الى 40% ثم تزداد مع زيادة التركيز الى 60%.

أظهرت النتائج ان قيم فجوة الطاقة تتراوح بين (0.38-1.25)eV وطاقة الفوتون المرافق لهذه الانتقالات (0.01-0.05)eV عند زيادة السمك نقل طاقة الفجوة ما عدا النموذج بسمك 7000\AA بتركيز 40% وكذلك تقل بزيادة التركيز من 20% الى 40% ثم تزداد عند زيادة التركيز الى 60%.

الاستنتاجات

1. تتأثر الخواص البصرية بتغير السمك والتركيز حيث ازدادت الامتصاصية مع زيادة سمك الأغشية في المنطقة (UV-Visibil) من الطيف مع تذبذب سلوك النماذج المحضرة من التركيز الأخير مع الطول الموجي اما تأثير التركيز فان الامتصاصية تزداد مع زيادة التركيز من 20% الى 40% ثم تقل مع زيادة التركيز الى 60%.
2. ان طبيعة الانتقالات الالكترونية للمادة من النوع المباشر وغير المباشر يقلل معامل الامتصاص مع زيادة السمك لجميع الأغشية المحضرة وكذلك يزداد مع زيادة التركيز من 20% الى 40% ثم يقل بزيادة التركيز الى 60% ونفس السلوك لوحظ في منحنيات معامل الخمود.
3. تقل طاقة الفجوة الممنوعة المباشرة وغير المباشرة بنوعيا المسموحة والممنوعة مع زيادة السمك ما عدا النموذج بسمك 7000\AA من التركيز 40% حيث تزحف قيمة المنحني نحو الطاقات العالية اما تأثير التركيز فان طاقة الفجوة تقل مع زيادة التركيز من 20% الى 40% ثم تزداد بزيادة التركيز الى 60% ولوحظ تذبذب سلوك النماذج المحضرة من التركيز الأخير.

جدول رقم (1) تأثير السمك والتركيز على طاقة الفجوة الممنوعة في الانتقال المباشر المسموح
أ- التركيز 20%

السمك \AA	Eg(eV)
1000	1.10
5000	0.92
7000	0.80

ب- التركيز 40%

السمك \AA	Eg(eV)
1000	0.90
5000	0.65
7000	0.70

ج- التركيز 60%

السلك Å	Eg(eV)
1000	1.35
5000	0.95
7000	0.72

جدول رقم (2) تأثير السلك والتركيز على طاقة الفجوة الممنوعة في الانتقال المباشر الممنوع

أ- التركيز 20%

السلك Å	Eg(eV)
1000	1.00
5000	0.80
7000	0.75

ب- التركيز 40%

السلك Å	Eg(eV)
1000	0.90
5000	0.65
7000	0.70

ج- التركيز 60%

السلك Å	Eg(eV)
1000	1.20
5000	0.90
7000	0.72

د. زياد طارق و د. فائز البيرقدار

جدول (3) تأثير السمك والتركيز على طاقة الفجوة الممنوعة وطاقة الفونون في الانتقالات
الالكترونية غير المباشرة المسموحة

أ- التركيز 20%

السمك Å	$E_g(eV)$	طاقة الفونون $E_p(eV)$
1000	1.00	0.09
5000	0.78	0.02
7000	0.75	0.05

ب- التركيز 40%

السمك Å	$E_g(eV)$	طاقة الفونون $E_p(eV)$
1000	0.73	0.02
5000	0.44	0.04
7000	0.63	0.02

ج- التركيز 60%

السمك Å	$E_g(eV)$	طاقة الفونون $E_p(eV)$
1000	1.25	0.05
5000	0.85	0.05
7000	0.73	0.04

جدول (4) تأثير السمك والتركيز على طاقة الفجوة الممنوعة وطاقة الفونون في الانتقالات
الالكترونية غير المباشرة الممنوعة

أ- التركيز 20%

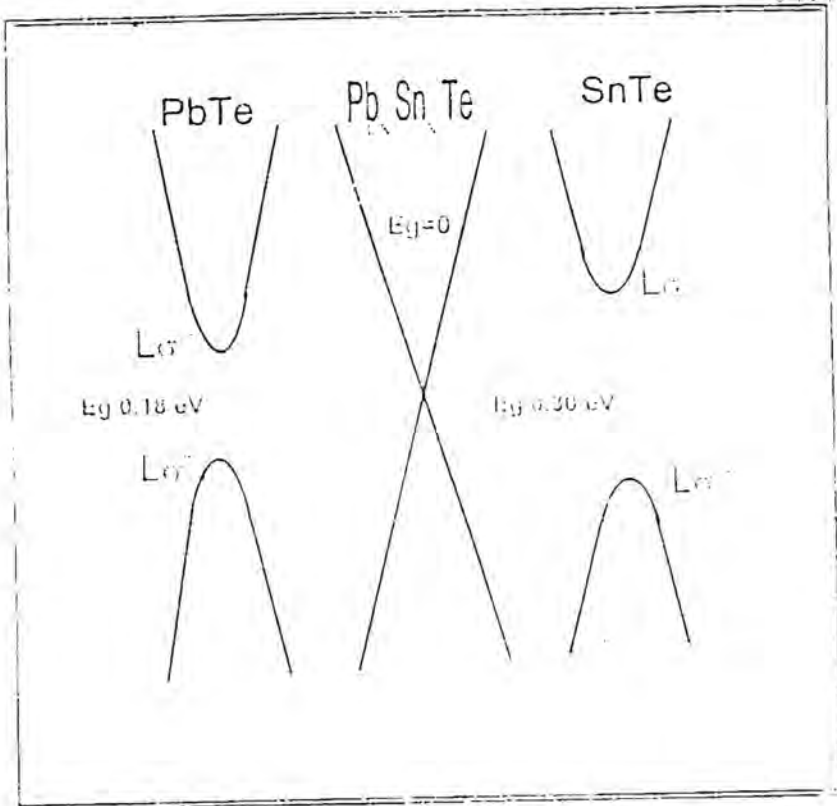
السمك Å	Eg(eV)	طاقة الفونون Ep(eV)
1000	0.75	0.05
5000	0.73	0.02
7000	0.71	0.01

ب- التركيز 40%

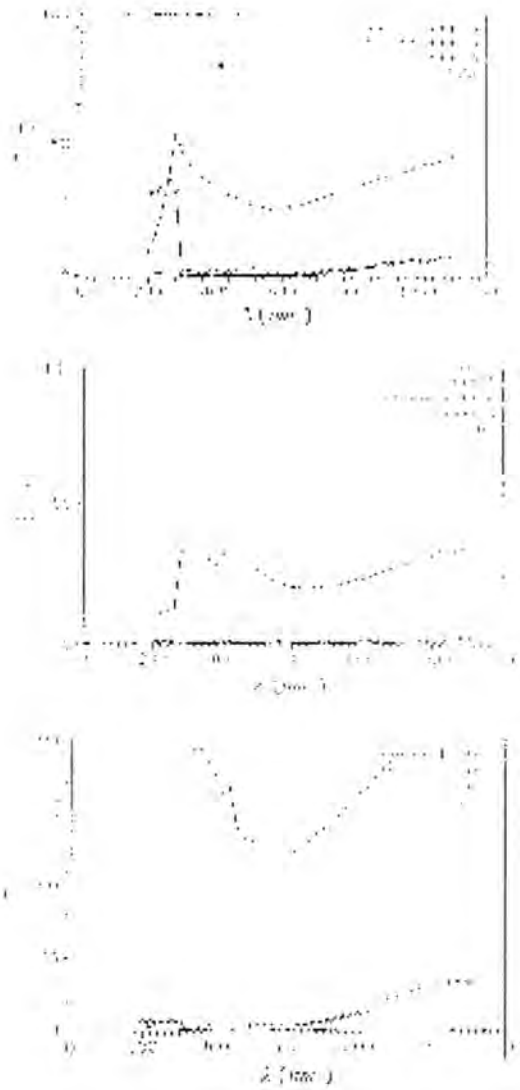
السمك Å	Eg(eV)	طاقة الفونون Ep(eV)
1000	0.83	0.02
5000	0.38	0.02
7000	0.64	0.05

ج- التركيز 60%

السمك Å	Eg(eV)	طاقة الفونون Ep(eV)
1000	1.15	0.05
5000	0.95	0.05
7000	0.65	0.03



شكل (1-1)⁽⁸⁾ مخطط التركيب الحزمي في المركب $PbSnTe$ (at 12k)



الشكل رقم (2) تغير طيف النفاذية مع الطول الموجي

كدالة للسماك

دراسة بعض العوامل البيئية المؤثرة على توزيع وانتشار حفر السرطانات

حمزة عبد الحسن كاظم و سحر طارق الملا
قسم علم الارض - كلية العلوم - جامعة البصرة

ABSTRACT

This study includes some environmental factors which are affecting the distribution of the crab burrows. Three stations were selected in the area. The study showed that the activity of small crabs appears to be in the lower intertidal flat. Most of burrows diameters were less than (20) mm, and their depth were small and ranging between (3-12) cm. And having simple shapes. unbranched and subhorizontal, the number of burrows ranging between (150-380) burrow in $4m^2$. In the upper intertidal flat appears the active of adult crabs is not clear, the burrows are large in diameter (20-30) mm with increasing depth (60) cm, and taking the form Y, J, U, H.. In the high flat the number of burrow is decreased (12-50) burrows in $4m^2$, burrows diameter were increased more (30 mm) and the depth more than (60 cm) taking form Y, U, J, H. and other shapes.

الخلاصة

شملت الدراسة بعض العوامل البيئية التي لها تأثير على توزيع وانتشار حفر السرطانات في مسطحات المد والحزر لمنطقة الخيران في خور الزبير واختير ثلاث محطات موزعة على منطقة الدراسة اوضحت الدراسة ان حفر السرطانات الصغيرة تتركز في مسطح المد الاسفل وتكون صغيرة واعلى فتحات اقطارها لاتتجاوز (20 ملم) وتراوح اعماقها بين (3-12) سم واشكالها بسيطة وعمودية الشكل تقريبا وتراوح عددها بين (150-380) حفرة / $4m^2$ وهي تعود للسرطانات الصغيرة اليافعة. اما في مسطح المد الاعلى فيظهر بوضوح نشاط السرطانات الكبيرة، فيزداد قطر فتحة الحفرة (20-30) ملم ويزداد عمقها الى حوالي (60 سم) وتتطور اشكالها حيث تأخذ الاشكال H, Y, U, J, وفي مسطح فوق المد تكون الحفر قليلة العدد (12-50) حفرة / $4m^2$ وتزداد فتحاتها الى اكثر من (30) ملم ولها اشكال H, Y, U, J واشكال اخرى لها اكثر من فرعين او ثلاثة وبعضها مشوهة مع زيادة عمق الحفرة الى اكثر من 60 سم.

المقدمة

تمثل مسطحات المد والجزر والشواطئ البحرية أكثر المناطق تذبذباً، ففي الظروف البيئية وتتعرض الى تغيرات في تلك الظروف باستمرار مثل درجة الحرارة والملوحة والاس الهيدروجيني ونوعية الرواسب وسرعة تيارات المد والجزر وفترة الانكشاف وغيرها. وتعيش في هذه المناطق انواع من الحيوانات لها القابلية على التكيف لمثل هذه الظروف وان قسماً من هذه الحيوانات تبني لنفسها حفراً داخل الارض كاسلوب للتكيف مع الظروف المتقلبة حيث تختبئ فيها اثناء الضرورة (Peter and Dewikle, 1991) ومن هذه الحيوانات انواع من السرطانات والتي تعد واحدة من اكثر مجموعات الحيوانات المنتشرة في مسطحات المد والجزر وفي جنوب العراق وصفاف شط العرب (Calmou, 1920).

اتجه اهتمام علماء البيئة والاثار الى دراسة الاثار والتراكيب التي تتركها هذه الحيوانات اثناء قيامها بفعاليتها الحيوية اليومية على الرواسب الطينية والرملية خاصة في مسطحات المد والجزر.

ويمكن ان تستخدم هذه التراكيب كمؤشر لتحديد البيئات الدقيقة خاصة في المناطق بطينة الترسيب (Richter, 1931). وقد ازدادت اهمية هذه الدراسات بعد ان ادخلت عملية صب القوالب الى العمل فأصبح من السهل دراسة الشكل الداخلي لهذه التراكيب (Shim, 1968). ان الهدف من الدراسة الحالية هو تحديد أثر بعض العوامل البيئية في توزيع وانتشار حفر السرطانات في مسطحات المد والجزر في منطقة الخيران في حور الزبير ومن ثم تحديد البيئة الدقيقة للسرطانات باستخدام الحفر والتراكيب الحياتية والاثار التي تتركها هذه الحيوانات على الرواسب.

منطقة الدراسة

تقع منطقة الدراسة بين دائرتي عرض $30^{\circ} 12' - 30^{\circ} 20'$ شمالاً وخطي طول $47^{\circ} 57' - 47^{\circ} 50'$ وتتحد بالنهاية الشمالية لحور الزبير المؤلفة من قناتين مدينتين كبيرتين تنفرعان بدورهما الى عدد كبير من القنوات المدية الاصغر منها المعروفة (بالخيران) تقع القناة الاولى (حور الزبير) الى الجنوب من ناظم شط البصرة بحوالي (15 كم) وتستمر بامتداد يقرب من 15 كم حتى ميناء حور الزبير حيث تلتقي عندها بقناة حور حردان (الملا، 1999) التي تأخذ اتجاهها

شمالياً وبأمتداد يزيد عند (13 كم) وتضم منطقة الدراسة مسطحات مديدة واسعة تكون مستوية تقريباً لا تشتمل على أية تضاريس سطحية أو معالم طبوغرافية فيها وتنحدر ببطء باتجاه خط الماء (شكل 1).

طرق العمل

تم اختيار ثلاث محطات في منطقة الدراسة ثم قسمت منطقة الشاطئ في كل محطة اعتماداً على مستوى الماء عند المد والجزر الى ثلاثة اقسام هي مسطح فوق المد ويمثل المنطقة الواقعة فوق اعلى حد يصله الماء اثناء المد ومسطح المد الاعلى وهي المنطقة المحصورة بين اعلى مستوى يصله الماء اثناء المد الاعتيادي واعلى خط يصله الماء عند المد الفيضي والمنطقة الثالثة هي مسطح المد والجزر الاسفل وهي المنطقة المحصورة بين ادنى جزر واعلى مد يصله الماء عند المد الاعتيادي (شكل 2).

اخذت ثلاث عينات للرواسب من كل مسطح واجريت عليها عملية التحليل الحجمي بعد ان تم فصل الرمل عن الطين والغرين باستخدام غربال قياس 63 مايكرون ثم حسبت نسب الطين والرمل والغرين باستخدام جهاز Sei raph قيس درجة حرارة الجو والمياه السطحية باستخدام ممرار زئبقي وتم قياس قيم الـ pH باستخدام جهاز Digital pH meter كما تم قياس قطر فتحة الحفرة باستخدام مادة البوراكس بعد صبها بالحفرة وتركها تجف ثم استخرجها و اجراء القياسات عليها حسب كثافة الحفر في 4 م² حيث تم اخذ عدد من المربعات في كل مسطح وبصورة عشوائية وفي جميع المحطات وقيست الملوحة باستخدام جهاز Digital Salinometer.

النتائج

مسطحات المد والجزر

تمثل منطقة الدراسة جزءاً من مسطحات طينية واسعة ومتبسطة تكاد تخلو من العوارض الطبيعية باستثناء بعض الفروقات في الارتفاع التي لا تتجاوز (1 م) وعلى الاخص عند مسطحات المد الاعلى وتغطي المنطقة رواسب سطحية طينية ناعمة حاوية على نسبة من المواد العضوية وبعض الحبيبات الرملية المنقولة بفعل الرياح.

الملوحة

تراوحت ملوحة المياه السطحية بين 3-10.7 جزء بالالف حيث سجلت ادنى قيمة فسي

كانون الاول 1999 واعلى قيمة في حزيران 1999 (جدول 2).

جدول (1) النسب المئوية لمكونات رواسب الشاطيء في منطقة الدراسة

عدد العينات	الغرين	الطين %	الرمس %	مناطق الشاطيء
3			74	مسطح فوق المد
	7	67	79	الحد الاعلى
	6	15	15	الحد الادنى
3				مسطح المد الاعلى
	33	68	20	الحد الاعلى
	23	64	-	الحد الادنى
	27	66	12	المعدل
3				مسطح المد الاسفل
	39	75	3	الحد الاعلى
	34	58	-	الحد الادنى
	37	67	2	المعدل

جدول رقم (2) درجات حرارة الجو والمياه السطحية والملوحة والـ pH للمياه السطحية في منطقة الدراسة

الـ pH	الملوحة %	درجة الحرارة / م°		M/Y
		المياه السطحية	الجو	
7.69	8.9	34.0	38.0	5/99
7.85	10.7	33.5	43.0	6/99
7.74	8.7	35.0	41.0	7/99
7.72	6.6	30.0	41.50	8/99
7.94	4.9	25.5	37.0	9/99
7.80	5.1	23.5	36.5	10/99
7.83	4.8	23.0	29.5	11/99
7.62	3	12.0	18.0	12/99
7.89	3.6	10.0	15.0	1/2000
7.72	3.6	12.0	17.5	2/2000
7.63	5.1	16.5	23.0	3/2000
7.61	7.9	21.0	28.0	4/2000

الـ pH الاس الهيدروجيني

من الجدول (رقم 2) نلاحظ ان قيم الـ pH تميزت بكونها قاعدية وقد سجلت اعلى قيمة لنا في شهر ايلول 1999 وكانت (7.94) وسجلت ادنى قيمة لنا (7.61) في شهر نيسان من عام 2000. ولم تظهر أي تغيرات على مدار السنة.

توزيع الحفر

اظهرت النتائج وجود اختلاف وتباين في توزيع الحفر في مسطحات المد المختلفة وفي جميع محطات الدراسة . وتركزت معظم الحفر في مسطح المد الاسفل ومسطح المد الاعلى وقد بلغ معدل عدد الحفر في مسطح المد الاسفل حوالي 220 حفرة / 4 م² في المحطة الاولى و 210 حفرة / 4 م² في المحطة الثانية و 245 حفرة / 4 م² في المحطة الثالثة. أما في مسطح المد الاعلى فقد بلغ معدل عدد الحفر حوالي 170 حفرة / 4 م² في المحطة الاولى و 190 حفرة / 4 م² في المحطة الثانية و 185 حفرة / 4 م² في المحطة الثالثة.

حمزة عبد الحسن كاظم و سحر طارق الملا

واظهرت النتائج ان مسطح فوق المد يحتوي على اقل عدد من الحفر حيث بلغ معدل عدد الحفر حوالي 35 حفرة / 4 م² في المحطة الاولى و 37 في الثانية و 28 في الثالثة على التوالي والجدول (3) يوضح عدد الحفر / 4 م² في منطقة الدراسة.

قطر فتحة الحفرة

تميزت الحفر في مسطح المد الاسفل بصغر حجم فتحات اقطارها وكانت الغالبية العظمة لها اقطار تتراوح بين 2-20 ملم وبلغت نسبتها اكثر من 80% من مجموع الحفر لمنطقة الدراسة (جدول رقم 4). اما الحفر الموجودة في مسطح المد العالي فتتميز بكبر فتحات اقطارها قياساً بمنطقة المد والجزر الاسفل حيث كانت غالبية الحفر لها فتحات من 20-30 ملم أو اكثر من 30 ملم (جدول رقم 4).

اما الحفر الموجودة في مسطح فوق المد فكانت النسبة الكبيرة منها لها اقطار اكثر من 30 ملم. ويعود معظمها للسرطانات الكبيرة. كما ان الغالبية منها متروكة او خالية من السرطانات.

جدول رقم (3) عدد الحفر في 4 م² في منطقة الدراسة

عدد المكررات	المعدل	عدد الحفر / 4 م ²		المسطحات	المحطات
		الحد الاعلى	الحد الأدنى		
n=10	220	360	150	مسطح المد الاسفل	المحطة الاولى
n=10	170	250	120	مسطح المد الاعلى	
n=10	35	40	25	مسطح فوق المد	
n=10	210	280	170	مسطح المد الاسفل	المحطة الثانية
n=10	190	218	105	مسطح المد الاعلى	
n=10	37	50	20	مسطح فوق المد	
n=10	245	380	200	مسطح المد الاسفل	المحطة الثالثة
n=10	185	270	130	مسطح المد الاعلى	
n=10	28	35	12	مسطح فوق المد	

جدول رقم (4) قطر فتحة الحفرة في منطقة الدراسة

عدد الحفر	اكثر من %30	30-20 ملم%	من 10-20 ملم%	اقل من 10 ملم%	القطر	المحطات	
						المسطحات	
N=180	8	12	30	50	سطح المد الاسفل	المحطة الاولى	
N=140	26	32	27	15	سطح المد الاعلى		
N=72	70	23	7		سطح فوق المد		
M=165	3	12	20	65	سطح المد الاسفل	المحطة الثانية	
N=130	25	40	24	11	سطح المد الاعلى		
N=80	69	20	10	1	سطح فوق المد		
N=137		7	30	63	سطح المد الاسفل	المحطة الثالثة	
N=170	18	42	23	17	سطح المد الاعلى		
N=85	82	10	8		سطح فوق المد		

جدول رقم (5) عمق الحفر ونسبة تفرعها

عدد التكرارات	النسبة المئوية للتفرع		العمق			المسطحات	المحطات
	% غير متفرع	% متفرع	متوسط العمق	اكبر عمق	اقل عمق		
25	97	3	10	12	3	سطح المد الاسفل	المحطة الاولى
25	40	60	45	50	25	سطح المد الاعلى	
25	14	86	62	70	35	سطح فوق المد	
25	95	5	7	10	5	سطح المد الاسفل	المحطة الثانية
25	33	67	50	60	20	سطح المد الاعلى	
25	10	90	55	60	25	سطح فوق المد	
25	98	2	8	12	4	سطح المد الاسفل	المحطة الثالثة
25	46	54	35	40	17	سطح المد الاعلى	
25	17	83	60	65	30	سطح فوق المد	



شكل (9) أشكال حفر السرطانات قرب منطقة الدراسة

11. Kadhim, H.A. Distribution and nature of burrows of crabs in the intertidal mudflats of Ras Al-Beesha, Basrah - Iraq. *Marin mesopotamica* 13(2) 387-407, (1998).
12. Milne, L.J. and M.J. Milne Notes on the development of the ghost crab. *Am. Nat.* 80: 262-280, (1946).
13. Mulsloy, R.E. Acoustic behaviour in the purple marsh crab *Sesarma reticulatum* snyderi (Decapoda, Grapsidae) *Crustaceana*. 39(3) 301-306. (1980).
14. Peter, A.W. and J. Dewilde Interactions in burrowing communities and their effects on the structure of marine benthic ecosystems. *Symp. Zool. Soc. Lond.* No. 63: 107-117, (1991).
15. Power, L.W. and Cole, J.F. Temperature variation in fiddler crab microhabitats. *J. Mar. Biol. Ecol.* 21: 141-157, (1976).
16. Richter, R. Tierwelt und Umwelt in Hunsrück. Schierfer, zur entstehung eines schwarzen senckenberg-iana 13: 342-399, (1931).
17. Seiple, W. and Salmon, M. Comparative social behaviour of two grapsid *Sesarma reticulatum* (Say) and *S. cinereum* (BOSE). *J. Exp. Mar. Biol. Ecol.* 62: 1-24, (1982).
18. Shim, E.A. Burrowing in recent lime sediments Florida and the Bahamas. *J. Paleontol.* 24: 878-894, (1968).
19. Seiple, W. The ecological significance of the locomotor activity rhythms of *Sesarma cinereum* (Bos) and *S. reticulatum* (Say) Decapoda Grapsidae, *Crustaceana*, 40(1): 5-15, (1981).
20. Woods, Chris, M.C. and Schiel, David, R. Use of seagrass *Zostera novaezelandica* (Setchell, 1933) as habitat and food by the crab *Macrophthalmus hirtipes* (Heller, 1862) (Brachyura: Ocypodidae) on rocky intertidal platforms in southern New Zealand. *J. Ex. Mar. Bio. Ecol.* Vol. 214. 49-65, (1997).

دور منظم النمو المصنع AHM في استحداث الكالس من نبات الحبة السوداء *Nigella Sativa*

هناء سعيد الصالح

استاذ مساعد

قسم علوم الحياة / كلية العلوم / جامعة الموصل

الخلاصة

تضمنت الدراسة استحداث الكالس ونموه من قطع البادرات لنبات الحبة السوداء *Nigella sativa* باستخدام منظمات نمو من اوكسينات وسايٹوكاينينات وبتراكيز مختلفة لبيان افضلها في تشجيع استحداث الكالس ونموه واخلاف الافرع الخضرية والجذور وبينت النتائج ان افضل وسط مشجع لاستحداث الكالس هو وسط MS المضاف اليه 4×10^{-6} مولار من BA مع 5×10^{-6} مولار من NAA ولوحظ ايضا ان اغلب التراكيز المضافة من NAA و BA شجعت تكوين الافرع الخضرية. ومقارنة بذلك تم استبدال منظمات النمو القياسية بمنظم النمو AHM (وهو منظم نمو جديد من نوع الاوكسينات) حيث تم اضافته بتركيز 10^{-6} و 10^{-8} مولار، اما لوحده او مع NAA بتركيز 5×10^{-6} مولار او مع BA بتركيز 4×10^{-6} مولار وبينت النتائج ان المركب شجع استحداث الكالس ونموه وتباينت نسبة الاستجابة لاستحداث الكالس حسب الاوساط واشرت افضل الاوساط الحاوية على AHM بتركيز 10^{-6} مقارنة مع الاوساط الحاوية على BA و NAA وكذلك فان وجود NAA مع AHM شجع نمو الجذور في حين ان BA مع AHM شجع تكوين الافرع الخضرية.

المقدمة

ان استعمال تقنية زراعة الانسجة النباتية تتضمن الاحتفاظ بجزء معزول من النبات لفترة مناسبة وذلك عن طريق زراعته على اوساط غذائية محددة والاحتفاظ به تحت ظروف

مناسبة من ضوء وحرارة من أجل تطور هذا الجزء ونموه مما يسهل إجراء البحوث في مختلف المواضيع ضمن فترة زمنية قصيرة نسبياً بالمقارنة مع استخدام النبات الكامل (Steer, 1977). وبالرغم من أن الاكثار بالزراعة تقدم وتطور خلال السنوات الاخيرة الا انه شمل نباتات معينة دون اخرى نظراً لوجود عدد من المشاكل التي تنتظر وضع حلول لها (محمد وعمر، 1990)،

إن تقنية زراعة الانسجة النباتية تتضمن طرق مختلفة في التعقيم والتركيب للاوساط الغذائية الناجحة (Murashig, 1974). ويعتمد استحداث الكالس بدرجة كبيرة على الظروف المستخدمة في زراعته اضافة الى نوع النبات ومصدر القطعة النباتية المستخدمة. كذلك الظروف الخاصة مثل درجة الحرارة والمواد الغذائية ومنظمات النمو (Dodds and Roberts) 1985 بعد نبات الحبة السوداء *Nigella sativa* من النباتات الاقتصادية المهمة نظراً للاستخدامات الطبية الواسعة (حسين، 1981، الطيب 1988) وتم عزل قلويد من الحبة السوداء وحدد تركيبه واطلق عليه Nigellicine (Rahman et. al, 1985) كذلك تم استخلاص مادة Thymoquinon و Dithymoquinon من زيت الحبة السوداء (Basha et. al, 1995).

ويأتي الهدف من هذه الدراسة لاختبار فعالية احد منظمات النمو المصنعة وهو AHM الذي اثبت بانه منظم نمو من نوع الاوكسينات المصنعة حسب الدراسة المقدمة من قبل محمد وجماعته سنة 1998 وتأتي اهمية استخدامه للتعويض عن منظمات النمو الطبيعية او المصنعة القياسية المعروفة والمستوردة وتأتي هذه الدراسة كاثبات اخر على دور هذا المركب كما اشير سابقاً في دراسة (محمد وجماعته 1998) بانه يعتبر من المركبات الاقتصادية واكثر ثباتاً ويمكن انتاجه محلياً من مواد اولية بسيطة وهو يغني عن استخدام منظمات النمو القياسية المستوردة.

وجاء الهدف الثاني من هذه الدراسة وهو استحداث الكالس ونموه من نبات الحبة السوداء لما لهذا النبات من اهمية اقتصادية كبيرة كونه احد النباتات الطبية الواسعة الاستعمال في حالات عديدة وهذا ما جعل الباحثين يتجهون للبحث في خصائص هذا النبات وامكانية استخلاص المواد الفعالة منها.

المواد وطرق العمل

مصدر البذور

تم الحصول على بذور الحبة السوداء *Nigella sativa* من السوق المحلية وتم التأكد من نقاوتها وسلالتها من دائرة تصديق البذور في مديرية بستنة نينوى.

اختبار حيوية البذور

تم التأكد من حيوية بذور الحبة السوداء المستخدمة عن طريق فحص الانبات حيث زرع عدد من البذور في اطباق بتري بواقع 25 بذرة في كل طبق وتم زراعة ثلاثة اطباق وتم اضافة قليل من الماء ومتابعة نسبة الرطوبة لحين الانبات.

تعقيم البذور

اخذت كمية معينة من البذور وغمرت في الكحول الايثيلي بتركيز 96% لمدة دقيقتين مع التحريك المستمر ثم نقلت البذور الى محلول هايپوكلوريت الصوديوم Sodium hypochlorite بتركيز 10% غمرت البذور مع التحريك المستمر لمدة سبع دقائق. وبعد ذلك غسلت البذور جيداً بالماء المقطر والمعقم عدة مرات لازالة اثار المعقمات آنفة الذكر والتي ربما تؤثر على انبات البذور وجميع الخطوات السابقة تمت في جو معقم باستعمال جهاز النقل ذو جو معقم.

مصدر القطع النباتية المستعملة

استعملت قطع السيقان لبادرات نبات الحبة السوداء النامية على اوساط غذائية معقمة وبعمر 21 يوم لاغراض البحث قطعت هذه الاجزاء بطول 1 سم ونقلت القطع الى قناني حاوية على اوساط الزرع (Murashige and Skoog) المعقمة من اجل الحصول على الكالس بعدها نقلت القناني بما فيها الى حاضنة النمو بدرجة حرارة 27 ± 1 والمجهزة بالضوء بشدة اضاءة 1500 لوكس لمدة 16 ساعة يومياً و 8 ساعات ظلام.

وتم اختيار عدد من منظمات النمو من الاوكسينات والساييتوكاينينات لبيان تأثيرها فسي استحداث الكالس ونموه من قطع السيقان لبادرات نبات الحبة السوداء حيث تم اضافة كل من (NAA) وبتراكيث 3×10^{-6} و 5×10^{-6} و 1.1×10^{-5} مولار و 2×10^{-6} و 4×10^{-6} و 9×10^{-6} مولار من BA.

كما استعمل في هذه الدراسة منظم النمو AHM وهو احد الاوكسينات المصنعة حديثاً من قبل محمد وجماعته سنة 1998 حيث اضيف الى اوساط MS وبتراكيز همياً 10^{-6} و 10^{-8} مولار اما ولحده او مع NAA بتركيز 5×10^{-6} مولار او مع BA بتركيز 4×10^{-6} مولار. وجاءت اضافة الاوكسين AHM لبيان تأثيره في استحداث الكالس ونموه او في تشجيع تكوين الافرع الخضرية والجنور من قطع البادرات ومقارنة ذلك مع منظمات النمو القياسية المعروفة.

النتائج

1. اختبار الانبات لبذور الحبة السوداء : من حساب انسبة المئوية للانبات لبذور الحبة السوداء المستخدمة لوحظ ان نسبة الانبات كانت جيدة وبلغت 98%.
2. تأثير منظمات النمو المستعملة بهذه الدراسة على استحداث الكالس : اوضحت النتائج ان جميع التراكيز المستخدمة من BA و NAA كانت محفزة لاستحداث الكالس من قطع السيقان للبادرات. وتم تسجيل ذلك من خلال ملاحظة الفترة الزمنية اللازمة لاستحداث الكالس وبينت النتائج ان الفترة الزمنية اللازمة لاستحداث الكالس كانت متباينة حسب التراكيز المستخدمة من كل من NAA و BA حيث تراوحت ما بين 10 ايام في الاوساط الحاوية على 5×10^{-6} مولار من NAA مع 4×10^{-6} مولار من BA وبين 18 يوماً في الاوساط الحاوية على 1.1×10^{-5} مولار من NAA مع 9×10^{-6} مولار من BA . (جدول رقم 1). وتراوحت الفترة الزمنية اللازمة لاستحداث الكالس ما بين ذلك في باقي التراكيز المستخدمة من كل من BA, NAA. ويبدو واضحاً من الجدول -1- ان افضل وسط شجع استحداث الكالس في فترة زمنية ملائمة هو الوسط الحاوي على 5×10^{-6} مولار من NAA مع 4×10^{-6} مولار من BA.

عمق الحفر

أوضحت النتائج ان الحفر في مسطح المد الاسفل تتميز بقلة اعماقها حيث تراوح عمقها بين 3-12 سم. كما تراوح عمق الحفر في مسطح المد الاعلى بين 17-60 سم اما في مسطح فوق المد فتراوح عمق الحفر بين 35-70 سم ويوضح الجدول (5) عمق الحفر في منطقة الدراسة.

شكل الحفر

تميزت الحفر في مسطح المد والجزر الاسفل ببساطة شكلها الداخلي حيث كانت معظمها مستقيمة او منثنية قليلاً وخالية من التفرعات والتراكيب الداخلية الاخرى. اما الحفر في مسطح المد والجزر الاعلى تميزت بأشكالها المتفرعة والتي يمكن اعتبارها أكثر تطوراً من تلك الموجودة في المسطح السابق ويفتح أكثرها بفتحتين او أكثر الى السطح وكانت الأشكال التي تم ملاحظتها هي شكل H,U,J,Y (شكل 3). كما تميزت بأحتوائها على تفرعات داخلية او غرف جانبية وعلى عماق مختلفة من الحفرة، اما الحفر في مسطح فوق المد فلها اشكال متفرعة ايضاً مثل H, J, U, Y واشكال اخرى لها أكثر من فرعين او ثلاثة وقد تفتح الى السطح بفتحة واحدة او فتحتين وفي اغلب الحفر التي تم ملاحظتها تفتح بفتحة واحدة وتبقى الاخرى تحت سطح التربة.

المناقشة

تمت بيئية الخيران بيئة احوار مالحة وتضم مسطحات واسعة تعيش فيها اعداد كبيرة من الحيوانات الحفارة واكثر هذه الحيوانات شيوعاً هي السرطانات Crabs ويعود بعضها للجنس *Sesarma* والجنس *Macrophthalmus*.

تظهر النتائج ان السرطانات تكيفت للعيش في ملوحة تراوحت بين (3-10.7) جزء بالالف. كما ان هذه المناطق تميل فيها قيم الـ pH الى القاعدية. وهذا يتفق مع ما لاحظته Calman, 1920 وسلمان، 1987 في دراستها لاجل انواع السرطان *Sesarma* في شط العرب وما اكده Hickman, 1975 لدراسة لاجل انواع السرطانات في شواطئ تكساس. حيث لاحظ ان هذه السرطانات تميل للعيش في الاماكن المالحة او المولحة والتي تميل فيها قيم الـ pH الى القاعدية.

من ملاحظة اشكال الحفر واحجامها واقطارها نلاحظ ان معظم الحفر الصغيرة القطر وقليلة العمق وذات الاشكال البسيطة والتي غالباً ما تكون عمودية او منثنية تتركز في المناطق القريبة من خط الماء الأدنى في مسطح المد والجزر الأسفل وهذه المناطق تمثل فعاليات السرطانات الصغيرة والنيافة والتي تنتشر في هذا الجزء. وتختفي هذه السرطانات تحت سطح الطين الى عمق لا يزيد عن بضع سنتيمترات عند شعورها بالخطر ويتم ذلك بمجرد دفع جسمها الى داخل الحفرة وان هذه السرطانات تفضل هذه المناطق لاسباب منها حاجتها الماسة للماء في عملية التنفس حيث انها تنفس الاوكسجين العذاب في الماء عن طريق الغلاصم في هذه الفترة من حياتها كما انها لا تستطيع تحمل الجفاف والجو الحار؛ (Hill and Hunter, 1973) (Hickman, 1973) كما ان نوعية التربة اثر في اختيار هذه المناطق حيث تفضل السرطانات النيافة في مسطحات المد والجزر الأسفل تكون رواسه رخوة لاحتوائها على نسبة عالية من الطين والغرين حيث تكون هذه التربة سيئة ولا تحتاج الى بذل جهد كبير في عملية الحفر لأن السرطان يعتمد في عملية الحفر على قوة الملاقط وقوة دفع الجسم (Seiple and Salmon, 1982).

وعند تقدم عمر السرطان وكبر حجمه فإنه يميل الى الانتقال من الحياة المائية الى الحياة شبه البرية (Milne and Milne, 1946) مما يجعله يختار مناطق مخابئه بعيداً عن خط الماء النواطيء لعدم حاجته الماسة الى الماء وان انتشار الاعداد الكبيرة من حفر السرطانات ذات الاقطار الكبيرة في مسطح المد والجزر الأعلى تدل على وجود اعداد كبيرة من السرطانات البالغة في هذا المسطح.

ان الغالبية العظمى من الحفر في هذا الجزء من المسطحات لها اشكال متفرعة مثل U, Y, J, إضافة الى شكل II وقد تحتوي على فروع داخلية يستخدمها الحيوان لغرض التزواج وخرن الطعم او الاختباء من حرارة الجو اثناء فصل الصيف حيث يقوم ببناء هذه التفرعات لكي يضمن اقل درجة ممكنة لتقيده بفعالياته الحيوية (Kadhim, 1998 : Powers and Colie, 1976).

وعنما ما تفتح الحفر المتفرعة بكلا الفتحين الى خارج السطح حيث وجد ان الغالبية العظمى تفتح بفتحة واحدة بينما تبقى الأخرى تحت سطح التربة وقد تعلق بسبب سدها بالرواسب المنقولة مع المد فيحفر السرطان في مكان اخر وقد تتكرر هذه العملية اكثر من مرة (Charrabaril, 1981). وتميل السرطانات البالغة للحفر وفي مسطحات المد والجزر الأعلى

وذلك لان هذه المناطق تتعرض لأكبر فترة زمنية من الانكشاف اثناء الجزر مما يساعد الحيوان للقيام بفعالياته الحيوية لأكبر فترة ممكنة (Mulstoy, 1980) كما ان لطبيعة تربة هذه المناطق اثره في عملية الحفر وذلك لثبات شكل الحفرة فيها لاحتوائها على نسب من الطين والغرين بالاضافة الى الرمل (مزيجية) حيث وجد بالتجربة ان افضل التربة ملائمة لعملية الحفر للسرطان هي التربة المزيجية (سلطان 1987، 1991، Benjmin and Genoni, 1998، Pennings. 1998) كما ان وجود نباتات القصب في هذه المسطحات وانتشارها بكثافة عالية شجع السرطانات على الحفر فيها لانها توفر لها الحماية من المفترسات كالطيور والجرذات كما انها توفر لسيا الغذاء (Woods and Schiel, 1997 ; Burggren et.al. 1993 ; Genoni, 1991) كما ان هذه النبات تساعد على استقرارية وثباتية التربة في هذه المسطحات (الملا، 1999) كما يساعد على ثبات شكل الحفرة.

تبنى بعض السرطانات تركيب هرمي الشكل يحيط بفتحة الحفرة وهذا يساعد على تماسك عنق الحفرة ويمنع سدها بذرات التربة المنجرفة مع مياه المد كما يمكن ان يستخدمه الحيوان للدفاع عن نفسه عن طريق حشر الدرع بصورة عرضية (Saple and Salmon, 1982) ان الاعداد القليلة من الحفر في مسطح فوق المد يدل على ان السرطان لايفضل هذا الجزء للحفر وبناء المخابئ وذلك لاسباب منها بعده عن الماء وعدم غمره بالماء لفترات طويلة قد تصل الى السنة مما يؤدي الى جفافه وهذا يسبب هلاك السرطانات وابتعادها عن هذه البيئات لان هذه الحيوانات غير قادرة على العيش في جفاف تام لانها شبه ارضية (Seiple, 1981 ، Anger, 1996 ، Genoni, 1985).

ومن ملاحظة قطر فتحة الحفرة يتضح ان السرطانات الكبيرة هي التي تحفر في هذه الاجزاء من المسطحات كما انها تحاول ان تحفر الى اكبر عمق ممكن وذلك للوصول الى الماء وتوفير درجة حرارة اوطأ. كما وتقوم ببناء اكثر من ممر وقد تفتح بأكثر من فتحة الى الخارج. وتم العثور على اشكال متفرعة شبه شجرية وذكر (Chakrabarti 1981) ان اصل هذه الاشكال هو Y وقد تشوهات بسبب عدم امكانية الحيوان في العثور على طريقه الاعتيادي للخروج فيحفر في مكان اخر وقد تتكرر هذه العملية لأكثر من مرة او قد تمت الفتحة تلقائياً بالرواسب فيحفر في مكان اخر حتى يصل الى الممر الاصلي.

ومن خلال ملاحظة النتائج يمكن تحديد مناطق تمنطق وانتشار السرطانات في مسطحات مد وجزر منطقة الخيران حيث تمثل مسطحات المد والجزر الاسفل مناطق بيئية

حمزة عبد الحسن كاظم و سحر طارق الملا

ملائمة للسرطانات النافعة والصغيرة بينما تنتشر السرطانات البالغة والكبيرة مناطق مسطحات المد والجزر الاعلى في حين يقل وجود السرطانات في مسطحات فوق المد.

المصادر

1. الملا، سحر طارق. أثر عوامل ضياعية في تكوين نمط و جيو مورفولوجية الخيران في خور الزبير، رسالة ماجستير. كلية الادب - جامعة البصرة - البصرة، العراق، (1999).
2. سلطان، ناصر نعيم: بيئية جماعة لسكانية والانتاج الثانوي وطبيعة الحفر للسرطان *Sesanna boudanzeri* (Calman, 1920)، رسالة ماجستير، كلية العلوم، جامعة البصرة، البصرة - العراق، (1987).
3. Anger, K. Salinity tolerance of the larvae and first juveniles of a semiterrestrial grapsid crab, *Armasas miersi* Rathbun. J. Exp. Mar. Biol. Ecol. 202: 205-223, (1996).
4. Benjamin, E.N. and S.C. Pennings. Fiddler crab-vegetation interactions in hypersaline habitats. J. Exp. Mar. Biol. Ecol. 225: 53-68. (1998).
5. Burggren, W.W. and Moreira, G.S. and F.M. Santos. Specific dynamic action and the metabolism of the brachyuran land crabs *Ocypode quadrata* (Fabricius, 1787), *Goniopsis emmentata* Latreille, 1803) and *Carddisoma guanhumi* (Latreille, 1825) J. Exp. Mar. Biol. Ecol. 169: 117-130, (1993).
6. Calman, T. W. A new crab of the genus *Sesanna* from Basrah. Ann. Mag. Nat. Hist. London, ser. 9:62-65. (1920).
7. Chakrabarti, A. Burrow patterns of *Ocypode senegalensis* (Pallas) and their environmental significance. Senckenbergiana marit., 15(1/3): 43-53, (1981).
8. Hickman, E.P. Biology of the invertebrates C.V. Mosby company Hill. G.W. and R.E. Hunter (1973). Burrows of ghost crab *Ocypode quadrata* (Fabricius) on the barrier island. South central Texas Coast. J. Desiment. Petrol., 43: 24-30. (1973).
9. Genoni, G.P. Increased burrowing by fiddler crabs *Uca rapax* (Smith) (Decapoda: Ocypodidae) in response to low food supply. J. Exp. Mar. Biol. Ecol. Vol. 147: 267-285, (1991).
10. Genoni, G.P. Food limitation in salt marsh fiddler crabs *Uca rapax* (Smith) (Decapoda : Ocypodidae). J. Exp. Mar. Biol. Ecol. Vol. 87. 97-110, (1985).

جدول رقم 1- الفترة الزمنية (بالايام) اللازمة لاستحداث الكالس من قطع السيقان لبادرات نبات الحبة السوداء المزروعة على اوساط (MS) مضافاً اليها تراكيز مختلفة من كل من BA و NAA كل قراءة تمثل معدل 3 قراءات

9×10^{-6}	4×10^{-6}	2×10^{-6}	BA/NAA مولار
14	12	12	3×10^{-6}
14	10	11	5×10^{-6}
18	15	15	1.1×10^{-5}

ب- تأثير منظم النمو AHM على استحداث الكالس

مقارنة بذلك كانت الفترة الزمنية لاستحداث الكالس من قطع البادرات المزروعة على اوساط MS المضاف اليها تراكيز من منظم النمو AHM لوحده او مع 5×10^{-6} مولار من NAA او مع 4×10^{-6} مولار من BA، كانت متباينة ما بين 17 يوماً في الوسط الحلوي AHM فقط بتركيز 10^{-6} مولار وما بين 13 يوماً في الوسط الحاوي على 10^{-8} مولار من AHM مع 4×10^{-6} مولار من BA (جدول رقم 2-). ومن هذا يتبين ان منظم النمو AHM بالتراكيز المستخدمة 10^{-6} و 10^{-8} مولار كان مشجعاً لاستحداث الكالس من قطع البادرات لنبات الحبة السوداء سواءً عند اضافته لوحده الى الاوساط الغذائية او مع NAA و BA وكانت الفترة الزمنية لاستحداث الكالس متقاربة لحد ما مع تلط اللازمة لاستحداث الكالس في الاوساط المضاف اليها منظمات النمو القياسية المعروفة NAA و BA.

جدول 2- الفترة الزمنية (بالايام) اللازمة لاستحداث الكالس من قطع السيقان لبادرات نبات الحبة السوداء النامية او اوساط (MS) مضافا اليها تراكيز مختلفة من منظم النمو AHM لوحده او مع NAA او مع BA كل قراءة تمثل معدل 3 قراءات

10^{-8}	10^{-6}	تركيز AHM مولار
16	17	---
14	14	NAA 5×10^{-6} مولار
13	14	BA 4×10^{-6} مولار

3. استجابة قطع السيقان لبادرات نبات الحبة السوداء

أوضحت النتائج ان قطع البادرات المزروعة على اوساط MS المضاف إليها تراكيز مختلفة من كل من NAA و BA استجابت لتكوين الكالس اكثر من تكوين الافرع الخضرية او الجذور وان جميع التراكيز المضافة من NAA و BA كانت مشجعة لتكوين ونمو الكالس وكانت استجابة (متمثلة في حالة نمو الكالس) متفاوتة حسب التراكيز المستخدمة من كل منها. وبدا واضحاً ان افضل استجابة (افضل نمو للكالس) كانت عند اضافة 5×10^{-6} مولار من NAA و 4×10^{-6} مولار من BA بعد مرور 4 اسابيع من بدء النمو على تلك الاوساط. وان الاوساط الحاوية على 2×10^{-6} مولار من BA مع جميع التراكيز المستخدمة من NAA اعطت استجابة جيدة للكالس كذلك التركيز 4×10^{-6} مولار من BA مع 3×10^{-6} مولار من NAA اعطت استجابة متقاربة؛ اما باقي التراكيز المستخدمة فكانت الاستجابة لقطع البادرات جيدة ايضاً ولكن اقل من الاوساط السابقة (جدول رقم 3). وكان هناك استجابة لتكوين افرع خضرية في اغلب الاوساط المستخدمة ما عدا الاوساط الحاوية على 2×10^{-6} و 9×10^{-6} مولار من BA مع 3×10^{-6} مولار و 1.1×10^{-5} مولار من NAA على التوالي. حيث لم يحصل تكوين افرع خضرية، ولم يلاحظ تكوين جذور في أي من التراكيز المشار إليها من كل من NAA و BA (جدول رقم 3)

جدول 3- استجابة قطع السيقان لبادرات نبات الحبة السوداء لتكوين الكالس او الافرع الخضرية بعد مرور 4 اسابيع من بدء النمو على اوساط (MS) مضافا إليها تراكيز مختلفة من كل من NAA و BA

9×10^{-6}		4×10^{-6}		2×10^{-6}		التركيز BA مولار
الافرع الخضرية	الكال	الافرع الخضرية	الكالس	الافرع الخضرية	الكالس	التركيز NAA مولار
-	++	2 مع الاوراق	+++	-	+++	3×10^{-6}
1 مع الاوراق	+++	2 مع الاوراق	+++	2 مع الاوراق	+++	5×10^{-6}
-	++	2 مع الاوراق	+++	2 مع الاوراق	+++	1.1×10^{-5}

وفي حالة استخدام منظم النمو AHM لوحده او مع NAA او مع BA كانت الاستجابة (نمو الكتس) متفاوتة ايضاً ففي حالة اضافة AHM اوحده الى وسط MS شجع تكوين الكالس في التراكيزين المستخدمين 10^{-6} و 10^{-8} مولار وكان نمو الكالس في هذه الاوساط اقل من الاوساط الاخرى ولوحظ تكوين الافرع الخضرية في الوسط الحاوي على 10^{-8} مولار من AHM (جدول رقم 4-) وعند اضافة 5×10^{-6} مولار من NAA مع AHM بالتراكيز 10^{-6} و 10^{-8} مولار فان استجابة قطع البادرات لتكوين الكالس كانت افضل خاصة في الوسط الحاوي على 10^{-6} مولار AHM ولوحظ في هذه الاوساط تكوين للجذور بصورة اكبر من تكوين الافرع الخضرية (جدول رقم 4-). وعند استبدال NAA بالـ BA بتراكيز 4×10^{-6} مولار فان نمو الكتس كان افضل من الحالتين السابقتين خاصة مع 10^{-6} مولار من المركب. وهذه الاوساط شجعت تكوين الافرع الخضرية بصورة واضحة ولم يلاحظ تكوين الجذور فيها (جدول 4-).

جدول 4- صورة رقم 1- استجابة قطع السيقان لبادرات نبات الحبة السوداء لتكوين الكالس او الافرع الخضرية بعد مرور 4 اسابيع من بدء النمو على اوساط (MS) مضافا اليها تراكيز من

منظم النمو AHM لوحده او مع BA و NAA

استجابة قطع السيقان لبادرات نبات الحبة السوداء								
تركيز AHM مولار								
مضافا اليه 4×10^{-6} BA مولار			مضافا اليه 5×10^{-6} NAA مولار			لوحده AHM		
جذور	افرع خضرية	الكالس	جذور	افرع خضرية	الكالس	جذور	افرع خضرية	الكالس
-	4	++++	8	1	+++	--	2 مع اوراق خضرية	-
-	6	+++	اكثر من 10	-	++	-	1 مع اوراق خضرية	-

المناقشة

من المعروف في الوقت الحاضر ان كل خلية نباتية لها القدرة على الانقسام والنمو اذا وضعت على وسط غذائي مناسب وتحت ظروف معينة من درجة حرارة وضوء ورطوبة

وهذا ما يعرف بمفهوم الطاقة الذاتية الكامنة للخلايا Toti potentiality وهذه صفة عامة لجميع الخلايا النباتية لحد ما وخاصة الخلايا المرستيمية (Street, 1977).

ان نجاح تقنية زراعة الانسجة النباتية والحصول على الكالس تعتمد اساساً على نوعية قطعة النبات المستعملة لنشوء الكالس وهذه بدورها تعتمد على الظروف التي ينمو فيها النبات الاصل. كما ان عمر النبات وحجم النبات يمكن ان تؤثر على الكالس المتكون (محمد وعمر 1990).

وتشير نتائج هذه الدراسة ان استحداث الكالس ونموه من قطع السيقان لبادرات نبات الحبة السوداء كان جيداً مع اغلب التراكيز المستخدمة من كل من NAA و BA وكان افضلها تركيز 5×10^{-6} مولار من NAA و 4×10^{-6} مولار من BA لذلك اعتبر هو افضل وسط مشجع لاستحداث الكالس ونموه من باقي الاوساط الحاوية على تراكيز اخرى من NAA و BA حيث كان استحداث الكالس فيه في فترة زمنية قصيرة هي 10 ايام وكذلك كان نمو الكالس فيه جيد جداً وفي هذا يمكن القول انه اصبح معروفاً ان وجود كل من الاوكسينات والساييتوكاينينات مهما في انظمة زراعة الانسجة النباتية وان نمو الكالس بالدرجة الاساس يعتمد على الموازنة بينهما (Street 1977 ، محمد وجماعته 1998). كما ان اضافة منظم النمو AHM ادى الى استحداث الكالس من قطع البادرات وان استحداث الكالس كان بدرجة قليلة في حالة اضافة AHM لوحده. هذا يؤكد ان المركب يعمل على زيادة امتصاص المواد الغذائية عن طريق زيادة ليونة الجدار الخلوي (محمد وجماعته 1998) و اشارت النتائج ان وجود NAA مع AHM في الاوساط الغذائية شجع استحداث الكالس ونموه بصورة افضل من اضافة AHM لوحده الى الوسط الغذائي. وكان هناك تحفيز واضح باتجاه تكوين الجذور اكثر من تكوين الافرع الخضرية، فـي حين ان وجود BA مع AHM بدلا من NAA شجع تكوين الافرع الخضرية اكثر، وكان نمو الكالس في حالة وجود BA مع AHM افضل بكثير من باقي الاوساط الحاوية على AHM لوحده او مع NAA. وهذا يدل على ان المركب سلك سلوك اوكسين حيث انه في انظمة زراعة الانسجة النباتية زيادة نسبة الاوكسين تشجع تكوين الجذور من الكالس وان الموازنة بين الاوكسين والساييتوكينين تشجع نمو الكالس وان الساييتوكاينينات خاصة في التراكيز العالية تشجع تكوين الافرع الخضرية (Murashise & Skoog, 1962, Mohammed & Al-Salih 1996).

ان هذه الدراسة جاءت بدعم اخر لما توصل اليه محمد وجماعته سنة 1998 وتؤكد مرة اخرى ان منظم النمو AHM يمكن ان يعوض عن الاوسكيناه الطبيعية والمصنعة المستوردة، حيث ان اضافته الى الاوساط الغذائية شجعت استحداث الكالس ونموه من قطع البادرات لنبات حبة السوداء وكان الكالس المتكون مشابهاً لذلك النامي على الاوساط المضاف اليها NAA مع BA كما اثير سابقاً في فصل النتائج. وهذا يؤكد ما ذكر سابقاً من قبل محمد وجماعته سنة 1998 من ان منظم النمو AHM يسلك سلوك الاوكسين وانه يعوض عن وجود الاوكسينات في الوسط الغذائي المستخدم عموماً في انظمة زراعة الانسجة النباتية

المصادر

1. حسين، فوزي طه قطب ، النباتات الطبية، زراعتها ومكوناتها، دار المريخ للنشر، الرياض، (1981).
2. الطيب، طيب عبد ، التداوي بالاعشاب واسرار الطب العربي، الطبعة الاولى، الكويت، الكويت، (1988).
3. الكناني، فيصل رشيد ناصر، زراعة الانسجة والخلايا النباتية، مديرية دار الكتب للطباعة والنشر، جامعة الموصل، (1987).
4. محمد، عبد المطلب سيد وعمر مبشر صلح ، المفاهيم الرئيسية في زراعة الخلايا والانسجة والاعضاء للنبات، مديرية دار الكتب للطباعة والنشر. جامعة الموصل، (1990).
5. محمد، عبد المطلب سيد والصالح، هناء سعيد ومقداد توفيق ايوب، تحضير نوع جديد من الاوكسينات المصنعة مخبرياً ودوره في الزراعة النسيجية لنبات الخس، علوم الرفادين المجلد 9 العدد 2 ص 14-28، (1998).
6. Basha, L.; Rajheal, M. and Aboulenein, H. TLC assay of thymoquinone in black seed oil (*Nigella sativa* L.) and chromatography of dithymoquinone and thymo. J. liquid chromatography. 18: 105-115, (1995).
7. Mohammed, A.M.S. and Al-Salih, H.S. Intiation growth and shoot regeneration from apical meristem of *Pistacia vera* L. Raf. J. Sci. 7: 11-24, (1996).
8. Murashige, T, and Skoog, F. Arevised medium for rapid growth and bioassay with tobacco cultures Physiol. Plant. 15: 473-479. (1962).

9. Rahman, A.; Malik, S., Heng, H. and Clawdy, J. Isolation and structure identification of Nigelliicine a novel alkaloid from the seeds of *Nigella sativa* L. *Tetrahedron letters*, 26(23): 2759-2762, (1985).
10. Street, H.W. "Plant tissue and cell culture" Vol. II. Black Well Scientific Publication, Oxford, (1977).

زيادة مدى قدرة الايقاف للجسيمات المشحونة عند الطاقات
 $(1 < E \text{ (MeV/u)} \leq 0.1)$

احمد عزيز احمد، خالد عبد الوهاب احمد، محمد احمد الجبوري
 قسم الفيزياء، كلية العلوم، الجامعة المستنصرية، بغداد، العراق

ABSTRACT

Theoretical study of stopping power of heavy charged particles (Heavy ions ($Z_i > 2$), and alpha particles) interacting with solid and gaseous targets and for the interaction of carbon (C) and oxygen (O) ions with Myler, Kapton, havar, and Nickel targets can be predicted within the low energy region ($1 < E(\text{MeV u}) \leq 0.01$). In order to increase the range of application of classical Bohr's theory, the calculation of stopping power at low energies resulting from addition of two types of collisions, Close and Distant collisions, (has been done). Consequently we wrote a program (STOPPING) written in Fortran 77 language. Effect of effective charge Z_i^* taken in the calculation of stopping power and the parameters of effective charge (A, λ) were found through the subroutine (ZRATIO) written in Fortran 77 language. We found a good agreement between experimental measurements and theoretical predictions.

الخلاصة

في هذا البحث تم اجراء دراسة نظرية لموضوع قدرة الايقاف للجسيمات المشحونة الثقيلة (الأيونات الثقيلة ($Z_i > 2$) وجسيمات الفا) الساقطة على اهداف صلبة وغازية، ولايونات الكربون C والاكسجين O الساقطة على اهداف المايلاز Mylar والبيفار Havar والكابتون kapton والنيكل Nickel ضمن مدى الطاقات الواطئة ($1 < E \text{ (MeV u)} \leq 0.1$). لغرض توسيع مدى تطبيق معادلة بور الكلاسيكية اعتمد حساب قدرة الايقاف عند الطاقات الواطئة على التصادمات القريبة والتصادمات البعيدة ولذلك تمت كتابة برنامج بلغة الفورتران (Fortran 77). وقد اخذت الشحنة الفعالة Z_i^* بنظر الاعتبار في الحسابات النظرية وتم الحصول على معاملات

(A.λ) من خلال البرنامج الفرعي (ZRATIO) المكتوب بلغة الفورتران أيضاً، وقد اعطت نتائجنا النظرية تطابقاً جيداً عند مقارنتها مع القياسات العملية لعدد من الباحثين.

المقدمة

ان قدرة ايقاف المادة الناتجة من مرور الجسيمات المشحونة من خلالها يعتبر موضوعاً مهماً ليس فقط في مجال الفيزياء وانما يشمل مساحات واسعة من العلوم. وقدرة الايقاف (Stopping Power) تعرف على انها مقدار الطاقة التي يفقدها الجسيم في كل وحدة طول من مساره خلال الوسط الموقف. لذلك فان عملية فقدان الطاقة للجسيم المشحون النار من خلال مادة الهدف يجب ان تكون معروفة بدقة عالية من خلال القياس العملي المباشر او من خلال الحساب النظري⁽¹⁾.

ان نموذج بور الكلاسيكي في حساب المقطع العرضي للإيقاف الالكتروني (Se) للجسيمات المشحونة يصح عند حدود معينة للشحنة والسرعة للجسيم الساقط، ولكون النموذج الكلاسيكي يحتوي على لوغاريتم، لذلك يحدث توقف في استخدامه حسب قيمة شحنة وسرعة الجسيم الساقط عندما تكون سالبة ولهذا فان الغرض من هذا العمل هو توسيع مدى تطبيق نموذج بور لحساب قدرة الايقاف نظرياً بالاعتماد على التصادمات القريبة والتصادمات البعيدة. الملاحظ من النتائج التي حصلنا عليها ان تأثير الشحنة الفعالة Z_1^* ، وخاصة عند الطاقات الواطئة، له دور كبير في الحصول على التطابق بين نتائجنا النظرية والقياسات العملية، لذلك تم ادخال هذا التأثير من خلال حساب قدرة الايقاف. لقد وضعت نظريات عديدة لحساب قدرة الايقاف من ضمنها :-

نظرية بيتا (1932) Bethe Theory

لقد اشتق بيتا⁽²⁾ معادلة لحساب قدرة الايقاف عامل فيها التفاعل بين الجسيم الساقط والكترونات مادة الهدف بالاعتماد على الميكانيك الكمي (Quantum Mechanics) ويمكن كتابة المعادلة بالشكل التالي :-

$$\frac{dE}{dX} = \frac{4\pi Z_1^2 e^4}{mv^2} \cdot NZ_2 \ln\left(\frac{2mv^2}{I(1-\beta^2)}\right) - \beta^2 \quad \dots(1)$$

حيث أن :-

m, e : تمثل شحنة وكتلة الإلكترون على التوالي.

v : سرعة الجسيم الساقط.

Z_1, Z_2 : الأعداد الذرية للجسيم الساقط ومادة الهدف على التوالي.

I : معدل جهد التأين أو التهييج لمادة الهدف بوحدات (eV).

β : النسبة بين سرعة الجسيم الساقط وسرعة الضوء (v/c).

وتطبق معادلة بيتا اعتماداً على الشرط ($K = 2Z_1 v_0/v \ll 1$)، أي ان المقدار v/Z_1 ذو قيمة

عالية ولذلك لا يمكن استخدام نظرية بيتا للجسيمات الساقطة الثقيلة جداً كسطايا الانشطار

(Fission Fragments) وذلك بسبب الشحنة الذرية العالية والسرعة الواطئة نسبياً.

نظرية بور (1948) Bohr's Theory

تبعاً لنظرية بور⁽⁴⁾، فان التصادم بين الأيون الساقط والإلكترون وسط الأيونات

(التصادم الإلكتروني) تم وصفه بواسطة المعالجة الكلاسيكية (Classical Treatment)

والمعطى بالعلاقة التالية :-

$$Se = \frac{4\pi^4}{m^2} (Z_1^*)^2 Z_2 \ln \frac{Cm^3}{Z_1^* e^2 v} \quad \dots(2)$$

حيث ان (Z_1^*) تمثل الشحنة الفعالة للجسيم المشحون الثقيل الساقط.

C : يمثل ثابت قيمته ($C = 1.1229$).

Se : يمثل المقطع العرضي للايقاف الإلكتروني.

ان تطبيق نظرية بور يعتمد بشكل اساسي على المعامل K (Bohr's Kappa) والذي يتحقق

اعتماداً على الشرط التالي :-

$$K = \frac{2|Z_1 Z_2| v_0}{v} > 1 \quad \dots(3)$$

إذا ان ($v_0 = e^2/h = 2.183 \cdot 10^8$ cm/sec) تمثل سرعة بور

و ($h = h/2\pi$) يمثل ثابت بلانك مقسوماً على 2π

ومن الملاحظ هنا ان الوصف الكلاسيكي يكون افضل عند السرعة الواطئة ($v < 2Z_1Z_2v_0$) والشرط (3) يوضح عدم الاعتماد على معامل التصادم (P) وذلك يعني ان شروط تطبيق الوصف الكلاسيكي لا يتأثر بمعامل التصادم اذا كان ذي قيمة صغيرة او كبيرة ويعتمد تطبيق الشرط (3) على نوعية التصادم يصبح الشرط بين الجسيم الساقط وذرة الهدف، فلتصادمات النووية (Nuclear Collisions) يصبح الشرط بالشكل التالي :-

$$K_n = \frac{2|Z_1Z_2|v_0}{v} > 1 + \frac{P^2}{a^2} \quad \dots(4)$$

حيث ان (a) تمثل المسافة بين الكترونات الذرة والنواة (Screening Distance) ان الشرط (4) يطبق بالاعتماد على معامل التصادم (P) وترداد اهميته بزيادة معامل التصادم ويطبق هذا الشرط للأهداف الثقيلة، اذا ان استخدامه للأهداف الخفيفة يؤدي الى صعوبة في التطبيق، وكلما كانت الجسيمات الساقطة ثقيلة تكون قيمة K_n اكبر بكثير من الواحد ($K_n \gg 1$)⁽⁵⁾.

اما بالنسبة للتصادمات الالكترونية فان شرط تطبيق الوصف الكلاسيكي يكون مختلف عن الشرط (4) حيث يعطى بالعلاقة التالية :-

$$K_e = \frac{2|Z|v_0}{v} > 1 \quad \dots(5)$$

ومن الشرط (5) ان K_e لايعتمد على معامل التصادم P وكذلك يطبق لكل الاهداف الثقيلة او الخفيفة وكلما كانت الجسيمات الساقطة ثقيلة كانت قيمة K_e اكبر من الواحد ($K_e \gg 1$). ان العالم بور حدد الشحنة الفعالة Z_1^* لأيون الساقط من خلال نظريته وبالشكل التالي:

$$\begin{aligned} Z_1^* &= \frac{Z_1^3}{v_0} & v &\leq v_0 Z_1^2 \\ Z_1^* &= Z_1 & v &> v_0 Z_1^2 \end{aligned} \quad \dots(6)$$

ويمكن حساب الشحنة الفعالة Z_1^* بالاعتماد على قدرة الايقاف والمعطاة بالمعادلة الآتية⁽¹³⁾ :

$$\frac{(dE/dX)Z}{(dE/dX)Z_1} = \left(\frac{Z^*}{Z_1}\right)^2 \quad \dots(7)$$

ولقد حسب (Anthony & Lanford (1982)⁽¹³⁾ الشحنة الفعالة باعتماد السرعة v والعدد الذري لمادة الهدف وفقاً للمعادلة الآتية :-

$$\frac{Z_1^*}{Z_1} = 1 - Ae^{-\lambda v_r} \quad \dots(8)$$

حيث ان $\lambda = A \cdot v_r = v / (v_0 Z_1^{2/3})$ هي معاملات الشحنة الفعالة

التصادمات القريبة والتصادمات البعيدة

نفترض نظرية بور ان التصادمات القريبة تخضع لقانون استنارة كولوم الحرة وان حساب فقدان الطاقة يتم من خلال استنارة الالكترونات الذرية بواسطة الجسيم الساقط وبما ان الالكترونات الذرية تكون حرة من خلال هذه التصادمات لذلك فان ترابط هذه الالكترونات يكون مهملاً داخل الذرة⁽⁶⁾. وبما ان الجسيم المشحون الساقط سوف يفقد طاقة خلال هذه العملية، لذلك فان الطاقة المنتقلة (energy transfer) الى ذرة الهدف كدالة لمعامل التصادم (P) تعطى بالعلاقة التالية⁽⁷⁾:

$$T_{\text{clos}}(P) = \frac{2Z_1^2 e^4}{mv^2 P^2} * \frac{1}{1 + \left(\frac{b}{2P}\right)^2} \quad \dots(9)$$

حيث ان

b يمثل قطر التصادم (Collision diameter) ويعطى بالعلاقة التالية :

$$b = 2Z_1 e^2 / mv^2 \quad \dots(10)$$

والمعادلة (9) مشتقة مباشرة من قانون كولوم

$$T = 2mv^2 \sin^2 \frac{\theta}{2} \cdot \tan\left(\frac{\theta}{2}\right) - \frac{b}{2P}$$

حيث ان (θ) تمثل زاوية استطرارة مركز كتلة (Center of mass scattering angle) .
 اما التصادمات البعيدة فتكون فيها الالكترونات الذرية غير حرة، أي انها ناتجة من
 تراكب الالكترونات ذرة الهدف وتدخل من خلال التردد اللاسلكي (ω) وان الطاقة المنتقلة الى
 الالكترونات ذرة الهدف كدالة لمعامل التصادم (P) تعطى بالعلاقة التالية ⁽⁷⁾ :

$$T_{\text{dist}}(P) = \frac{2Z_1^2 e^4}{mv^2 P^2} \left\{ \left[\frac{\omega P}{v} K_0\left(\frac{eP}{v}\right) \right]^2 + \left[\frac{\omega P}{v} K_1\left(\frac{\omega P}{v}\right) \right]^2 \right\} \dots(11)$$

حيث ان K_0, K_1 تمثل دوال بيسل المحورو (Modified Bessel Functions) ⁽⁸⁾

توسيع مدى تطبيق الصيغة الكلاسيكية للمقطع العرضي للايقاف

لقد تم الحصول على صيغة كلاسيكية للمقطع العرضي لايقاف الجسيمات المشحونة
 الثقيلة S_{tot} معتمدة على نموذج بور الكلاسيكي والنتيجة من حاصل جمع المقطع العرضي
 للايقاف للتصادمات القريبة (S_{clos}) والمقطع العرضي للايقاف للتصادمات البعيدة (S_{dist})
 وكالاتي ⁽⁷⁾ :

$$S_{\text{tot}} = S_{\text{clos}} + S_{\text{dist}} \dots(12)$$

ويمكن تمثيل S_{tot} في المعادلة (12) بالنسبة لمعامل التصادم (P) والطاقة المنتقلة الى ذرة الهدف
 $T(P)$ بالعلاقة التالية :-

$$S_{\text{tot}} = \int 2\pi T(P) P dP \dots(13)$$

وبعد اجراء انفصل بين التصادمات القريبة والتصادمات البعيدة في المعادلة (13) بادخال معامل
 التصادم الخرج (Critical Impact Parameters) الى التكامل نحصل على المعادلة التالية :-

$$S_{\text{tot}} = \int_0^{P_0} 2\pi T_{\text{clos}}(P) P dP + \int_{P_0}^{\infty} 2\pi T_{\text{dist}}(P) P dP \quad \dots(14)$$

لقد تم تبسيط المعادلة (14) وذلك بحل التكامل لكل من S_{dist} , S_{clos} بصورة منفصلة وتم الحصول على المعادلتين التاليتين⁽⁹⁾:

$$S_{\text{clos}} = \frac{2\pi Z_1^2 e^4}{mv^2} \ln \left[1 + \left(\frac{2P_0}{b} \right)^2 \right] \quad \dots(15)$$

$$S_{\text{dist}} = \frac{4\pi Z_1^2 e^4}{mv^2} * \frac{wP_0}{v} K_0 \left(\frac{wP_0}{v} \right) K_1 \left(\frac{wP_0}{v} \right) \quad \dots(16)$$

ان حساب بور استند على تمييز ذلك عند السرعة العالية أي عندما تكون $b \ll v/\omega$ حيث ان قيمة P_0 يمكن ايجادها اعتماداً على الفترة $v/\omega \ll P \ll b$ كذلك فان نوال بيسل من الممكن تمثيلها بمفكوكيا الخاص وقيمة صغيرة لـ χ حيث أن :-

$$\chi K_0(\chi) \approx \ln \left(\frac{2}{\chi} \right) - \gamma + O(\chi)^2 \quad \dots(17)$$

حيث ان χ تمثل أي متغير ويعطى بالعلاقة $\chi = \omega \frac{P}{v}$ و γ تمثل ثابت اويلر (Euler's constant) وقيمته $(\gamma = 0.5572)$.

لقد اعتمد بور على التقريب الرياضي (معادلة (17)) في حصوله على المعادلة (2) لحساب المقطع العرضي للايقاف حيث من الممكن اعادة كتابة المعادلتين (15) و (16) بالشكل التالي:-

$$S_{\text{clos}} = \frac{4\pi Z_1^2 e^4}{mv^2} \ln \frac{2P_0}{b} \quad \dots(18)$$

حيث ان $(2P_0/b) \gg 1$:-

احمد عزيز احمد وجماعته

$$S_{\text{dist}} = \frac{4\pi Z_1^2 e^4}{mv^2} \ln \frac{CV}{wPo} \quad \dots(19)$$

اذا ان C يمثل ثابت يعطى بالعلاقة ($C = 2e^{-7}$)

وبجمع المعادلتين (18) و (19) يتم الحصول على الصيغة العامة لحساب المقطع العرضي للايقاف لنظرية بور (معادلة (12))⁽⁹⁾.

اما عن طيغة حصولنا على الصيغة الكلاسيكية لحساب قدرة الايقاف فنتم من خلال حل التكاملات رياضياً في المعادلتين (15) و (16) فقط بدون الاعتماد على التقريب الرياضي (معادلة (17)) لغرض توسيع مدى تطبيق معادلة بور لتجنب حصول توقف (cutoff) في النواحي ويتم والمتمثل في المعادلة (2)، فبالتعويض عن قيم e, m (كتلة وشحنة الالكترون والعلاقة $\beta (\beta = v/c)$ في معادلة (15) ومعادلة (16) نحصل على المعادلتين التاليتين بوحدات ($\text{MeV.cm}^2/\text{mg}$) وكالتالي :-

$$S_{\text{clos}} = 0.30707 \left(\frac{Z_1^2}{\beta_2} \right) \left(\frac{Z_2}{M_2} \right) * \frac{1}{2} \ln \left(1 + \left(\frac{2P_*}{b} \right)^2 \right) \quad \dots(20)$$

$$S_{\text{clos}} = 0.30707 \left(\frac{Z_1^2}{\beta^2} \right) \left(\frac{Z_2}{M_2} \right) \left(\frac{\omega P_*'}{v} \right) K_1 \left(\frac{\omega P_*}{v} \right) \quad \dots(21)$$

وبعد جمع هاتين المعادلتين نحصل على المعادلة الكلاسيكية العامة لحساب المقطع العرضي للايقاف والتي اعتمدنا عليها في حساباتنا النظرية⁽⁹⁾ :

$$S_{\text{tot}} = 0.30707 \left(\frac{Z_1^2}{\beta^2} \right) \left(\frac{Z_2}{M} \right) L_{\text{tot}} \quad \dots(22)$$

حيث ان M_2 تمثل كتلة مادة الهدف. وان L_{tot} يمثل عدد الايقاف الكلي (total stopping number) والمعطى بالعلاقة التالية :-

$$L_{\text{tot}} = \frac{1}{2} \ln \left(1 + \left(\frac{2P_*}{b} \right)^2 \right) + \chi K_0(\chi) K_1(\chi) \quad \dots(23)$$

ان البرنامج المسمى (STOPPING) المكتوب بلغة الفورتران (Fortran 77) بحسب المقطع العرضي للايقاف لأيونات الثقيلة ($L_1 \leq 2$) المتفاعلة مع أوساط ذرية مختلفة معتمداً على المعادلتين (22) و (23) يتضمن عدد من البرامج الفرعية وهي⁽⁹⁾.

1. البرنامج الفرعي (Bessel) لحساب دوال بيسل المحورة.
2. البرنامج الفرعي (Zclos) لحساب قيمة Po التي يكون فيها $S_{\text{clos}} = S_{\text{dist}}$.
3. البرنامج الفرعي (ARATIO) الذي يحسب الشحنة الفعالة Z_1^* ومعاملاتها.

النتائج والمناقشة

لقد تم حساب قدرة الايقاف لأيونات الثقيلة ($Z_1 > 2$) وجسيمات الفا المتفاعلة مع اهداف صلبة وغازية. لأيونات الكربون C والاكسجين O الساقطة على اهداف المايلار والبيفار والكبتون والنيكل⁽¹⁰⁾ باستخدام المعادلة (22) والمعادلة (23) من خلال البرنامج (STOPPING) (المكتوب بلغة Fortran77)⁽⁹⁾. كما تمت مقارنة النتائج النظرية مع النتائج العملية لعدد من الباحثين وتم الحصول على تطابق جيد بين النتائج.

لقد تم حساب قدرة الايقاف لأيونات الثقيلة (الاكسجين O_2 والألومنيوم Al) الساقطة على اهداف صلبة (الكربون C والنيكل Ni) في حدود مدى الطاقة (0.1-3MeV/u) باستخدام المعادلة (22) من خلال البرنامج STOPPING⁽⁹⁾. اخذت الشحنة الفعالة بنظر الاعتبار في حساب قدرة الايقاف من خلال استبدال العدد الذري للأيون الساقط Z_1 بالشحنة الفعالة Z_1^* في المعادلتين (20) و (21) والمحسوبة من خلال المعادلتين (14) و (15) والبرنامج الفرعي⁽⁹⁾ (ZRATIO). يوضح الشكل (1) التطابق الجيد للنتائج النظرية المحسوبة من المعادلتين (22) و (23) مع النتائج العملية المقاسة من قبل الباحثين^(11,12,14). والملاحظ أيضاً من الشكل ان الحد الاعلى لقدرة الايقاف (Maximum stopping power) يحصل في حدود مدى الطاقات الواطئة ($E < 1.0 \text{ MeV/u}$) وان قدرة الايقاف الناتجة من تأثير التصادمات القريبة والبعيدة تتناقص مع ازدياد الطاقة (F). ولقد اجريت مقارنة بين معادلة بيتا (معادلة (1)) ومعادلة بور (معادلة (2)) مع حساباتنا النظرية المتمثلة بالمعادلة (22) في حساب الايقاف لأيونات الثقيلة (Mg.O) والساقطة على اهداف صلبة (Ti, C) ومقارنة بالنتائج العملية المذكورة والموضحة

احمد عزيز احمد وجباعته

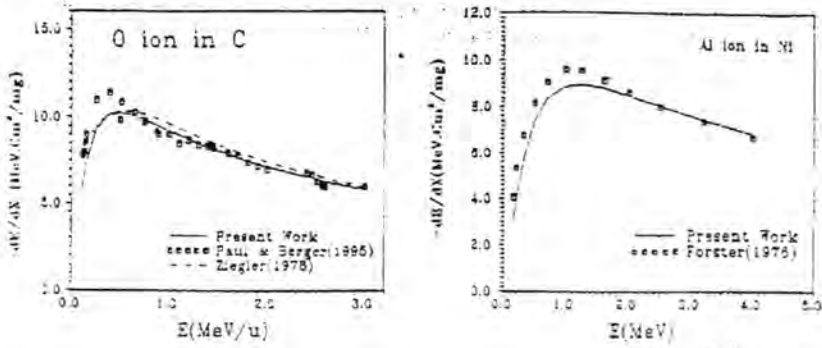
من خلال الشكل (2) الذي يوضح تأثير اللوغاريتم في معادلتى بور وبيتا، حيث عند الطاقات الواطئة ($E < 0.5 \text{ MeV/u}$) نجد ان صيغة بور وصيغة بيتا تصل الى مرحلة الاقتران او التوقف (Cut-off) وعند الطاقات ($E < 0.5 \text{ MeV/u}$) فان صيغة بور تبدأ بالزيادة الى ان تتطابق مع نتائجنا النظرية كما موضح في الشكل.

حساب قدرة الايقاف لجسيمات الفا في الاهداف الصلبة والغازية

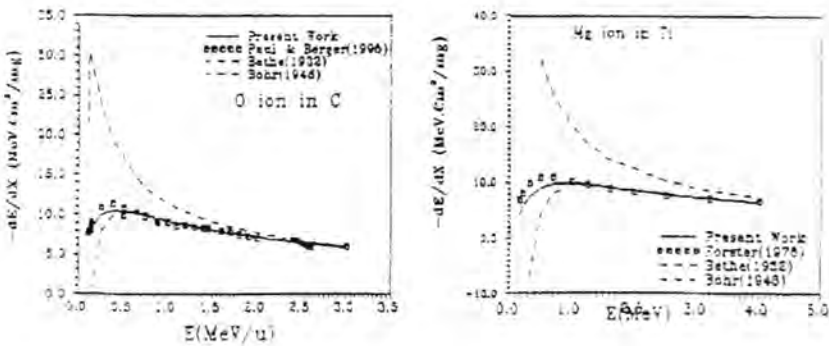
يوضح الشكل (3) حساب الايقاف لجسيمات الفا الساقطة على اهداف صلبة (Na, C) واهداف غازية (Ne, He) ضمن مدى الطاقات ($0.1-0.6 \text{ MeV/u}$) ومن خلال المعادلة (22). نلاحظ من هذا الشكل التطابق الجيد بين النتائج النظرية والقياسات العملية (Ziegler (1978) عند ادخال تأثير الشحنة الفعالة والمحسوبة من المعادلتين (14)، (15) والبرنامج الفرعي⁽⁹⁾ (ZRATIO). نلاحظ من الشكل ايضاً ان الحد الاعلى لقدرة الايقاف يحصل ضمن الطاقة ($E < 0.2 \text{ MeV/u}$) وبزيادة الطاقة تبدأ قدرة الايقاف بالتناقص الى ان تصل الى حدود الطاقة ($E \approx 0.5 \text{ MeV/u}$).

حساب قدرة الايقاف للأيونات الثقيلة (O_2, C) المارة خلال اهداف المايلار والهيبار والكتون والنيكل

لقد تم استخدام رقائق المايلار والهيبار والكتون والنيكل كاهداف لحساب قدرة الايقاف⁽¹⁵⁾ للأيونات الثقيلة (O_2, C) في حدود مدى الطاقة ($0.6-1.4 \text{ MeV/u}$) والشكل (4) يوضح التطابق الجيد للنتائج النظرية المحسوبة من خلال المعادلة (22) والنتائج العملية المقاسة من قبل⁽¹⁰⁾ حيث تم ادخال تأثير الشحنة الفعالة⁽¹⁶⁾ التي ساهمت في الحصول على التطابق. من ملاحظة الشكل (4) نجد ان الحد الاعلى لقدرة الايقاف يحصل عند الطاقات ($E > 0.6 \text{ MeV/u}$) بالنسبة لأيون الكربون C الساقط على اهداف (المايلار والهيبار والكتون والنيكل) وعند الطاقات ($E < 0.6 \text{ MeV/u}$) بالنسبة لأيون الاوكسجين O الساقط على اهداف (المايلار والهيبار).

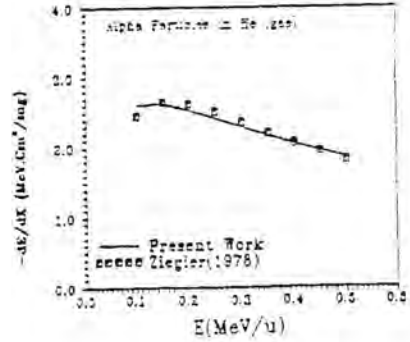
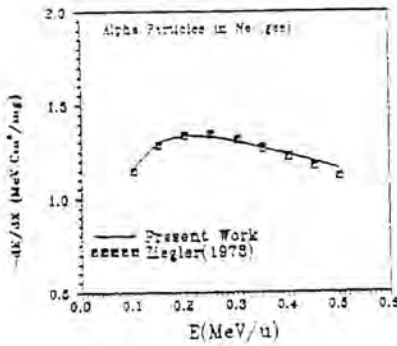
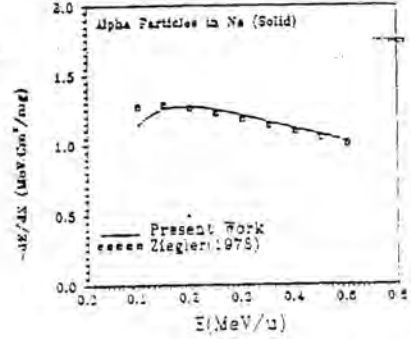
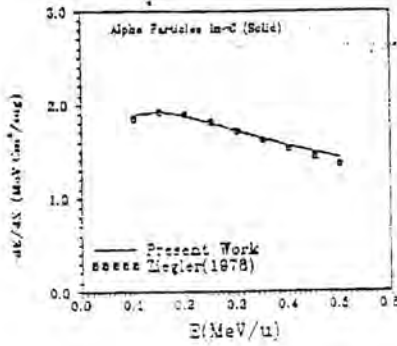


شكل (1) قدرة الأيونات الثقيلة (الأوكسجين O والالمنيوم Al) الساقطة على أهداف (الكربون C والنيكل Ni)

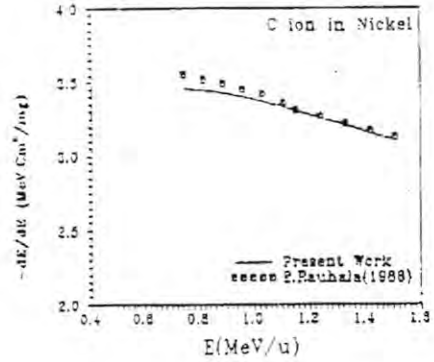
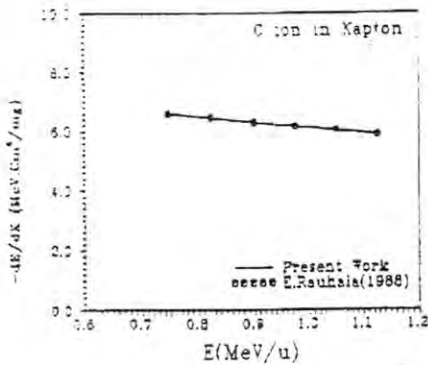
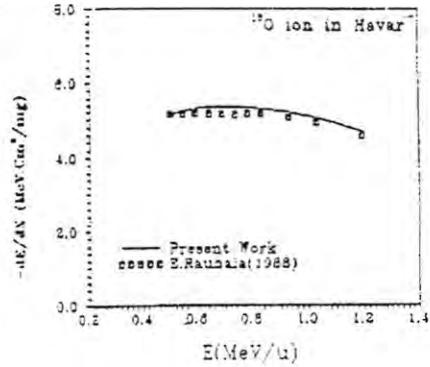
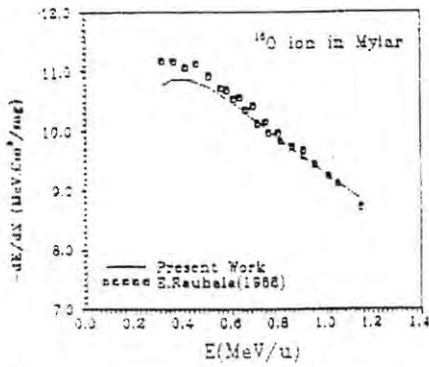


شكل (2) تأثير اللوغاريتم على معادلتى بور (1948) وبيتا (1932) ومقارنة بالنتائج النظرية والنتائج العملية في حساب قدرة الأيونات الثقيلة (الأوكسجين O والمغنسيوم Mg) الساقطة على أهداف (الكربون C والتيتانيوم Ti)

احمد عزيز احمد وجماعته



شكل (3) قدرة الايقاف لجسيمات الفا المساقطة على اعداب صلبة (الكاربون C والاكسجين O) وعلى اعداب غازية (النيون Ne والهيليوم He)



شكل (4) فترة التوقف لذيونات ثقيلة (الكاربون C والاكسجين O) للطاقات على أهداف السايتر والنيفار والكتون والنيكل.

المصادر

1. Porter, L.E., "Bethe-Bloch stopping power parameters for light projectiles at energies near the stopping power maximum" Nucl. Inst. & Meth. B12 50-55, (1985).
2. Bohr, N. "on the theory of the decrease of velocity of moving electric particles on passing through matter". Philos. Mag. 30. 581-612. (1915).
3. Bethe, H.A., "Berms formula fur electronen relativitischer geschwindigkeit". Z. Physik 76. 293, (1932).
4. Bohr, N. "The penetration of atomic particles through matter". Matt. Fys. Medd. Dan Vid. Selsk 18 No. 8 (1948).
5. Bonderup, E., : Lecture Notes " Penetration of charged particles through matter, Phy. Dep., Odense Univ., DK-5230 Odense M. Denmark. (1981).
6. Jackson, J.D., and McCarthy, R.L. " Z^3 correction to energy loss and ranges". Phy. Rev. B6, 4131 (1972).
7. Sigmund, P., "Low speed limit of Bohr's stopping power formula". Phys. Rev. A. Vo. 54. 4. 3113 (1996).
8. Abramowitz, M.& Stegun, I.A., Handbook of Mathematical Functions edited by M. Abramowitz and I.A. Stegun (Dover, New York, 1964).
9. Al-Rubaie, A.A., "Increasing the range of stopping power of charged particles at energies ($1 < E \text{ (MeV/u)} \leq 0.1$)". Thesis, University of Al-Mustansiriyah (1999).
10. Rauhala, E. and Raisanen, J., "Stopping powers and energy loss of 3- 22 MeV C-ions in Havar, Nickel, Kapton and Mylar". Phy. Rev. B. 37. 9249 (1988).
11. Ziegler, J.F., "Helium Stopping Powers and Ranges in all Elements (Pergamon New York (1978)).
12. Paul, H. and Berger, M.J., Atomic and Molecular Data, (IAEA-TECDOC-799), Vienno, 4,5. (1995).
13. Anthony, J.M. and Lanford, W.A., "Stopping power and effective charge of heavy ions in solids". Phys. Rev., Vo. 25. No. 25. 1868-1878. (1982).
14. Forster, J.S., Nucl. Inst & Meth. 136. 349-359. (1976).
15. Raisanen, J. and Rauhala, F., "Stopping of Havar, Nickel, Kapton and Myler for 5-19MeV O-ions", Phy. Rev. B. Vo. 36. 9776. (1987).
16. Porter, L.E., "Effective charge parameterization for Li, B, N, O, Al, Si, P, S, Cl projectiles traversing Mylar targets", J. Appl. Phys. 80(3) (1996). Nucl. Inst & Meth B115. 181-183. (1996).

مقارنة تأثير منظم النمو الحشري ابلود و مستخلص النيكوتين و النيماتودا
 و *Culex pipiens* على يرقات البعوض *Steinerma Carpacapsae*
 الصرصر الالمانى *Blatella germinca*

د. بدر محمد عباس العزاوي

استاذ مساعد - قسم علوم الحياة - كلية العلوم

ABSTRACT

The mosquito and german roaches was very important medically by transmission many disease. This study was investigated to compare efficacy of 3 concentration of IGR applaud, Nicotin Extracts and Biological insecticides of Nematod Exposed to 2nd instar Mosquito larva and 2nd Nymph of german rochs under laboratory condition for 24 hour and different times. The results showed the higher concentration of applaud, Nicotin and Nematoda gave high percentage of mrtality of Mosquite larva and german Roaches Nymph when exposed for 24 hours and continuous exposure. The study showed that applaud nicotin and nematod have more effect on Mosquit larva than roaches nymph in different concentration and different exposure period.

الخلاصة

يعتبر البعوض و الصرصر الالمانى من الحشرات الناقلة للكثير من مسببات المرضية . و قد تضمنت الدراسة مقارنة كفاءة استخدام 3 تراكيز مختلفة لكل من منظم النمو ابلود و مستخلص النيكوتين و المبيد الحيوي نيماتودا على يرقات البعوض و حوريات لصرصر الالمانى لفترة تعريض مستمر و فترة تعريض 24 ساعة . وقد وجد بان التراكيز العالية لكل من منظم النمو ابلود و المستخلص النيكوتين و المبيد الحيوي اعطت نسبة هلاكات عالية ليرقات البعوض و حوريات الصرصر الالمانى في فترتي التعريض المستمر و 24 ساعة . و اظهرت الدراسة بان ابلود، و المستخلص نيكوتين و المبيد الحيوي اكثر تأثيرا بنسبة الهلاكات على البعوض من حوريات لصرصر الالمانى عند التراكيز المختلفة و لفترات التعريض المختلفة .

المقدمة

يعتبر البعوض و الصرصر من الحشرات الناقلة لكثير من مسببات المرضية في العديد من دول العالم كناقيل مهم للطفيليات و الرواشح كما اسار هارود⁽⁶⁾ يكافح البعوض و الصرصر في مناطق تولده و تواجهه و في السابق كانت المكافحة مقتصرة على استخدام المبيدات الكيماوية و قد سببت هذه المبيدات كثير من التلوث و من تلك الوسائل استخدام منظمات النمو الحشرية (IGRs)⁽³⁾ و هذه المركبات من الجيل الجديد للمبيدات و لها تاثيرات على الانسلاخ و النمو و على التطور الجنيني و اليرقي و تاثيرها بشكل رئيسي على البالغات و من هذه المركبات Applaud ابلود و هو الاسم التجاري لمثبط النمو بيرفيزين (Buprofezin) التي انتجت شوكة Nihon Nhyaku اليابانية و تعمل على حدوث خلل في عملية تنظيم الانسلاخ⁽¹⁰⁾. و قد استخدم على يرقات البعوض و لوحظ تاثيره على الطور الثاني و الرابع الرئيسي باعلى التراكيز⁽³⁾.

اما المستخلصات النباتية فتعتبر من المواد و المركبات الجديدة التي تؤثر على فعالية و حياة الحشرات و اصبحت من المركبات التي تدخل ضمن المبيدات و قد استعملت مستخلصات نباتية متعددة ضمن انواع مختلفة من الحشرات⁽¹⁴⁾.

فقد استخدمت مجاميع كيميائية مختلفة مثل الالكوليد و نيكوتين كمواد سامة ضد مختلف الحشرات⁽⁷⁾. وقد وجد⁽¹¹⁾ مستخلص النيكوتين من التبغ يؤثر على موت كثير من يرقات ديدان القطن و ديدان جوز القطن على نبات القطن . اما المكافحة الحيوية باستخدام بعض الطفيليات و المفترسات و من الاستخدامات الحديثة هو استخدام النيماتودا المتخصصة على الحشرات و التي استخدمت بشكل جيد حيوي⁽⁵⁾. و قد استخدمت بنجاح نيماتودا *Steinermma* تحت الوسط المختبري على 200 نوع من الحشرات التابعة الى عشر رتب⁽⁵⁾. وقد وجد ان هذه النيماتودا فعالة على حشرات التربة و الحفارات و بعض الحشرات الطيبة⁽⁵⁾.

كان الهدف من الدراسة مقارنة تاثير هذه الثلاثة انواع من المواد و هي السيرمون، المستخلص النباتي و النيماتودا على كل من اطوار يرقات البعوض و اطوار الصرصر الالمانى

المواد و طرق العمل

جمع البعوض لتربيته

لقد اخذ البعوض من خزانات مياه التصريف في كلية الزراعة جامعة بغداد ثم تم تربيته في البيت الحيواني في كلية العلوم الجامعة المستنصرية حيث وضعت البالغات في اقفاص مشبكة ذات ابعاد (40×40×50) سم و غذيت على دم الطيور مدة يوم واحد من قطن مشبع بمحلول السكر 15% موضوعة في جفنة بلاستيكية صغيرة و بعد ان وضعت البيوض نقلت طوافات البيوض الى اوعية بلاستيكية سعة 500 مل تحتوي 400 مل من ماء الحنفية و غذيت اليرقات بعلف الارانب⁽³⁾ و قد شخّصت المستعمرة في متحف التاريخ الطبيعي في بغداد .

جمع الصراصير و التربية :

لقد تم جمع الصراصير في مناطق مختلفة في بغداد و قد وضعت في اقفاص ذات ابعاد (50×50×40) سم مغطاة بقماش و لها فتحة جانبية واحدة و وضع بداخل القفص بتريدش يحتوي على ثلاث اجزاء من الخبز و جزء مخلوط بالحليب و جزء سكر في درجة حرارة المختبر⁽⁸⁾ و قد تم وضع البيض في القفص و قفص الى الحوريات .

منظم النمو الحشري

استخدام ايلود بشكل مسحوق قابل للبلل لتركيز المادة الفعالة فيه 25% و حضرت التركيز (0.01, 0.1, 1.0 ppm) ذات وزن معين من مسحوق المادة في الحجم المطلوب من الماء المقطر .

مستخلص النيكوتين

لقد تم تحضير مستخلص النيكوتين من مسحوق الاوراق التي تم الحصول عليها من شركة التبغ في الجادرية بغداد و قد اذيب المسحوق في مقدار 50 غم مع حامض الخليك Acetic acid 10% و قد اضيفت قطرات من الايثانول او الامونيا لمدة 6 ساعات ليترسب مزيد من مستخلص النيكوتين⁽⁷⁾، و قد استخدمت التراكيز (0.01, 0.1, 1.0 ppm) .

البايولوجي النيماتودا

لقد استخدم المبيد البايولوجي النيماتودا بشكل محلول جيلاتيني يذوب بالماء مصنع بشركة Biosay (شركة انتاج المبيدات الحيوية في الولايات المتحدة الأمريكية) . و قد استخدمت

التراكيز التالية (1.001. 001.0) انس و كل انس يحتوي 4×10^{12} من ديدان النيماتودا مذاب في لتر من الماء المقطر .

المعاملات (البعوض)

وكانت نسبة تثبيط البالغات اقل بكثير من يرقات البعوض و تزداد بازدياد التراكيز و فترة التعريض . جدول رقم (2).

وجد من النتائج ان يرقات البعوض اكثر حساسية لمستخلص النيكوتين من حوريات الصرصر الالمانى و لقد بعض الباحثين مستخلص النيكوتين بسبب نسبة هلاكات بالبعوض اكثر من الصرصر الالمانى (2) و لوحظ اختلاف في حساسية الاطوار و هذا يتفق مع نتائج الباحث (10). كما لوحظ ان التراكيز العالية من المستخلص النيكوتين يؤثر على يرقات البعوض و حوريات الصرصر الالمانى اكثر من التراكيز الواطئة و ذلك بسبب تاثير مادة النيكوتين المادة الكيميووية السامة التي تؤثر على يرقات البعوض اكثر من حوريات الصرصر . وهذا يتفق مع الباحث (3.11.7) حول تاثير هذه المادة السامة على مختلف الحشرات .

تأثير المبيد البيولوجي النيماتودا

لقد وجد بان التراكيز العالية من المبيد الحيوي لها تاثير عال على هلاكات البعوض اكثر من الصرصر الالمانى فقد وجد ان التراكيز العالية من المبيد الحيوي و عند التعريض المستمر على مختلف اليرقات للبعوض 35-67 % على التوالي . وعند التعريض لمدة 24 ساعة كانت نسبة الهلاكات 20.8-40.4% على التوالي اما نسبة مثبطات خرج البالغات كانت عالية بالتركيز العالى عن التركيز الواطئ للمبيد .

اما تاثير المبيد الحيوي على حوريات الصرصر الالمانى فكانت اقل تأثيرا من يرقات البعوض و لكن النتائج مشابهة الى اليرقات فكان تاثير التراكيز العالية على الهلاكات الحوريات الصرصر 10.2-32.0 على التوالي عند التعريض المستمر و نسبة هلاكات اقل فسي التراكيز الواطئو نسبة هلاكات اقل عند تعريضه الى 24 ساعة و كان من 7-15% جدول رقم (3). و كانت نسبة تثبيط ظهور البالغات اكثر في التراكيز العالية عن التراكيز الواطئة في مختلف فترة التعرض .

لقد وجد من الدراسة ان يرقات البعوض اكثر حساسية للمبيد الحيوي من حوريات الصرصر وان التراكيز العالية من المبيد الحيوي اكثر نسبة من الهلاكات في البعوض و

الصرصر وقد اتفق مع هذه النتائج الباحث (1) ومن اسباب تأثير المبيد الحيوي على البعوض اكثر من حوريات الصرصر هو ازدياد الفعالية بالمبيد الحيوي و توفر الظروف الملائمة و طريقة الاستعمال و التراكيز على اليرقات البعوض اكثر من حوريات الصرصر . وقد وجد الباحث (5) ان فعالية المبيد الحيوي تزداد بازدياد توفر الظروف الملائمة و طريقة الاستعمال و التراكيز و نوع العائل .

النتائج و المناقشة

مقارنة تأثيرات منظم النمو ابلود

عند معاملة يرقات الطور الثاني بابلود وجد عند ازدياد التراكيز تزداد نسبة الهلاكات وقد تصل 100% ووجد ان التراكيز الادنى ادى الى نسبة هلاكات اقل حسب التراكيز و فتره التعريض جدول رقم (1) ، وقد اعطت نسبة تثبيط خروج اليرقات نسبة عالية قد تبلغ في التراكيز العالية الى 100% و 90%. وبلغت 60.1% عند فترة التعريض 24 ساعة . اما معاملة حوريات الصرصر الالمانى فقد لوحظ نفس النتائج و لكن نسبة هلاكات الحوريات باختلاف فترة التعريض اقل من البعوض وقد بلغت 56.2% و نسبة تثبيط خروج اليرقات اقل وقد بلغت 16.2% . اما عند تعريض الى 24 ساعة فكانت 37%.

تشير النتائج ان فعل ابلود القاتل ليرقات الطور الثاني للبعوض ظهر مباشرة في الطور نفسه عند استخدامه في التراكيز العالية و كانت التأثيرات على التراكيز الواطئة تراكمية . اما تأثير منظم النمو ابلود على حوريات الصرصر الالمانى فقد لوحظت نفس النتائج و كانت التراكيز العالية تؤثر على طور الحورية الثاني و التراكيز الواطئة كانت تأثيراتها تراكمية و ذلك كانت بنسبة اقل من تأثيرها على البعوض .

وقد اشار كثير من الباحثين ان استخدام منظم النمو الحشري بتراكيز واطئة لا يؤدي الى قتل اليرقات في طور المعاملة و انما ينتج بصورة تراكمية و تنتقل الى العذراء و البالغة (3) . وكما اظهر الجدول رقم (1) ان الطور الرابع لليرقات و الحورية الرابعة للصرصر تكون اكثر حساسية لابلود . و تطابق هذه النتائج مع ما هو معروف عن تأثيرات منظمات النمو الحشرية في يرقات البعوض .

تأثيرات مستخلص النيكوتين

لقد اثرت التراكيز العليا من مستخلص النيكوتين بصورة كبيرة على يرقات الطور الثاني للبعوض و بلغت هلاكات هذه الاطوار 100% لفترة التعريض المستمر و 10-25% عند التعريض 24 ساعة . وكان التركيز الواطئ و هو ادنى فعالية في هلاكات الطور الثاني انسي بلغت 15.6-2.1 على التوالي و كلما ازداد التركيز و فترة التعريض ازداد من تأثير هلاكات اليرقات ، جدول رقم (2) .

وكان تثبيط خروج البالغات في التراكيز العالية 100% و في الواطة 52.1% عند التعريض المستمر و نسبة اقل عند تعريض 24 ساعة . اما تأثير المستخلص النيكوتين على الصرصر الالمانى فكان تأثير مفعول الهلاكات التراكمية عند التعريض المستمر ، و 24 ساعة اقل مقارنة ليرقات البعوض حيث كانت نسبة الهلاكات بالتراكيز العالية لحورية الطور الثاني 22.8 عند التعرض المستمر و 8.9 عند التعرض لمدة 24 ساعة .

لقد استخدمت في كل المعاملات الثلاثة مركبات يرقات البعوض اوعية بلاستيكية سعة 125 مل تحوي 100 مل من كل تركيز من ابلود ، و مستخلص النيكوتين ، و المبيد الحيوي و نقل الى كل وعاء بلاستيكي 20 يرقة من يرقات الطور الثالث و قد تمت كل معاملة بثلاثة مكررات و قد تم تغذية اليرقات قبل المعاملة و الثانية بعد 3 ايام من المعاملة و سجلت الهلاكات لكل طور و تم حساب النسبة المئوية هلاكات لكل الاطوار . اجريت التجارب لفترات تعريض 24 ساعة او مستمرة (4) .

معاملة الصرصر الالمانى

لقد استخدمت في كل المعاملات اوعية بلاستيكية سعة 250 مل تحوي 100 غم من الصعام و وضعت 20 حورية صرصر لكل وعاء في الطور الثاني ، و قد خلط مع الطعام 10 ملم من كل ابلود ، مستخلص النيكوتين ، و المبيد الحيوي و قد اجريت كل معاملة (تركيز) بثلاثة مكررات . و قد سجلت نسبة موت الاطوار لكل معاملة و قد اجريت التجارب لفترات تعريض 24 ، و مستمر (4) .

التحليل الاحصائي

اجريت بيانات التحليل الاحصائي باستخدام (L.S.D.) و اختبار المعنوي ضمن

البرنامج S.P.S.S. (12)

جدول (1) مقارنة تأثير منظم النمو الحشري ابلود على الهلاكات التراكمية و النسبة المئوية لخروج البالغات الناتجة عن تعريض يرقة الطور الثاني للبعوض و حورية الطور الثاني للصرصر الالمانى

الصرصر الالمانى					البعوض				
تعريض مستمر % هلاكات اليرقات و الحوريات									
تركيز					تركيز				
1.0	0.1	0.01	0.0	الطور	1.0	0.1	0.01	0.0	الطور
45.0 ^d	40.1 ^c	33.2 ^b	0.0 ^a	طور الحورية (2)	100 ^d	78.0 ^c	55.4 ^b	0.0 ^a	الطور الرقبي (2)
55.9	52.1	41.2	1.0	طور الحورية (3)	100	92.8	28.1	1.5	الطور الرقبي (3)
66.1	63.1	52.2	1.0	طور الحورية (4)	100	96.2	89.2	1.5	الطور الرقبي (4)
70.3	68.4	62.5	1.0	طور الحورية (5)	100	100	98.2	1.5	العنقاء
90.0	80.9	75.5	2.2	خروج البالغات	100	100	100	3.0	خروج البالغات
تعريض 24 ساعة % هلاكات اليرقات او الحوريات									
33.2 ^d	20.9 ^c	10.2 ^b	0.0 ^a	طور الحورية (2)	72.2 ^d	55.2 ^c	25.3 ^b	0.0 ^a	الطور الرقبي (2)
40.2	30.2	20.4	1.5	طور الحورية (3)	82.3	66.3	35.3	3.1	الطور الرقبي (3)
53.1	40.1	28.6	1.0	طور الحورية (4)	94.9	76.4	46.2	3.1	الطور الرقبي (4)
60.0	48.2	36.0	1.5	طور الحورية (5)	100	88.2	56.3	3.2	العنقاء
70.1	62.0	42.9	2.2	خروج البالغات	100	100	86.4	3.2	خروج البالغات

القيم ضمن كل فترة تعريض لكل عمود يمثل طورا من اطوار البعوض او الصرصر بتسابع باحرف متشابهة تشير الى عدم وجود فرق معنوي عند 5% L.S.D.

جدول رقم (3) مقارنة تأثير المبيد الحيوي النيماتودا على الهلاكات التراكمية و النسبة المئوية لتنشيط خروج البالغات الناتجة عن تعرض الطور الثاني ليرقة البعوض و الطور الثاني لحيورية الصرصر الالمانى

البعوض					الصرصر الالمانى				
تعريض مستمر. هلاكات اليرقات و الحوريات									
التركيز					التركيز				
1.0	0.1	0.01	0.0	الطور	1.0	0.1	0.01	0.0	الطور
35.0 ^d	25.0 ^c	15.0 ^b	0.0 ^a	طور الحورية (2)	10.2 ^d	7.3 ^c	5.3 ^b	1.0 ^{av}	الطور الرقي (2)
45.0	35.6	25.4	0.0	طور الحورية (3)	12.1	8.3	7.3	1.0	الطور الرقي (3)
53.0	44.1	33.0	0.0	طور الحورية (4)	22.2	23.0	20.0	1.0	الطور الرقي (4)
67.0	57.1	45.1	0.0	طور الحورية (5)	28.0	28.1	25.8	1.0	العذراء
78.2	68.4	54.5	0.0	خروج البالغات	42.0	33.2	30.0	1.0	خروج البالغات
هلاكات اليرقات و الحوريات Y. تعريض لمدة 24 ساعة									
20.8	15.3	10.3	0.0	طور الحورية (2)	7.0 ^d	5.0 ^c	3.0 ^b	1.0 ^a	الطور الرقي (2)
24.4	20.3	15.6	0.0	طور الحورية (3)	10.2	8.3	5.0	1.0	الطور الرقي (3)
31.4	26.5	20.5	0.0	طور الحورية (4)	13.1	12.1	8.0	1.0	الطور الرقي (4)
40.8	32.3	25.7	0.0	طور الحورية (5)	15.1	22.2	18.0	1.0	العذراء
50.2	41.5	30.8	0.0	خروج البالغات	25.1	24.2	22.0	1.0	خروج البالغات

X القيمة في كل فترة تعريض لكل عمود يمثل طورا من اطوار البعوض او الصرصر تتابع باحرف متشابهة و تشير الى عدم وجود فرق معنوي عند L.S.D. Y.5

REFERENCES

1. AL-Azawi B.M.; The effect of Nematoda steinerema carpocapsa (GB) (steinernematidae) on the Roaches, Termite, and Mosquito. AL-FATH 2(3) 1-7. (1998)
2. AL-Azawi B.M.; Al-Mashadani, W. Hand Al-samaraie; S. Use of olender and Tobacco Extract as an Inseaticides Al-Mustansiriya J. Sci. 11(1) 41-48. (2000)
3. AL-Azawi B.M and Al-Rahawi H.M; effect of Aqueous Extract of Neem Leaves and IGR Applaud on some iarval instar of Mosquito Culex pipensl Al-Mustansiriya J.Sci. (2001)
4. Abbot; W.S A method of computing the effectiveness of an insecticide J. Econ. Entomo 118:265-267. (1952)
5. Georgis R. Nematodes for biological control of urban insects. American Chemical Society. Division of Environmental chemistry. 44 National Meeting p27. (1987)
6. Harwood; R.F and James M.T Entomology in human and animal health. seventh edition, Macmillan Publishing Co-N-V.548pp. (1979)
7. Jacobson; M. Solution and identification of toxicagents from plants. ACS Symposium Series No. Hostolant Resistant to pest. Paul Hedin Edition . (1967)
8. Maccy; Cmand Melompy, RM1937 care and rearing of Blatella germenic on the caltsoff and other culture. Method for invertabrte animal contock Pub Coffanca NY, p2283.
9. Mulla, M.S Insect growth regulators for the control of mosquito pests and disease vectors Chinese. J. Entomal special publ (6). 81-911. (1991)
10. Mulla, M. S and Su, T. Activity and biological effects of neem products against arthropods of medical and veterinary importance. J. Am. Mosq cont. Assoc 15:133-152 . (1999)
11. Record EF. Wallace R.T and starves, O.. As urvery of plants for insecticidal activity Liaydia 13: 89-162. (1950)
12. Statistical Package for Spcial Sciences 7-5, 196.
13. Thurston, R., Toxicity of Trichome exudates on Nicotin and Petunis species to tobacco horn worm Iarva J. Econ. Ent. 63:272-274. (1970)
- 14- النحوي موسوعة النباتات الطبية و العطرية . المكتبة الزراعية الكتاب الاول 113 -125 . (1969)

نوعية المياه الجوفية الكبريتية في محافظة نينوى

عبد المنعم محمد علي كنه يجيي داؤد المشهداني بشير علي النعمة
قسم علوم الحياة - كلية العلوم - جامعة الموصل

ABSTRACT

Sulfer ground water (i.e.) which contain more than (500) mg/ 1 SO₄ are widely distributed throughout Ninevah governorate. Due to scarcity of related studies and for documentation of such water quality the physicochemical properties of (87) different locations were studied. The most prominent results were: That 80% of the locations have warm water. Range of electrical conductivity was wide between (1300 - 9800) Us/cm. The mean of pH values was (7.8). Dissolved oxygen concentration were low and their mean reach 1.6 mg/1. Water of (18) locations only contain dissolved H₂S. Sulfate concentrations ranged between (150 - 5382) mg/1. Alkalinity of 80% of the locations was found to be of bicarbonate only. According to their concentration the cations arranged descendingly as follows: (Ca⁺⁺ > Mg⁺⁺ > Na⁺ > K⁺).

الخلاصة

تنتشر في عموم محافظة نينوى، وبسبب طبيعتها الجيولوجية، المياه الجوفية الكبريتية التي يزيد فيها تركيز الكبريتات عن (500) ملغم/لتر. وبسبب ندرة الدراسات المتخصصة حولها من أجل توثيق نوعية هذه المياه فقد درست الصفات الفيزيائية والكيميائية لـ (87) موقعا مختلفا وكان من بين أبرز النتائج المستحصلة ما يأتي : إن 80% من المواقع كانت مياهها دافئة وأن مدى التباير في قابلية التوصيل الكهربائي كان واسعا (1300 - 9800) مايكروسيمنز/سم . ومعدل قيمة الأس الهيدروجيني كان (7.8) . وتركيز الأوكسجين المذاب واطئة بلغ معدلها 1.6 ملغم/لتر . وأن (18) موقعا فقط احتوت على غاز (H₂S) مذاب . وان قيم الكبريتات قد تراوحت بين (015 - 2835) ملغم/لتر . وأن (80) % من المواقع كانت قلويتها من نوع

البيكاربونات فقط، ومستويات الفوسفات كانت بشكل عام واطنة . وإن تراكيز الايونات الموجبة كانت مرتبة تنازليا كما يأتي $K^+ < Na^+ < Mg^{++} < Ca^{++}$

المقدمة

تصنف المياه الجوفية التي تحوي كبريتات اكثر من (500) ملغم/لتر كمياها كبريتية. ينتشر هذا النوع من المياه في عموم القطر العراقي إلا ان وجودها يتركز في محافظتي الانبار ونكريت فضلا عن محافظة نينوى التي اختريت هدفا للدراسة الحالية .

جيولوجيا تتألف المنطقة من تعاقب طبقات صخرية تعود الى تكوينات الفتحة Fatha Formation ذي العمر المايوسيني الأوسط وتكوين انجانة ذي العمر المايوسيني الأعلى فضلاً عن ترسبات العصر الرباعي Quaternary Period. تلعب هذه التكوينات دورا مهما جدا في تحديد نوعية وكمية المياه الجوفية الموجودة في منطقة الدراسة فهي على العموم ذات نوعية رديئة إذ تحوي على كميات كبيرة من الأملاح الذائبة تقدر بين (2000 - 15000) جزء بالمليون مكونة بالدرجة الاساس من الكبريتات والكلوريدات .

الامطار الساقطة على هذه المحافظة والتي تساهم ايضا في تحديد نوعية وكمية المياه الجوفية تتميز بتباينها الواسع من فصل لآخر ومن سنة لآخرى وقد اِسْم العام الذي جرى فيه البحث والعام الذي سبقه بشحة الأمطار التي هطلت ، إذ بلغت كمياتها (128.9 و 130) ملم/سنة للعامين (1999 و 2000) على التوالي اللتين تعادلان (38%) فقط من معدل الأمطار التي سقطت على هذه المنطقة لأكثر من اربعين سنة . وقد انعكس تأثير هذه الشحة على نوعية وكمية المياه الجوفية إذ قلت انتاجية الآبار والعيون بدرجة كبيرة لاحضها واكدها الاهالي في جميع المواقع المدروسة . اما نوعية المياه فلا شك انها اصبحت اردأ بسبب التراكيز العالية من الاملاح التخفيف الذي تسببه الامطار كان بدرجة أقل عند مقارنته مع السنوات المطيرة .

ظهرت اول دراسة فنية عن المياه الجوفية في العراق عام 1938 ومن ذلك الحين ولغاية نهاية القرن العشرين نشر عدد كبير من البحوث والدراسات غطت مناطق مختلفة من القطر النصيب الاوفر فيها كان من حصة المنطقة الشمالية بشكل عام ومحافظة نينوى بشكل خاص . ومن هذه الدراسات ماكان عن الآبار الواقعة في مركز المدينة مثل دراسة (Al-Rawi et al., 1990) و (الليلة وجماعته ، 1993) ومنها ما كان عن المياه الجوفية في الأقضية والنواحي التابعة للمحافظة مثل دراسة (Al-Talabani & Al-Khateeb 1989) عن سنجار و

(العاني ، 1997) عن قضاء تلغفر وغيرها من الدراسات الأخرى حول نواحي بعشيقه وربيعه وحمام العليل .

المواد وطرائق العمل

اختير (87) بثراً وعين ماء كبريتية (يزيد تركيز الكبريتات في مياهها عن 500 ملغم/لتر) موزعة في عموم محافظة نينوى (الشكل 10) تم جمع عينات من مياهها بواقع عينة واجدة من كل موقع بدءاً من تموز (1990) ولغاية حزيران عام (2000) بواسطة فنيائي بلاستيكية سعة (2.5) لتر . ثم جرى تحليلها في المختبر من أجل تقدير الصفات الفيزيائية والكيميائية التالية :

درجة الحرارة وقابلية التوصيل الكهربائي وكمية المواد الصلبة الذائبة وقيمة الأس الهيدروجيني وغازي الأوكسجين وكبريتيد الهيدروجين المذابين فضلاً عن الأيونات السالبة (الكبريتات والكاربونات والبيكاربونات والفوسفات) كذلك الأيونات الموجبة (الكالسيوم والمغنيسيوم والصوديوم والبوتاسيوم) وذلك بأتباع الطرق المذكورة في (APHA , 1975) .

النتائج والمناقشة

درجة حرارة المياه كانت متباينة في المواقع المختلفة اذ تراوحت بين (11و45)م (حدول ، 1) وعند تصنيف المياه اعتماداً على ما ذكره (الخشاب 1978) تبين ما يأتي : ان (80%) من العينات المدروسة كانت مياهها دافئة وان الأبار والعيون الأبرد منها كانت نسبتها (17%) . اما الينابيع الحارة وشديدة الحرارة فقد انحسر وجودها في منطقة حمام العليل فقط و هي تعد حسبما ذكر (Baghdadi , 1972) من اكثر المياه حرارة على الاطلاق ضمن القطر العراقي . ويعود سبب ارتفاع درجة حرارة هذه الينابيع المعدنية الى تفاعل المياه المندفعة باتجاه سطح الارض خلال سطح نكسر الفالق Fault plane مع الغازات مؤدية الى ارتفاع درجة حرارة الماء الى ما يقارب من (50م) (Al-Sawaf, 1973) .

كان مدى التباين في قيمة التوصيل الكهربائي واسعا ايضا إذ تراوح بين (1300 - 9800) مايكروسيمنز / سم (حدول ، 1) فالفرق بين اوطأ القيم واعلاها كان أكثر من سبعة

أضعاف علما بأن الغالبية العظمى من المواقع كانت فيها القيم محصورة بين (2000 - 6000) ماكروسيمنز / سم .

أظهرت التحاليل أن نتائج قابلية التوصيل الكهربائي كانت متقاربة الى حد بعيد مع البيانات المنشورة في عدد من الدراسات السابقة مثل (Mustafa et al., 1996) . الا أنها من ناحية أخرى كانت أعلى بمثلين أو أكثر من القيم المسجلة في المناطق الجبلية مثل السليمانية (Ibrahim , 1981) إذ كانت معظم القيم أقل من (600) مايكرو سيمنز / سم والسبب في ذلك يعود الى الاختلاف في التكوينات الجيولوجية بين المنطقتين .

معدل المواد الصلبة الذائبة لجميع المواقع كان (3063) ملغم / لتر . وحينما تم تقسم المياه وفقا لمحتواها من المواد الصلبة اعتمادا على التصنيف الذي اتبعه (Davis & Dewiest , 1966) تبين أن (97 %) من المواقع كانت مويحة والباقي مالحة . كما بينت أيضا وجود علاقة مباشرة بين تركيز المواد الصلبة الذائبة مع كل من التوصيل الكهربائي والعسرة الكلية يوضحه (الشكل 2) .

معدل قيم الأس الهيدروجيني كان (7.8) . اما القيم المطلقة فقد كانت محصورة بين (5,0 و 9,6) علما بأن قيمة الأس الهيدروجيني للمياه السطحية العراقية (أنهار وروافد وبحيرات وأهوار) تكون قريبة من (8,0) (Talling, 1980) .

المياه الحامضية والقسم الأكبر من المياه ضعيفة الحامضية تركز وجودها في منطقة حمام العليل والمشراق والمناطق المحيطة بيما . امتازت هذه المواقع عن غيرها بكون تركيز المغنيسيوم فيها أعلى من تركيز الكالسيوم ويفوح منها رائحة غاز H_2S المتسرب الى الجو . اما مواقع المياه القاعدية فقد تجمعت في الأخرى في منطقة واحدة ممتدة بين قرية طشة (الكسك) وقضاء سنجار . انفردت هذه المواقع عن غيرها بأحتواء مياهها على أيوني الكاربونات والبيكاربونات خلافا لباقي المواقع التي خلت من أي وجود لأيون كاربونات والسبب في ذلك تفسره العلاقة بين CO_2 وأيوني البيكاربونات والكاربونات مع قيمة الأس الهيدروجيني .

ان كمية الأوكسجين المحتمل تواجدتها في المياه الكبريتية اما أن تكون معدومة او قليلة وذلك لعدم وجود اتصال مباشر بين المياه والهواء الجوي فضلا عن المحتوى الملحي العالي لهذا النوع من المياه والذي يقتل من احتمالية ذوبان الأوكسجين يضاف الى ذلك استهلاك الأوكسجين من قبل البكتيريا الهوائية المؤكسدة للكبريت في أكسدة الكبريتيد الى كبريتات . وكما هو متوقع فقد أظهرت النتائج أن مستويات الأوكسجين كانت واطئة فقد بلغ معدله (1,6) ملغم / لتر (جدول

1) وبلغت أعلى قيمة مطلقة (4.8) ملغم / لتر . وكان من بين المواقع المدروسة (18) موقعا خلت مياهها من غاز الاوكسجين المذاب واحتوت بدلا منه على غاز H_2S .

أظهرت نتائج الدراسة احتواء (20%) من المواقع فقط على تراكيز محسوسة من غاز H_2S ذائبا في مياهها بلغ معدل تركيزه في جميع هذه المواقع (63) ملغم / لتر . مع ملاحظة ان الموقعين حمام العليل وجهينه احتويا على كميات كبيرة استثنائية من هذا الغاز بلغت (152 و 476) ملغم / لتر على التوالي.

تباينت المواقع فيما بينها كثيرا في كمية الكبريتات التي تحتويها . فمن ناحية بلغت الكمية (510) ملغم / لتر في عين زهرة (حمام العليل) ومن ناحية ثانية زادت الكمية عن (5380) ملغم / لتر في بئر قرية جياح يعود هذا الاختلاف الواسع في مستويات الكبريتات الى الاختلافات الجيولوجية بين المواقع. وفي دراسات سابقة لوحظ مثل هذا التباين الواسع ايضا في سيل عقرة (18.17-81.65) ملغم / لتر وفي سهل زاخو (5.18-31.20) ملغم / لتر من قبل (تمرو ، 1983) و (عقراوي ، 1984) .

ان قلوية العالينية العظمى من المياه الداخلية العراقية (سطحية وجوفية) هي من نوع بيكاربونات حسبما ورد في البحوث المنشورة سابقا وأكدته (النعمة وجماعته ، 2000) . لوحظت التراكيز العالية من البيكاربونات (الاكثر من 500 ملغم / لتر) في حمام العليل والمناطق المجاورة لها . اذ احتوت هذه المواقع فضلا عن البئر الارتوازي في الشلالات وعين قرية حكنة على غاز H_2S مذابا في مياهها . ان هذه الزيادة في التراكيز يمكن أن تفسر بما توصل اليه (Al - Sawaf, 1977) في منطقة المشراق من أن اختزال الكبريتات وأكسدة المواد الهيدروكربونية أحيانا ينجم عنه نقصان في تركيز الكبريتات وزيادة في كمية H_2S ، CO_2 ، HCO_3^- فضلا عن نقصان في قيمة الأس الهيدروجيني وارتفاع درجة حرارة الماء .

تبين من نتائج تركيز الفوسفات ان (83%) من المواقع احتوت على فوسفات أقل من (0.10) ملغم فوسفات فوسفور / لتر علما أن أعلى قيمة مطلقة للفوسفات كانت (1.215) ملغم فوسفور - فوسفات / لتر (جدول ، 1) في الشلالات . وفي قرىتي جياح وأم المناسيس أيضا كانت تراكيز الفوسفات مرتفعة نسبيا (0.208-0.245) ملغم فوسفور - فوسفات / لتر على التوالي . وسبب هذا الارتفاع قد يعود الى الاستخدام الواسع للأسمدة الفوسفاتية وكذلك الى الطبيعة الجيولوجية للمنطقة. تبين من النتائج أيضا أن المياه الكبريتية الواقعة على طريق طشتة (الكسك) - ربيعة كانت تحوي على اوطأ التراكيز التي تم تسجيلها في هذا البحث وسبب ذلك قد يعود الى

عبد المنعم محمد علي كنه وجماعته

أن قابلية التربة على ترسيب هذا الأيون كما هو الحال في منطقة الجرن (Mustafa et al., 1997).

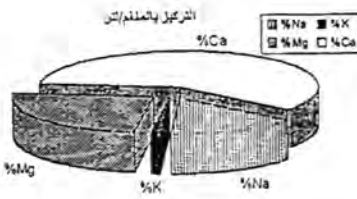
معدل تراكيز الكالسيوم كان (260) ملغم / لتر وتراوحت القيمة المطلقة بين (29 و 973) ملغم / لتر (جدول و 1) . والنتائج بشكل عام كانت متشابهة مع مجاء في معظم البحوث المنشورة سابقا عن المياه الكبريتية في نفس المحافظة مثل (Al - Layla et al., 1990) احتوت العيون الكبريتية الحارة في حمام العليل على تراكيز واطئة من المغنيسيوم (أقل من 25 ملغم / لتر) ذلك لأن الحرارة العالية تؤدي الى ترسيب كربونات المغنيسيوم (أحد انواع العسرة المؤقتة و فضلا عن أن المياه يحصل لها ازالة طبيعية للعسرة Natural Softening عن طريق التبادل الأيوني اذ أن الاطيان تبذل الصوديوم اذا كان متوفرا مع كل من الكالسيوم والمغنيسيوم (Davis & Dewiert, 1966) . أما باقي المواقع فقد احتوت على كميات أكبر من المغنيسيوم مع وجود تباين واسع في مستويات هذا الأيون بين مختلف المواقع .

أبدت تراكيز الصوديوم في المواقع المشمولة بالدراسة تباينا واسعا جدا في القيم إذ كانت أوطأ قيمة مطلقة (7) ملغم / لتر فقط في حين أن أعظم قيمة مطلقة كانت (152) ملغم / لتر (جدول و 1) . نذكر مثل هذا التباين الواسع في عدد من البحوث حول العيون والآبار في محافظة نينوى فالتركيز، مثلا في الآبار المنتشرة حول بحيرة سد صدام تراوحت بين (207.7-27.8) ملغم / لتر (Al - Layla et al., 1990) .

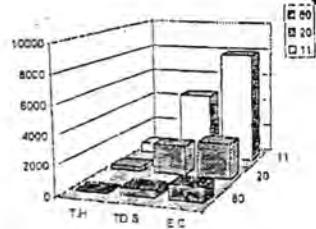
أشارت نتائج البوتاسيوم الى قلة مستويات هذا الأيون في المياه الحفوية الكبريتية في محافظة نينوى حيث كانت التراكيز في (90 %) من العينات واطئة ومحصورة بين (1-5) ملغم / لتر (جدول ، 1) ، وعلاوة على ذلك فإن أكثر من نصف هذه العينات كان فيها البوتاسيوم أقل من (1.00) ملغم / لتر والسبب في ذلك يكمن في الثبوتية النسبية لهذا الأيون في القشرة الارضية (Davis & Dewiest, 1966) .

أصبح من المعروف الآن أن ترتيب الأيونات الموجبة الرئيسة (الكالسيوم والمغنيسيوم والصوديوم والبوتاسيوم) حسب كميتها في المياه الطبيعية وفي جميع بقاع العالم ماعدا المواقع القريبة من ساحل البحر كما يأتي ($K^+ < Na^+ < Mg^{2+} < Ca^{2+}$) يؤكد ذلك مادكره (Hutchinson, 1957) حول المياه في العالم و (Talling, 1980) حول المياه الداخلية في العراق . وفي الدراسة الحالية ظهر أن (78 %) فقط من المواقع لها نفس هذا التسلسل التنازلي (شكل ، 3) .

اما باقي المواقع (13%) فقد شذت عن هذه القاعدة إذ احتوت على مغنيسيوم أكثر من الكالسيوم وذلك بسبب وفرة صخور الدولومايت في تكوينها .



التوزيع النسبي للعناصر الموجبة في المنطقة المدروسة



العلاقة بين تركيز المواد الصلبة الذائبة مع قيم التوصيل الكهربائي والعسرة الكلية



عبد المنعم محمد علي كنه وجماعته

(جدول 1) اوطاً وأعلى قيمة فضلاً عن معدل الصفات الفيزيائية والكيميائية لمياه الآبار والعيون المدروسة .

ت	الصفة	الوحدة	اوطاً قيمة	أعلى قيمة	العمل
1	درجة الحرارة	درجة مئوية	11	45	23
2	التوصيل الكهربائي	مايكروسيمنز /سم	1300	9800	4077
3	المواد الصلبة الذائبة	ملغم/لتر	550	6450	3063
4	PH	---	5	9,6	70.3
5	الايوكسجين مذاب	ملغم/لتر	0	4,8	1,6
6	كبريتيد الهيدروجين المذاب	ملغم/لتر	0	476	13
7	الكالسيوم	ملغم/لتر	13	974	261
8	المغنيسيوم	ملغم/لتر	23	292	103
9	الصوديوم	ملغم/لتر	7	152	44
10	البوتاسيوم	ملغم/لتر	0.08	14.5	1.85
11	الفوسفات	ملغم/فوسفات فوسفور/لتر	0.002	1.215	0.086
12	الكبريتات	ملغم/لتر	510	5382	1814
13	النيترات	ملغم/لتر	36	82	261
14	الكربونات	ملغم/لتر	4	12	.0

المصادر

1. الخشاب ، و فيق حسين ، وجماعته ، علم الجيومورفولوجيا تعريفه ، تطوره ، مجالاته التطبيقية ، الجزء الاول ، جامعة بغداد . (1978).
2. العاني ، افتخار عبد الجواد عبد الحميد ، تقييم صلاحية المياه الجوفية لمنطقة تلعفر . مجلة هندسة الرافدين ، المجلد 5 ، العدد 1 ، ص 76-85 . (1997) .
3. الليلة ، محمد انيس ، وآخرون ، امكانية استعمال المياه الجوفية لاغراض الزراعة والري في مدينة الموصل . مجلة التربية والعلم ، العدد 11 . 25-38 . (1993) .
4. النعمة ، بشير علي بشير ، وغادة ابلحد نصوري وعمار غانم الدباغ ، تأثير شحة التساقط المطري على نوعية مياه نهر دجلة ضمن محافظة نينوى . قيد النشر . (2000) .

5. عمرو ، عبد هرمز عوديش ، هيدروجيولوجية جزء من منطقة سهل زاخو شمال العراق . رسالة ماجستير ، كلية العلوم ، علوم الارض جامعة بغداد . (1983) .
6. عقراوي ، زيرك عزيز خان أحمد ، هيدروجيولوجية سهل عقرة . رسالة ماجستير كلية العلوم ، علوم الارض ، جامعة الموصل . (1984) .
7. Al-Layla, Anis, M., Al-Rawi, S.M. & Al-Kawaz H.A. Physico chemical evaluation of ground water around Saddam lake used for drinking & domestic. 2nd Sci.Conf. of Saddam Dam Research center Mosul-Iraq. (1990).
8. Al-Rawi, S.M, Al-Azzo, S.I. & Abbawi, S.A. Hydrogeochemical evaluation of ground water in some parts of Mosul city & suitability for irrigation. 2nd Sci. Conf., of Sadam Dam Research Center. (1990).
9. Al-Sawaf, F. Daoud. Hammam Al-Alil SPA the relationship between Temperature, Chemical composition & origin of the water, Institute for Applied Research & Natural Resources Vol. 1, p. 126-145. (1973).
10. Al-Sawaf, F.D.S. Sulphate Reduction & Sulphur Deposition in the lower Fars formation. Northern Iraq. Economic Geology journal. Vol. 72, pp. 68-618. (1977).
11. Al-Talabani, N & Al-Kateeb, L. The characteristics of khazir & their water chemistry south of Singer. Agriculture & water resources, jour. Vol. 8, No. 1. (1989).
12. APHA. Standard method for the examination of water & waste water. Amer. publi. Heal. Assoc., New York, 14 Ed. (1957).
13. Baghdadi, A. I. The water springs in Iraqs. Their geological characteristics & utilization, Institute for Applied research & natural resources Vol. 1. (1972).
14. Davis, S. N. & Dewiest, R. J. M. Hydrogeology. John Wiley & Sons, Ltd. New York. (1966).
15. Hutchinson, G. E. A. treatise on limnology. Vol. 1 - 1015 pages John Wiley & Sons, Inc. (1957).
16. Mustafa, M. H. & Al-Qaddo, S. M. Natrual environment of Al-Zanquba area. Al-Rafidian Engineering, Jour. Vol. 4, No. 1 - 2, pp. 26 - 40. (1996).
17. Mustafa, M. H. Al-Qaddo, S. M. & Al-Ni'ma, B. A. Purification process of Al-Salmani water resources. Water resourcues Al Rafidian Eng. Vol. 4, No. 3. (1996).

18. Talling, J. F. Water characteristics in Euphrates & Tigris Mesopotamina Ecology & Destiny by Julian Rzoska. Mono graphique Biologicae, Vol. 38. (1980).